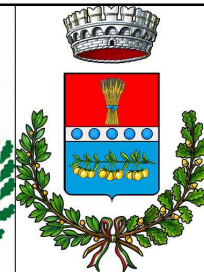




REGIONE SARDEGNA
 COMUNE DI GUSPINI e SAN NICOLO' D'ARCIDANO
 Provincia Del Sud Sardegna e Oristano



Titolo del Progetto

PROGETTO DEFINITIVO


PROGETTO PER LA REALIZZAZIONE DEL CLUSTER AGRIVOLTAICO -INDUSTRIALE
 "GREEN AND BLUE SU SOI ABC" di complessivi 152 745.000 kWp
 Lotti A,C Agrivoltaico Innovativo per 106 035.000 kWp, STMG CP202301521
 Lotto B Industriale, Cava per 46 710.000 kWp STMG CP202300614
 NEI COMUNI DI GUSPINI E SAN NICOLO' D'ARCIDANO

Identificativo Documento

REL_D_CP_B

ID Progetto	GBSS	Tipologia	R	Formato	A4	Disciplina	AMB
-------------	------	-----------	---	---------	----	------------	-----

DIMENSIONAMENTO PRELIMINARE E CALCOLI CORPO B

		FILE: REL_D_CP_B.pdf
IL PROGETTISTA Arch. Andrea Casula 	GRUPPO DI PROGETTAZIONE Arch. Andrea Casula Geom. Fernando Porcu Dott. in Arch. J. Alessia Manunza Geom. Vanessa Porcu Dott. Agronomo Giuseppe Vacca Archeologo Marco Cabras Geol. Marta Camba Ing. Antonio Dedoni	

COMMITTENTE

SF GRID PARITY I srl

Rev.	Data Revisione	Descrizione Revisione	Redatto	Controllato	Approvato
Rev.	Marzo 2024	Prima Emissione	Green Island Energy SaS	SF Grid Parity I srl	SF Grid Parity I srl

PROCEDURA

Valutazione di Impatto Ambientale ai sensi dell'art.23 del D.Lgs.152/2006

GREEN ISLAND ENERGY SAS
 Via S.Mele, N 12 - 09170 Oristano
 tel&fax(+39) 0783 211692-3932619836
 email: greenislandenergysas@gmail.com

NOTA LEGALE: Il presente documento non può
 tassativamente essere diffuso o copiato
 su qualsiasi formato e tramite qualsiasi
 mezzo senza preventiva autorizzazione
 formale da parte di Green Island Energy SaS

GREEN ISLAND ENERGY



Provincia di Oristano e Sud Sardegna

**COMUNE DI GUSPINI E SAN
NICOLÒ D'ARCIDANO**

*PROGETTO PER LA REALIZZAZIONE DEL CLUSTER AGRIVOLTAICO -
INDUSTRIALE "GREEN AND BLUE SU SOI ABC" di complessivi
152 745.000 kWp, composto dall'IMPIANTO AGRIVOLTAICO CON
SISTEMA INNOVATIVO DI CUI ALLE LINEE GUIDA DEL M.A.S.E
"GREEN AND BLUE SU SOI AC" sui lotti A e C, STMG
CP202301521 di complessivi 106 035.000 kWp, e dell' IMPIANTO
IN AREA INDUSTRIALE E DI CAVA DENOMINATO " GREEN AND
BLUE SU SOI B", sul lotto B, DELLA POTENZA di 46 710.000
kWp, STMG CP202300614, da collegarsi alla sezione 150kV della
nuova SE Terna "Guspini" da realizzare e inserire in entra - esce
alla linea RTN 220 kV "Sulcis - Oristano.*

**RELAZIONE DIMENSIONAMENTO
PRELIMINARE E CALCOLI
IMPIANTO CORPO B**

INDICE

01. PREMESSA	5
02. SOCIETA PROPONENTE	8
03. ELEMENTI DEL SISTEMA	9
03.1 Strutture di sostegno.....	9
04. PANNELLI FOTOVOLTAICI	11
05. SCHEMA GEOMETRICO	13
06. DESCRIZIONE GENERALE DELL'OPERA	15
07. NORMATIVA DI RIFERIMENTO	16
08. MATERIALI IMPIEGATI E RESISTENZE DI CALCOLO	17
09. MATERIALI ACCIAIO	17
10. TENSIONI AMMISSIBILI ALLO SLE DEI VARI MATERIALI	18
11. TERRENO DI FONDAZIONE	19
12. ANALISI CARICHI	20
13. VALUTAZIONE DELL'AZIONE SISMICA	21
14. AZIONI SULLA STRUTTURA	21
14.1 Stato Limite di Salvaguardia della Vita	22
14.2 Stati Limite di Esercizio	23
14.3 Classe di duttilità	24
14.4 Spettri di Progetto per S.L.U. e S.L.D	25
14.5 Metodo di Analisi	28
14.6 Valutazione degli spostamenti.....	29
14.7 Combinazione delle componenti dell'azione sismica.....	29
14.8 Azione del Vento	30
14.9 Calcolo pressione normale e tangenziale.....	31
14.10 VENTO - CALCOLO PRESSIONE CINETICA DI RIFERIMENTO.....	32
14.11 VENTO - CALCOLO COEFFICIENTE DI ESPOSIZIONE.....	33
14.12 VENTO - CALCOLO PRESSIONE DEL VENTO	33
14.13 Azione della Neve	33
14.14 Applicazione delle forze sulla struttura	36
15. CODICE DI CALCOLO IMPIEGATO	36
15.1 Sintesi delle funzionalità generali	36
15.2 Sistemi di Riferimento.....	38
16. MODELLO DI CALCOLO	40
17. PROGETTO E VERIFICA DEGLI ELEMENTI STRUTTURALI	41
17.1 Verifiche di Resistenza.....	42
18. DETTAGLI STRUTTURALI	43
19. SEZIONI PROFILATI IN ACCIAIO	44
20. SEZIONI PROFILATI IN ACCIAIO	44
21. STIMA DELL'AFFONDAMENTO DEL PALO	45
22. TABULATI DI CALCOLO	48

MATERIALI ACCIAIO.....	48
TENSIONI AMMISSIBILI ALLO SLE DEI VARI MATERIALI	48
TERRENI	49
SEZIONI PROFILATI IN ACCIAIO.....	49
SEZIONI PROFILATI IN ACCIAIO.....	49
ANALISI CARICHI.....	50
TIPOLOGIE DI CARICO	50
SLU: Non Sismica - Strutturale senza azioni geotecniche.....	51
SLU: Sismica - Strutturale senza azioni geotecniche	51
COMBINAZIONI SISMICHE	52
SERVIZIO(SLE): Caratteristica(RARA)	52
SERVIZIO(SLE): Frequente	53
SERVIZIO(SLE): Quasi permanente	53
DATI GENERALI ANALISI SISMICA	53
FATTORI DI COMPORTAMENTO	54
PARAMETRI PER LA DEFINIZIONE DELL'AZIONE SISMICA	54
DATI DEL SITO E DELL'OPERA	55
PRINCIPALI ELEMENTI ANALISI SISMICA	55
RIEPILOGO MODI DI VIBRAZIONE	55
LIVELLI O PIANI	59
TRAVI IN ELEVAZIONE.....	60
PILASTRI.....	63
SOLAI	64
CARICHI SULLE TRAVI	65
CARICHI SUI PILASTRI.....	76
NODI - SPOSTAMENTI PER CONDIZIONI DI CARICO NON SISMICHE.....	77
NODI - SPOSTAMENTI PER EFFETTO DEL SISMA	83
TRAVI - SOLLECITAZIONI PER CONDIZIONI DI CARICO NON SISMICHE	89
TRAVI - SOLLECITAZIONI PER EFFETTO DEL SISMA	98
PILASTRI - SOLLECITAZIONI PER CONDIZIONI DI CARICO NON SISMICHE	103
PILASTRI - SOLLECITAZIONI PER EFFETTO DEL SISMA	104
NODI - REAZIONI VINCOLARI ESTERNE PER TIPOLOGIE DI CARICO NON SISMICHE.....	104
NODI - REAZIONI VINCOLARI ESTERNE PER EFFETTO DEL SISMA.....	105
TRAVI (AC) - VERIFICHE A PRESSOFLESSIONE (Elevazione) allo SLU.....	105
TRAVI (AC) - VERIFICHE A PRESSOFLESSIONE DEVIATA (Elevazione) allo SLU	112
TRAVI (AC) - VERIFICHE A TAGLIO (Elevazione) per pressoflessione retta allo SLU	116
TRAVI (AC) - VERIFICHE A TAGLIO (Elevazione) per pressoflessione deviata allo SLU.....	122
TRAVI (AC) - VERIFICHE INSTABILITÀ A PRESSOFLESSIONE DEVIATA (Elevazione).....	124
TRAVI (AC) - VERIFICHE DI DEFORMABILITÀ ALLO SLE (Elevazione)	127
PILASTRI (AC) - VERIFICHE A PRESSOFLESSIONE DEVIATA (Elevazione) allo SLU	129
PILASTRI (AC) - VERIFICHE A TAGLIO (Elevazione) per pressoflessione deviata allo SLU	129
PILASTRI (AC) - VERIFICHE INSTABILITÀ A PRESSOFLESSIONE DEVIATA (Elevazione)	129

EFFETTI DELLE NON LINEARITÀ GEOMETRICHE PER SISMA (Elevazione)	130
PIANI - VERIFICHE AGLI SPOSTAMENTI.....	130
PIANI - VERIFICHE ALLO SLE (Elevazione).....	130

01. PREMESSA

La presente relazione è relativa al progetto di realizzazione di un impianto costituito da tre corpi denominati agli elaborati grafici A,B,C; Di cui il corpo A e C sono di tipo agro-fotovoltaico innovativo mentre il corpo B è di tipo industriale. Il **PROGETTO PER LA REALIZZAZIONE DEL CLUSTER AGRIVOLTAICO -INDUSTRIALE "GREEN AND BLUE SU SOI ABC"** di complessivi 152 745.000 kWp, composto dall'**IMPIANTO AGRIVOLTAICO CON SISTEMA INNOVATIVO DI CUI ALLE LINEE GUIDA DEL M.A.S.E "GREEN AND BLUE SU SOI AC"** sui lotti A e C, **STMG CP202301521** di complessivi 106 035.000 kWp, e dell' **IMPIANTO IN AREA INDUSTRIALE E DI CAVA DENOMINATO " GREEN AND BLUE SU SOI B"**, sul lotto B, **DELLA POTENZA** di 46 710.000 kWp, **STMG CP202300614**, da collegarsi alla sezione 150kV della nuova SE Terna "Guspini" da realizzare e inserire in entra – esce alla linea RTN 220 kV "Sulcis – Oristano. Ricadono rispettivamente: Corpo A nel territorio del Comune di Guspini (SU) e Corpo B e C nel territorio del Comune di San Nicolò d'Arcidano (OR), e delle relative opere connessione alla rete elettrica nazionale ricadenti nei Comuni sopra menzionati.

Tenendo conto dei recenti indirizzi programmatici a livello nazionale in tema di energia, contenuti nella Strategia Energetica Nazionale (SEN) pubblicata a Novembre 2017, la Società ha ritenuto opportuno proporre un progetto innovativo che consenta di coniugare la produzione di energia elettrica da fonte rinnovabile con l'attività di coltivazione agricola, perseguendo due obiettivi prioritari fissati dalla SEN, ovvero il contenimento del consumo di suolo e la tutela del paesaggio.

I principali concetti estrapolati dalla SEN che hanno ispirato la Società nella definizione del progetto dell'impianto, sono di seguito elencati:

- ...**"Per i grandi impianti fotovoltaici, occorre regolamentare la possibilità di realizzare impianti a terra, oggi limitata quando collocati in aree agricole, armonizzandola con gli obiettivi di contenimento dell'uso del suolo"**...
- ...**"Sulla base della legislazione attuale, gli impianti fotovoltaici, come peraltro gli altri impianti di produzione elettrica da fonti rinnovabili, possono essere ubicati anche in zone classificate agricole, salvaguardando però tradizioni agroalimentari locali, biodiversità, patrimonio culturale e paesaggio rurale"**....
- ...**"Dato il rilievo del fotovoltaico per il raggiungimento degli obiettivi al 2030, e considerato che, in prospettiva, questa tecnologia ha il potenziale per una ancora più**

ampia diffusione, occorre individuare modalità di installazione coerenti con i parimenti rilevanti obiettivi di riduzione del consumo di suolo”...

· ...”molte Regioni hanno in corso attività di censimento di terreni incolti e abbandonati, con l’obiettivo, tuttavia, di rilanciarne prioritariamente la valorizzazione agricola (...) Si intende in ogni caso avviare un dialogo con le Regioni per individuare strategie per l’utilizzo oculato del territorio, anche a fini energetici, facendo ricorso ai migliori strumenti di classificazione del territorio stesso (es. land capability classification). Potranno essere così circoscritti e regolati i casi in cui si potrà consentire l’utilizzo di terreni agricoli improduttivi a causa delle caratteristiche specifiche del suolo, ovvero individuare modalità che consentano la realizzazione degli impianti senza precludere l’uso agricolo dei terreni (ad es: impianti rialzati da terra)” ...

Pertanto, la Società, anche avvalendosi della consulenza di un dottore agronomo locale, ha sviluppato una soluzione progettuale che è perfettamente in linea con gli obiettivi sopra richiamati, e che consente di:

- ridurre l’occupazione di suolo, avendo previsto moduli ad alta potenza e strutture ad inseguimento monoassiale (inseguitore di rollio). La struttura ad inseguimento, diversamente delle tradizionali strutture fisse, permette di coltivare parte dell’area occupata dai moduli fotovoltaici;
- svolgere l’attività di coltivazione tra le interfile dei moduli fotovoltaici, avvalendosi di mezzi meccanici (essendo lo spazio tra le strutture molto elevato);
- installare una fascia arborea perimetrale (costituita con l’impianto intensivo di piante di olivo (*Olea Europae*), e mirto nella parte inferiore, piante tipiche del paesaggio), facilmente coltivabile con mezzi meccanici ed avente anche una funzione di mitigazione visiva;
- riqualificare pienamente le aree in cui insisterà l’impianto, sia perché le lavorazioni agricole saranno attuate permetteranno ai terreni di riacquisire le piene capacità produttive, sia perché saranno effettuati miglioramenti fondiari importanti (recinzioni, drenaggi, viabilità interna al fondo, sistemazioni idraulico-agrarie);
- ricavare una buona redditività sia dall’attività di produzione di energia che dall’attività di coltivazione agricola.

La società proponente ha presentato a Terna (“il Gestore”) richiesta formale di

connessione alla RTN e ha suddiviso l'impianto in due parti corpo A e corpo C, per il quale la Società ha ricevuto, la soluzione tecnica minima generale per la connessione (STMG), Codice Pratica: CP202301521– Comune di Guspini e San Nicolò d'Arcidano – Preventivo di connessione Richiesta di connessione alla Rete di Trasmissione Nazionale (RTN) per l'impianto di generazione da fonte rinnovabile (fotovoltaica) da 116 MW.

Mentre per il corpo B la Società ha ricevuto, la soluzione tecnica minima generale per la connessione (STMG), Codice Pratica: CP202300614 – Comune San Nicolò d'Arcidano (OR) – Preventivo di connessione Richiesta di connessione alla Rete di Trasmissione Nazionale (RTN) per l'impianto di generazione da fonte rinnovabile (fotovoltaica) da 40 MW.

La soluzione tecnica per entrambi le parti prevede che l'impianto in progetto venga collegato *in antenna a 150 kV su stallo assegnato nella nuova Stazione Elettrica (SE) di Trasformazione della RTN a 220/150/36 kV, "Guspini" da realizzare e inserire in entra – esce alla linea RTN 220 kV "Sulcis - Oristano", opera per la parte 220/150Kv già Benestariata da Terna Spa. I cavidotti MT di collegamento dei lotti di impianto con la Sottostazione Utente di Elevazione (SEU), la SEU utente e il nuovo elettrodotto a 150 kV per il collegamento in antenna della SEU alla Nuova Stazione Elettrica "Guspini" costituiscono impianto di utenza per la connessione, mentre lo stallo arrivo produttore a 150 kV nella suddetta stazione e la nuova SE "Guspini" costituiscono impianto di rete per la connessione.*

A seguito del ricevimento della STMG è stato possibile definire puntualmente le opere progettuali da realizzare, che si possono così sintetizzare:

- 1) Impianto ad inseguimento monoassiale, della potenza complessiva installata di **152 MW**, ubicato nei Comune di Guspini (SU);e San Nicolò d'Arcidano (OR);
- 2) N. 2 dorsali di collegamento interrate, per il vettoriamento dell'energia elettrica prodotta dall'impianto alla futura stazione elettrica di trasformazione Terna.
- 3) L'impianto in progetto venga collegato *in antenna a 150 kV su stallo assegnato nella nuova Stazione Elettrica (SE) di Trasformazione della RTN a 220/150/36 kV, "Guspini" da realizzare e inserire in entra – esce alla linea RTN 220 kV "Sulcis – Oristano.*

-
- 4) I moduli saranno montati su strutture ad inseguimento solare (tracker), in configurazione mono filare, I Tracker saranno collegati in bassa tensione alle cabine inverter (power station) una per ogni blocco elettrico in cui è suddiviso lo schema dell'impianto, esse saranno collegate in media tensione alla cabina di concentrazione che a sua volta si collegherà mediante elettrodotto 36 kV alla sottostazione Terna.
 - 5) L'intervento a seguito dell'emanazione del D.L. 77/2021, entrato in vigore il 31.05.2021, successivamente convertito, con modificazioni, in legge (L. n. 108 del 29.07.2021), ha introdotto delle modifiche al D.Lgs. n. 152/2006, tra cui, all'art. 31 (Semplificazione per gli impianti di accumulo e fotovoltaici e individuazione delle infrastrutture per il trasporto del G.N.L. in Sardegna), c. 6, la seguente: «All'Allegato II alla Parte seconda del decreto legislativo 3 aprile 2006, n. 152, al paragrafo 2), è aggiunto, in fine, il seguente punto: "- impianti fotovoltaici per la produzione di energia elettrica con potenza complessiva superiore a 10 MW."», che comporta un trasferimento al Ministero dell'Ambiente e della Sicurezza Energetica (M.A.S.E.) della competenza in materia di V.I.A. per gli impianti fotovoltaici con potenza complessiva superiore a 10 MW;
 - 6) - il D.L. 92/2021, entrato in vigore il 23.06.2021, all'art. 7, c. 1, ha stabilito, tra l'altro, che «[...] L'articolo 31, comma 6, del decreto-legge 31 maggio 2021, n. 77, che trasferisce alla competenza statale i progetti relativi agli impianti fotovoltaici per la produzione di energia elettrica con potenza complessiva superiore a 10 MW, di cui all'Allegato II alla Parte seconda, paragrafo 2), ultimo punto, del decreto legislativo 3 aprile 2006, n. 152, si applica alle istanze presentate a partire dal 31 luglio 2021»

02. SOCIETA PROPONENTE

La società **SF GRID PARITY I S.R.L.** intende operare nel settore delle energie rinnovabili in generale. In particolare, la società erigerà, acquisterà, costruirà, metterà in opera ed effettuerà la manutenzione di centrali elettriche generanti elettricità da fonti rinnovabili, quali, a titolo esemplificativo ma non esaustivo, energia solare, fotovoltaica, geotermica ed eolica, e commercializzerà l'elettricità prodotta.

La società, in via non prevalente è del tutto accessoria e strumentale, per il raggiungimento dell'oggetto sociale - e comunque con espressa esclusione di qualsiasi attività svolta nei confronti del pubblico potrà:

-
- compiere tutte le operazioni commerciali, finanziarie, industriali, mobiliari ed immobiliari ritenute utili dall'organo amministrativo per il conseguimento dell'oggetto sociale, concedere fidejussioni, avalli, cauzioni e garanzie, anche a favore di terzi;
 - assumere, in Italia e/o all'estero solo a scopo di stabile investimento e non di collocamento, sia direttamente che indirettamente, partecipazioni in altre società e/o enti, italiane ed estere, aventi oggetto sociale analogo, affine o connesso al proprio, e gestire le partecipazioni medesime.

03. ELEMENTI DEL SISTEMA

03.1 Strutture di sostegno

La struttura di sostegno è del tipo ad inseguimento. Si tratta dell'inseguitore solare da 2x 12 moduli. Gli elementi presentano le seguenti caratteristiche:

- sistema di localizzazione orizzontale a singolo asse con back-tracking, inclinazione 0°, azimut 0°, angolo di rotazione $\pm 55^\circ$, errore di tracciamento massimo $\pm 2^\circ$;
- 2 x 12 moduli fotovoltaici in configurazione verticale;
- altezza minima da terra al massimo angolo di inclinazione 0.40 m;
- altezza massima da terra al massimo angolo di inclinazione 4.55 m;
- asse di rotazione situato sul baricentro della struttura;
- scheda di controllo dotata di 10 uscite per il controllo di 10 motori (attuatori lineari elettrici);
- peso [kg] circa 600 (compresi pali di fondazione ed esclusi i moduli fotovoltaici);
- componenti meccanici in acciaio zincati in base ai requisiti ambientali e di resistenza;
- sistema di controllo basato sull'orologio astronomico, con autoconfigurazione e nessun sensore richiesto;
- comunicazione e controllo remoti avvengono in tempo reale;
- sistema di backtracking adatto alle condizioni del singolo tracker e anemometro per allarme vento forte e sistema di autoprotezione;
- sistema GPS integrato che acquisisce automaticamente la posizione del sito, la data e l'ora;
- interfaccia RS232 con sovratensione, protezione 120 A - 0,2 J, 20 canali simultanei;
- protocollo di comunicazione ModBus RS485, e n. 20 ingressi per contatti in tensione;

-
- libera per il collegamento al limite dell'attuatore lineare (2 ingressi per ciascun attuatore);
 - protezione da sovratensione, 40 A - 400 W - forma d'onda 10/1000 μ s;
 - isolamento elettrico 890 V;
 - specifiche elettriche:
 - stringhe 2x12 (24 moduli fotovoltaici pannelli da 750 Wp);
 - ingranaggio condotto 1 attuatore lineare elettrico CA;
 - tensione di alimentazione 230 V monofase 50 Hz - opzionale 240 V monofase 60Hz;
 - IP55;
 - sistema di controllo temporizzato per ridurre al minimo l'usura dell'attuatore lineare; o corrente massima 4 A;
 - consumo di energia per l'attuatore lineare 5,6 kWh / anno per fila;
 - consumo energetico per la scheda di controllo SKC 10 1 kWh / anno per riga.
 - temperatura di funzionamento -10° C \div $+ 50^{\circ}$ C;
 - max. altitudine operativa < 20000 m.s.l.m.;
 - raffreddamento naturale senza scambio d'aria esterno;
 - classificazione del territorio: $\pm 3^{\circ}$ Nord / Sud (Opzionale fino a 8°) - nessuna limitazione Est / Ovest. Ciascun elemento è costituito dai seguenti componenti;
 - colonna centrale per attuatore elettrico completo di quadro comando motore, piastra, riscontro, rondelle, attuatore lineare elettrico completo di finecorsa;
 - colonne intermedie;
 - colonne esterne (tutte le colonne sono completate da ancoraggi post-testa di tubolari primari orizzontali e accessori di fissaggio);
 - profili di fissaggio di moduli fotovoltaici al tubolare primario orizzontale e completi di accessori di fissaggio;
 - tubolari primari quadrati.

04. PANNELLI FOTOVOLTAICI

SCHEDE TECNICHE MODULI



YANGTZE SOLAR

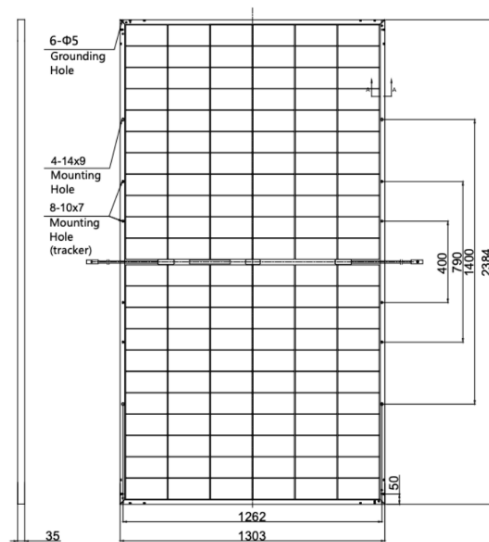
N-Type 750W (Topcon/HJT)

NEW

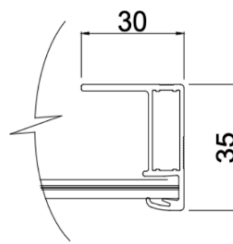
- PID Resistance
- N-type solar cell without LID caused by B-O
- Most stable Power Temperature Coefficient
- Bifacial technology enables additional energy harvest from rear side

Engineering Drawings

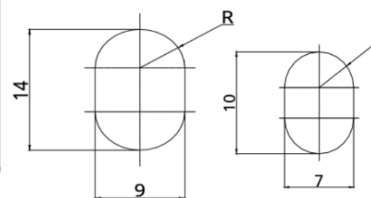
Rear View



Frame Cross Section A-A



Mounting Hole



Module Type	YS710M-132	YS720M-132	YS730M-132	YS740M-132	YS750M-132
Maximum power STC: P_{max} [W]	710	720	730	740	750
Voltage at maximum power: V_{mp} [V]	40.48	40.86	41.04	41.34	41.52
Current at maximum power: I_{mp} [A]	17.54	17.62	17.78	17.90	18.06
Open Circuit Voltage: V_{oc} [V]	45.55	45.85	46.15	46.45	46.75
Short Circuit Current: I_{sc} [A]	18.45	18.54	18.66	18.79	18.92
Module Efficiency [%]	22.85	23.17	23.50	23.82	24.14
MAXIMUM RATINGS					
Operational temperature	-40 °C ÷ +85 °C				
Maximum System Voltage	1500 V DC				
Maximum series fuse rating	25A				
Power Output tolerance	0 ÷ +5W				
TEMPERATURE PARAMETERS					
Temperature Coefficient (P_{max})	-0.35 % /°C				
Temperature Coefficient (V_{oc})	-0.29 % /°C				
Temperature Coefficient (I_{sc})	+0.048 % /°C				
DIMENSIONS:	2384 x 1303 x 35 mm				

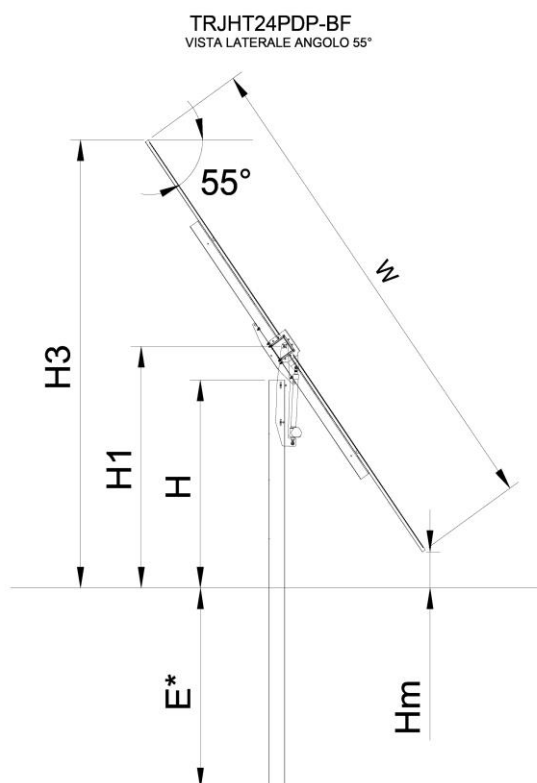
La struttura meccanica è costituita da elementi verticali, *in acciaio preliminarmente individuati in IPE 240*, infissi mediante battitura direttamente nel terreno. Tali elementi sono al contempo sia i montanti verticali fuori terra che le fondazioni profonde. Gli elementi orizzontali principali, *Main Beam*, sono costituiti da tubolari, ancorati ai montanti mediante degli elementi presso-piegati speciali e rappresentano l'asse di rotazione della struttura. Sull'orditura principale sono ancorati profili di supporto che sorreggono i pannelli fotovoltaici mediante ancoranti meccanici. Ai fini della progettazione e delle verifiche si terrà conto della sola configurazione strutturale maggiormente gravosa.

05. SCHEMA GEOMETRICO

Di seguito viene riportato uno schema delle dimensioni geometriche del singolo asse.

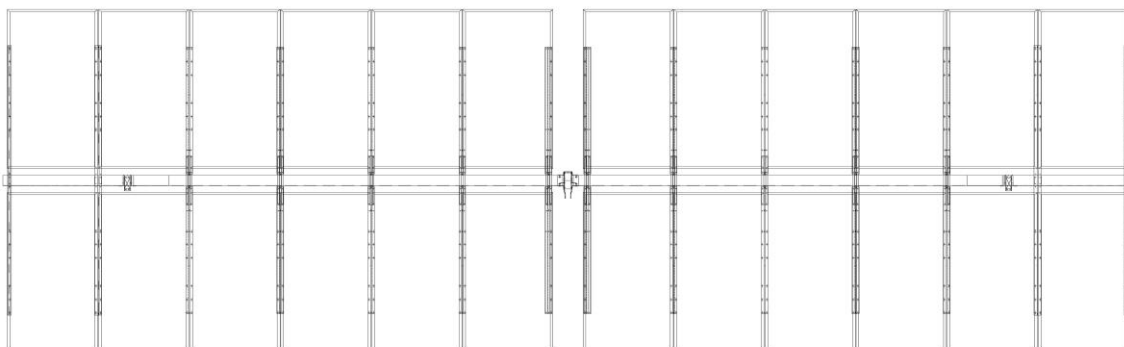
Per il calcolo sono state considerate solo le tre principali configurazioni, in cui si generano le massime tensioni.

- MODELLO A $\rightarrow \alpha = 0^\circ$
- MODELLO B $\rightarrow \alpha = 55^\circ$

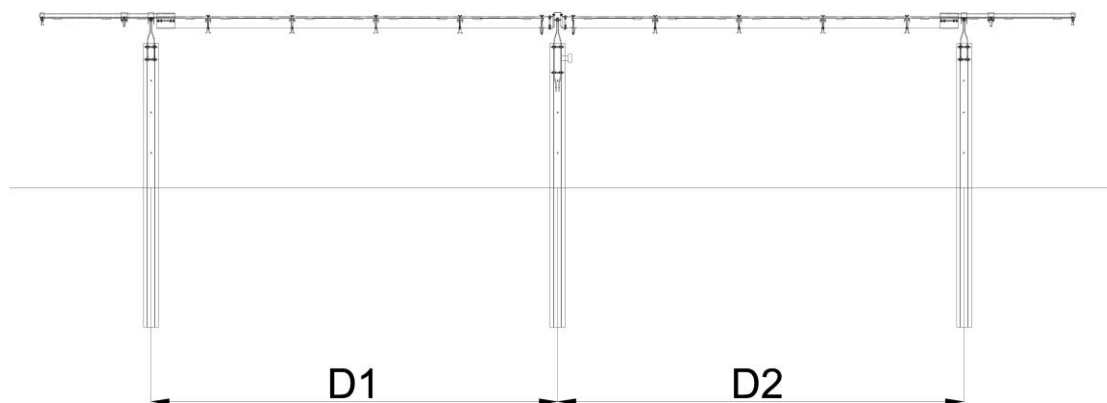


MODULO FOTOVOLTAICO			
A	1303	H	2155
A1	1262	H1	2475
A2	-	H2	2505
B	2384	H3	4551
B1	400	Hm	400
B2	790	W	5068
B3	1400	D1	7000
S	35	D2	7000
C	17500	-	-
E*	1800	-	-

TRJHT24PDP-BF_ VISTA ZENITALE MISURE ESTERNE ANGOLO 0°



TRJHT24PDP-BF_ VISTA FRONTALE MISURE ESTERNE ANGOLO 0°



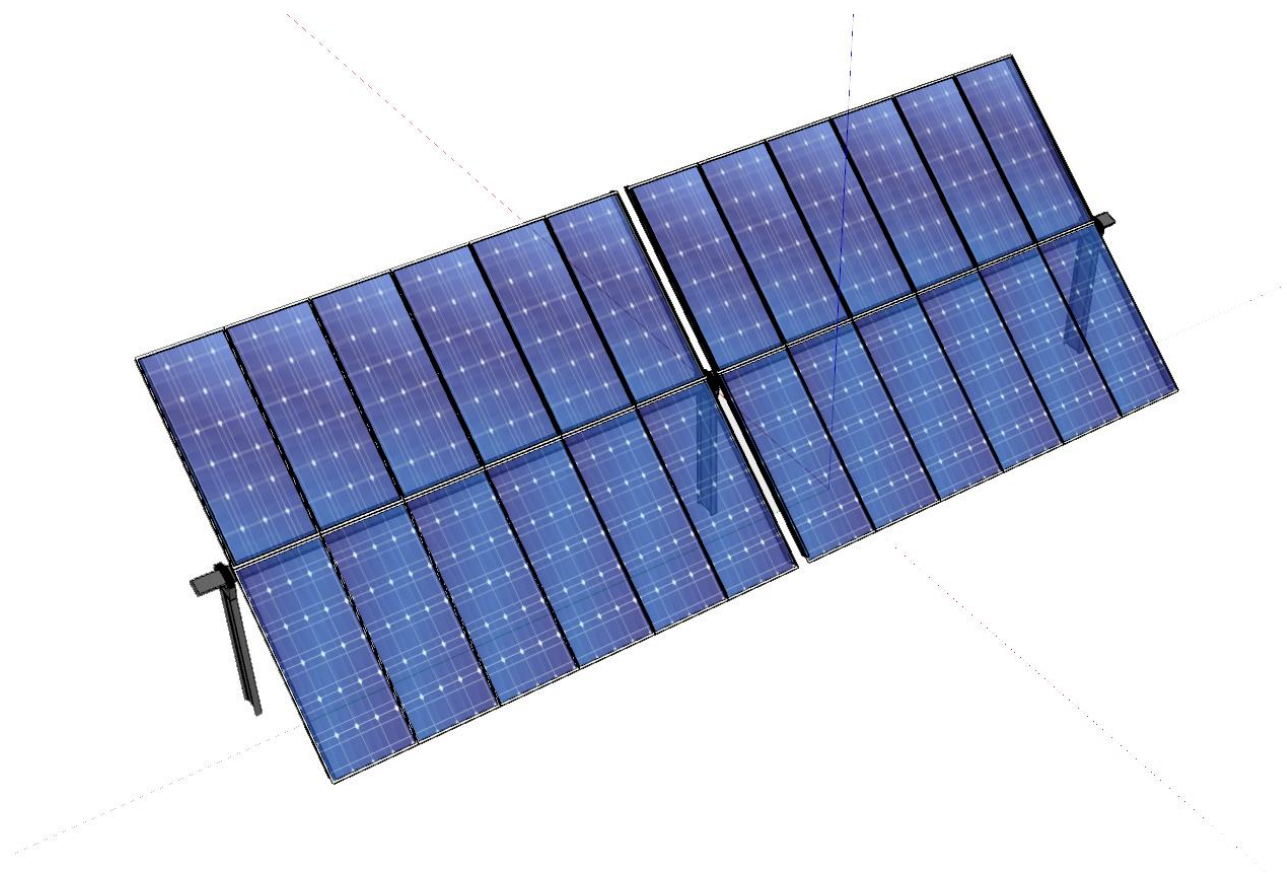
06. DESCRIZIONE GENERALE DELL'OPERA

La struttura oggetto di valutazione è essenzialmente costituita da un telaio in acciaio formato da n.3 pilastri IPE 240 infissi nel terreno e da una trave principale tipo scatolare in acciaio a sostegno di un'orditura in Omega portanti il carico dei pannelli fotovoltaici.

Vengono riportate di seguito due viste assonometriche contrapposte, allo scopo di consentire una migliore comprensione della struttura oggetto della presente relazione:

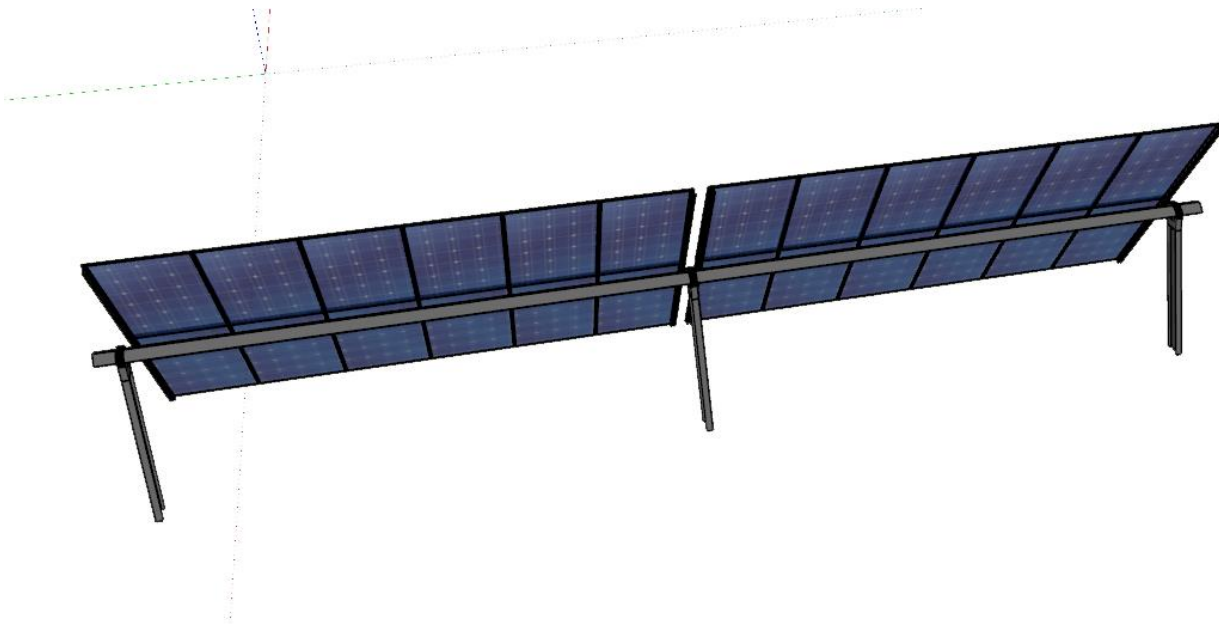
Vista Anteriore

La direzione di visualizzazione (bisettrice del cono ottico), relativamente al sistema di riferimento globale $0, X, Y, Z$, ha versore $(1; 1; -1)$



Vista Posteriore

La direzione di visualizzazione (bisettrice del cono ottico), relativamente al sistema di riferimento globale $0, X, Y, Z$, ha versore $(-1; -1; -1)$



07. NORMATIVA DI RIFERIMENTO

Le fasi di analisi e verifica della struttura sono state condotte in accordo alle seguenti disposizioni normative, per quanto applicabili in relazione al criterio di calcolo adottato dal progettista, evidenziato nel prosieguo della presente relazione:

Legge 5 novembre 1971 n. 1086 (G.U. 21 dicembre 1971 n. 321)

“Norme per la disciplina delle opere di conglomerato cementizio armato, normale e precompresso ed a struttura metallica”.

Legge 2 febbraio 1974 n. 64 (G.U. 21 marzo 1974 n. 76)

“Provvedimenti per le costruzioni con particolari prescrizioni per le zone sismiche”.

Indicazioni progettive per le nuove costruzioni in zone sismiche a cura del Ministero per la Ricerca scientifica - Roma 1981.

D. M. Infrastrutture Trasporti 17/01/2018 (G.U. 20/02/2018 n. 42 - Suppl. Ord. n. 8)

“Aggiornamento delle *Norme tecniche per le Costruzioni*”.

Inoltre, in mancanza di specifiche indicazioni, ad integrazione della norma precedente e per quanto con esse non in contrasto, sono state utilizzate le indicazioni contenute nelle seguenti norme:

Circolare 21 gennaio 2019, n. 7 C.S.LL.PP. (G.U. Serie Generale n. 35 del 11/02/2019 - Suppl. Ord. n. 5)

Istruzioni per l'applicazione dell'«Aggiornamento delle "Norme tecniche per le costruzioni"» di cui al decreto ministeriale 17 gennaio 2018.

Eurocodice 3 - “Progettazione delle strutture in acciaio” - EN 1993-1-1.

08. MATERIALI IMPIEGATI E RESISTENZE DI CALCOLO

Tutti i materiali strutturali impiegati devono essere muniti di marcatura "CE", ed essere conformi alle prescrizioni del "REGOLAMENTO (UE) N. 305/2011 DEL PARLAMENTO EUROPEO E DEL CONSIGLIO del 9 marzo 2011", in merito ai prodotti da costruzione.

Per la realizzazione dell'opera in oggetto saranno impiegati i seguenti materiali;

09. MATERIALI ACCIAIO

N _{id}	γ _k	α _{T, i}	E	G	Stz	Caratteristiche acciaio										
						f _{yk,1} / f _{yk,2}	f _{tk,1} / f _{tk,2}	f _{yd,1} / f _{yd,2}	f _{td}	γ _s	γ _{M1}	γ _{M2}	γ _{M3,SLV}	γ _{M3,SLE}	γ _{M7} NCnt Cnt	
S235 - (S235)																
001	78.500	0,000012	210.000	80.769	P	235,00 215,00	360 360	223,81 204,76	-	1,05	1,05	1,25	-	-	-	-
Acciaio B450C - (B450C)																
003	78.500	0,000010	210.000	80.769	P	450,00 -	-	391,30 -	-	1,15	-	-	-	-	-	-

LEGENDA:

N_{id}	Numero identificativo del materiale, nella relativa tabella dei materiali.
γ_k	Peso specifico.
α_{T, i}	Coefficiente di dilatazione termica.
E	Modulo elastico normale.
G	Modulo elastico tangenziale.
Stz	Tipo di situazione: [F] = di Fatto (Esistente); [P] = di Progetto (Nuovo).
f_{tk,1}	Resistenza caratteristica a Rottura (per profili con t ≤ 40 mm).
f_{tk,2}	Resistenza caratteristica a Rottura (per profili con 40 mm < t ≤ 80 mm).
f_{td}	Resistenza di calcolo a Rottura (Bulloni).
γ_s	Coefficiente parziale di sicurezza allo SLV del materiale.
γ_{M1}	Coefficiente parziale di sicurezza per instabilità.
γ_{M2}	Coefficiente parziale di sicurezza per sezioni tese indebolite.
γ_{M3,SLV}	Coefficiente parziale di sicurezza per scorrimento allo SLV (Bulloni).
γ_{M3,SLE}	Coefficiente parziale di sicurezza per scorrimento allo SLE (Bulloni).
γ_{M7}	Coefficiente parziale di sicurezza precarico di bulloni ad alta resistenza (Bulloni - NCnt = con serraggio NON controllato; Cnt = con

N _{id}	γ_k	$\alpha_{T,i}$	E	G	Stz	$f_{yk,1}/f_{yk,2}$	$f_{tk,1}/f_{tk,2}$	$f_{yd,1}/f_{yd,2}$	f_{td}	γ_s	γ_{M1}	γ_{M2}	$\gamma_{M3,SLV}$	$\gamma_{M3,SLE}$	γ_{M7}	NCnt	Cnt
	[N/m ³]	[1/°C]	[N/mm ²]	[N/mm ²]		[N/mm ²]	[N/mm ²]	[N/mm ²]	[N/mm ²]								

serraggio controllato). [-] = parametro NON significativo per il materiale.
f_{yk,1} Resistenza caratteristica allo snervamento (per profili con t ≤ 40 mm).
f_{yk,2} Resistenza caratteristica allo snervamento (per profili con 40 mm < t ≤ 80 mm).
f_{yd,1} Resistenza di calcolo (per profili con t ≤ 40 mm).
f_{yd,2} Resistenza di calcolo (per profili con 40 mm < t ≤ 80 mm).
NOTE [-] = Parametro non significativo per il materiale.

10. TENSIONI AMMISSIBILI ALLO SLE DEI VARI MATERIALI

Materiale	SL	Tensioni ammissibili allo SLE dei vari materiali	
		Tensione di verifica	$\sigma_{d,amm}$ [N/mm ²]

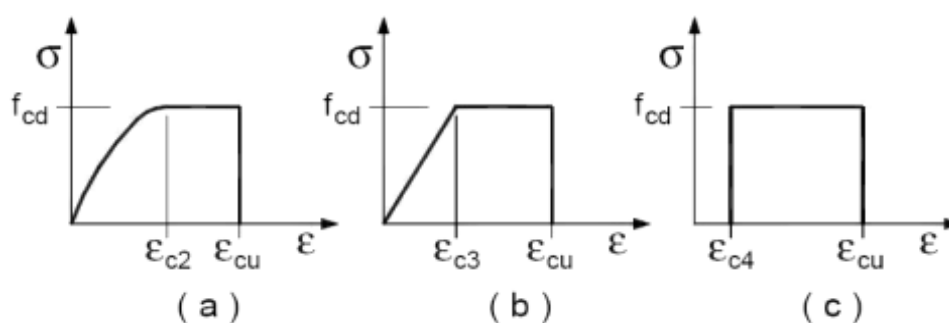
LEGENDA:

SL Stato limite di esercizio per cui si esegue la verifica.
 $\sigma_{d,amm}$ Tensione ammissibile per la verifica.

I valori dei parametri caratteristici dei suddetti materiali sono riportati anche nei “Tabulati di calcolo”, nella relativa sezione.

Tutti i materiali impiegati dovranno essere comunque verificati con opportune prove di laboratorio secondo le prescrizioni della vigente Normativa.

I diagrammi costitutivi degli elementi in calcestruzzo sono stati adottati in conformità alle indicazioni riportate al §4.1.2.1.2.1 del D.M. 2018; in particolare per le verifiche effettuate a pressoflessione retta e pressoflessione deviata è adottato il modello (a) riportato nella seguente figura.



Diagrammi di calcolo tensione/deformazione del calcestruzzo.

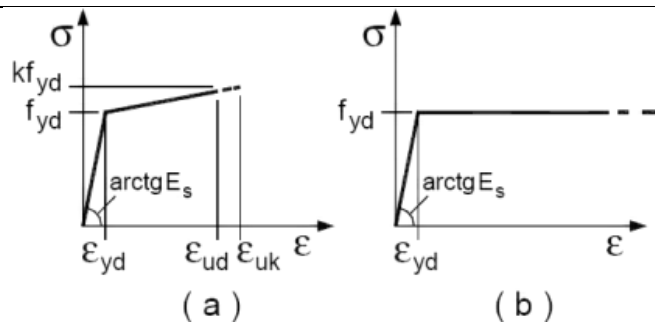
I valori di deformazione assunti sono:

$$\epsilon_{c2} = 0,0020;$$

$$\epsilon_{cu2} = 0,0035.$$

I diagrammi costitutivi dell'acciaio sono stati adottati in conformità alle indicazioni riportate al §4.1.2.1.2.2 del D.M. 2018; in particolare è adottato il modello elastico perfettamente plastico tipo (b) rappresentato nella figura sulla destra.

La resistenza di calcolo è data da f_{yk}/γ_s . Il coefficiente di sicurezza $\gamma_{s,si}$ assume pari a 1,15.



11. TERRENO DI FONDAZIONE

Gli impianti fotovoltaici, soprattutto in una realtà come quella isolana, sono soggetti principalmente all'azione del vento. I carichi trasmessi al suolo non saranno dunque prevalentemente di tipo assiale a compressione, ma soprattutto di flessione, con azione di ribaltamento. In talune situazioni potrebbero crearsi azioni di trazione, con possibilità di sfilamento delle strutture dal suolo. Le azioni di ribaltamento e di sfilamento sono favorite peraltro dal ridotto peso complessivo della struttura e dei pannelli, che non contribuisce a stabilizzare il sistema. La particolare ubicazione in campo aperto, generalmente privo di ostacoli, accentua l'azione complessiva generata dal vento incidente sulle strutture. Con questa tipologia di impianti in generale la tipologia di fondazione prevalente prevede l'impiego di pali infissi nel terreno. L'infissione nel terreno o la lunghezza complessiva del palo possono essere modulate, in presenza di asperità del terreno, per ottenere distese di pannelli a quote omogenee, per una migliore produzione complessiva ed al fine di scongiurare il più possibile il mutuo ombreggiamento.

Le costanti di sottofondo (alla Winkler) del terreno sono state corrette secondo la seguente espressione:

$$K = c \cdot K_1;$$

dove:

K_1 = costante di Winkler del terreno riferita alla piastra standard di lato $b = 30$ cm;

c = coefficiente di correzione, funzione del comportamento del terreno e della particolare

geometria degli elementi di fondazione. Nel caso di “*Riduzione Automatica*” è dato dalle successive espressioni (*Rif. Evaluation of coefficients of subgrade reaction K. Terzaghi, 1955 p. 315*):

$$c = \left[\frac{(B + b)}{2 \cdot B} \right]^2 \quad \text{per terreni incoerenti}$$

$$c = \left(\frac{L/B + 0,5}{1,5 \cdot L/B} \right) \cdot \frac{b}{B} \quad \text{per terreni coerenti}$$

Essendo:

b = 0,30 m, dimensione della piastra standard;

L = lato maggiore della fondazione;

B = lato minore della fondazione.

Nel caso di stratigrafia la costante di sottofondo utilizzata nel calcolo delle **sollecitazioni** è quella del terreno a contatto con la fondazione, mentre nel calcolo dei **cedimenti** la costante di sottofondo utilizzata è calcolata come media pesata delle costanti di sottofondo presenti nel volume significativo della fondazione.

Tutti i parametri che caratterizzano i terreni di fondazione sono riportati nei “Tabulati di calcolo”, nella relativa sezione. Per ulteriori dettagli si rimanda alle relazioni geologica e geotecnica.

12. ANALISI CARICHI

N _{id}	T. C.	Descrizione del Carico	Tipologie di Carico	Analisi carichi						
				Peso Proprio		Permanente NON Strutturale		Sovraccarico Accidentale		Carico Neve
				Descrizione	PP	Descrizione	PNS	Descrizione	SA	
001	S	CARICO PANNELLO FTV	Coperture speciali	Pannello fotovoltaico	140		0		0	480

LEGENDA:

N_{id} Numero identificativo dell'analisi di carico.

T. C. Identificativo del tipo di carico: [S] = Superficiale - [L] = Lineare - [C] = Concentrato.

PP, PNS, Valori, rispettivamente, del Peso Proprio, del Sovraccarico Permanente NON strutturale, del Sovraccarico Accidentale. Secondo il tipo

SA di carico indicato nella colonna "T.C." ("S" - "L" - "C"), i valori riportati nelle colonne "PP", "PNS" e "SA", sono espressi in [N/m²] per carichi Superficiali, [N/m] per carichi Lineari, [N] per carichi Concentrati.

Un'accurata valutazione dei carichi è un requisito imprescindibile di una corretta progettazione. La valutazione dei carichi e dei sovraccarichi è stata effettuata in accordo con le disposizioni del punto 3.1 del **D.M. 2018**. In particolare, è stato fatto utile riferimento

alle Tabelle 3.1.I e 3.1.II del D.M. 2018, per i pesi propri dei materiali e per la quantificazione e classificazione dei sovraccarichi, rispettivamente. La valutazione dei carichi permanenti è effettuata sulle dimensioni definitive. Le analisi effettuate, corredate da dettagliate descrizioni, oltre che nei “Tabulati di calcolo” nella relativa sezione, sono di seguito riportate:

13. VALUTAZIONE DELL’AZIONE SISMICA

L’azione sismica è stata valutata in conformità alle indicazioni riportate al §3.2 del D.M. 2018. particolare il procedimento per la definizione degli spettri di progetto per i vari Stati Limite per cui sono state effettuate le verifiche è stato il seguente:

- definizione della Vita Nominale e della Classe d’Uso della struttura, il cui uso combinato ha portato alla definizione del Periodo di Riferimento dell’azione sismica;
- individuazione, tramite latitudine e longitudine, dei parametri sismici di base a_g , F_0 e T_c^* per tutti e quattro gli Stati Limite previsti (SLO, SLD, SLV e SLC); l’individuazione è stata effettuata interpolando tra i 4 punti più vicini al punto di riferimento dell’edificio;
- determinazione dei coefficienti di amplificazione stratigrafica e topografica;
- calcolo del periodo T_c corrispondente all’inizio del tratto a velocità costante dello Spettro.

I dati così calcolati sono stati utilizzati per determinare gli Spettri di Progetto nelle verifiche agli Stati Limite considerate.

14. AZIONI SULLA STRUTTURA

I calcoli e le verifiche sono condotti con il metodo semiprobabilistico degli stati limite secondo le indicazioni del D.M. 2018. I carichi agenti sui solai, derivanti dall’analisi dei carichi, vengono ripartiti dal programma di calcolo in modo automatico sulle membrature (travi, pilastri, pareti, solette, platee, ecc.).

I carichi dovuti ai tamponamenti, sia sulle travi di fondazione che su quelle di piano, sono schematizzati come carichi lineari agenti esclusivamente sulle aste.

Su tutti gli elementi strutturali è inoltre possibile applicare direttamente ulteriori azioni concentrate e/o distribuite (variabili con legge lineare ed agenti lungo tutta l’asta o su tratti limitati di essa).

Le azioni introdotte direttamente sono combinate con le altre (carichi permanenti, accidentali

e sisma) mediante le combinazioni di carico di seguito descritte; da esse si ottengono i valori probabilistici da impiegare successivamente nelle verifiche.

14.1 Stato Limite di Salvaguardia della Vita

Le azioni sulla costruzione sono state cumulate in modo da determinare condizioni di carico tali da risultare più sfavorevoli ai fini delle singole verifiche, tenendo conto della probabilità ridotta di intervento simultaneo di tutte le azioni con i rispettivi valori più sfavorevoli, come consentito dalle norme vigenti.

Per gli stati limite ultimi sono state adottate le combinazioni del tipo:

$$\gamma_{G1} \cdot G_1 + \gamma_{G2} \cdot G_2 + \gamma_P \cdot P + \gamma_{Q1} \cdot Q_{K1} + \gamma_{Q2} \cdot \psi_{02} \cdot Q_{K2} + \gamma_{Q3} \cdot \psi_{03} \cdot Q_{K3} + \dots \quad (1)$$

dove:

- G_1 rappresenta il peso proprio di tutti gli elementi strutturali; peso proprio del terreno, quando pertinente; forze indotte dal terreno (esclusi gli effetti di carichi variabili applicati al terreno); forze risultanti dalla pressione dell'acqua (quando si configurino costanti nel tempo);
- G_2 rappresenta il peso proprio di tutti gli elementi non strutturali;
- P rappresenta l'azione di pretensione e/o precompressione;
- Q azioni sulla struttura o sull'elemento strutturale con valori istantanei che possono risultare sensibilmente diversi fra loro nel tempo:
- di lunga durata: agiscono con un'intensità significativa, anche non continuativamente, per un tempo non trascurabile rispetto alla vita nominale della struttura;
 - di breve durata: azioni che agiscono per un periodo di tempo breve rispetto alla vita nominale della struttura;
- Q_{ki} rappresenta il valore caratteristico della i-esima azione variabile;
- $\gamma_g, \gamma_q, \gamma_p$ coefficienti parziali come definiti nella Tab. 2.6.I del D.M. 2018;
- ψ_{0i} sono i coefficienti di combinazione per tenere conto della ridotta probabilità di concomitanza delle azioni variabili con i rispettivi valori caratteristici.

Le **10 combinazioni** risultanti sono state costruite a partire dalle sollecitazioni caratteristiche calcolate per ogni condizione di carico elementare: ciascuna condizione di carico accidentale, a rotazione, è stata considerata sollecitazione di base (Q_{k1} nella formula precedente).

I coefficienti relativi a tali combinazioni di carico sono riportati negli allegati "Tabulati di calcolo".

Le verifiche strutturali e geotecniche delle fondazioni sono state effettuate con l'**Approccio 2** come definito al §2.6.1 del D.M. 2018, attraverso la combinazione **A1+M1+R3**. Le azioni sono state amplificate tramite i coefficienti della colonna A1 definiti nella Tab. 6.2.I del D.M. 2018.

I valori di resistenza del terreno sono stati ridotti tramite i coefficienti della colonna M1 definiti nella Tab. 6.2.II del D.M. 2018.

I valori calcolati delle resistenze totali dell'elemento strutturale sono stati divisi per i coefficienti R3 della Tab. 6.4.I del D.M. 2018 per le fondazioni superficiali.

Si è quindi provveduto a progettare le armature di ogni elemento strutturale per ciascuno dei valori ottenuti secondo le modalità precedentemente illustrate. Nella sezione relativa alle verifiche dei "Tabulati di calcolo" in allegato sono riportati, per brevità, i valori della sollecitazione relativi alla combinazione cui corrisponde il minimo valore del coefficiente di sicurezza.

14.2 Stati Limite di Esercizio

Allo Stato Limite di Esercizio le sollecitazioni con cui sono state semiprogettate le aste in c.a. sono state ricavate applicando le formule riportate nel D.M. 2018 al §2.5.3. Per le verifiche agli stati limite di esercizio, a seconda dei casi, si fa riferimento alle seguenti combinazioni di carico:

rara	frequente	quasi permanente
$\sum_{j \geq 1} G_{kj} + P + Q_{k1} + \sum_{i > 1} \psi_{0i} \cdot Q_{ki}$	$\sum_{j \geq 1} G_{kj} + P + \psi_{11} \cdot Q_{k1} + \sum_{i > 1} \psi_{2i} \cdot Q_{ki}$	$\sum_{j \geq 1} G_{kj} + P + \sum_{i > 1} \psi_{2i} \cdot Q_{ki}$

dove:

- G_{kj} : valore caratteristico della j-esima azione permanente;
- P_{kh} : valore caratteristico della h-esima deformazione impressa;
- Q_{ki} : valore caratteristico dell'azione variabile di base di ogni combinazione;
- Q_{ki} : valore caratteristico della i-esima azione variabile;
- ψ_{0i} : coefficiente atto a definire i valori delle azioni ammissibili di durata breve ma ancora significativi nei riguardi della possibile concomitanza con altre azioni variabili;
- ψ_{1i} : coefficiente atto a definire i valori delle azioni ammissibili ai frattili di ordine 0,95 delle distribuzioni dei valori istantanei;

ψ_{2i} : coefficiente atto a definire i valori quasi permanenti delle azioni ammissibili ai valori medi delle distribuzioni dei valori istantanei.

Ai coefficienti ψ_{0i} , ψ_{1i} , ψ_{2i} sono attribuiti i seguenti valori:

Azione	ψ_{0i}	ψ_{1i}	ψ_{2i}
Categoria A – Ambienti ad uso residenziale	0,7	0,5	0,3
Categoria B – Uffici	0,7	0,5	0,3
Categoria C – Ambienti suscettibili di affollamento	0,7	0,7	0,6
Categoria D – Ambienti ad uso commerciale	0,7	0,7	0,6
Categoria E – Biblioteche, archivi, magazzini e ambienti ad uso industriale	1,0	0,9	0,8
Categoria F – Rimesse e parcheggi (per autoveicoli di peso ≤ 30 kN)	0,7	0,7	0,6
Categoria G – Rimesse e parcheggi (per autoveicoli di peso > 30 kN)	0,7	0,5	0,3
Categoria H – Coperture	0,0	0,0	0,0
Vento	0,6	0,2	0,0
Neve (a quota ≤ 1000 m s.l.m.)	0,5	0,2	0,0
Neve (a quota > 1000 m s.l.m.)	0,7	0,5	0,2
Variazioni termiche	0,6	0,5	0,0

In maniera analoga a quanto illustrato nel caso dello SLU le combinazioni risultanti sono state costruite a partire dalle sollecitazioni caratteristiche calcolate per ogni condizione di carico; a turno ogni condizione di carico accidentale è stata considerata sollecitazione di base [Q_{k1} nella formula (1)], con ciò dando origine a tanti valori combinati. Per ognuna delle combinazioni ottenute, in funzione dell'elemento (trave, pilastro, etc...) sono state effettuate le verifiche allo SLE (tensioni, deformazioni e fessurazione).

Negli allegati "Tabulati Di Calcolo" sono riportanti i coefficienti relativi alle combinazioni di calcolo generate relativamente alle combinazioni di azioni "**Quasi Permanente**" (1), "**Frequente**" (4) e "**Rara**" (4).

Nelle sezioni relative alle verifiche allo SLE dei citati tabulati, inoltre, sono riportati i valori delle sollecitazioni relativi alle combinazioni che hanno originato i risultati più gravosi.

14.3 Classe di duttilità

La classe di duttilità è rappresentativa della capacità dell'edificio di dissipare energia in campo anelastico per azioni cicliche ripetute. deformazioni anelastiche devono essere distribuite nel maggior numero di elementi duttili, in particolare le travi, salvaguardando in tal modo i pilastri e soprattutto i nodi travi pilastro che sono gli elementi più fragili. D.M. 2018 definisce due tipi di comportamento strutturale:

- comportamento strutturale non-dissipativo;
- comportamento strutturale dissipativo.

Per strutture con comportamento strutturale dissipativo si distinguono due livelli di Capacità Dissipativa o Classi di Duttilità (CD).

- CD "A" (Alta);
- CD "B" (Media).

La differenza tra le due classi risiede nell'entità delle plasticizzazioni cui ci si riconduce in fase di progettazione; per ambedue le classi, onde assicurare alla struttura un comportamento dissipativo e duttile evitando rotture fragili e la formazione di meccanismi instabili imprevisi, si fa ricorso ai procedimenti tipici della gerarchia delle resistenze.

La struttura in esame è stata progettata in classe di duttilità "**MEDIA**" (CD"**B**").

14.4 Spettri di Progetto per S.L.U. e S.L.D

L'edificio è stato progettato per una **Vita Nominale** pari a **50** e per **Classe d'Uso** pari a **2**.

In base alle indagini geognostiche effettuate si è classificato il **suolo** di fondazione di **categoria C**, cui corrispondono i seguenti valori per i parametri necessari alla costruzione degli spettri di risposta orizzontale e verticale:

Stato Limite	a_g/g	F_0	Parametri di pericolosità sismica					
			T^*_c [s]	C_c	T_B [s]	T_c [s]	T_D [s]	S_s
SLO	0.0186	2.610	0.273	1.61	0.147	0.440	1.674	1.50
SLD	0.0235	2.670	0.296	1.57	0.155	0.464	1.694	1.50
SLV	0.0500	2.880	0.340	1.50	0.170	0.510	1.800	1.50
SLC	0.0603	2.980	0.372	1.46	0.180	0.541	1.841	1.50

Per la definizione degli spettri di risposta, oltre all'accelerazione (a_g) al suolo (dipendente dalla classificazione sismica del Comune) occorre determinare il Fattore di Comportamento (q).

Il Fattore di comportamento q è un fattore riduttivo delle forze elastiche introdotto per tenere conto delle capacità dissipative della struttura che dipende dal sistema costruttivo adottato, dalla Classe di Duttilità e dalla regolarità in altezza.

Si è inoltre assunto il **Coefficiente di Amplificazione Topografica** (S_T) pari a **1.00**.

Tali succitate caratteristiche sono riportate negli allegati "Tabulati di calcolo" al punto "DATI

GENERALI ANALISI SISMICA”.

Per la struttura in esame sono stati utilizzati i seguenti valori:

Stato Limite di Danno

Fattore di Comportamento (q_x) per sisma orizzontale in **1.00**;
direzione X:

Fattore di Comportamento (q_y) per sisma orizzontale in **1.00**;
direzione Y:

Fattore di Comportamento (q_z) per sisma verticale: **1.00** (se richiesto).

Stato Limite di salvaguardia della Vita

Fattore di Comportamento (q_x) per sisma orizzontale in **4.000** ;
direzione X:

Fattore di Comportamento (q_y) per sisma orizzontale in **4.000** ;
direzione Y:

Fattore di Comportamento (q_z) per sisma verticale: **1.50** (se richiesto).

Di seguito si esplicita il calcolo del fattore di comportamento per il sisma orizzontale:

	Dir. X	Dir. Y
Tipologia (§7.5.2.2 D.M. 2018)	A telaio	A telaio
Tipologia strutturale	con più campate	con più campate
α_u/α_1	1	1
q_0	4.000	4.000
k_R	1.00	

Il fattore di comportamento è calcolato secondo la relazione (7.3.1) del §7.3.1 del D.M. 2018:

$$q = q_0 \cdot k_R;$$

dove:

q_0 è il valore massimo del fattore di comportamento che dipende dal livello di duttilità attesa, dalla tipologia strutturale e dal rapporto α_u/α_1 tra il valore dell'azione sismica per il quale si verifica la formazione di un numero di cerniere plastiche tali da rendere la struttura labile e quello per il quale il primo elemento strutturale raggiunge la plasticizzazione a flessione;

k_R è un fattore riduttivo che dipende dalle caratteristiche di regolarità in altezza della costruzione, con valore pari ad 1 per costruzioni regolari in altezza e pari a 0,8 per costruzioni non regolari in altezza.

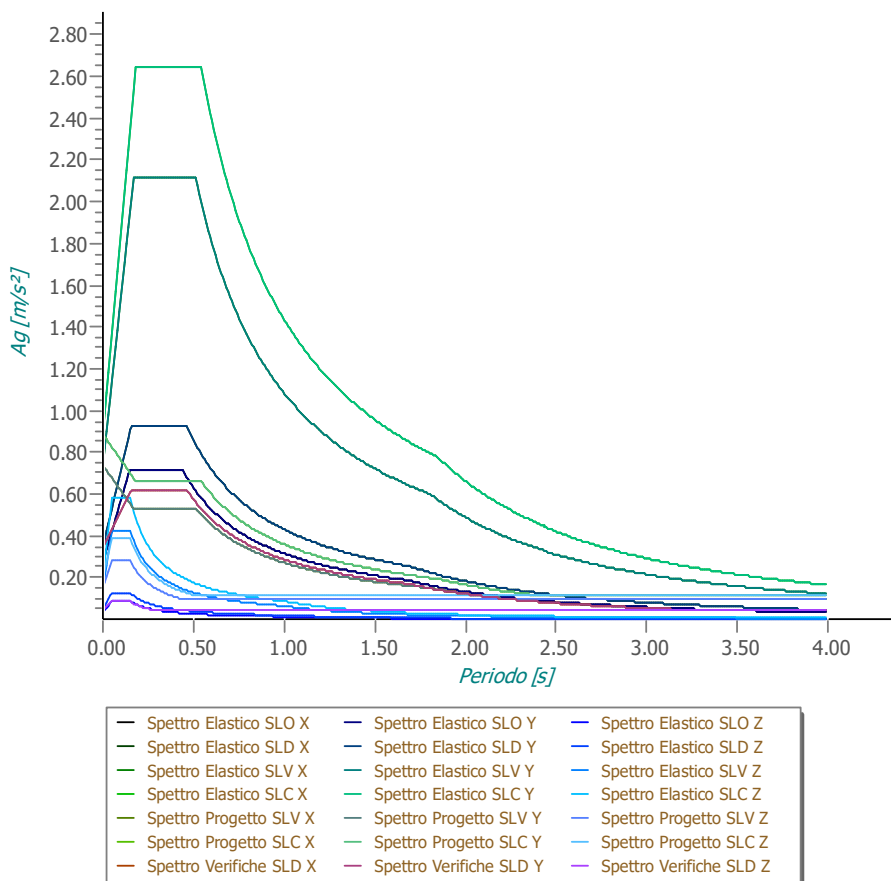
N.B.1: Per le costruzioni **regolari in pianta**, qualora non si proceda ad un'analisi non lineare finalizzata alla valutazione del rapporto α_u/α_1 , per esso possono essere adottati i valori indicati al §7.4.3.2 del D.M. 2018 per le diverse tipologie costruttive. Per le costruzioni **non regolari in pianta**, si possono adottare valori α_u/α_1 pari alla media tra 1,0 ed i valori di volta in volta forniti per le diverse tipologie costruttive.

Valori massimi del valore di base q_0 del fattore di comportamento allo SLV per costruzioni d'acciaio (§ 7.5.2.2 D.M. 2018)(cfr. Tabella 7.3.II D.M. 2018)

Tipologia strutturale	q_0	
	CD "A"	CD "B"
a) Strutture intelaiate) Strutture con controventi eccentrici	5,0 α_u/α_1	4,0
b1) Strutture con controventi concentrici a diagonale tesa attiva	4,0	4,0
b2) Strutture con controventi concentrici a V	2,5	2,0
d) Strutture a mensola o a pendolo inverso	2,0 α_u/α_1	2,0
e) Strutture intelaiate con controventi concentrici	4,0 α_u/α_1	4,0
f) Strutture intelaiate con tamponature in muratura	2,0	2,0

Gli spettri utilizzati sono riportati nella successiva figura.

Grafico degli Spettri di Risposta



14.5 Metodo di Analisi

Il calcolo delle azioni sismiche è stato eseguito in analisi dinamica modale, considerando il comportamento della struttura in regime elastico lineare.

Il numero di modi di vibrazione considerato (30) ha consentito, nelle varie condizioni, di mobilitare le seguenti percentuali delle masse della struttura:

Stato Limite	Direzione Sisma	%
salvaguardia della vita	X	100.0
salvaguardia della vita	Y	100.0
salvaguardia della vita	Z	22.7
salvaguardia della vita	Torsionale	-

Per valutare la risposta massima complessiva di una generica caratteristica E, conseguente alla sovrapposizione dei modi, si è utilizzata una tecnica di combinazione probabilistica definita CQC (*Complete Quadratic Combination - Combinazione Quadratica Completa*):

$$E = \sqrt{\sum_{i,j=1,n} \rho_{ij} \cdot E_i \cdot E_j} \quad \rho_{ij} = \frac{8 \cdot \xi^2 \cdot (1 + \beta_{ij}) \cdot \beta_{ij}^{3/2}}{(1 - \beta_{ij}^2)^2 + 4 \cdot \xi^2 \cdot \beta_{ij} \cdot (1 + \beta_{ij})^2} \quad \beta_{ij} = \frac{T_j}{T_i}$$

dove:

- n è il numero di modi di vibrazione considerati;
- ξ è il coefficiente di smorzamento viscoso equivalente espresso in percentuale;
- β_{ij} è il rapporto tra le frequenze di ciascuna coppia i-j di modi di vibrazione.

Le sollecitazioni derivanti da tali azioni sono state composte poi con quelle derivanti da carichi verticali, orizzontali non sismici secondo le varie combinazioni di carico probabilistiche. Il calcolo è stato effettuato mediante un programma agli elementi finiti le cui caratteristiche verranno descritte nel seguito.

Il calcolo degli effetti dell'azione sismica è stato eseguito con riferimento alla struttura spaziale, tenendo cioè conto degli elementi interagenti fra loro secondo l'effettiva realizzazione escludendo i tamponamenti. Non ci sono approssimazioni su tetti inclinati,

piani sfalsati o scale, solette, pareti irrigidenti e nuclei.

Si è tenuto conto delle deformabilità taglianti e flessionali degli elementi monodimensionali; muri, pareti, setti, solette sono stati correttamente schematizzati tramite elementi finiti a tre/quattro nodi con comportamento a guscio (sia a piastra che a lastra).

Sono stati considerati sei gradi di libertà per nodo; in ogni nodo della struttura sono state applicate le forze sismiche derivanti dalle masse circostanti.

Le sollecitazioni derivanti da tali forze sono state poi combinate con quelle derivanti dagli altri carichi come prima specificato.

14.6 Valutazione degli spostamenti

Gli spostamenti d_E della struttura sotto l'azione sismica di progetto allo SLV sono stati ottenuti moltiplicando per il fattore μ_d i valori d_{Ee} ottenuti dall'analisi lineare, dinamica o statica, secondo l'espressione seguente:

$$d_E = \pm \mu_d \cdot d_{Ee}$$

dove

$$\begin{array}{ll} \mu_d = q & \text{se } T_1 \geq T_C; \\ \mu_d = 1 + (q-1) \cdot T_C / T_1 & \text{se } T_1 < T_C. \end{array}$$

In ogni caso $\mu_d \leq 5q - 4$.

14.7 Combinazione delle componenti dell'azione sismica

Le azioni orizzontali dovute al sisma sulla struttura vengono convenzionalmente determinate come agenti separatamente in due direzioni tra loro ortogonali prefissate. In generale, però, le componenti orizzontali del sisma devono essere considerate come agenti simultaneamente. A tale scopo, la combinazione delle componenti orizzontali dell'azione sismica è stata tenuta in conto come segue:

- gli effetti delle azioni dovuti alla combinazione delle componenti orizzontali dell'azione sismica sono stati valutati mediante le seguenti combinazioni:

$$E_{EdX} \pm 0,30E_{EdY}$$

$$E_{EdY} \pm 0,30E_{EdX}$$

dove:

E_{EdX} rappresenta gli effetti dell'azione dovuti all'applicazione dell'azione sismica lungo l'asse orizzontale X scelto della struttura;

E_{EdY} rappresenta gli effetti dell'azione dovuti all'applicazione dell'azione sismica lungo l'asse orizzontale Y scelto della struttura.

L'azione sismica verticale deve essere considerata in presenza di: elementi pressoché orizzontali con luce superiore a 20 m, elementi pressoché orizzontali precompressi, elementi a sbalzo pressoché orizzontali con luce maggiore di 5 m, travi che sostengono colonne, strutture isolate.

La combinazione della componente verticale del sisma, qualora portata in conto, con quelle orizzontali è stata tenuta in conto come segue:

- gli effetti delle azioni dovuti alla combinazione delle componenti orizzontali e verticali del sisma sono stati valutati mediante le seguenti combinazioni:

$$E_{EdX} \pm 0,30E_{EdY} \pm 0,30E_{EdZ} \quad E_{EdY} \pm 0,30E_{EdX} \pm 0,30E_{EdZ} \quad E_{EdZ} \pm 0,30E_{EdX} \pm 0,30E_{EdY}$$

dove:

E_{EdX} e E_{EdY} sono gli effetti dell'azione sismica nelle direzioni orizzontali prima definite;

E_{EdZ} rappresenta gli effetti dell'azione dovuti all'applicazione della componente verticale dell'azione sismica di progetto.

14.8 Azione del Vento

L'applicazione dell'azione del vento sulla struttura si articola in due fasi:

1. calcolo della pressione Normale e Tangenziale lungo l'altezza dell'edificio;
2. trasformazione delle pressioni in forze (lineari/concentrate) sugli elementi (strutturali/non strutturali) dell'edificio.

14.9 Calcolo pressione normale e tangenziale

• **Pressione Normale**

La pressione del vento è data dall'espressione:

$$p = q_r \cdot C_e \cdot C_p \cdot C_d \quad (\text{relazione 3.3.4 - D.M. 2018});$$

dove

- q_r : la pressione cinetica di riferimento data dall'espressione:

$$q_b = \frac{1}{2} \cdot \rho \cdot v_r^2 \quad (\text{relazione 3.3.6 - D.M. 2018});$$

con:

ρ : densità dell'aria (assunta pari a 1,25 kg/m³);

v_r : velocità di riferimento del vento (in m/s), data da (Eq. 3.3.2 - D.M. 2018):

$$v_r = v_b \cdot C_r, \text{ con:}$$

α_R : coefficiente dato dalla seguente relazione:

$$c_r = 0,75 \cdot \sqrt{1 - 0,2 \cdot \ln \left[-\ln \left(1 - \frac{1}{T_R} \right) \right]} \quad (\text{relazione 3.3.3 - D.M. 2018});$$

v_b : velocità di riferimento del vento associata ad un periodo di ritorno di 50 anni, data

$$\text{da: } v_b = v_{b,0} \cdot C_a$$

dove:

C_a è il coefficiente di altitudine fornito dalla relazione:

$$C_a = 1 \quad \text{per } a_s \leq a_0.$$

$$C_a = 1 + k_s \left(\frac{a_s}{a_0} - 1 \right) \quad \text{per } a_0 < a_s \leq 1500 \text{ m.}$$

$v_{b,0}$, a_0 , k_s : parametri forniti dalla Tab. 3.3.I del §3.3.2 D.M. 2018;

a_s : altitudine sul livello del mare (m.s.l.m) del sito ove sorge la costruzione;

T_R : periodo di ritorno espresso in anni [10 anni; 500 anni].

- C_e : coefficiente di esposizione, che per altezza sul suolo (z) non maggiori di 200 m è dato dalla formula:

$$C_e(z) = k_r^2 \cdot C_t \cdot \ln(z/z_0) \cdot [7 + C_t \cdot \ln(z/z_0)] \quad \text{per } z \geq z_{\min} \quad (\text{relazione 3.3.7 - D.M. 2018});$$

$$C_e(z) = C_e(z_{\min}) \quad \text{per } z < z_{\min}$$

dove:

k_r, z_0, z_{min} : parametri forniti dalla Tab. 3.3.II del par. 3.3.7 D.M. 2018 (*funzione della categoria di esposizione del sito e della classe di rugosità del terreno*);

c_t : coefficiente di topografia (assunto pari ad 1).

- c_p : coefficiente di forma (o coefficiente aerodinamico), funzione della tipologia e della geometria della costruzione e del suo orientamento rispetto alla direzione del vento (cfr. § 3.3.8 - D.M. 2018).
- c_d : coefficiente dinamico (assunto pari ad 1; par. 3.3.9 - D.M. 2018).

• **Pressione Tangenziale**

L'azione tangente per unità di superficie parallela alla direzione del vento è data dall'espressione

$$p_f = q_r \cdot c_e \cdot c_f \quad (\text{relazione 3.3.5 - D.M. 2018});$$

dove

- q_r, c_e : definiti in precedenza;
- c_f : coefficiente d'attrito, funzione della scabrezza della superficie sulla quale il vento esercita l'azione tangente funzione (valori presi dalla Tab. C3.3.I della Circolare 2018).

Per il caso in esame:

14.10 VENTO - CALCOLO PRESSIONE CINETICA DI RIFERIMENTO

Vento - calcolo pressione cinetica di riferimento										
α	DIR	a_s	Zona	$V_{b,0}$	a_0	k_s	V_b	T_R	α_R	q_b
[°]		[m]		[m/s]	[m]		[m/s]	[anni]		[N/m ²]
0,00	+X; -X; +Y; -Y	10	1	25	1.000	0,400	25,00	50	1,00	391

LEGENDA:

α	Angolo di inclinazione del vento rispetto all'asse x
DIR	Direzioni locali di calcolo del vento
a_s	Altitudine sul livello del mare (m.s.l.m) del sito ove sorge la costruzione;
Zona	Zona di riferimento per il calcolo del vento;
$V_{b,0}, a_0, k_s$	Parametri per la definizione della velocità base di riferimento
V_b	Velocità di riferimento del vento associata ad un periodo di ritorno di 50 anni;
T_R	Periodo di ritorno;
α_R	Coefficiente per il calcolo della pressione cinetica di riferimento;
q_b	Pressione cinetica di riferimento.

14.11 VENTO - CALCOLO COEFFICIENTE DI ESPOSIZIONE

Vento - calcolo coefficiente di esposizione								
Z	d _{ct}	CIRg	Cat exp	k _r	Z _G	Z _{min}	C _t	C _e
[m]	[km]				[m]	[m]		
0,00	sulla costa,	A	V	0,23	0,70	12,00	1,00	1,48
3,00	oltre 30 Km							1,48

LEGENDA:

- Z** Altezza dell'edificio a cui viene calcolata la pressione del vento;
d_{ct} Distanza dalla costa;
CIRg Classe di rugosità del terreno (A, B, C, D);
g
Cat Categoria di esposizione del sito (I, II, III, IV, V);
exp
k_r Parametri per la definizione del coefficiente di esposizione;
Z₀,
Z_{min}
C_t Coefficiente di topografia;
C_e Coefficiente di esposizione;

14.12 VENTO - CALCOLO PRESSIONE DEL VENTO

Vento - calcolo pressione del vento								
Z	q _b	C _e	C _p	C _d	p	Scz	C _f	p _f
[m]	[N/m ²]				[N/m ²]			[N/m ²]
0,00	391	1,48	1,00	1,00	578	Liscia (0.01)	0,01	6
3,00		1,48			578			6

LEGENDA:

- Z** Altezza dell'edificio a cui viene calcolata la pressione del vento;
q_b Pressione cinetica di riferimento.
C_e Coefficiente di esposizione;
C_p Coefficiente di forma/aerodinamico.
 (*) Valorizzato al momento del calcolo della pressione agente sul singolo elemento strutturale ed è funzione della posizione dello stesso (sopravento/sottovento);
C_d Coefficiente dinamico;
p Pressione normale (senza il contributo di C_p);
Scz Scabrezza della superficie (liscia, scabra, molto scabra);
C_f Coefficiente d'attrito;
p_f Pressione tangenziale (senza il contributo di C_p).

14.13 Azione della Neve

Il carico da neve è stato calcolato seguendo le prescrizioni del §3.4 del D.M. 2018 e le integrazioni della Circolare 2019 n. 7. Il carico da neve, calcolato come di seguito riportato, è stato combinato con le altre azioni variabili definite al §2.5.3, ed utilizzando i coefficienti di combinazione della Tabella 2.5.I del D.M. 2018. Il carico da neve superficiale da applicare sulle coperture è stato stimato utilizzando la relazione [cfr. §3.4.1 D.M. 2018]:

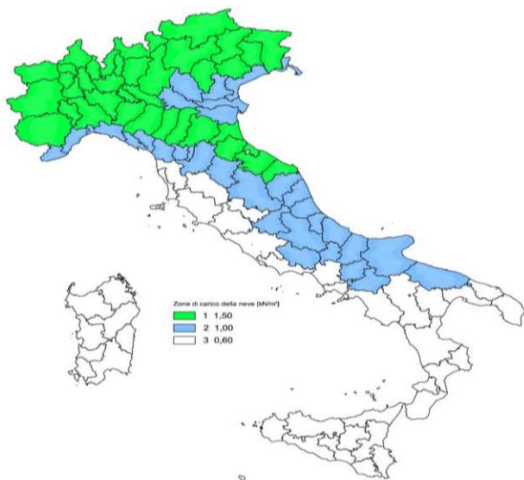
$$q_s = q_{sk} \cdot \mu_i \cdot C_E \cdot C_t$$

dove:

- q_{sk} è il valore di riferimento del carico della neve al suolo, in [kN/m²]. Tale valore è calcolato in base alla posizione ed all'altitudine (as) secondo quanto indicato alla seguente tabella;

Valori di riferimento del carico della neve al suolo, q_{sk} (cfr. §3.4.2 D.M. 2018)

Zona	$a_s \leq 200$ m	$a_s > 200$ m
I – Alpina	$q_{sk} = 1,50$ kN/m ²	$q_{sk} = 1,39 [1+(a_s/728)^2]$ kN/m ²
I – Mediterranea	$q_{sk} = 1,50$ kN/m ²	$q_{sk} = 1,35 [1+(a_s/602)^2]$ kN/m ²
II	$q_{sk} = 1,00$ kN/m ²	$q_{sk} = 0,85 [1+(a_s/481)^2]$ kN/m ²
III	$q_{sk} = 0,60$ kN/m²	$q_{sk} = 0,51 [1+(a_s/481)^2]$ kN/m²



Mappa delle zone di carico della neve
[cfr. Fig. 3.4.1 D.M. 2018].

Zone di carico della neve

I - Alpina: Aosta, Belluno, Bergamo, Biella, Bolzano, Brescia, Como, Cuneo, Lecco, Pordenone, Sondrio, Torino, Trento, Udine, Verbano-Cusio-Ossola, Vercelli, Vicenza

I - Mediterranea: Alessandria, Ancona, Asti, Bologna, Cremona, Forlì-Cesena, Lodi, Milano, Modena, Monza Brianza, Novara, Parma, Pavia, Pesaro e Urbino, Piacenza, Ravenna, Reggio Emilia, Rimini, Treviso, Varese

II: Arezzo, Ascoli Piceno, Avellino, Bari, Barletta-Andria-Trani, Benevento, Campobasso, Chieti, Fermo, Ferrara, Firenze, Foggia, Frosinone, Genova, Gorizia, Imperia, Isernia, L'Aquila, La Spezia, Lucca, Macerata, Mantova, Massa Carrara, Padova, Perugia, Pescara, Pistoia, Prato, Rieti, Rovigo, Savona, Teramo, Trieste, Venezia, Verona

III: Agrigento, Brindisi, Cagliari, Caltanissetta, Carbonia-Iglesias, Caserta, Catania, Catanzaro, Cosenza, Crotona, Enna, Grosseto, Latina, Lecce, Livorno, Matera, Medio Campidano, Messina, Napoli, Nuoro, Ogliastra, Olbia-Tempio, Oristano, Palermo, Pisa, Potenza, Ragusa, Reggio Calabria, Roma, Salerno, Sassari, Siena, Siracusa, Taranto, Terni, Trapani, Vibo Valentia, Viterbo

- μ è il coefficiente di forma della copertura, funzione dell'inclinazione della falda (α) e della sua morfologia (vedi tabelle seguenti);

Valori dei coefficienti di forma per falde piane (cfr. Tab. 3.4.II D.M. 2018 e Tab. C3.4.I Circolare 2019 n. 7)

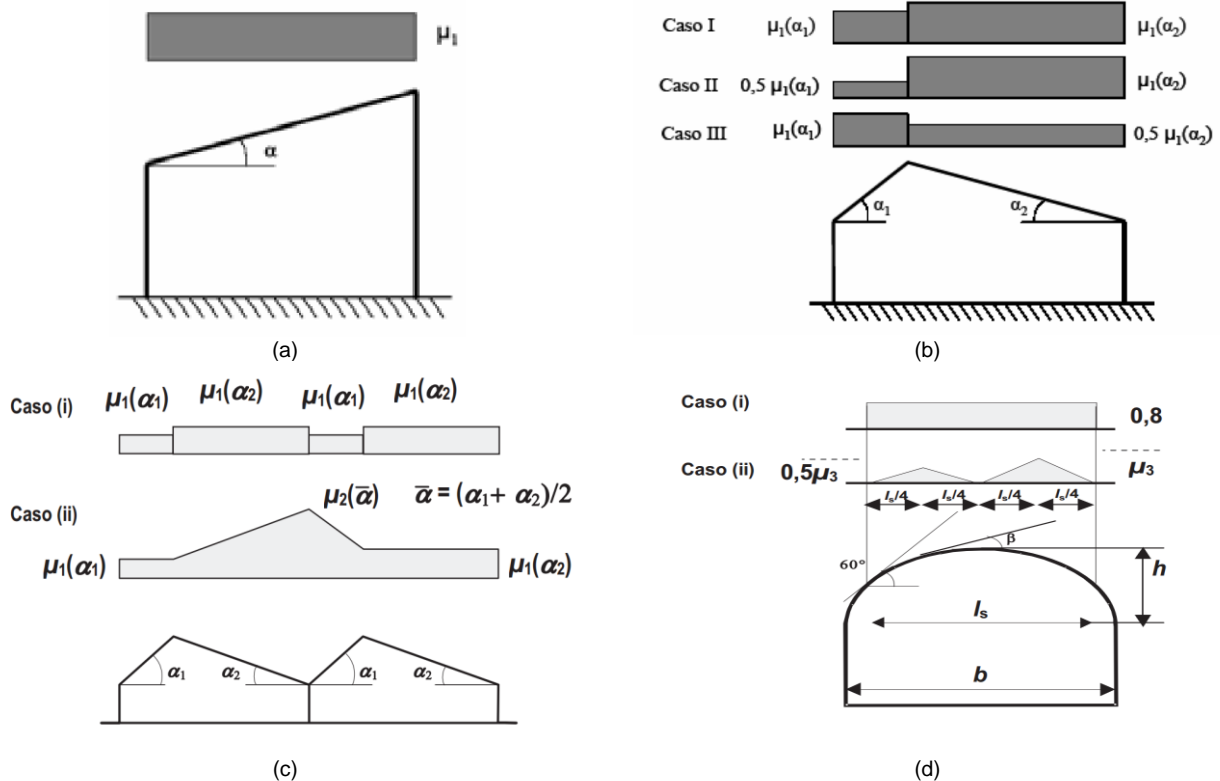
Coefficiente di forma	$0^\circ \leq \alpha \leq 30^\circ$	$30^\circ < \alpha < 60^\circ$	$\alpha \geq 60^\circ$
-----------------------	-------------------------------------	--------------------------------	------------------------

μ_1	0,8	$0,8 \cdot (60 - \alpha) / 30$	0,0
μ_2	$0,8 + 0,8 \cdot \alpha / 30$	1,6	-

Valori dei coefficienti di forma per coperture cilindriche (cfr. §C3.4.3.3.1 Circolare 2019 n. 7)

Angolo di tangenza delle coperture cilindriche, β	Coefficiente di forma, μ_3
per $\beta > 60^\circ$	$\mu_3 = 0$
per $\beta \leq 60^\circ$	$\mu_3 = 0.2 + 10 h / b \leq 2.0$

I coefficienti di forma definiti nelle tabelle precedenti sono stati utilizzati per la scelta delle combinazioni di carico da neve indicate nelle seguenti figure.



Coefficienti di forma e relative combinazioni di carico per la neve: (a) coperture ad una falda [cfr. 3.4.5.2 D.M. 2018], (b) coperture a due falde [cfr. 3.4.5.3 D.M. 2018], (c) coperture a più falde [cfr. C3.4.3.3 Circolare 2019 n. 7], (d) coperture cilindriche [cfr. C3.4.3.3.1 Circolare 2019 n. 7].

- C_E è il coefficiente di esposizione, funzione della topografia del sito (si veda la seguente tabella);

Valori di C_E per diverse classi di esposizione (cfr. Tab. 3.4.I D.M. 2018)

Topografia	Descrizione	C_E
Battuta dai venti	Aree pianeggianti non ostruite esposte su tutti i lati, senza costruzioni o alberi più alti	0,9
Normale	Aree in cui non è presente una significativa rimozione di neve sulla costruzione prodotta dal vento, a causa del terreno, altre costruzioni o alberi	1,0
Riparata	Aree in cui la costruzione considerata è sensibilmente più bassa del circostante terreno o circondata da costruzioni o alberi più alti	1,1

-
- C_t è il coefficiente termico, cautelativamente posto pari ad 1 (cfr. §3.4.4 D.M. 2018).

14.14 Applicazione delle forze sulla struttura

Per ogni superficie esposta all'azione del vento si individua la posizione del baricentro e in corrispondenza di esso, dal diagramma delle pressioni dell'edificio, si ricava la pressione per unità di superficie.

Per gli elementi **strutturali** la pressione è trasformata in:

- forze lineari per i beam (*pilastrini e travi*);
- forze nodali per le shell (*pareti, muri e solette*).

Per gli elementi **non strutturali** (*tamponature, solai e balconi*) la forza totale (pressione nel baricentro x superficie) viene divisa per il perimetro in modo da ottenere una forza per unità di lunghezza che viene applicata sugli elementi strutturali confinanti.

15. CODICE DI CALCOLO IMPIEGATO

Denominazione

Nome del Software	EdiLus
Versione	BIM 2(b)
Caratteristiche del Software	Software per il calcolo di strutture agli elementi finiti per Windows
Produzione e Distribuzione	ACCA software S.p.A. Contrada Rosole 13 83043 BAGNOLI IRPINO (AV) - Italy Tel. 0827/69504 r.a. - Fax 0827/601235 e-mail: info@acca.it - Internet: www.acca.it

15.1 Sintesi delle funzionalità generali

Il pacchetto consente di modellare la struttura, di effettuare il dimensionamento e le verifiche di tutti gli elementi strutturali e di generare gli elaborati grafici esecutivi.

È una procedura integrata dotata di tutte le funzionalità necessarie per consentire il calcolo completo di una struttura mediante il metodo degli elementi finiti (FEM); la modellazione della struttura è realizzata tramite elementi Beam (travi e pilastrini) e Shell (platee, pareti,

solette, setti, travi-parete).

L'input della struttura avviene per oggetti (travi, pilastri, solai, solette, pareti, etc.) in un ambiente grafico integrato; il modello di calcolo agli elementi finiti, che può essere visualizzato in qualsiasi momento in una apposita finestra, viene generato dinamicamente dal software.

Apposite funzioni consentono la creazione e la manutenzione di archivi Sezioni, Materiali e Carichi; tali archivi sono generali, nel senso che sono creati una tantum e sono pronti per ogni calcolo, potendoli comunque integrare/modificare in ogni momento.

L'utente non può modificare il codice ma soltanto eseguire delle scelte come:

- definire i vincoli di estremità per ciascuna asta (vincoli interni) e gli eventuali vincoli nei nodi (vincoli esterni);
- modificare i parametri necessari alla definizione dell'azione sismica;
- definire condizioni di carico;
- definire gli impalcati come rigidi o meno.

Il programma è dotato di un manuale tecnico ed operativo. L'assistenza è effettuata direttamente dalla casa produttrice, mediante linea telefonica o e-mail.

Il calcolo si basa sul solutore agli elementi finiti **MICROSAP** prodotto dalla società **TESYS srl**. La scelta di tale codice è motivata dall'elevata affidabilità dimostrata e dall'ampia documentazione a disposizione, dalla quale risulta la sostanziale uniformità dei risultati ottenuti su strutture standard con i risultati internazionalmente accettati ed utilizzati come riferimento.

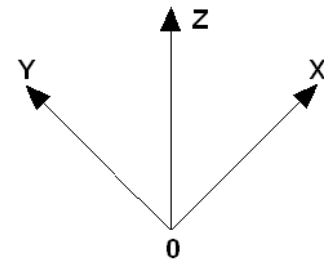
Tutti i risultati del calcolo sono forniti, oltre che in formato numerico, anche in formato grafico permettendo così di evidenziare agevolmente eventuali incongruenze.

Il programma consente la stampa di tutti i dati di input, dei dati del modello strutturale utilizzato, dei risultati del calcolo e delle verifiche dei diagrammi delle sollecitazioni e delle deformate.

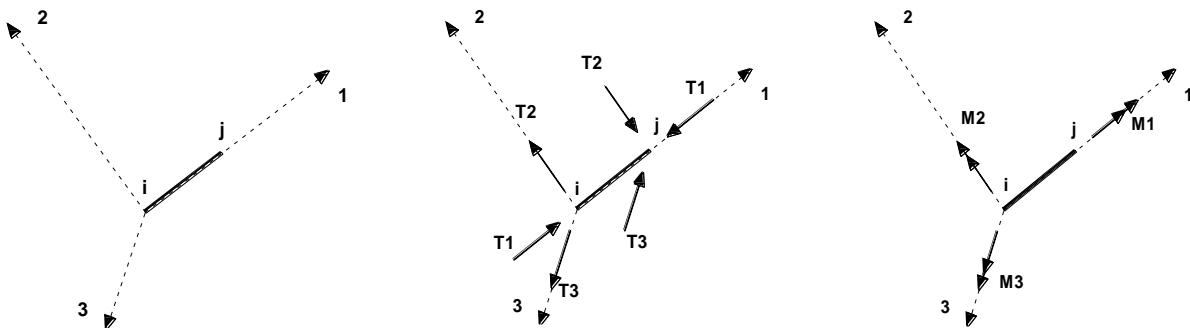
15.2 Sistemi di Riferimento

15.2.1 Riferimento globale

Il sistema di riferimento globale, rispetto al quale va riferita l'intera struttura, è costituito da una terna di assi cartesiani sinistrorsa O, X, Y, Z (X, Y , e Z sono disposti e orientati rispettivamente secondo il pollice, l'indice ed il medio della mano destra, una volta posizionati questi ultimi a 90° tra loro).



15.2.2 Riferimento locale per travi



L'elemento Trave è un classico elemento strutturale in grado di ricevere Carichi distribuiti e Carichi Nodali applicati ai due nodi di estremità; per effetto di tali carichi nascono, negli estremi, sollecitazioni di taglio, sforzo normale, momenti flettenti e torcenti.

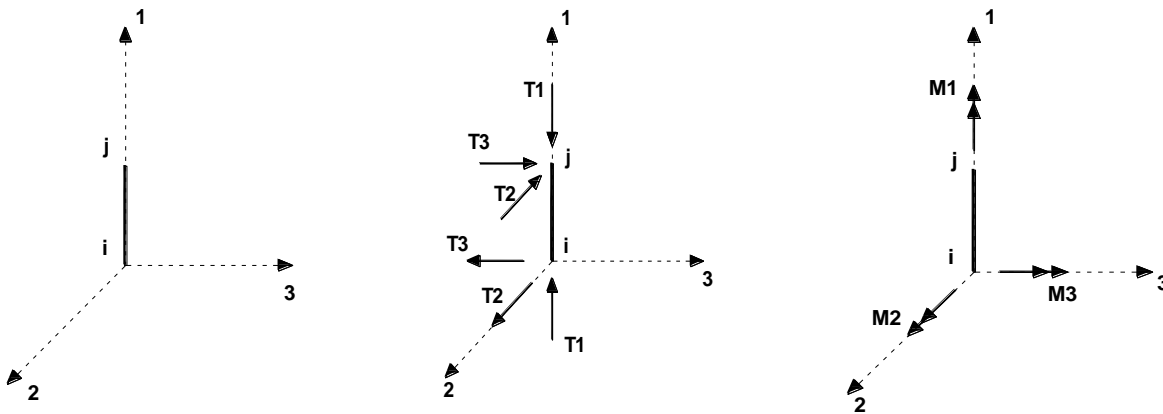
Definiti i e j (nodi iniziale e finale della Trave) viene individuato un sistema di assi cartesiani 1-2-3 locale all'elemento, con origine nel Nodo i così composto:

- asse 1 orientato dal nodo i al nodo j ;
- assi 2 e 3 appartenenti alla sezione dell'elemento e coincidenti con gli assi principali d'inerzia della sezione stessa.

Le sollecitazioni verranno fornite in riferimento a tale sistema di riferimento:

1. Sollecitazione di Trazione o Compressione T_1 (agente nella direzione i-j);
2. Sollecitazioni taglianti T_2 e T_3 , agenti nei due piani 1-2 e 1-3, rispettivamente secondo l'asse 2 e l'asse 3;
3. Sollecitazioni che inducono flessione nei piani 1-3 e 1-2 (M_2 e M_3);
4. Sollecitazione torcente M_1 .

15.2.3 Riferimento locale per pilastri



Definiti i e j come i due nodi iniziale e finale del pilastro, viene individuato un sistema di assi cartesiani 1-2-3 locale all'elemento, con origine nel Nodo i così composto:

- asse 1 orientato dal nodo i al nodo j;
- asse 2 perpendicolare all' asse 1, parallelo e discorde all'asse globale Y;
- asse 3 che completa la terna destrorsa, parallelo e concorde all'asse globale X.

Tale sistema di riferimento è valido per Pilastri con angolo di rotazione pari a '0' gradi; una rotazione del pilastro nel piano XY ha l'effetto di ruotare anche tale sistema (ad es. una rotazione di '90' gradi porterebbe l'asse 2 a essere parallelo e concorde all'asse X, mentre l'asse 3 sarebbe parallelo e concorde all'asse globale Y). La rotazione non ha alcun effetto sull'asse 1 che coinciderà sempre e comunque con l'asse globale Z.

Per quanto riguarda le sollecitazioni si ha:

- una forza di trazione o compressione T_1 , agente lungo l'asse locale 1;
- due forze taglianti T_2 e T_3 agenti lungo i due assi locali 2 e 3;
- due vettori momento (flettente) M_2 e M_3 agenti lungo i due assi locali 2 e 3;
- un vettore momento (torcente) M_1 agente lungo l'asse locale nel piano 1.

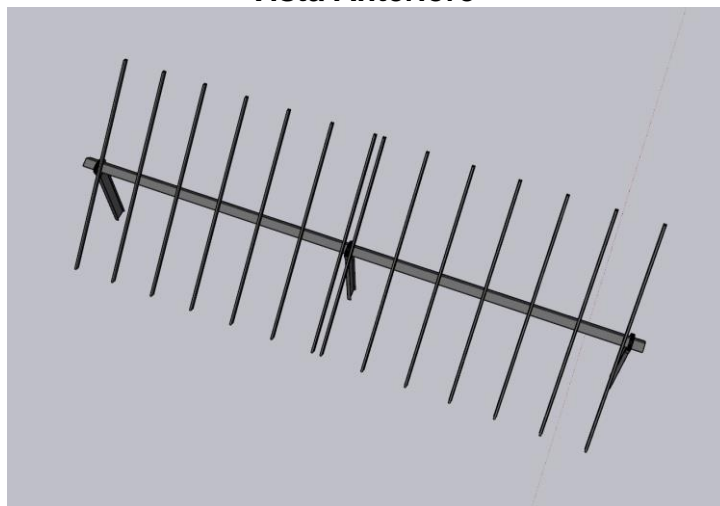
16. MODELLO DI CALCOLO

Il modello della struttura viene creato automaticamente dal codice di calcolo, individuando i vari elementi strutturali e fornendo le loro caratteristiche geometriche e meccaniche.

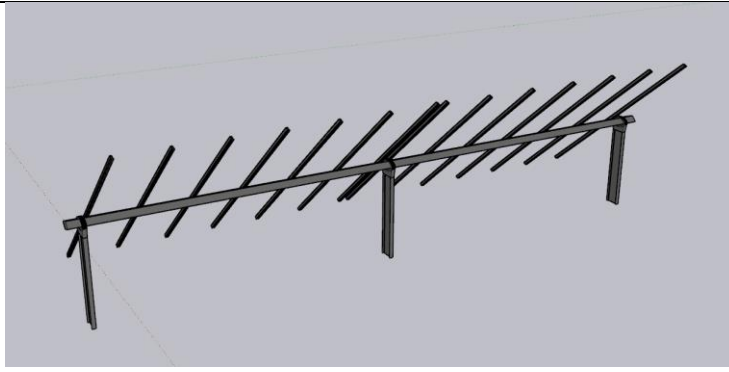
Viene definita un'opportuna numerazione degli elementi (nodi, aste, shell) costituenti il modello, al fine di individuare celermente ed univocamente ciascun elemento nei "Tabulati di calcolo".

Qui di seguito è fornita una rappresentazione grafica dettagliata della discretizzazione operata con evidenziazione dei nodi e degli elementi.

Vista Anteriore



Vista Posteriore



Le aste in **c.a.**, in **acciaio**, sia travi che pilastri, sono schematizzate con un tratto flessibile centrale e da due tratti (braccetti) rigidi alle estremità. I nodi vengono posizionati sull'asse verticale dei pilastri, in corrispondenza dell'estradosso della trave più alta che in esso si collega. Tramite i braccetti i tratti flessibili sono quindi collegati ad esso. In questa maniera il nodo risulta perfettamente aderente alla realtà poiché vengono presi in conto tutti gli eventuali disassamenti degli elementi con gli effetti che si possono determinare, quali momenti flettenti/torcenti aggiuntivi.

Le sollecitazioni vengono determinate solo per il tratto flessibile. Sui tratti rigidi, infatti, essendo (teoricamente) nulle le deformazioni, le sollecitazioni risultano indeterminate. Questa schematizzazione dei nodi viene automaticamente realizzata dal programma anche quando il nodo sia determinato dall'incontro di più travi senza il pilastro, o all'attacco di travi/pilastri con elementi shell.

La modellazione del materiale degli elementi in c.a., acciaio e legno segue la classica teoria dell'elasticità lineare; per cui il materiale è caratterizzato oltre che dal peso specifico, da un modulo elastico (E) e un modulo tagliante (G).

La possibile fessurazione degli elementi in c.a. è stata tenuta in conto nel modello considerando un opportuno decremento del modulo di elasticità e del modulo di taglio, nei limiti di quanto previsto dalla normativa vigente per ciascuno stato limite. Gli eventuali elementi di **fondazione** (travi, platee, plinti, plinti su pali e pali) sono modellati assumendo un comportamento elastico-lineare sia a trazione che a compressione.

17. PROGETTO E VERIFICA DEGLI ELEMENTI STRUTTURALI

La verifica degli elementi allo SLU avviene col seguente procedimento:

-
- si costruiscono le combinazioni non sismiche in base al D.M. 2018, ottenendo un insieme di sollecitazioni;
 - si combinano tali sollecitazioni con quelle dovute all'azione del sisma secondo quanto indicato nel §2.5.3, relazione (2.5.5) del D.M. 2018;
 - per sollecitazioni semplici (flessione retta, taglio, etc.) si individuano i valori minimo e massimo con cui progettare o verificare l'elemento considerato; per sollecitazioni composte (pressoflessione retta/deviata) vengono eseguite le verifiche per tutte le possibili combinazioni e solo a seguito di ciò si individua quella che ha originato il minimo coefficiente di sicurezza.

17.1 Verifiche di Resistenza

17.1.1 Elementi in Acciaio

Per quanto concerne la verifica degli elementi in **acciaio**, le verifiche effettuate per ogni elemento dipendono dalla funzione dell'elemento nella struttura. Ad esempio, elementi con prevalente comportamento assiale (controventi o appartenenti a travi reticolari) sono verificate a trazione e/o compressione; elementi con funzioni portanti nei confronti dei carichi verticali sono verificati a Pressoflessione retta e Taglio; elementi con funzioni resistenti nei confronti di azioni orizzontali sono verificati a pressoflessione deviata e taglio oppure a sforzo normale se hanno la funzione di controventi.

Le verifiche allo SLU sono effettuate sempre controllando il soddisfacimento della relazione:

$$R_d \geq S_d$$

dove R_d è la resistenza calcolata come rapporto tra R_k (resistenza caratteristica del materiale) e γ (coefficiente di sicurezza), mentre S_d è la generica sollecitazione di progetto calcolata considerando tutte le Combinazioni di Carico per lo Stato Limite esaminato.

La resistenza viene determinata, in funzione della Classe di appartenenza della Sezione metallica, col metodo Elastico o Plastico (vedi §4.2.3.2 del D.M. 2018).

Viene portato in conto l'indebolimento causato dall'eventuale presenza di fori.

Le verifiche effettuate sono quelle previste al §4.2.4.1.2 D.M. 2018 ed in particolare:

- Verifiche di Trazione
- Verifiche di Compressione
- Verifiche di Flessione Monoassiale

-
- Verifiche di Taglio (considerando l'influenza della Torsione) assiale e biassiale.
 - Verifiche per contemporanea presenza di Flessione e Taglio
 - Verifiche per PressoFlessione retta e biassiale

Nei "Tabulati di calcolo", per ogni tipo di Verifica e per ogni elemento interessato dalla Verifica, sono riportati i valori delle resistenze e delle sollecitazioni che hanno dato il minimo coefficiente di sicurezza, calcolato generalmente come:

$$CS = R_d/S_d.$$

17.1.2 Verifiche di Instabilità

Per tutti gli elementi strutturali sono state condotte verifiche di stabilità delle membrature secondo le indicazioni del §4.2.4.1.3 del D.M. 2018; in particolare sono state effettuate le seguenti verifiche:

- Verifiche di stabilità per compressione semplice, con controllo della snellezza.
- Verifiche di stabilità per elementi inflessi.
- Verifiche di stabilità per elementi inflessi e compressi.

Le verifiche sono effettuate considerando la possibilità di instabilizzazione flessotorsionale.

Nei "Tabulati di calcolo", per ogni tipo di verifica e per ogni elemento strutturale, sono riportati i risultati di tali verifiche.

17.1.3 Verifiche di Deformabilità

Sono state condotte le verifiche definite al §4.2.4.2 del D.M. 2018 e in particolare si citano:

- Verifiche agli spostamenti verticali per i singoli elementi (§4.2.4.2.1 D.M. 2018).
- Verifiche agli spostamenti laterali per i singoli elementi (§4.2.4.2.2 D.M. 2018).
- Verifiche agli spostamenti per il piano e per l'edificio (§4.2.4.2.2 D.M. 2018).

I relativi risultati sono riportati nei "Tabulati di calcolo".

18. DETTAGLI STRUTTURALI

Il progetto delle strutture è stato condotto rispettando i dettagli strutturali previsti dal D.M. 2018, nel seguito illustrati. Il rispetto dei dettagli può essere evinto, oltreché dagli elaborati

grafici, anche dalle verifiche riportate nei tabulati allegati alla presente relazione.

19. SEZIONI PROFILATI IN ACCIAIO

Sezioni profilati in acciaio - parte I																			
N _{id}	Tp	Label	b	b ₁	h	t _f	t _{f1}	t _w	t _p	r _w	r _f	r _{w/f}	h _i	d	p _w	p _f	d _{sp,w}	d _{sp,f}	
			[mm]	[mm]	[mm]	[mm]	[mm]	[mm]	[mm]	[mm]	[mm]	[mm]	[mm]	[mm]	[mm]	[%]	[%]	[mm]	[mm]
001	□	120x120x5.0	120	-	120	5	-	-	-	-	-	-	-	-	-	-	-	-	-
002	□	100x100x4.0	100	-	100	4	-	-	-	-	-	-	-	-	-	-	-	-	-
003	L	L 20x20x4	20	-	20	4	-	-	-	2	4	-	-	-	-	-	-	-	-
004	I	IPE 240	120	-	240	10	-	6	-	-	-	15	220	190	-	-	-	-	-
005	L	L 20x20x4	20	-	20	4	-	-	-	2	4	-	-	-	-	-	-	-	-
006	└┬	40x120x80x3.5	153	40	120	4	-	-	-	-	-	4	-	-	-	-	-	-	-

LEGENDA:

- N_{id}** Numero identificativo del profilato.
Tp Tipo di profilato.
Label Identificativo del profilato come indicato nelle carpenterie.
b Base del profilato.
b₁ Seconda base (per profilati composti).
h Altezza.
t_f Spessore ala.
t_{f1} Spessore seconda ala (per profilati composti).
t_w Spessore anima.
t_p Spessore piatto (per profilati composti).
r_w Raggio anima.
r_f Raggio ala.
r_{w/f} Raggio anima/ala.
h_i Altezza anima.
d Altezza netta raccordi.
p_w Pendenza anima.
p_f Pendenza ala.
d_{sp,w} Distanza spessore anima.
d_{sp,f} Distanza spessore ala.

20. SEZIONI PROFILATI IN ACCIAIO

Sezioni profilati in acciaio - parte II																		
N _{id}	Tp	Label	Dir	TC	d _{x/y}	P _{abb}	A	A _v	I	W _{el,sup/dx}	W _{el,inf/sx}	W _{pl}	i	I _w	I _T	I _{xy}	α _{xy}	
					[mm]	[mm]	[cm ²]	[cm ²]	[cm ⁴]	[cm ³]	[cm ³]	[cm ³]	[cm]	[cm ⁴]	[cm ⁴]	[cm ³]	[°]	
001	□	120x120x5.0	X	-	-	0	23	11	498,0	83,0	83,0	97,6	4,7	0,0	0	0	0,0	
			Y	-	-	0	23	11	498,0	83,0	83,0	97,6	4,7					
002	□	100x100x4.0	X	-	-	0	15	8	232,0	46,4	46,4	54,4	3,9	0,0	0	0	0,0	
			Y	-	-	0	15	8	232,0	46,4	46,4	54,4	3,9					
003	L	L 20x20x4	X	-	-	0	1	1	0,5	0,4	0,8	0,0	0,6	0,0	0	0	45,0	
			Y	-	-	0	1	1	0,5	0,4	0,8	0,0	0,6					
004	I	IPE 240	X	-	-	0	39	19	3892,0	324,3	324,3	366,6	10,0	37390,0	13	0	0,0	
			Y	-	-	0	39	27	283,6	47,3	47,3	73,9	2,7					
005	L	L 20x20x4	X	-	-	0	1	1	0,5	0,4	0,8	0,0	0,6	0,0	0	0	315,0	
			Y	-	-	0	1	1	0,5	0,8	0,4	0,0	0,6					
006	└┬	40x120x80x3.5	X	-	-	0	13	8	263,9	44,0	44,0	0,0	4,5	0,0	0	0	0,0	
			Y	-	-	0	13	5	219,5	28,7	28,7	0,0	4,1					

LEGENDA:

- N_{id}** Numero identificativo del profilato.
Tp Tipo di profilato.
Label Identificativo del profilato come indicato nelle carpenterie.
Dir Direzione.
TC Tipo collegamenti (per profilati composti). A = Abbottonati; R = Ravvicinati.
d_{x/y} Distanza profilati lungo X/Y (per profilati composti).
P_{abb} Passo abbottonatura (per profilati composti).
A Area della sezione.
A_v Area resistente a taglio.
I Inerzia.
W_{el,sup/dx} Modulo di resistenza elastica superiore/destra.
W_{el,inf/sx} Modulo di resistenza elastica inferiore/sinistra.
W_{pl} Modulo resistenza plastica.
i Raggio inerzia.
I_w Inerzia settoriale.
I_T Inerzia torsionale.

N _{id}	Tp	Label	Dir	TC	d _{x/y} [mm]	P _{abb} [mm]	A [cm ²]	A _v [cm ²]	I [cm ⁴]	W _{el,sup/dx} [cm ³]	W _{el,inf/sx} [cm ³]	W _{pl} [cm ³]	i [cm]	I _w [cm ⁴]	I _T [cm ⁴]	I _{xy} [cm ⁴]	α _{xy} [°]
I _{xy}		Inerzia in XY.															
α _{xy}		Rotazione assi inerzia.															

21. STIMA DELL’AFFONDAMENTO DEL PALO

I calcoli seguenti sono attinenti a parametri geologici riferiti ad un ridotta campagna di indagine del suolo. Volendo stimare al meglio le prestazioni del terreno, è fortemente consigliato effettuare ulteriori prove dinamiche (SPT, DPSH, etc) combinate con test di laboratorio su provini indisturbati alla profondità di interesse. La campagna futura dovrà essere commisurata e coinvolgere tutti i diversi sottocampi nel quale l’impianto è suddiviso.

INPUT DATA

Soil	Effectiveunitweight	g	1800	kg/m ³
	Friction Angle	φ	27,7	°
Pile Section	thickness	t	3,5	mm
	Perimeter	P	759	mm
	Effectivereactionperimeter	P _{eff}	574	mm
	Area	A	1315	mm ²
	Pile length above ground level	L	1029	mm
	Embedment pile length	L	1500	mm
	Density	g	7850	kg/m ³
	Weight	W	256	N
Foundation Section	EquivalentDiameter	D	183	mm
	Perimeter	P	574	mm
	Base Area	A	26203	mm ²
	Embedmentfoundationlength	L	1500	mm
	Density	g	7850	kg/m ³
Weight	W	152	N	

COMPRESSIVE RESISTENCE CHECK

	PILE SHAFT RESISTENCE			
DRAINED CONDITION	Coefficient of lateral earth pressure	K	1	-
	Friction on pile skin	μ	0,36	-
	Effectiveunitweight	g	1800	kg/m ³
	Embedmentfoundationlength	z	1500	mm

	Effectivestrength of soil	σ	0,026	N/mm ²
	Shaftfriction	T_s	0,010	N/mm ²
UNDRAINED CONDITION	Adhesioncoefficient	α	1	-
	Undrainedcohesion	c_u	0	-
	Foundation base perimeter	P	574	mm
	PILE SHAFT RESISTENCE	Q_s	8298	N

Tipo di palo	Valori di k per stato di addensamento		Valori di μ
	sciolto	denso	
Battuto: Profilato d'acciaio	0,7	1,0	$tg 20^\circ = 0,36$
Tubo d'acciaio chiuso	1,0	2,0	
Calcestruzzo prefabbricato	1,0	2,0	$tg (3\phi/4)$
Calcestruzzo gettato in opera	1,0	3,0	$tg \phi$
Trivellato	0,5	0,4	$tg \phi$
Trivellato-persato con elica continua	0,7	0,9	$tg \phi$

Tipo di palo	Valori di c_u (kPa)	Valori di α
Battuto	$c_u \leq 25$	1,0
	$25 < c_u < 70$	$1 - 0,011(c_u - 25)$
	$c_u \geq 70$	0,5
Trivellato	$c_u \leq 25$	0,7
	$25 < c_u < 70$	$0,7 - 0,008(c_u - 25)$
	$c_u \geq 70$	0,35

Tab. 13. 2. Valori di k e μ (eq. 13.8)

	PILE BASE RESISTENCE			
DRAINED CONDITION	Base area	A	26203	mm ²
	Effective strength of soil (pile base)	σ	0,026	N/mm ²
		L/D	8,212	
	Bearing capacity factor	N_q	25,0	mm ²
UNDRAINED CONDITION	Base area	A	26203	mm ²
	Undrained cohesion	c_u	0	-
	PILE BASE RESISTENCE	Q_p	17351	N
	WEIGHT			
	Self-weight foundation	W	152	N

$Q_s + Q_p + W =$	Q_{lim}	25801	N
	γ_{R3}	1,15	
$Q_{lim} / \gamma_{R3} =$	Q_{res}	22436	N

	Q_{des}	19645	N
--	-----------	-------	---

Safety factor ϕ 1,14

Tab. 6.4.II – Coefficienti parziali γ_R da applicare alle resistenze caratteristiche a carico verticale dei pali

Resistenza	Simbolo	Pali infissi (R3)	Pali trivellati (R3)	Pali ad elica continua (R3)
	γ_R	(R3)	(R3)	(R3)
Base	γ_b	1,15	1,35	1,3
Laterale in compressione	γ_s	1,15	1,15	1,15
Totale (*)	γ	1,15	1,30	1,25
Laterale in trazione	γ_{st}	1,25	1,25	1,25

(*) da applicare alle resistenze caratteristiche dedotte dai risultati di prove di carico di progetto.

TENSILE RESISTENCE CHECK

	PILE SHAFT RESISTENCE			
DRAINED CONDITION	Coefficient of lateral earth pressure	K	1	-
	Friction on pile skin	μ	0,36	-
	Effective unit weight	g	1800	kg/m ³
	Embedment foundation length	z	1500	mm
	Effective strength of soil	σ	0,026	N/mm ²
	Shaft friction	T_s	0,010	N/mm ²
UNDRAINED CONDITION	Adhesion coefficient	α	1	-
	Undrained cohesion	c_u	0	-
	Foundation base perimeter	P	574	mm
	PILE SHAFT RESISTENCE	Q_s	8298	N

WEIGHT

Self-weight foundation	W	152	N
------------------------	---	-----	---

$Q_s + W =$	Q_{lim}	8450	N
	γ_{R3}	1,25	
$Q_{lim} / \gamma_{R3} =$	Q_{res}	6760	N
	Q_{des}	2610	N

Safety factor ϕ 2,59

HORIZONTAL RESISTENCE CHECK

NON-COHESIVE SOIL	Passive pressure coefficient	K_p	2,74	-
	Effective unit weight	g	1800	kg/m ³
	Embedment foundation length	z	1500	mm
	Foundation diameter	D	183	mm
		Q_s	40	N/mm
		F	29796	N

$Q_s =$	Q_{lim}	29796	N
	γ_{R3}	1,3	
$Q_{lim} / \gamma_{R3} =$	Q_{res}	22920	N

Q _{des}	4501	N
------------------	------	---

Safetyfactor ϕ 5,09

22. TABULATI DI CALCOLO

MATERIALI ACCIAIO

N _{id}	γ_k	$\alpha_{T,i}$	E	G	Stz	$f_{yk,1}/f_{yk,2}$	$f_{tk,1}/f_{tk,2}$	$f_{yd,1}/f_{yd,2}$	f_{td}	γ_s	γ_{M1}	γ_{M2}	$\gamma_{M3,SLV}$	$\gamma_{M3,SLE}$	Caratteristiche acciaio	
															NCnt	Cnt
S235 - (S235)																
001	78.500	0,000012	210.000	80.769	P	235,00 215,00	360 360	223,81 204,76	-	1,05	1,05	1,25	-	-	-	-
Acciaio B450C - (B450C)																
003	78.500	0,000010	210.000	80.769	P	450,00 -	-	391,30 -	-	1,15	-	-	-	-	-	-

LEGENDA:

N_{id}	Numero identificativo del materiale, nella relativa tabella dei materiali.
γ_k	Peso specifico.
$\alpha_{T,i}$	Coefficiente di dilatazione termica.
E	Modulo elastico normale.
G	Modulo elastico tangenziale.
Stz	Tipo di situazione: [F] = di Fatto (Esistente); [P] = di Progetto (Nuovo).
$f_{tk,1}$	Resistenza caratteristica a Rottura (per profili con $t \leq 40$ mm).
$f_{tk,2}$	Resistenza caratteristica a Rottura (per profili con 40 mm < $t \leq 80$ mm).
f_{td}	Resistenza di calcolo a Rottura (Bulloni).
γ_s	Coefficiente parziale di sicurezza allo SLV del materiale.
γ_{M1}	Coefficiente parziale di sicurezza per instabilità.
γ_{M2}	Coefficiente parziale di sicurezza per sezioni tese indebolite.
$\gamma_{M3,SLV}$	Coefficiente parziale di sicurezza per scorrimento allo SLV (Bulloni).
$\gamma_{M3,SLE}$	Coefficiente parziale di sicurezza per scorrimento allo SLE (Bulloni).
γ_{M7}	Coefficiente parziale di sicurezza precarico di bulloni ad alta resistenza (Bulloni - NCnt = con serraggio NON controllato; Cnt = con serraggio controllato). [-] = parametro NON significativo per il materiale.
$f_{yk,1}$	Resistenza caratteristica allo snervamento (per profili con $t \leq 40$ mm).
$f_{yk,2}$	Resistenza caratteristica allo snervamento (per profili con 40 mm < $t \leq 80$ mm).
$f_{yd,1}$	Resistenza di calcolo (per profili con $t \leq 40$ mm).
$f_{yd,2}$	Resistenza di calcolo (per profili con 40 mm < $t \leq 80$ mm).
NOTE	[-] = Parametro non significativo per il materiale.

TENSIONI AMMISSIBILI ALLO SLE DEI VARI MATERIALI

Materiale	SL	Tensioni ammissibili allo SLE dei vari materiali	
		Tensione di verifica	$\sigma_{d,amm}$ [N/mm ²]

LEGENDA:

SL	Stato limite di esercizio per cui si esegue la verifica.
$\sigma_{d,amm}$	Tensione ammissibile per la verifica.

TERRENI

N _{TRN}	γ _T [N/m ³]	K1			φ [°]	C _u [N/mm ²]	c' [N/mm ²]	E _d [N/mm ²]	E _{cu} [N/mm ²]	Terreni	
		K _{1X} [N/cm ²]	K _{1Y} [N/cm ²]	K _{1Z} [N/cm ²]						A _{S-B}	
Sabbia argillosa mediamente consolidata											
T001	18.000	60	60	200	32	0,000	0,000	60	0	0,000	

LEGENDA:

N_{TRN}	Numero identificativo del terreno.
γ_T	Peso specifico del terreno.
K1	Valori della costante di Winkler riferita alla piastra Standard di lato b = 30 cm nelle direzioni degli assi del riferimento globale X (K _{1X}), Y (K _{1Y}), e Z (K _{1Z}).
φ	Angolo di attrito del terreno.
C_u	Coesione non drenata.
c'	Coesione efficace.
E_d	Modulo edometrico.
E_{cu}	Modulo elastico in condizione non drenate.
A_{S-B}	Parametro "A" di Skempton-Bjerrum per pressioni interstiziali.

SEZIONI PROFILATI IN ACCIAIO

N _{id}	Tp	Label	b	b ₁	h	t _f	t _{f1}	t _w	t _p	r _w	r _f	r _{w/f}	h _i	d	p _w	p _f	d _{sp,w}	d _{sp,f}
			[mm]	[mm]	[mm]	[mm]	[mm]	[mm]	[mm]	[mm]	[mm]	[mm]	[mm]	[mm]	[mm]	[mm]	[mm]	[mm]
001	□	120x120x5.0	120	-	120	5	-	-	-	-	-	-	-	-	-	-	-	-
002	□	100x100x4.0	100	-	100	4	-	-	-	-	-	-	-	-	-	-	-	-
003	L	L 20x20x4	20	-	20	4	-	-	-	-	2	4	-	-	-	-	-	-
004	I	IPE 240	120	-	240	10	-	6	-	-	-	15	220	190	-	-	-	-
005	L	L 20x20x4	20	-	20	4	-	-	-	-	2	4	-	-	-	-	-	-
006	L	40x120x80x3.5	153	40	120	4	-	-	-	-	-	4	-	-	-	-	-	-

LEGENDA:

N_{id}	Numero identificativo del profilato.
Tp	Tipo di profilato.
Label	Identificativo del profilato come indicato nelle carpenterie.
b	Base del profilato.
b₁	Seconda base (per profilati composti).
h	Altezza.
t_f	Spessore ala.
t_{f1}	Spessore seconda ala (per profilati composti).
t_w	Spessore anima.
t_p	Spessore piatto (per profilati composti).
r_w	Raggio anima.
r_f	Raggio ala.
r_{w/f}	Raggio anima/ala.
h_i	Altezza anima.
d	Altezza netta raccordi.
p_w	Pendenza anima.
p_f	Pendenza ala.
d_{sp,w}	Distanza spessore anima.
d_{sp,f}	Distanza spessore ala.

SEZIONI PROFILATI IN ACCIAIO

N _{id}	Tp	Label	Dir	TC	d _{x/y}	P _{abb}	A	A _v	I	W _{el,sup/dx}	W _{el,inf/sx}	W _{pl}	i	I _w	I _T	I _{xy}	α _{xy}
					[mm]	[mm]	[cm ²]	[cm ²]	[cm ⁴]	[cm ³]	[cm ³]	[cm ³]	[cm ³]	[cm ³]	[cm ³]	[cm ³]	[cm ³]
001	□	120x120x5.0	X	-	-	0	23	11	498,0	83,0	83,0	97,6	4,7	0,0	0	0	0,0
			Y	-	-	0	11	498,0	83,0	83,0	97,6	4,7					
002	□	100x100x4.0	X	-	-	0	15	8	232,0	46,4	46,4	54,4	3,9	0,0	0	0	0,0
			Y	-	-	0	8	232,0	46,4	46,4	54,4	3,9					
003	L	L 20x20x4	X	-	-	0	1	1	0,5	0,4	0,8	0,0	0,6	0,0	0	0	45,0
			Y	-	-	0	1	0,5	0,4	0,8	0,0	0,6					
004	I	IPE 240	X	-	-	0	39	19	3892,0	324,3	324,3	366,6	10,0	37390,0	13	0	0,0
			Y	-	-	0	27	283,6	47,3	47,3	73,9	2,7					
005	L	L 20x20x4	X	-	-	0	1	1	0,5	0,4	0,8	0,0	0,6	0,0	0	0	315,0
			Y	-	-	0	1	0,5	0,8	0,4	0,0	0,6					

Sezioni profilati in acciaio - parte II

N _{id}	Tp	Label	Dir	TC	d _{x/y}	P _{abb}	A	A _v	I	W _{el,sup/dx}	W _{el,inf/sx}	W _{pl}	i	I _w	I _T	I _{XY}	α _{xy}
					[mm]	[mm]	[cm ²]	[cm ²]	[cm ⁴]	[cm ³]	[cm ³]	[cm ³]	[cm]	[cm ⁴]	[cm ⁴]	[cm ⁴]	[°]
006	-L	40x120x80x3.5	X	-	-	0	13	8	263,9	44,0	44,0	0,0	4,5	0,0	0	0	0,0
			Y		-			5	219,5	28,7	28,7	0,0	4,1				

LEGENDA:

- N_{id}** Numero identificativo del profilato.
- Tp** Tipo di profilato.
- Label** Identificativo del profilato come indicato nelle carpenterie.
- Dir** Direzione.
- TC** Tipo collegamenti (per profilati composti). A = Abbottonati; R = Ravvicinati.
- d_{x/y}** Distanza profilati lungo X/Y (per profilati composti).
- P_{abb}** Passo abbottonatura (per profilati composti).
- A** Area della sezione.
- A_v** Area resistente a taglio.
- I** Inerzia.
- W_{el,sup/dx}** Modulo di resistenza elastica superiore/destra.
- W_{el,inf/sx}** Modulo di resistenza elastica inferiore/sinistra.
- W_{pl}** Modulo resistenza plastica.
- i** Raggio inerzia
- I_w** Inerzia settoriale.
- I_T** Inerzia torsionale.
- I_{XY}** Inerzia in XY.
- α_{xy}** Rotazione assi inerzia.

ANALISI CARICHI

Analisi carichi

N _{id}	T. C.	Descrizione del Carico	Tipologie di Carico	Peso Proprio		Permanente NON Strutturale		Sovraccarico Accidentale		Carico Neve
				Descrizione	PP	Descrizione	PNS	Descrizione	SA	
001	S	PANNELLO FTV	Coperture speciali	Carico pannello ftv	140		0		0	480

LEGENDA:

- N_{id}** Numero identificativo dell'analisi di carico.
- T. C.** Identificativo del tipo di carico: [S] = Superficiale - [L] = Lineare - [C] = Concentrato.
- PP, PNS, SA** Valori, rispettivamente, del Peso Proprio, del Sovraccarico Permanente NON strutturale, del Sovraccarico Accidentale. Secondo il tipo di carico indicato nella colonna "T.C." ("S" - "L" - "C"), i valori riportati nelle colonne "PP", "PNS" e "SA", sono espressi in [N/m²] per carichi Superficiali, [N/m] per carichi Lineari, [N] per carichi Concentrati.

TIPOLOGIE DI CARICO

Tipologie di carico

N _{id}	Descrizione	F+E	+/- F	CDC	ψ ₀	ψ ₁	ψ ₂
0001	Carico Permanente	SI	NO	Permanente	1,00	1,00	1,00
0002	Carico da Neve <= 1000 m s.l.m.	SI	NO	Breve	0,50	0,20	0,00
0003	Pressione del Vento (+X)	NO	NO	Istantanea	0,60	0,20	0,00
0004	Pressione del Vento (-X)	NO	NO	Istantanea	0,60	0,20	0,00
0005	Pressione del Vento (+Y)	NO	NO	Istantanea	0,60	0,20	0,00
0006	Pressione del Vento (-Y)	NO	NO	Istantanea	0,60	0,20	0,00
0007	Sisma X	-	-	-	-	-	-
0008	Sisma Y	-	-	-	-	-	-
0009	Sisma Z	-	-	-	-	-	-
0010	Sisma Ecc.X	-	-	-	-	-	-
0011	Sisma Ecc.Y	-	-	-	-	-	-

LEGENDA:

- N_{id}** Numero identificativo della Tipologia di Carico.
- F+E** Indica se la tipologia di carico considerata è AGENTE con il sisma.
- +/- F** Indica se la tipologia di carico è ALTERNATA (cioè considerata due volte con segno opposto) o meno.
- CDC** Indica la classe di durata del carico.
NOTA: dato significativo solo per elementi in materiale legnoso.
- ψ₀** Coefficiente riduttivo dei carichi allo SLU e SLE (carichi rari).
- ψ₁** Coefficiente riduttivo dei carichi allo SLE (carichi frequenti).
- ψ₂** Coefficiente riduttivo dei carichi allo SLE (carichi frequenti e quasi permanenti).

SLU: Non Sismica - Strutturale senza azioni geotecniche

SLU: Non Sismica - Strutturale senza azioni geotecniche						
Id_{Comb}	CC 01	CC 02	CC 03	CC 04	CC 05	CC 06
	Carico Permanente	Carico da Neve <= 1000 m s.l.m.	Pressione del Vento (+X)	Pressione del Vento (-X)	Pressione del Vento (+Y)	Pressione del Vento (-Y)
01	1,00	0,00	0,00	0,00	0,00	0,00
02	1,00	0,00	0,00	0,00	0,00	0,90
03	1,00	0,00	0,00	0,00	0,90	0,00
04	1,00	0,00	0,00	0,90	0,00	0,00
05	1,00	0,00	0,90	0,00	0,00	0,00
06	1,00	1,50	0,00	0,00	0,00	0,00
07	1,00	1,50	0,00	0,00	0,00	0,90
08	1,00	1,50	0,00	0,00	0,90	0,00
09	1,00	1,50	0,00	0,90	0,00	0,00
10	1,00	1,50	0,90	0,00	0,00	0,00
11	1,00	0,00	1,50	0,00	0,00	0,00
12	1,00	0,75	0,00	0,00	0,00	0,00
13	1,00	0,75	1,50	0,00	0,00	0,00
14	1,00	0,00	0,00	1,50	0,00	0,00
15	1,00	0,75	0,00	1,50	0,00	0,00
16	1,00	0,00	0,00	0,00	1,50	0,00
17	1,00	0,75	0,00	0,00	1,50	0,00
18	1,00	0,00	0,00	0,00	0,00	1,50
19	1,00	0,75	0,00	0,00	0,00	1,50
20	1,30	0,00	0,00	0,00	0,00	0,00
21	1,30	0,00	0,00	0,00	0,00	0,90
22	1,30	0,00	0,00	0,00	0,90	0,00
23	1,30	0,00	0,00	0,90	0,00	0,00
24	1,30	0,00	0,90	0,00	0,00	0,00
25	1,30	1,50	0,00	0,00	0,00	0,00
26	1,30	1,50	0,00	0,00	0,00	0,90
27	1,30	1,50	0,00	0,00	0,90	0,00
28	1,30	1,50	0,00	0,90	0,00	0,00
29	1,30	1,50	0,90	0,00	0,00	0,00
30	1,30	0,00	1,50	0,00	0,00	0,00
31	1,30	0,75	0,00	0,00	0,00	0,00
32	1,30	0,75	1,50	0,00	0,00	0,00
33	1,30	0,00	0,00	1,50	0,00	0,00
34	1,30	0,75	0,00	1,50	0,00	0,00
35	1,30	0,00	0,00	0,00	1,50	0,00
36	1,30	0,75	0,00	0,00	1,50	0,00
37	1,30	0,00	0,00	0,00	0,00	1,50
38	1,30	0,75	0,00	0,00	0,00	1,50

LEGENDA:

Id_{Comb} Numero identificativo della Combinazione di Carico.
CC Identificativo della tipologia di carico nella relativa tabella.
 CC 01= Carico Permanente
 CC 02= Carico da Neve <= 1000 m s.l.m.
 CC 03= Pressione del Vento (+X)
 CC 04= Pressione del Vento (-X)
 CC 05= Pressione del Vento (+Y)
 CC 06= Pressione del Vento (-Y)

SLU: Sismica - Strutturale senza azioni geotecniche

SLU: Sismica - Strutturale senza azioni geotecniche						
Id_{Comb}	CC 01	CC 02	CC 03	CC 04	CC 05	CC 06
	Carico Permanente	Carico da Neve <= 1000 m s.l.m.	Pressione del Vento (+X)	Pressione del Vento (-X)	Pressione del Vento (+Y)	Pressione del Vento (-Y)
01	1,00	0,00	0,00	0,00	0,00	0,00

LEGENDA:

Id_{Comb} Numero identificativo della Combinazione di Carico.
CC Identificativo della tipologia di carico nella relativa tabella.

IdComb	CC 01 Carico Permanente	CC 02 Carico da Neve <= 1000 m s.l.m.	CC 03 Pressione del Vento (+X)	CC 04 Pressione del Vento (-X)	CC 05 Pressione del Vento (+Y)	CC 06 Pressione del Vento (-Y)
--------	----------------------------	--	-----------------------------------	-----------------------------------	-----------------------------------	-----------------------------------

CC 01= Carico Permanente
 CC 02= Carico da Neve <= 1000 m s.l.m.
 CC 03= Pressione del Vento (+X)
 CC 04= Pressione del Vento (-X)
 CC 05= Pressione del Vento (+Y)
 CC 06= Pressione del Vento (-Y)

COMBINAZIONI SISMICHE

Alle combinazioni riportate nella precedente tabella è stato aggiunto l'effetto del sisma. L'azione sismica è stata considerata come caratterizzata da tre componenti traslazionali lungo i tre assi globali X, Y e Z; la risposta della struttura è stata calcolata separatamente per i tre effetti e quindi combinata secondo la seguente espressione simbolica:

$$\alpha = \alpha_i + 0,3 \cdot \alpha_{ii} + 0,3 \cdot \alpha_{iii}$$

con α effetto totale dell'azione sismica, α_i , α_{ii} e α_{iii} azioni sismiche nelle tre direzioni. E' stata effettuata una rotazione degli indici e dei segni, per cui le combinazioni totali generate sono le:

(con α'_p sollecitazione dovuta alla combinazione delle condizioni statiche e α sollecitazione dovuta al sisma; in particolare $\alpha_x, \alpha_y, \alpha_z, \alpha_{ex}, \alpha_{ey}$ sono rispettivamente le sollecitazioni dovute al sisma agente in direzione x, in direzioni y, in direzione z, per eccentricità accidentale positiva in direzione x e per eccentricità accidentale positiva in direzione y)

- 3) $\alpha'_p + (\alpha_x + \alpha_{ex}) + 0,3 \cdot (\alpha_y + \alpha_{ey}) - 0,3 \cdot \alpha_z$; 4) $\alpha'_p + (\alpha_x + \alpha_{ex}) - 0,3 \cdot (\alpha_y + \alpha_{ey}) - 0,3 \cdot \alpha_z$
- 5) $\alpha'_p + (\alpha_x + \alpha_{ex}) + 0,3 \cdot (\alpha_y - \alpha_{ey}) + 0,3 \cdot \alpha_z$; 6) $\alpha'_p + (\alpha_x + \alpha_{ex}) - 0,3 \cdot (\alpha_y - \alpha_{ey}) + 0,3 \cdot \alpha_z$
- 7) $\alpha'_p + (\alpha_x + \alpha_{ex}) + 0,3 \cdot (\alpha_y - \alpha_{ey}) - 0,3 \cdot \alpha_z$; 8) $\alpha'_p + (\alpha_x + \alpha_{ex}) - 0,3 \cdot (\alpha_y - \alpha_{ey}) - 0,3 \cdot \alpha_z$
- 9) $\alpha'_p + (\alpha_x - \alpha_{ex}) + 0,3 \cdot (\alpha_y + \alpha_{ey}) + 0,3 \cdot \alpha_z$; 10) $\alpha'_p + (\alpha_x - \alpha_{ex}) - 0,3 \cdot (\alpha_y + \alpha_{ey}) + 0,3 \cdot \alpha_z$
- 11) $\alpha'_p + (\alpha_x - \alpha_{ex}) + 0,3 \cdot (\alpha_y + \alpha_{ey}) - 0,3 \cdot \alpha_z$; 12) $\alpha'_p + (\alpha_x - \alpha_{ex}) - 0,3 \cdot (\alpha_y + \alpha_{ey}) - 0,3 \cdot \alpha_z$
- 13) $\alpha'_p + (\alpha_x - \alpha_{ex}) + 0,3 \cdot (\alpha_y - \alpha_{ey}) + 0,3 \cdot \alpha_z$; 14) $\alpha'_p + (\alpha_x - \alpha_{ex}) - 0,3 \cdot (\alpha_y - \alpha_{ey}) + 0,3 \cdot \alpha_z$
- 15) $\alpha'_p + (\alpha_x - \alpha_{ex}) + 0,3 \cdot (\alpha_y - \alpha_{ey}) - 0,3 \cdot \alpha_z$; 16) $\alpha'_p + (\alpha_x - \alpha_{ex}) - 0,3 \cdot (\alpha_y - \alpha_{ey}) - 0,3 \cdot \alpha_z$
- 17) $\alpha'_p + (\alpha_y + \alpha_{ey}) + 0,3 \cdot (\alpha_x + \alpha_{ex}) + 0,3 \cdot \alpha_z$; 18) $\alpha'_p + (\alpha_y + \alpha_{ey}) - 0,3 \cdot (\alpha_x + \alpha_{ex}) + 0,3 \cdot \alpha_z$
- 19) $\alpha'_p + (\alpha_y + \alpha_{ey}) + 0,3 \cdot (\alpha_x - \alpha_{ex}) + 0,3 \cdot \alpha_z$; 20) $\alpha'_p + (\alpha_y + \alpha_{ey}) - 0,3 \cdot (\alpha_x - \alpha_{ex}) + 0,3 \cdot \alpha_z$
- 21) $\alpha'_p + (\alpha_y + \alpha_{ey}) + 0,3 \cdot (\alpha_x - \alpha_{ex}) - 0,3 \cdot \alpha_z$; 22) $\alpha'_p + (\alpha_y + \alpha_{ey}) - 0,3 \cdot (\alpha_x - \alpha_{ex}) - 0,3 \cdot \alpha_z$
- 23) $\alpha'_p + (\alpha_y - \alpha_{ey}) + 0,3 \cdot (\alpha_x + \alpha_{ex}) + 0,3 \cdot \alpha_z$; 24) $\alpha'_p + (\alpha_y - \alpha_{ey}) - 0,3 \cdot (\alpha_x + \alpha_{ex}) + 0,3 \cdot \alpha_z$
- 25) $\alpha'_p + (\alpha_y - \alpha_{ey}) + 0,3 \cdot (\alpha_x + \alpha_{ex}) - 0,3 \cdot \alpha_z$; 26) $\alpha'_p + (\alpha_y - \alpha_{ey}) - 0,3 \cdot (\alpha_x + \alpha_{ex}) - 0,3 \cdot \alpha_z$
- 27) $\alpha'_p + (\alpha_y - \alpha_{ey}) + 0,3 \cdot (\alpha_x - \alpha_{ex}) + 0,3 \cdot \alpha_z$; 28) $\alpha'_p + (\alpha_y - \alpha_{ey}) - 0,3 \cdot (\alpha_x - \alpha_{ex}) + 0,3 \cdot \alpha_z$
- 29) $\alpha'_p + (\alpha_y - \alpha_{ey}) + 0,3 \cdot (\alpha_x - \alpha_{ex}) - 0,3 \cdot \alpha_z$; 30) $\alpha'_p + (\alpha_y - \alpha_{ey}) - 0,3 \cdot (\alpha_x - \alpha_{ex}) - 0,3 \cdot \alpha_z$
- 31) $\alpha'_p + (\alpha_y - \alpha_{ey}) + 0,3 \cdot (\alpha_x - \alpha_{ex}) - 0,3 \cdot \alpha_z$; 32) $\alpha'_p + (\alpha_y - \alpha_{ey}) - 0,3 \cdot (\alpha_x - \alpha_{ex}) - 0,3 \cdot \alpha_z$
- 33) $\alpha'_p + \alpha_z + 0,3 \cdot (\alpha_x + \alpha_{ex}) + 0,3 \cdot (\alpha_y + \alpha_{ey})$; 34) $\alpha'_p + \alpha_z - 0,3 \cdot (\alpha_x + \alpha_{ex}) + 0,3 \cdot (\alpha_y + \alpha_{ey})$
- 35) $\alpha'_p + \alpha_z + 0,3 \cdot (\alpha_x + \alpha_{ex}) - 0,3 \cdot (\alpha_y + \alpha_{ey})$; 36) $\alpha'_p + \alpha_z - 0,3 \cdot (\alpha_x + \alpha_{ex}) - 0,3 \cdot (\alpha_y + \alpha_{ey})$
- 37) $\alpha'_p + \alpha_z + 0,3 \cdot (\alpha_x - \alpha_{ex}) + 0,3 \cdot (\alpha_y - \alpha_{ey})$; 38) $\alpha'_p + \alpha_z - 0,3 \cdot (\alpha_x - \alpha_{ex}) + 0,3 \cdot (\alpha_y - \alpha_{ey})$
- 39) $\alpha'_p + \alpha_z + 0,3 \cdot (\alpha_x - \alpha_{ex}) - 0,3 \cdot (\alpha_y - \alpha_{ey})$; 40) $\alpha'_p + \alpha_z - 0,3 \cdot (\alpha_x - \alpha_{ex}) - 0,3 \cdot (\alpha_y - \alpha_{ey})$
- 41) $\alpha'_p + \alpha_z + 0,3 \cdot (\alpha_x - \alpha_{ex}) + 0,3 \cdot (\alpha_y + \alpha_{ey})$; 42) $\alpha'_p + \alpha_z - 0,3 \cdot (\alpha_x - \alpha_{ex}) + 0,3 \cdot (\alpha_y + \alpha_{ey})$
- 43) $\alpha'_p + \alpha_z + 0,3 \cdot (\alpha_x - \alpha_{ex}) - 0,3 \cdot (\alpha_y + \alpha_{ey})$; 44) $\alpha'_p + \alpha_z - 0,3 \cdot (\alpha_x - \alpha_{ex}) - 0,3 \cdot (\alpha_y + \alpha_{ey})$
- 45) $\alpha'_p + \alpha_z + 0,3 \cdot (\alpha_x - \alpha_{ex}) + 0,3 \cdot (\alpha_y - \alpha_{ey})$; 46) $\alpha'_p + \alpha_z - 0,3 \cdot (\alpha_x - \alpha_{ex}) + 0,3 \cdot (\alpha_y - \alpha_{ey})$
- 47) $\alpha'_p + \alpha_z + 0,3 \cdot (\alpha_x - \alpha_{ex}) - 0,3 \cdot (\alpha_y - \alpha_{ey})$; 48) $\alpha'_p + \alpha_z - 0,3 \cdot (\alpha_x - \alpha_{ex}) - 0,3 \cdot (\alpha_y - \alpha_{ey})$

Nel caso di verifiche effettuate con sollecitazioni composte, per tenere conto del fatto che le sollecitazioni sismiche sono state ricavate come CQC delle sollecitazioni derivanti dai modi di vibrazione, dette N, Mx, My, Tx e Ty le sollecitazioni dovute al sisma, per ognuna delle combinazioni precedenti, sono state ricavate 32 combinazioni di carico permutando nel seguente modo i segni delle sollecitazioni derivanti dal sisma:

- 1) N, Mx, My, Tx e Ty; 2) N, Mx, -My, Tx e Ty; 3) N, -Mx, My, Tx e Ty; 4) N, -Mx, -My, Tx e Ty; 5) -N, Mx, My, Tx e Ty; 6) -N, Mx, -My, Tx e Ty; 7) -N, -Mx, My, Tx e Ty; 8) -N, -Mx, -My, Tx e Ty; 9) N, Mx, My, Tx e -Ty; 10) N, Mx, -My, Tx e -Ty; 11) N, -Mx, My, Tx e -Ty; 12) N, -Mx, -My, Tx e -Ty; 13) -N, Mx, My, Tx e -Ty; 14) -N, Mx, -My, Tx e -Ty; 15) -N, -Mx, My, Tx e -Ty; 16) -N, -Mx, -My, Tx e -Ty; 17) N, Mx, My, -Tx e Ty; 18) N, Mx, -My, -Tx e Ty; 19) N, -Mx, My, -Tx e Ty; 20) N, -Mx, -My, -Tx e Ty; 21) -N, Mx, My, -Tx e Ty; 22) -N, Mx, -My, -Tx e Ty; 23) -N, -Mx, My, -Tx e Ty; 24) -N, -Mx, -My, -Tx e Ty; 25) N, Mx, My, -Tx e -Ty; 26) N, Mx, -My, -Tx e -Ty; 27) N, -Mx, My, -Tx e -Ty; 28) N, -Mx, -My, -Tx e -Ty; 29) -N, Mx, My, -Tx e -Ty; 30) -N, Mx, -My, -Tx e -Ty; 31) -N, -Mx, My, -Tx e -Ty; 32) -N, -Mx, -My, -Tx e -Ty.

SERVIZIO(SLE): Caratteristica(RARA)

SERVIZIO(SLE): Caratteristica(RARA)						
IdComb	CC 01 Carico Permanente	CC 02 Carico da Neve <= 1000 m s.l.m.	CC 03 Pressione del Vento (+X)	CC 04 Pressione del Vento (-X)	CC 05 Pressione del Vento (+Y)	CC 06 Pressione del Vento (-Y)
01	1,00	1,00	0,00	0,00	0,00	0,00

SERVIZIO(SLE): Caratteristica(RARA)

Id _{Comb}	CC 01	CC 02	CC 03	CC 04	CC 05	CC 06
	Carico Permanente	Carico da Neve <= 1000 m s.l.m.	Pressione del Vento (+X)	Pressione del Vento (-X)	Pressione del Vento (+Y)	Pressione del Vento (-Y)
02	1,00	1,00	0,00	0,00	0,00	0,60
03	1,00	1,00	0,00	0,00	0,60	0,00
04	1,00	1,00	0,00	0,60	0,00	0,00
05	1,00	1,00	0,60	0,00	0,00	0,00
06	1,00	0,50	0,00	0,00	0,00	0,00
07	1,00	0,50	1,00	0,00	0,00	0,00
08	1,00	0,50	0,00	1,00	0,00	0,00
09	1,00	0,50	0,00	0,00	1,00	0,00
10	1,00	0,50	0,00	0,00	0,00	1,00

LEGENDA:

Id_{Comb} Numero identificativo della Combinazione di Carico.
CC Identificativo della tipologia di carico nella relativa tabella.
 CC 01= Carico Permanente
 CC 02= Carico da Neve <= 1000 m s.l.m.
 CC 03= Pressione del Vento (+X)
 CC 04= Pressione del Vento (-X)
 CC 05= Pressione del Vento (+Y)
 CC 06= Pressione del Vento (-Y)

SERVIZIO(SLE): Frequente**SERVIZIO(SLE): Frequente**

Id _{Comb}	CC 01	CC 02	CC 03	CC 04	CC 05	CC 06
	Carico Permanente	Carico da Neve <= 1000 m s.l.m.	Pressione del Vento (+X)	Pressione del Vento (-X)	Pressione del Vento (+Y)	Pressione del Vento (-Y)
01	1,00	0,20	0,00	0,00	0,00	0,00
02	1,00	0,00	0,20	0,00	0,00	0,00
03	1,00	0,00	0,00	0,20	0,00	0,00
04	1,00	0,00	0,00	0,00	0,20	0,00
05	1,00	0,00	0,00	0,00	0,00	0,20

LEGENDA:

Id_{Comb} Numero identificativo della Combinazione di Carico.
CC Identificativo della tipologia di carico nella relativa tabella.
 CC 01= Carico Permanente
 CC 02= Carico da Neve <= 1000 m s.l.m.
 CC 03= Pressione del Vento (+X)
 CC 04= Pressione del Vento (-X)
 CC 05= Pressione del Vento (+Y)
 CC 06= Pressione del Vento (-Y)

SERVIZIO(SLE): Quasi permanente**SERVIZIO(SLE): Quasi permanente**

Id _{Comb}	CC 01	CC 02	CC 03	CC 04	CC 05	CC 06
	Carico Permanente	Carico da Neve <= 1000 m s.l.m.	Pressione del Vento (+X)	Pressione del Vento (-X)	Pressione del Vento (+Y)	Pressione del Vento (-Y)
01	1,00	0,00	0,00	0,00	0,00	0,00

LEGENDA:

Id_{Comb} Numero identificativo della Combinazione di Carico.
CC Identificativo della tipologia di carico nella relativa tabella.
 CC 01= Carico Permanente
 CC 02= Carico da Neve <= 1000 m s.l.m.
 CC 03= Pressione del Vento (+X)
 CC 04= Pressione del Vento (-X)
 CC 05= Pressione del Vento (+Y)
 CC 06= Pressione del Vento (-Y)

DATI GENERALI ANALISI SISMICA**Dati generali analisi sismica**

Ang	NV	CD	MP	Dir	TS	EcA	I _{rTemp}	C.S.T.	RP	RH	ξ
[°]											[%]
0	30	B	ac	X	[T +C]	S	N	C	NO	SI	5
				Y	[T +C]						

Dati generali analisi sismica

Ang	NV	CD	MP	Dir	TS	EcA	Ir _{tmp}	C.S.T.	RP	RH	ξ
[°]											[%]

LEGENDA:

- Ang** Direzione di una componente dell'azione sismica rispetto all'asse X (sistema di riferimento globale); la seconda componente dell'azione sismica e' assunta con direzione ruotata di 90 gradi rispetto alla prima.
- NV** Nel caso di analisi dinamica, indica il numero di modi di vibrazione considerati.
- CD** Classe di duttilità: [A] = Alta - [B] = Media - [ND] = Non Dissipativa - [-] = Nessuna.
- MP** Tipo di struttura sismo-resistente prevalente: [ca] = calcestruzzo armato - [caOld] = calcestruzzo armato esistente - [muOld] = muratura esistente - [muNew] = muratura nuova - [muArm] = muratura armata - [ac] = acciaio.
- Dir** Direzione del sisma.
- TS** Tipologia della struttura:
 Cemento armato: [T 1C] = Telai ad una sola campata - [T+C] = Telai a più campate - [P] = Pareti accoppiate o miste equivalenti a pareti- [2P NC] = Due pareti per direzione non accoppiate - [P NC] = Pareti non accoppiate - [DT] = Deformabili torsionalmente - [PI] = Pendolo inverso - [PM] = Pendolo inverso intelaiate monopiano;
 Muratura: [P] = un solo piano - [PP] = più di un piano - [C-P/MP] = muratura in pietra e/o mattoni pieni - [C-BAS] = muratura in blocchi artificiali con percentuale di foratura > 15%;
 Acciaio: [T 1C] = Telai ad una sola campata - [T+C] = Telai a più campate - [CT] = controventi concentrici diagonale tesa - [CV] = controventi concentrici a V - [M] = mensola o pendolo inverso - [TT] = telaio con tamponature.
- EcA** Eccentricità accidentale: [S] = considerata come condizione di carico statica aggiuntiva - [N] = Considerata come incremento delle sollecitazioni.
- Ir_{tmp}** Per piani con distribuzione dei tamponamenti in pianta fortemente irregolare, l'eccentricità accidentale è stata incrementata di un fattore pari a 2: [SI] = Distribuzione tamponamenti irregolare fortemente - [NO] = Distribuzione tamponamenti regolare.
- C.S.T.** Categoria di sottosuolo: [A] = Ammassi rocciosi affioranti o terreni molto rigidi - [B] = Rocce tenere e depositi di terreni a grana grossa molto addensati o terreni a grana fina molto consistenti - [C] = Depositati di terreni a grana grossa mediamente addensati o terreni a grana fina mediamente consistenti - [D] = Depositati di terreni a grana grossa scarsamente addensati o di terreni a grana fina scarsamente consistenti - [E] = Terreni con caratteristiche e valori di velocità equivalente riconducibili a quelle definite per le categorie C o D.
- RP** Regolarità in pianta: [SI] = Struttura regolare - [NO] = Struttura non regolare.
- RH** Regolarità in altezza: [SI] = Struttura regolare - [NO] = Struttura non regolare.
- ξ** Coefficiente viscoso equivalente.
- NOTE** [-] = Parametro non significativo per il tipo di calcolo effettuato.

FATTORI DI COMPORTAMENTO

Fattori di comportamento

Dir	q'	q	q ₀	K _R	α _u /α ₁	k _w
X	-	4,000	4,00	1,00	1,00	-
Y	-	4,000	4,00	1,00	1,00	-
Z	-	1,500	-	-	-	-

LEGENDA:

- q'** Fattore di riduzione dello spettro di risposta sismico allo SLU ridotto (Fattore di comportamento ridotto - relazione C7.3.1 circolare NTC)
- q** Fattore di riduzione dello spettro di risposta sismico allo SLU (Fattore di comportamento).
- q₀** Valore di base (comprensivo di k_w).
- K_R** Fattore riduttivo funzione della regolarità in altezza : pari ad 1 per costruzioni regolari in altezza, 0,8 per costruzioni non regolari in altezza, e 0,75 per costruzioni in muratura esistenti non regolari in altezza (§ C8.5.5.1)..
- α_u/α₁** Rapporto di sovraresistenza.
- k_w** Fattore di riduzione di q₀.

PARAMETRI PER LA DEFINIZIONE DELL'AZIONE SISMICA

Parametri per la definizione dell'azione sismica

Stato Limite	T _r	a _g /g	Amplif. Stratigrafica		F ₀	T [*] _c	T _B	T _C	T _D
			S _s	C _c					
	[t]					[s]	[s]	[s]	[s]
SLO	30	0,0186	1,500	1,612	2,610	0,273	0,147	0,440	1,674
SLD	50	0,0235	1,500	1,569	2,670	0,296	0,155	0,464	1,694
SLV	475	0,0500	1,500	1,499	2,880	0,340	0,170	0,510	1,800
SLC	975	0,0603	1,500	1,455	2,980	0,372	0,180	0,541	1,841

LEGENDA:

- T_r** Periodo di ritorno dell'azione sismica. [t] = anni.
- a_g/g** Coefficiente di accelerazione al suolo.
- S_s** Coefficienti di Amplificazione Stratigrafica allo SLO/SLD/SLV/SLC.
- C_c** Coefficienti di Amplificazione di T_c allo SLO/SLD/SLV/SLC.
- F₀** Valore massimo del fattore di amplificazione dello spettro in accelerazione orizzontale.
- T^{*}_c** Periodo di inizio del tratto a velocità costante dello spettro in accelerazione orizzontale.
- T_B** Periodo di inizio del tratto accelerazione costante dello spettro di progetto.
- T_C** Periodo di inizio del tratto a velocità costante dello spettro di progetto.
- T_D** Periodo di inizio del tratto a spostamento costante dello spettro di progetto.

DATI DEL SITO E DELL'OPERA

Cl Ed	V _N [t]	V _R [t]	Lat. [°ssdc]	Long. [°ssdc]	Q _g [m]	Dati del sito e dell'opera	
						C _{Top}	S _T
2	50	50	39.882222	8.606944	10	T1	1,00

LEGENDA:

- Cl Ed** Classe dell'edificio
V_N Vita nominale ([t] = anni).
V_R Periodo di riferimento. [t] = anni.
Lat. Latitudine geografica del sito.
Long. Longitudine geografica del sito.
Q_g Altitudine geografica del sito.
C_{Top} Categoria topografica (Vedi NOTE).
S_T Coefficiente di amplificazione topografica.
NOTE [-] = Parametro non significativo per il tipo di calcolo effettuato.
 Categoria topografica.
 T1: Superficie piana, pendii e rilievi isolati con inclinazione media $i \leq 15^\circ$.
 T2: Pendii con inclinazione media $i > 15^\circ$.
 T3: Rilievi con larghezza in cresta molto minore che alla base e inclinazione media $15^\circ \leq i \leq 30^\circ$.
 T4: Rilievi con larghezza in cresta molto minore che alla base e inclinazione media $i > 30^\circ$.

PRINCIPALI ELEMENTI ANALISI SISMICA

Dir	M _{Str}	M _{SLU}	M _{Ecc,SLU}	M _{SLD}	M _{Ecc,SLD}	%T.M _{Ecc}	ΣV _{Ed,SLU}
	[N-s ² /m]	[N-s ² /m]	[N-s ² /m]	[N-s ² /m]	[N-s ² /m]	[%]	[N]
X	19.427	0	0	0	0	100,00	0
Y	19.427	0	0	0	0	100,00	0
Z	19.427	13.669	3.109	13.669	3.109	22,75	3.730

LEGENDA:

- Dir** Direzione del sisma.
M_{Str} Massa complessiva della struttura.
M_{SLU} Massa eccitabile allo SLU.
M_{Ecc,SLU} Massa Eccitata dal sisma allo SLU.
M_{SLD} Massa eccitabile della struttura allo SLD, nelle direzioni X, Y, Z.
M_{Ecc,SLD} Massa Eccitata dal sisma allo SLD.
%T.M_{Ecc} Percentuale Totale di Masse Eccitate dal sisma.
ΣV_{Ed,SLU} Tagliante totale, alla base, per sisma allo SLU.

RIEPILOGO MODI DI VIBRAZIONE

Sptr	T [s]	a _{g,0} [m/s ²]	a _{g,v} [m/s ²]	Γ	CM	%M.M [%]	M _{Ecc} [N-s ² /m]
Modo Vibrazione n. 1							
SLU-X	0,000	0,736	0,000	0,000	0,0000	0,00	0
SLU-Y	0,000	0,736	0,000	0,000	0,0000	0,00	0
SLU-Z	0,156	0,000	0,273	31,986	0,0198	7,49	1.023
SLD-X	0,000	0,346	0,000	0,000	0,0000	0,00	0
SLD-Y	0,000	0,346	0,000	0,000	0,0000	0,00	0
SLD-Z	0,156	0,000	0,122	31,986	0,0198	7,49	1.023
Elast-X	-	0,346	0,000	-	-	-	-
Elast-Y	-	0,346	0,000	-	-	-	-
Elast-Z	-	0,000	0,409	-	-	-	-
Modo Vibrazione n. 2							
SLU-X	0,000	0,736	0,000	0,000	0,0000	0,00	0
SLU-Y	0,000	0,736	0,000	0,000	0,0000	0,00	0
SLU-Z	0,158	0,000	0,271	-18,609	-0,0117	2,53	346
SLD-X	0,000	0,346	0,000	0,000	0,0000	0,00	0
SLD-Y	0,000	0,346	0,000	0,000	0,0000	0,00	0
SLD-Z	0,158	0,000	0,121	-18,609	-0,0117	2,53	346
Elast-X	-	0,346	0,000	-	-	-	-
Elast-Y	-	0,346	0,000	-	-	-	-
Elast-Z	-	0,000	0,406	-	-	-	-
Modo Vibrazione n. 3							
SLU-X	0,000	0,736	0,000	0,000	0,0000	0,00	0
SLU-Y	0,000	0,736	0,000	0,000	0,0000	0,00	0
SLU-Z	0,096	0,000	0,284	-16,641	-0,0039	2,03	277
SLD-X	0,000	0,346	0,000	0,000	0,0000	0,00	0
SLD-Y	0,000	0,346	0,000	0,000	0,0000	0,00	0
SLD-Z	0,096	0,000	0,127	-16,641	-0,0039	2,03	277
Elast-X	-	0,346	0,000	-	-	-	-
Elast-Y	-	0,346	0,000	-	-	-	-
Elast-Z	-	0,000	0,426	-	-	-	-

Sptr	T	a _{g,o}	a _{g,v}	Γ	CM	%M.M	M _{Ecc}
Modo Vibrazione n. 4							
SLU-X	0,000	0,736	0,000	0,000	0,0000	0,00	0
SLU-Y	0,000	0,736	0,000	0,000	0,0000	0,00	0
SLU-Z	0,159	0,000	0,268	15,291	0,0098	1,71	234
SLD-X	0,000	0,346	0,000	0,000	0,0000	0,00	0
SLD-Y	0,000	0,346	0,000	0,000	0,0000	0,00	0
SLD-Z	0,159	0,000	0,120	15,291	0,0098	1,71	234
Elast-X	-	0,346	0,000	-	-	-	-
Elast-Y	-	0,346	0,000	-	-	-	-
Elast-Z	-	0,000	0,403	-	-	-	-
Modo Vibrazione n. 5							
SLU-X	0,000	0,736	0,000	0,000	0,0000	0,00	0
SLU-Y	0,000	0,736	0,000	0,000	0,0000	0,00	0
SLU-Z	0,107	0,000	0,284	14,355	0,0041	1,51	206
SLD-X	0,000	0,346	0,000	0,000	0,0000	0,00	0
SLD-Y	0,000	0,346	0,000	0,000	0,0000	0,00	0
SLD-Z	0,107	0,000	0,127	14,355	0,0041	1,51	206
Elast-X	-	0,346	0,000	-	-	-	-
Elast-Y	-	0,346	0,000	-	-	-	-
Elast-Z	-	0,000	0,426	-	-	-	-
Modo Vibrazione n. 6							
SLU-X	0,000	0,736	0,000	0,000	0,0000	0,00	0
SLU-Y	0,000	0,736	0,000	0,000	0,0000	0,00	0
SLU-Z	0,097	0,000	0,284	-12,752	-0,0031	1,19	163
SLD-X	0,000	0,346	0,000	0,000	0,0000	0,00	0
SLD-Y	0,000	0,346	0,000	0,000	0,0000	0,00	0
SLD-Z	0,097	0,000	0,127	-12,752	-0,0031	1,19	163
Elast-X	-	0,346	0,000	-	-	-	-
Elast-Y	-	0,346	0,000	-	-	-	-
Elast-Z	-	0,000	0,426	-	-	-	-
Modo Vibrazione n. 7							
SLU-X	0,000	0,736	0,000	0,000	0,0000	0,00	0
SLU-Y	0,000	0,736	0,000	0,000	0,0000	0,00	0
SLU-Z	0,174	0,000	0,245	-10,643	-0,0082	0,83	113
SLD-X	0,000	0,346	0,000	0,000	0,0000	0,00	0
SLD-Y	0,000	0,346	0,000	0,000	0,0000	0,00	0
SLD-Z	0,174	0,000	0,110	-10,643	-0,0082	0,83	113
Elast-X	-	0,346	0,000	-	-	-	-
Elast-Y	-	0,346	0,000	-	-	-	-
Elast-Z	-	0,000	0,367	-	-	-	-
Modo Vibrazione n. 8							
SLU-X	0,000	0,736	0,000	0,000	0,0000	0,00	0
SLU-Y	0,000	0,736	0,000	0,000	0,0000	0,00	0
SLU-Z	0,095	0,000	0,284	10,455	0,0024	0,80	109
SLD-X	0,000	0,346	0,000	0,000	0,0000	0,00	0
SLD-Y	0,000	0,346	0,000	0,000	0,0000	0,00	0
SLD-Z	0,095	0,000	0,127	10,455	0,0024	0,80	109
Elast-X	-	0,346	0,000	-	-	-	-
Elast-Y	-	0,346	0,000	-	-	-	-
Elast-Z	-	0,000	0,426	-	-	-	-
Modo Vibrazione n. 9							
SLU-X	0,000	0,736	0,000	0,000	0,0000	0,00	0
SLU-Y	0,000	0,736	0,000	0,000	0,0000	0,00	0
SLU-Z	0,291	0,000	0,147	-9,659	-0,0207	0,68	93
SLD-X	0,000	0,346	0,000	0,000	0,0000	0,00	0
SLD-Y	0,000	0,346	0,000	0,000	0,0000	0,00	0
SLD-Z	0,291	0,000	0,066	-9,659	-0,0207	0,68	93
Elast-X	-	0,346	0,000	-	-	-	-
Elast-Y	-	0,346	0,000	-	-	-	-
Elast-Z	-	0,000	0,220	-	-	-	-
Modo Vibrazione n. 10							
SLU-X	0,000	0,736	0,000	0,000	0,0000	0,00	0
SLU-Y	0,000	0,736	0,000	0,000	0,0000	0,00	0
SLU-Z	0,147	0,000	0,284	-8,106	-0,0044	0,48	66
SLD-X	0,000	0,346	0,000	0,000	0,0000	0,00	0
SLD-Y	0,000	0,346	0,000	0,000	0,0000	0,00	0
SLD-Z	0,147	0,000	0,127	-8,106	-0,0044	0,48	66
Elast-X	-	0,346	0,000	-	-	-	-
Elast-Y	-	0,346	0,000	-	-	-	-
Elast-Z	-	0,000	0,426	-	-	-	-
Modo Vibrazione n. 11							
SLU-X	0,000	0,736	0,000	0,000	0,0000	0,00	0
SLU-Y	0,000	0,736	0,000	0,000	0,0000	0,00	0
SLU-Z	0,143	0,000	0,284	-8,003	-0,0041	0,47	64
SLD-X	0,000	0,346	0,000	0,000	0,0000	0,00	0
SLD-Y	0,000	0,346	0,000	0,000	0,0000	0,00	0
SLD-Z	0,143	0,000	0,127	-8,003	-0,0041	0,47	64
Elast-X	-	0,346	0,000	-	-	-	-
Elast-Y	-	0,346	0,000	-	-	-	-
Elast-Z	-	0,000	0,426	-	-	-	-
Modo Vibrazione n. 12							

Sptr	T	a _{g,o}	a _{g,v}	Γ	CM	%M.M	M _{Ecc}
SLU-X	0,000	0,736	0,000	0,000	0,0000	0,00	0
SLU-Y	0,000	0,736	0,000	0,000	0,0000	0,00	0
SLU-Z	0,209	0,000	0,204	7,496	0,0083	0,41	56
SLD-X	0,000	0,346	0,000	0,000	0,0000	0,00	0
SLD-Y	0,000	0,346	0,000	0,000	0,0000	0,00	0
SLD-Z	0,209	0,000	0,091	7,496	0,0083	0,41	56
Elast-X	-	0,346	0,000	-	-	-	-
Elast-Y	-	0,346	0,000	-	-	-	-
Elast-Z	-	0,000	0,305	-	-	-	-
Modo Vibrazione n. 13							
SLU-X	0,000	0,736	0,000	0,000	0,0000	0,00	0
SLU-Y	0,000	0,736	0,000	0,000	0,0000	0,00	0
SLU-Z	0,153	0,000	0,280	6,700	0,0040	0,33	45
SLD-X	0,000	0,346	0,000	0,000	0,0000	0,00	0
SLD-Y	0,000	0,346	0,000	0,000	0,0000	0,00	0
SLD-Z	0,153	0,000	0,125	6,700	0,0040	0,33	45
Elast-X	-	0,346	0,000	-	-	-	-
Elast-Y	-	0,346	0,000	-	-	-	-
Elast-Z	-	0,000	0,420	-	-	-	-
Modo Vibrazione n. 14							
SLU-X	0,000	0,736	0,000	0,000	0,0000	0,00	0
SLU-Y	0,000	0,736	0,000	0,000	0,0000	0,00	0
SLU-Z	0,074	0,000	0,284	-6,185	-0,0009	0,28	38
SLD-X	0,000	0,346	0,000	0,000	0,0000	0,00	0
SLD-Y	0,000	0,346	0,000	0,000	0,0000	0,00	0
SLD-Z	0,074	0,000	0,127	-6,185	-0,0009	0,28	38
Elast-X	-	0,346	0,000	-	-	-	-
Elast-Y	-	0,346	0,000	-	-	-	-
Elast-Z	-	0,000	0,426	-	-	-	-
Modo Vibrazione n. 15							
SLU-X	0,000	0,736	0,000	0,000	0,0000	0,00	0
SLU-Y	0,000	0,736	0,000	0,000	0,0000	0,00	0
SLU-Z	0,160	0,000	0,267	-6,156	-0,0040	0,28	38
SLD-X	0,000	0,346	0,000	0,000	0,0000	0,00	0
SLD-Y	0,000	0,346	0,000	0,000	0,0000	0,00	0
SLD-Z	0,160	0,000	0,120	-6,156	-0,0040	0,28	38
Elast-X	-	0,346	0,000	-	-	-	-
Elast-Y	-	0,346	0,000	-	-	-	-
Elast-Z	-	0,000	0,400	-	-	-	-
Modo Vibrazione n. 16							
SLU-X	0,000	0,736	0,000	0,000	0,0000	0,00	0
SLU-Y	0,000	0,736	0,000	0,000	0,0000	0,00	0
SLU-Z	0,204	0,000	0,209	-6,016	-0,0064	0,26	36
SLD-X	0,000	0,346	0,000	0,000	0,0000	0,00	0
SLD-Y	0,000	0,346	0,000	0,000	0,0000	0,00	0
SLD-Z	0,204	0,000	0,094	-6,016	-0,0064	0,26	36
Elast-X	-	0,346	0,000	-	-	-	-
Elast-Y	-	0,346	0,000	-	-	-	-
Elast-Z	-	0,000	0,313	-	-	-	-
Modo Vibrazione n. 17							
SLU-X	0,000	0,736	0,000	0,000	0,0000	0,00	0
SLU-Y	0,000	0,736	0,000	0,000	0,0000	0,00	0
SLU-Z	0,147	0,000	0,284	-5,785	-0,0032	0,24	33
SLD-X	0,000	0,346	0,000	0,000	0,0000	0,00	0
SLD-Y	0,000	0,346	0,000	0,000	0,0000	0,00	0
SLD-Z	0,147	0,000	0,127	-5,785	-0,0032	0,24	33
Elast-X	-	0,346	0,000	-	-	-	-
Elast-Y	-	0,346	0,000	-	-	-	-
Elast-Z	-	0,000	0,426	-	-	-	-
Modo Vibrazione n. 18							
SLU-X	0,000	0,736	0,000	0,000	0,0000	0,00	0
SLU-Y	0,000	0,736	0,000	0,000	0,0000	0,00	0
SLU-Z	0,064	0,000	0,284	-5,491	-0,0006	0,22	30
SLD-X	0,000	0,346	0,000	0,000	0,0000	0,00	0
SLD-Y	0,000	0,346	0,000	0,000	0,0000	0,00	0
SLD-Z	0,064	0,000	0,127	-5,491	-0,0006	0,22	30
Elast-X	-	0,346	0,000	-	-	-	-
Elast-Y	-	0,346	0,000	-	-	-	-
Elast-Z	-	0,000	0,426	-	-	-	-
Modo Vibrazione n. 19							
SLU-X	0,000	0,736	0,000	0,000	0,0000	0,00	0
SLU-Y	0,000	0,736	0,000	0,000	0,0000	0,00	0
SLU-Z	0,280	0,000	0,152	5,389	0,0107	0,21	29
SLD-X	0,000	0,346	0,000	0,000	0,0000	0,00	0
SLD-Y	0,000	0,346	0,000	0,000	0,0000	0,00	0
SLD-Z	0,280	0,000	0,068	5,389	0,0107	0,21	29
Elast-X	-	0,346	0,000	-	-	-	-
Elast-Y	-	0,346	0,000	-	-	-	-
Elast-Z	-	0,000	0,228	-	-	-	-
Modo Vibrazione n. 20							
SLU-X	0,000	0,736	0,000	0,000	0,0000	0,00	0

Sptr	T	a _{g,o}	a _{g,v}	Γ	CM	%M.M	M _{Ecc}
SLU-Y	0,000	0,736	0,000	0,000	0,0000	0,00	0
SLU-Z	0,191	0,000	0,224	4,872	0,0045	0,17	24
SLD-X	0,000	0,346	0,000	0,000	0,0000	0,00	0
SLD-Y	0,000	0,346	0,000	0,000	0,0000	0,00	0
SLD-Z	0,191	0,000	0,100	4,872	0,0045	0,17	24
Elast-X	-	0,346	0,000	-	-	-	-
Elast-Y	-	0,346	0,000	-	-	-	-
Elast-Z	-	0,000	0,336	-	-	-	-
Modo Vibrazione n. 21							
SLU-X	0,000	0,736	0,000	0,000	0,0000	0,00	0
SLU-Y	0,000	0,736	0,000	0,000	0,0000	0,00	0
SLU-Z	0,184	0,000	0,231	-3,523	-0,0030	0,09	12
SLD-X	0,000	0,346	0,000	0,000	0,0000	0,00	0
SLD-Y	0,000	0,346	0,000	0,000	0,0000	0,00	0
SLD-Z	0,184	0,000	0,104	-3,523	-0,0030	0,09	12
Elast-X	-	0,346	0,000	-	-	-	-
Elast-Y	-	0,346	0,000	-	-	-	-
Elast-Z	-	0,000	0,347	-	-	-	-
Modo Vibrazione n. 22							
SLU-X	0,000	0,736	0,000	0,000	0,0000	0,00	0
SLU-Y	0,000	0,736	0,000	0,000	0,0000	0,00	0
SLU-Z	0,101	0,000	0,284	3,449	0,0009	0,09	12
SLD-X	0,000	0,346	0,000	0,000	0,0000	0,00	0
SLD-Y	0,000	0,346	0,000	0,000	0,0000	0,00	0
SLD-Z	0,101	0,000	0,127	3,449	0,0009	0,09	12
Elast-X	-	0,346	0,000	-	-	-	-
Elast-Y	-	0,346	0,000	-	-	-	-
Elast-Z	-	0,000	0,426	-	-	-	-
Modo Vibrazione n. 23							
SLU-X	0,000	0,736	0,000	0,000	0,0000	0,00	0
SLU-Y	0,000	0,736	0,000	0,000	0,0000	0,00	0
SLU-Z	0,067	0,000	0,284	3,311	0,0004	0,08	11
SLD-X	0,000	0,346	0,000	0,000	0,0000	0,00	0
SLD-Y	0,000	0,346	0,000	0,000	0,0000	0,00	0
SLD-Z	0,067	0,000	0,127	3,311	0,0004	0,08	11
Elast-X	-	0,346	0,000	-	-	-	-
Elast-Y	-	0,346	0,000	-	-	-	-
Elast-Z	-	0,000	0,426	-	-	-	-
Modo Vibrazione n. 24							
SLU-X	0,000	0,736	0,000	0,000	0,0000	0,00	0
SLU-Y	0,000	0,736	0,000	0,000	0,0000	0,00	0
SLU-Z	0,130	0,000	0,284	-3,142	-0,0013	0,07	10
SLD-X	0,000	0,346	0,000	0,000	0,0000	0,00	0
SLD-Y	0,000	0,346	0,000	0,000	0,0000	0,00	0
SLD-Z	0,130	0,000	0,127	-3,142	-0,0013	0,07	10
Elast-X	-	0,346	0,000	-	-	-	-
Elast-Y	-	0,346	0,000	-	-	-	-
Elast-Z	-	0,000	0,426	-	-	-	-
Modo Vibrazione n. 25							
SLU-X	0,000	0,736	0,000	0,000	0,0000	0,00	0
SLU-Y	0,000	0,736	0,000	0,000	0,0000	0,00	0
SLU-Z	0,117	0,000	0,284	-2,850	-0,0010	0,06	8
SLD-X	0,000	0,346	0,000	0,000	0,0000	0,00	0
SLD-Y	0,000	0,346	0,000	0,000	0,0000	0,00	0
SLD-Z	0,117	0,000	0,127	-2,850	-0,0010	0,06	8
Elast-X	-	0,346	0,000	-	-	-	-
Elast-Y	-	0,346	0,000	-	-	-	-
Elast-Z	-	0,000	0,426	-	-	-	-
Modo Vibrazione n. 26							
SLU-X	0,000	0,736	0,000	0,000	0,0000	0,00	0
SLU-Y	0,000	0,736	0,000	0,000	0,0000	0,00	0
SLU-Z	0,080	0,000	0,284	2,584	0,0004	0,05	7
SLD-X	0,000	0,346	0,000	0,000	0,0000	0,00	0
SLD-Y	0,000	0,346	0,000	0,000	0,0000	0,00	0
SLD-Z	0,080	0,000	0,127	2,584	0,0004	0,05	7
Elast-X	-	0,346	0,000	-	-	-	-
Elast-Y	-	0,346	0,000	-	-	-	-
Elast-Z	-	0,000	0,426	-	-	-	-
Modo Vibrazione n. 27							
SLU-X	0,000	0,736	0,000	0,000	0,0000	0,00	0
SLU-Y	0,000	0,736	0,000	0,000	0,0000	0,00	0
SLU-Z	0,138	0,000	0,284	2,567	0,0012	0,05	7
SLD-X	0,000	0,346	0,000	0,000	0,0000	0,00	0
SLD-Y	0,000	0,346	0,000	0,000	0,0000	0,00	0
SLD-Z	0,138	0,000	0,127	2,567	0,0012	0,05	7
Elast-X	-	0,346	0,000	-	-	-	-
Elast-Y	-	0,346	0,000	-	-	-	-
Elast-Z	-	0,000	0,426	-	-	-	-
Modo Vibrazione n. 28							
SLU-X	0,000	0,736	0,000	0,000	0,0000	0,00	0
SLU-Y	0,000	0,736	0,000	0,000	0,0000	0,00	0

Sptr	T	a _{g,o}	a _{g,v}	Γ	CM	%M.M	M _{Ecc}
SLU-Z	0,100	0,000	0,284	2,566	0,0006	0,05	7
SLD-X	0,000	0,346	0,000	0,000	0,0000	0,00	0
SLD-Y	0,000	0,346	0,000	0,000	0,0000	0,00	0
SLD-Z	0,100	0,000	0,127	2,566	0,0006	0,05	7
Elast-X	-	0,346	0,000	-	-	-	-
Elast-Y	-	0,346	0,000	-	-	-	-
Elast-Z	-	0,000	0,426	-	-	-	-
Modo Vibrazione n. 29							
SLU-X	0,000	0,736	0,000	0,000	0,0000	0,00	0
SLU-Y	0,000	0,736	0,000	0,000	0,0000	0,00	0
SLU-Z	0,113	0,000	0,284	2,448	0,0008	0,04	6
SLD-X	0,000	0,346	0,000	0,000	0,0000	0,00	0
SLD-Y	0,000	0,346	0,000	0,000	0,0000	0,00	0
SLD-Z	0,113	0,000	0,127	2,448	0,0008	0,04	6
Elast-X	-	0,346	0,000	-	-	-	-
Elast-Y	-	0,346	0,000	-	-	-	-
Elast-Z	-	0,000	0,426	-	-	-	-
Modo Vibrazione n. 30							
SLU-X	0,000	0,736	0,000	0,000	0,0000	0,00	0
SLU-Y	0,000	0,736	0,000	0,000	0,0000	0,00	0
SLU-Z	0,090	0,000	0,284	-2,430	-0,0005	0,04	6
SLD-X	0,000	0,346	0,000	0,000	0,0000	0,00	0
SLD-Y	0,000	0,346	0,000	0,000	0,0000	0,00	0
SLD-Z	0,090	0,000	0,127	-2,430	-0,0005	0,04	6
Elast-X	-	0,346	0,000	-	-	-	-
Elast-Y	-	0,346	0,000	-	-	-	-
Elast-Z	-	0,000	0,426	-	-	-	-

LEGENDA:

- Sptr** Spettro di risposta considerato.
T Periodo del Modo di vibrazione.
a_{g,o} Valore dell'Accelerazione Spettrale Orizzontale, riferita al corrispondente periodo.
a_{g,v} Valore dell'Accelerazione Spettrale Verticale, riferita al corrispondente periodo.
Γ Coefficiente di partecipazione.
CM Coefficiente modale del modo di vibrazione.
%M.M Percentuale di mobilitazione delle masse nel modo di vibrazione.
M_{Ecc} Massa Eccitata nel modo di vibrazione.
SLU-X Spettro di progetto allo S.L. Ultimo per sisma in direzione X.
SLU-Y Spettro di progetto allo S.L. Ultimo per sisma in direzione Y.
SLU-Z Spettro di progetto allo S.L. Ultimo per sisma in direzione Z.
SLD-X Spettro di progetto allo S.L. di Danno per sisma in direzione X.
SLD-Y Spettro di progetto allo S.L. di Danno per sisma in direzione Y.
SLD-Z Spettro di progetto allo S.L. di Danno per sisma in direzione Z.
Elast-X Spettro Elastico per sisma in direzione X.
Elast-Y Spettro Elastico per sisma in direzione Y.
Elast-Z Spettro Elastico per sisma in direzione Z.

LIVELLI O PIANI

Id _{Lv}	Descrizione	Z _{Lv}	H _{Lv}	Q _{ex,lv}	PR	Rd _{Temp}	Massa del piano			Dir	G _{st}	G _{SLU}	G _{SLD}	R _{SLU}
							M _{L,Str}	M _{L,SLU}	M _{L,SLD}					
							[N·s ² /m]	[N·s ² /m]	[N·s ² /m]					
01	Piano Terra	0,00	4,00	4,00	NO	NO	7.667	3.359	3.359	X Y	6,65 1,06	6,81 1,11	6,81 1,11	0,00 0,00
02	Fondazione	0,00		0,00	NO	NO	11.760	10.306	10.306	X Y	6,89 1,81	6,97 1,64	6,97 1,64	- -

LEGENDA:

- Id_{Lv}** Numero identificativo del livello o piano.
Z_{Lv} Quota di calpestio del livello o piano, relativa al sistema di riferimento globale X, Y, Z.
H_{Lv} Altezza del livello o piano.
Q_{ex,lv} Quota dell'estradosso dell'impalcato del livello o piano.
PR Indica se l'impalcato (orizzontale) è considerato rigido nel calcolo: [SI] = Piano Rigido - [NO] = Piano non Rigido.
 In alternativa vedere tabella "Solai e Balconi" in quanto il comportamento rigido potrebbe essere stato assegnato ai singoli solai del livello.
Rd_{Temp} Per i piani con riduzione dei tamponamenti, sono state incrementate le azioni di calcolo per gli elementi verticali (pilastri e pareti) di un fattore 1,4: [SI] = Piano con riduzione dei tamponamenti - [NO] = Piano senza riduzione dei tamponamenti.
M_{L,Str} Massa del piano valutata in condizioni statiche.
M_{L,SLU} Massa del piano valutata allo SLU.
M_{L,SLD} Massa del piano valutata allo SLD.
G_{st} Coordinate del baricentro delle masse, valutate in condizioni statiche.
G_{SLU} Coordinate del baricentro delle masse, valutate per SLU.
G_{SLD} Coordinate del baricentro delle masse, valutate per SLD.
R_{SLU} Coordinate del baricentro delle rigidezze, valutate per SLU.

TRAVI IN ELEVAZIONE

Id _{Tr}	L _{Lt}	Sezione			V. Int.			Stz	Note	M _{rl}	AA / C / IS	N _{d i}	N _{d f}	Dis- j	Q _{LLI}			Clc Fnd	Pr / Sc
		Id _{Sz}	Tp	Label	Rtz	Iniz.	Fin.								Iniz	Fin.			
																	[m]		
Piano Terra															Travata: Piano Terra				
Trave Acciaio 5-45a	0,60	001	□	120x120x5.0	60,00	S;S;S;S;S	S;S;S;S;S	-		00 1	-	00 77	00 07	0,60	3,20	3,20	NO	-	
Trave Acciaio 34a-3	1,33	001	□	120x120x5.0	60,00	S;S;S;S;S	S;S;S;S;S	-		00 1	-	00 23	00 08	1,33	3,20	3,20	NO	-	
Trave Acciaio 39a-4	0,36	001	□	120x120x5.0	60,00	S;S;S;S;S	S;S;S;S;S	-		00 1	-	00 28	00 09	0,37	3,20	3,20	NO	-	
Trave Acciaio 24a-67a	2,04	006	⊘	40x120x80x3.5	0,00	S;S;S;S;S	S;S;S;S;S	-		00 1	-	00 06	00 11	2,04	3,27	1,93	NO	-	
Trave Acciaio 22a-24a	2,08	006	⊘	40x120x80x3.5	0,00	S;S;S;S;S	S;S;S;S;S	-		00 1	-	00 10	00 06	2,08	4,60	3,27	NO	-	
Trave Acciaio 45a-68a	2,04	006	⊘	40x120x80x3.5	0,00	S;S;S;S;S	S;S;S;S;S	-		00 1	-	00 07	00 13	2,04	3,27	1,93	NO	-	
Trave Acciaio 23a-45a	2,08	006	⊘	40x120x80x3.5	0,00	S;S;S;S;S	S;S;S;S;S	-		00 1	-	00 12	00 07	2,08	4,60	3,27	NO	-	
Trave Acciaio 25a-46a	2,04	006	⊘	40x120x80x3.5	0,00	S;S;S;S;S	S;S;S;S;S	-		00 1	-	00 14	00 54	2,04	3,27	1,93	NO	-	
Trave Acciaio 1-25a	0,73	001	□	120x120x5.0	60,00	S;S;S;S;S	S;S;S;S;S	-		00 1	-	00 76	00 14	0,73	3,20	3,20	NO	-	
Trave Acciaio 1a-25a	2,09	006	⊘	40x120x80x3.5	0,00	S;S;S;S;S	S;S;S;S;S	-		00 1	-	00 75	00 14	2,09	4,61	3,27	NO	-	
Trave Acciaio 26a-47a	2,04	006	⊘	40x120x80x3.5	0,00	S;S;S;S;S	S;S;S;S;S	-		00 1	-	00 15	00 53	2,04	3,27	1,93	NO	-	
Trave Acciaio 25a-26a	1,33	001	□	120x120x5.0	60,00	S;S;S;S;S	S;S;S;S;S	-		00 1	-	00 14	00 15	1,33	3,20	3,20	NO	-	
Trave Acciaio 2a-26a	2,09	006	⊘	40x120x80x3.5	0,00	S;S;S;S;S	S;S;S;S;S	-		00 1	-	00 74	00 15	2,09	4,61	3,27	NO	-	
Trave Acciaio 27a-48a	2,03	006	⊘	40x120x80x3.5	0,00	S;S;S;S;S	S;S;S;S;S	-		00 1	-	00 16	00 52	2,04	3,27	1,93	NO	-	
Trave Acciaio 26a-27a	1,33	001	□	120x120x5.0	60,00	S;S;S;S;S	S;S;S;S;S	-		00 1	-	00 15	00 16	1,33	3,20	3,20	NO	-	
Trave Acciaio 3a-27a	2,10	006	⊘	40x120x80x3.5	0,00	S;S;S;S;S	S;S;S;S;S	-		00 1	-	00 73	00 16	2,09	4,61	3,27	NO	-	
Trave Acciaio 28a-49a	2,03	006	⊘	40x120x80x3.5	0,00	S;S;S;S;S	S;S;S;S;S	-		00 1	-	00 17	00 51	2,04	3,27	1,93	NO	-	
Trave Acciaio 27a-28a	1,33	001	□	120x120x5.0	60,00	S;S;S;S;S	S;S;S;S;S	-		00 1	-	00 16	00 17	1,33	3,20	3,20	NO	-	
Trave Acciaio 4a-28a	2,10	006	⊘	40x120x80x3.5	0,00	S;S;S;S;S	S;S;S;S;S	-		00 1	-	00 72	00 17	2,09	4,61	3,27	NO	-	
Trave Acciaio 29a-50a	2,04	006	⊘	40x120x80x3.5	0,00	S;S;S;S;S	S;S;S;S;S	-		00 1	-	00 18	00 50	2,04	3,27	1,93	NO	-	
Trave Acciaio 28a-29a	1,33	001	□	120x120x5.0	60,00	S;S;S;S;S	S;S;S;S;S	-		00 1	-	00 17	00 18	1,33	3,20	3,20	NO	-	
Trave Acciaio 5a-29a	2,09	006	⊘	40x120x80x3.5	0,00	S;S;S;S;S	S;S;S;S;S	-		00 1	-	00 71	00 18	2,09	4,61	3,27	NO	-	
Trave Acciaio 30a-51a	2,04	006	⊘	40x120x80x3.5	0,00	S;S;S;S;S	S;S;S;S;S	-		00 1	-	00 19	00 49	2,04	3,27	1,93	NO	-	
Trave Acciaio 2-30a	0,36	001	□	120x120x5.0	60,00	S;S;S;S;S	S;S;S;S;S	-		00 1	-	00 78	00 19	0,37	3,20	3,20	NO	-	
Trave Acciaio 6a-30a	2,09	006	⊘	40x120x80x3.5	0,00	S;S;S;S;S	S;S;S;S;S	-		00 1	-	00 70	00 19	2,09	4,61	3,27	NO	-	
Trave Acciaio 31a-52a	2,04	006	⊘	40x120x80x3.5	0,00	S;S;S;S;S	S;S;S;S;S	-		00 1	-	00 20	00 48	2,04	3,27	1,93	NO	-	
Trave Acciaio 30a-31a	1,33	001	□	120x120x5.0	60,00	S;S;S;S;S	S;S;S;S;S	-		00 1	-	00 19	00 20	1,33	3,20	3,20	NO	-	
Trave Acciaio 7a-31a	2,09	006	⊘	40x120x80x3.5	0,00	S;S;S;S;S	S;S;S;S;S	-		00 1	-	00 69	00 20	2,09	4,61	3,27	NO	-	
Trave Acciaio 32a-53a	2,04	006	⊘	40x120x80x3.5	0,00	S;S;S;S;S	S;S;S;S;S	-		00 1	-	00 21	00 47	2,04	3,27	1,93	NO	-	
Trave Acciaio 31a-32a	1,33	001	□	120x120x5.0	60,00	S;S;S;S;S	S;S;S;S;S	-		00 1	-	00 20	00 21	1,33	3,20	3,20	NO	-	
Trave Acciaio 8a-32a	2,09	006	⊘	40x120x80x3.5	0,00	S;S;S;S;S	S;S;S;S;S	-		00 1	-	00 68	00 21	2,09	4,61	3,27	NO	-	
Trave Acciaio 33a-54a	2,04	006	⊘	40x120x80x3.5	0,00	S;S;S;S;S	S;S;S;S;S	-		00 1	-	00 22	00 46	2,04	3,27	1,93	NO	-	
Trave Acciaio 32a-33a	1,33	001	□	120x120x5.0	60,00	S;S;S;S;S	S;S;S;S;S	-		00 1	-	00 21	00 22	1,33	3,20	3,20	NO	-	
Trave Acciaio 9a-33a	2,09	006	⊘	40x120x80x3.5	0,00	S;S;S;S;S	S;S;S;S;S	-		00 1	-	00 67	00 22	2,09	4,61	3,27	NO	-	
Trave Acciaio 34a-55a	2,04	006	⊘	40x120x80x3.5	0,00	S;S;S;S;S	S;S;S;S;S	-		00 1	-	00 23	00 45	2,04	3,27	1,93	NO	-	
Trave Acciaio 33a-34a	1,33	001	□	120x120x5.0	60,00	S;S;S;S;S	S;S;S;S;S	-		00 1	-	00 22	00 23	1,33	3,20	3,20	NO	-	

IdTr	L _{L1}	Sezione				V. Int.		Stz	Note	Mt rl	AA /C IS	Nd i	Nd f	Dis- j	Travi in elevazione			Clc Fnd	Pr/ Sc
		Id _{Sz}	Tp	Label	Rtz	Iniz.	Fin.								Q _{LL1}				
															Iniz	Fin.	[m]		
Trave Acciaio 10a-34a	2,09	006	┘	40x120x80x3.5	0,00	S;S;S;S;S;S	S;S;S;S;S;S	-		001	-	0023	2,09	4,61	3,27	NO	-		
Trave Acciaio 3-56a	2,12	006	┘	40x120x80x3.5	0,00	S;S;S;S;S;S	S;S;S;S;S;S	-		001	-	0044	2,08	3,30	1,90	NO	-		
Trave Acciaio 11a-3	2,01	006	┘	40x120x80x3.5	0,00	S;S;S;S;S;S	S;S;S;S;S;S	-		001	-	0008	2,05	4,58	3,30	NO	-		
Trave Acciaio 35a-57a	2,04	006	┘	40x120x80x3.5	0,00	S;S;S;S;S;S	S;S;S;S;S;S	-		001	-	0043	2,04	3,27	1,93	NO	-		
Trave Acciaio 3-35a	1,33	001	□	120x120x5.0	60,00	S;S;S;S;S;S	S;S;S;S;S;S	-		001	-	0024	1,33	3,20	3,20	NO	-		
Trave Acciaio 12a-35a	2,09	006	┘	40x120x80x3.5	0,00	S;S;S;S;S;S	S;S;S;S;S;S	-		001	-	0024	2,09	4,61	3,27	NO	-		
Trave Acciaio 36a-58a	2,04	006	┘	40x120x80x3.5	0,00	S;S;S;S;S;S	S;S;S;S;S;S	-		001	-	0042	2,04	3,27	1,93	NO	-		
Trave Acciaio 35a-36a	1,33	002	□	100x100x4.0	60,00	S;S;S;S;S;S	S;S;S;S;S;S	-		001	-	0025	1,33	3,20	3,20	NO	-		
Trave Acciaio 13a-36a	2,09	006	┘	40x120x80x3.5	0,00	S;S;S;S;S;S	S;S;S;S;S;S	-		001	-	0025	2,09	4,61	3,27	NO	-		
Trave Acciaio 37a-59a	2,04	006	┘	40x120x80x3.5	0,00	S;S;S;S;S;S	S;S;S;S;S;S	-		001	-	0041	2,04	3,27	1,93	NO	-		
Trave Acciaio 36a-37a	1,33	001	□	120x120x5.0	60,00	S;S;S;S;S;S	S;S;S;S;S;S	-		001	-	0026	1,33	3,20	3,20	NO	-		
Trave Acciaio 14a-37a	2,09	006	┘	40x120x80x3.5	0,00	S;S;S;S;S;S	S;S;S;S;S;S	-		001	-	0026	2,09	4,61	3,27	NO	-		
Trave Acciaio 38a-60a	2,04	006	┘	40x120x80x3.5	0,00	S;S;S;S;S;S	S;S;S;S;S;S	-		001	-	0040	2,04	3,27	1,93	NO	-		
Trave Acciaio 37a-38a	1,33	001	□	120x120x5.0	60,00	S;S;S;S;S;S	S;S;S;S;S;S	-		001	-	0027	1,33	3,20	3,20	NO	-		
Trave Acciaio 15a-38a	2,09	006	┘	40x120x80x3.5	0,00	S;S;S;S;S;S	S;S;S;S;S;S	-		001	-	0027	2,09	4,61	3,27	NO	-		
Trave Acciaio 39a-61a	2,04	006	┘	40x120x80x3.5	0,00	S;S;S;S;S;S	S;S;S;S;S;S	-		001	-	0039	2,04	3,27	1,93	NO	-		
Trave Acciaio 38a-39a	1,33	001	□	120x120x5.0	60,00	S;S;S;S;S;S	S;S;S;S;S;S	-		001	-	0028	1,33	3,20	3,20	NO	-		
Trave Acciaio 16a-39a	2,09	006	┘	40x120x80x3.5	0,00	S;S;S;S;S;S	S;S;S;S;S;S	-		001	-	0028	2,09	4,61	3,27	NO	-		
Trave Acciaio 40a-62a	2,04	006	┘	40x120x80x3.5	0,00	S;S;S;S;S;S	S;S;S;S;S;S	-		001	-	0038	2,04	3,27	1,93	NO	-		
Trave Acciaio 4-40a	0,96	001	□	120x120x5.0	60,00	S;S;S;S;S;S	S;S;S;S;S;S	-		001	-	0029	0,97	3,20	3,20	NO	-		
Trave Acciaio 17a-40a	2,09	006	┘	40x120x80x3.5	0,00	S;S;S;S;S;S	S;S;S;S;S;S	-		001	-	0029	2,09	4,61	3,27	NO	-		
Trave Acciaio 41a-63a	2,04	006	┘	40x120x80x3.5	0,00	S;S;S;S;S;S	S;S;S;S;S;S	-		001	-	0037	2,04	3,27	1,93	NO	-		
Trave Acciaio 40a-41a	1,33	001	□	120x120x5.0	60,00	S;S;S;S;S;S	S;S;S;S;S;S	-		001	-	0030	1,33	3,20	3,20	NO	-		
Trave Acciaio 18a-41a	2,09	006	┘	40x120x80x3.5	0,00	S;S;S;S;S;S	S;S;S;S;S;S	-		001	-	0030	2,09	4,61	3,27	NO	-		
Trave Acciaio 42a-64a	2,03	006	┘	40x120x80x3.5	0,00	S;S;S;S;S;S	S;S;S;S;S;S	-		001	-	0036	2,04	3,27	1,93	NO	-		
Trave Acciaio 41a-42a	1,33	001	□	120x120x5.0	60,00	S;S;S;S;S;S	S;S;S;S;S;S	-		001	-	0031	1,33	3,20	3,20	NO	-		
Trave Acciaio 19a-42a	2,10	006	┘	40x120x80x3.5	0,00	S;S;S;S;S;S	S;S;S;S;S;S	-		001	-	0031	2,09	4,61	3,27	NO	-		
Trave Acciaio 43a-65a	2,03	006	┘	40x120x80x3.5	0,00	S;S;S;S;S;S	S;S;S;S;S;S	-		001	-	0034	2,04	3,27	1,93	NO	-		
Trave Acciaio 42a-43a	1,33	001	□	120x120x5.0	60,00	S;S;S;S;S;S	S;S;S;S;S;S	-		001	-	0032	1,33	3,20	3,20	NO	-		
Trave Acciaio 20a-43a	2,10	006	┘	40x120x80x3.5	0,00	S;S;S;S;S;S	S;S;S;S;S;S	-		001	-	0032	2,09	4,61	3,27	NO	-		
Trave Acciaio 44a-66a	2,04	006	┘	40x120x80x3.5	0,00	S;S;S;S;S;S	S;S;S;S;S;S	-		001	-	0035	2,04	3,27	1,93	NO	-		
Trave Acciaio 43a-44a	1,33	001	□	120x120x5.0	60,00	S;S;S;S;S;S	S;S;S;S;S;S	-		001	-	0033	1,33	3,20	3,20	NO	-		
Trave Acciaio 21a-44a	2,09	006	┘	40x120x80x3.5	0,00	S;S;S;S;S;S	S;S;S;S;S;S	-		001	-	0033	2,09	4,61	3,27	NO	-		
Trave Acciaio 21a-23a	1,33	005	L	L 20x20x4	0,00	S;S;S;S;S;S	S;S;S;S;S;S	-		001	-	0012	1,33	4,59	4,59	NO	-		
Trave Acciaio 66a-68a	1,33	003	L	L 20x20x4	0,00	S;S;S;S;S;S	S;S;S;S;S;S	-		001	-	0013	1,33	1,91	1,91	NO	-		
Trave Acciaio 67a-46a	1,33	003	L	L 20x20x4	0,00	S;S;S;S;S;S	S;S;S;S;S;S	-		001	-	0054	1,33	1,91	1,91	NO	-		
Trave Acciaio 46a-47a	1,33	003	L	L 20x20x4	0,00	S;S;S;S;S;S	S;S;S;S;S;S	-		001	-	0053	1,33	1,91	1,91	NO	-		
Trave Acciaio 47a-48a	1,33	003	L	L 20x20x4	0,00	S;S;S;S;S;S	S;S;S;S;S;S	-		001	-	0052	1,33	1,91	1,91	NO	-		
Trave Acciaio 48a-	1,33	003	L	L 20x20x4	0,00	S;S;S;S;S;S	S;S;S;S;S;S	-		001	-	0000	1,33	1,91	1,91	NO	-		

IdTr	L _{L1}	Sezione				V. Int.		Stz	Note	Mt rl	AA /C IS	Nd i	Nd f	Dis- j	Q _{LL1}		Clc Fnd	Pr/ Sc
		Id _{Sz}	Tp	Label	Rtz	Iniz.	Fin.								Iniz	Fin.		
49a					[°ssdc]													
Trave Acciaio 49a-50a	1,33	003	L	L 20x20x4	0,00	S;S;S;S;S;S	S;S;S;S;S;S	-										
Trave Acciaio 50a-51a	1,33	003	L	L 20x20x4	0,00	S;S;S;S;S;S	S;S;S;S;S;S	-										
Trave Acciaio 51a-52a	1,33	003	L	L 20x20x4	0,00	S;S;S;S;S;S	S;S;S;S;S;S	-										
Trave Acciaio 52a-53a	1,33	003	L	L 20x20x4	0,00	S;S;S;S;S;S	S;S;S;S;S;S	-										
Trave Acciaio 53a-54a	1,33	003	L	L 20x20x4	0,00	S;S;S;S;S;S	S;S;S;S;S;S	-										
Trave Acciaio 54a-55a	1,33	003	L	L 20x20x4	0,00	S;S;S;S;S;S	S;S;S;S;S;S	-										
Trave Acciaio 55a-56a	1,33	003	L	L 20x20x4	0,00	S;S;S;S;S;S	S;S;S;S;S;S	-										
Trave Acciaio 56a-57a	1,33	003	L	L 20x20x4	0,00	S;S;S;S;S;S	S;S;S;S;S;S	-										
Trave Acciaio 57a-58a	1,33	003	L	L 20x20x4	0,00	S;S;S;S;S;S	S;S;S;S;S;S	-										
Trave Acciaio 58a-59a	1,33	003	L	L 20x20x4	0,00	S;S;S;S;S;S	S;S;S;S;S;S	-										
Trave Acciaio 59a-60a	1,33	003	L	L 20x20x4	0,00	S;S;S;S;S;S	S;S;S;S;S;S	-										
Trave Acciaio 60a-61a	1,33	003	L	L 20x20x4	0,00	S;S;S;S;S;S	S;S;S;S;S;S	-										
Trave Acciaio 61a-62a	1,33	003	L	L 20x20x4	0,00	S;S;S;S;S;S	S;S;S;S;S;S	-										
Trave Acciaio 62a-63a	1,33	003	L	L 20x20x4	0,00	S;S;S;S;S;S	S;S;S;S;S;S	-										
Trave Acciaio 63a-64a	1,33	003	L	L 20x20x4	0,00	S;S;S;S;S;S	S;S;S;S;S;S	-										
Trave Acciaio 64a-65a	1,33	003	L	L 20x20x4	0,00	S;S;S;S;S;S	S;S;S;S;S;S	-										
Trave Acciaio 65a-66a	1,33	003	L	L 20x20x4	0,00	S;S;S;S;S;S	S;S;S;S;S;S	-										
Trave Acciaio 22a-1a	1,33	005	L	L 20x20x4	0,00	S;S;S;S;S;S	S;S;S;S;S;S	-										
Trave Acciaio 1a-2a	1,33	005	L	L 20x20x4	0,00	S;S;S;S;S;S	S;S;S;S;S;S	-										
Trave Acciaio 2a-3a	1,33	005	L	L 20x20x4	0,00	S;S;S;S;S;S	S;S;S;S;S;S	-										
Trave Acciaio 3a-4a	1,33	005	L	L 20x20x4	0,00	S;S;S;S;S;S	S;S;S;S;S;S	-										
Trave Acciaio 4a-5a	1,33	005	L	L 20x20x4	0,00	S;S;S;S;S;S	S;S;S;S;S;S	-										
Trave Acciaio 5a-6a	1,33	005	L	L 20x20x4	0,00	S;S;S;S;S;S	S;S;S;S;S;S	-										
Trave Acciaio 6a-7a	1,33	005	L	L 20x20x4	0,00	S;S;S;S;S;S	S;S;S;S;S;S	-										
Trave Acciaio 7a-8a	1,33	005	L	L 20x20x4	0,00	S;S;S;S;S;S	S;S;S;S;S;S	-										
Trave Acciaio 8a-9a	1,33	005	L	L 20x20x4	0,00	S;S;S;S;S;S	S;S;S;S;S;S	-										
Trave Acciaio 9a-10a	1,33	005	L	L 20x20x4	0,00	S;S;S;S;S;S	S;S;S;S;S;S	-										
Trave Acciaio 10a-11a	1,33	005	L	L 20x20x4	0,00	S;S;S;S;S;S	S;S;S;S;S;S	-										
Trave Acciaio 11a-12a	1,33	005	L	L 20x20x4	0,00	S;S;S;S;S;S	S;S;S;S;S;S	-										
Trave Acciaio 12a-13a	1,33	005	L	L 20x20x4	0,00	S;S;S;S;S;S	S;S;S;S;S;S	-										
Trave Acciaio 13a-14a	1,33	005	L	L 20x20x4	0,00	S;S;S;S;S;S	S;S;S;S;S;S	-										
Trave Acciaio 14a-15a	1,33	005	L	L 20x20x4	0,00	S;S;S;S;S;S	S;S;S;S;S;S	-										
Trave Acciaio 15a-16a	1,33	005	L	L 20x20x4	0,00	S;S;S;S;S;S	S;S;S;S;S;S	-										
Trave Acciaio 16a-17a	1,33	005	L	L 20x20x4	0,00	S;S;S;S;S;S	S;S;S;S;S;S	-										
Trave Acciaio 17a-18a	1,33	005	L	L 20x20x4	0,00	S;S;S;S;S;S	S;S;S;S;S;S	-										
Trave Acciaio 18a-19a	1,33	005	L	L 20x20x4	0,00	S;S;S;S;S;S	S;S;S;S;S;S	-										
Trave Acciaio 19a-20a	1,33	005	L	L 20x20x4	0,00	S;S;S;S;S;S	S;S;S;S;S;S	-										
Trave Acciaio 20a-21a	1,33	005	L	L 20x20x4	0,00	S;S;S;S;S;S	S;S;S;S;S;S	-										

Id _{Tr}	L _{LI}	Sezione				V. Int.		Stz	Note	M _{tr}	AA / C / IS	N _d _i	N _d _f	Dis _{i-j}	Q _{LLI}		Clc Fnd	Pr / Sc
		Id _{Sz}	Tp	Label	Rtz	Iniz.	Fin.								Iniz	Fin.		
Trave Acciaio 24a-1	0,60	001	□	120x120x5.0	60,00	S;S;S;S;S;S	S;S;S;S;S;S	-		001	-	0006	0076	0,60	3,20	3,20	NO	-
Trave Acciaio 29a-2	0,96	001	□	120x120x5.0	60,00	S;S;S;S;S;S	S;S;S;S;S;S	-		001	-	0018	0078	0,97	3,20	3,20	NO	-
Trave Acciaio 44a-5	0,73	001	□	120x120x5.0	60,00	S;S;S;S;S;S	S;S;S;S;S;S	-		001	-	0033	0077	0,73	3,20	3,20	NO	-

LEGENDA:

Id_{Tr}	Identificativo della trave. L'eventuale lettera tra parentesi distingue i diversi tratti della travata al livello considerato.
L_{LI}	Lunghezza libera d'Inflessione.
Id_{Sz}	Identificativo della sezione, nella relativa tabella.
Tp	Tipo di sezione.
Label	Identificativo della sezione, come indicato nelle carpenterie.
Rtz	Angolo di rotazione della sezione.
V. Int.	Identificativo delle condizioni di vincolo agli estremi inferiore e superiore del pilastro, costituito da sei caratteri. I primi tre, sono relativi alla traslazione rispettivamente lungo gli assi 1, 2 e 3, mentre i secondi tre sono relativi rispettivamente alla rotazione intorno agli assi 1, 2 e 3 (Assi 1, 2, 3: riferimento locale). Il carattere "S" o "N" indica se il vincolo allo spostamento/rotazione è presente o assente.
Stz	Tipo di situazione: [F] = di Fatto (Esistente); [P] = di Progetto (Nuovo).
Note	Nota relativa alla verifica di deformabilità delle travi in acciaio e in legno. Se presente "elemento a sbalzo" = la freccia viene valutata nell'ipotesi di trave a mensola; altrimenti la freccia viene valutata nell'ipotesi di trave appoggiata-appoggiata.
M_{tr}	Identificativo del materiale.
AA/CIS	Identificativo dell'aggressività dell'ambiente o della classe di servizio: Aggressività dell'ambiente: [PCA] = "Ordinario"; [MDA] = "Aggressivo"; [MLA] = "Molto aggressivo"; Classe di servizio: [1] = Ambiente con umidità bassa - [2] = Ambiente con umidità media - [3] = Ambiente con umidità alta.
N_d_i	Identificativo del nodo iniziale, nella relativa tabella.
N_d_f	Identificativo del nodo finale, nella relativa tabella.
Dis_{i-j}	Distanza tra il nodo iniziale e finale.
Q_{LLI}	Quota agli estremi iniziale e finale del tratto di trave libero d'inflettersi (Lunghezza Libera d'Inflessione), valutata rispetto al livello (piano) di appartenenza.
Clc Fnd	[Si] = elemento progettato attraverso una modalità di rispetto della Gerarchia delle Resistenze per le Fondazioni. [No] = elemento progettato con le sollecitazioni ottenute dall'analisi (senza nessuna modalità di rispetto della Gerarchia delle Resistenze per le Fondazioni).
Pr/Sc	Indica se l'elemento strutturale è incluso nel modello per il calcolo delle azioni sismiche. [1] = non incluso; [-] = incluso.

PILASTRI

N _{id}	Lv	L _{LI}	Sezione				V. Int.		M _{tr}	AA/CIS	Nod		Dis _{i-j}	Q _{LLI}		Clc Fnd	Pr/Sc
			Id _{Sz}	Tp	Label	Rtz	Inf.	Sup.			Inf.	Sup.		Inf.	Sup.		
001	01	3,20	004	I	IPE 240	0,00	S;S;S;S;S;S	S;S;S;S;S;S	001	-	0001	0076	3,20	0,00	3,20	NO	-
002	01	3,20	004	I	IPE 240	0,00	S;S;S;S;S;S	S;S;S;S;S;S	001	-	0002	0078	3,20	0,00	3,20	NO	-
003	01	3,20	004	I	IPE 240	0,00	S;S;S;S;S;S	S;S;S;S;S;S	001	-	0003	0008	3,20	0,00	3,20	NO	-
005	01	3,20	004	I	IPE 240	0,00	S;S;S;S;S;S	S;S;S;S;S;S	001	-	0004	0077	3,20	0,00	3,20	NO	-
004	01	3,20	004	I	IPE 240	0,00	S;S;S;S;S;S	S;S;S;S;S;S	001	-	0005	0009	3,20	0,00	3,20	NO	-

LEGENDA:

N_{id}	Numero identificativo della pilastrata. L'eventuale lettera tra parentesi distingue i diversi tratti della pilastrata al livello considerato.
Lv	Identificativo del livello, nella relativa tabella.
L_{LI}	Lunghezza libera d'Inflessione.
Id_{Sz}	Identificativo della sezione, nella relativa tabella.
Tp	Tipo di sezione.
Label	Identificativo della sezione, come indicato nelle carpenterie.
Rtz	Angolo di rotazione della sezione.
V. Int.	Identificativo delle condizioni di vincolo agli estremi inferiore e superiore del pilastro, costituito da sei caratteri. I primi tre, sono relativi alla traslazione rispettivamente lungo gli assi 1, 2 e 3, mentre i secondi tre sono relativi rispettivamente alla rotazione intorno agli assi 1, 2 e 3 (Assi 1, 2, 3: riferimento locale). Il carattere "S" o "N" indica se il vincolo allo spostamento/rotazione è presente o assente.
M_{tr}	Identificativo del materiale.
AA/CIS	Identificativo dell'aggressività dell'ambiente o della classe di servizio: Aggressività dell'ambiente: [PCA] = "Ordinario"; [MDA] = "Aggressivo"; [MLA] = "Molto aggressivo"; Classe di servizio: [1] = Ambiente con umidità bassa - [2] = Ambiente con umidità media - [3] = Ambiente con umidità alta.
Nod	Identificativo del nodo nella relativa tabella.
Dis_{i-j}	Distanza tra il nodo iniziale e finale.
Q_{LLI}	Quota agli estremi inferiore e superiore del tratto di elemento libero d'inflettersi (Lunghezza Libera d'Inflessione), valutata rispetto al livello (piano) di appartenenza.
Clc Fnd	[Si] = elemento progettato attraverso una modalità di rispetto della Gerarchia delle Resistenze per le Fondazioni. [No] = elemento progettato con le sollecitazioni ottenute dall'analisi (senza nessuna modalità di rispetto della Gerarchia delle Resistenze per le Fondazioni).
Pr/Sc	Indica se l'elemento strutturale è incluso nel modello per il calcolo delle azioni sismiche. [1] = non incluso; [-] = incluso.

Id_{Ter}	Identificativo del terreno, nella relativa tabella.
C_{rid,v}	Coefficiente di riduzione della costante di sottofondo verticale
C_{rid,h}	Coefficiente di riduzione della costante di sottofondo orizzontale
Q_{b,pil}	Quota dell'estremo inferiore del pilastro.
PP	Peso proprio del plinto.
L_{ng}, L_{rg}, H_{pln,tot}	Dimensioni del plinto.

SOLAI

Solai e Balconi

Id _{EI} m	Vertici del solaio	A _{EI}	Sp	Tipologia	B _{tr}	TA	B _{pg}	Sp _{s,s} up	Sp _{s,i} nf	Rpt		PR	I
										N	b		
		[m ²]	[cm]		[cm]		[cm]	[cm]	[cm]		[cm]		
Piano Terra													
001		0,00	5,00	Solaio generico	0	NO	0	-	-	0	0	NO	I
002		0,00	5,00	Solaio generico	0	NO	0	-	-	0	0	NO	I
003		0,00	5,00	Solaio generico	0	NO	0	-	-	0	0	NO	I
004	11a-3-34a-10a	2,41	5,00	Solaio generico	0	NO	0	-	-	0	0	NO	I
005	13a-36a-35a-12a	2,41	5,00	Solaio generico	0	NO	0	-	-	0	0	NO	I
006	36a-58a-57a-35a	2,31	5,00	Solaio generico	0	NO	0	-	-	0	0	NO	I
007	35a-57a-56a-3	2,29	5,00	Solaio generico	0	NO	0	-	-	0	0	NO	I
008	3-56a-55a-34a	2,29	5,00	Solaio generico	0	NO	0	-	-	0	0	NO	I
009	37a-59a-58a-36a	2,29	5,00	Solaio generico	0	NO	0	-	-	0	0	NO	I
010	38a-60a-59a-37a	2,29	5,00	Solaio generico	0	NO	0	-	-	0	0	NO	I
011	41a-63a-62a-40a	2,29	5,00	Solaio generico	0	NO	0	-	-	0	0	NO	I
012	40a-62a-61a-39a-4	2,29	5,00	Solaio generico	0	NO	0	-	-	0	0	NO	I
013	39a-61a-60a-38a	2,29	5,00	Solaio generico	0	NO	0	-	-	0	0	NO	I
014	42a-64a-63a-41a	2,29	5,00	Solaio generico	0	NO	0	-	-	0	0	NO	I
015	19a-42a-41a-18a	2,41	5,00	Solaio generico	0	NO	0	-	-	0	0	NO	I
016	18a-41a-40a-17a	2,41	5,00	Solaio generico	0	NO	0	-	-	0	0	NO	I
017	17a-40a-4-39a-16a	2,41	5,00	Solaio generico	0	NO	0	-	-	0	0	NO	I
018	25a-46a-67a-24a-1	2,29	5,00	Solaio generico	0	NO	0	-	-	0	0	NO	I
019	26a-47a-46a-25a	2,29	5,00	Solaio generico	0	NO	0	-	-	0	0	NO	I
020	27a-48a-47a-26a	2,29	5,00	Solaio generico	0	NO	0	-	-	0	0	NO	I
021	3a-27a-26a-2a	2,41	5,00	Solaio generico	0	NO	0	-	-	0	0	NO	I
022	2a-26a-25a-1a	2,41	5,00	Solaio generico	0	NO	0	-	-	0	0	NO	I
023	1a-25a-1-24a-22a	2,41	5,00	Solaio generico	0	NO	0	-	-	0	0	NO	I
024	28a-49a-48a-27a	2,29	5,00	Solaio generico	0	NO	0	-	-	0	0	NO	I
025	4a-28a-27a-3a	2,41	5,00	Solaio generico	0	NO	0	-	-	0	0	NO	I
026	29a-50a-49a-28a	2,29	5,00	Solaio generico	0	NO	0	-	-	0	0	NO	I
027	5a-29a-28a-4a	2,41	5,00	Solaio generico	0	NO	0	-	-	0	0	NO	I
028	2-30a-51a-50a-29a	2,29	5,00	Solaio generico	0	NO	0	-	-	0	0	NO	I
029	6a-30a-2-29a-5a	2,41	5,00	Solaio generico	0	NO	0	-	-	0	0	NO	I
030	31a-52a-51a-30a	2,29	5,00	Solaio generico	0	NO	0	-	-	0	0	NO	I
031	7a-31a-30a-6a	2,41	5,00	Solaio generico	0	NO	0	-	-	0	0	NO	I
032	32a-53a-52a-31a	2,29	5,00	Solaio generico	0	NO	0	-	-	0	0	NO	I
033	8a-32a-31a-7a	2,41	5,00	Solaio generico	0	NO	0	-	-	0	0	NO	I
034	33a-54a-53a-32a	2,29	5,00	Solaio generico	0	NO	0	-	-	0	0	NO	I
035	9a-33a-32a-8a	2,41	5,00	Solaio generico	0	NO	0	-	-	0	0	NO	I
036	34a-55a-54a-33a	2,29	5,00	Solaio generico	0	NO	0	-	-	0	0	NO	I
037	10a-34a-33a-9a	2,41	5,00	Solaio generico	0	NO	0	-	-	0	0	NO	I
038	43a-65a-64a-42a	2,29	5,00	Solaio generico	0	NO	0	-	-	0	0	NO	I
039	44a-66a-65a-43a	2,29	5,00	Solaio generico	0	NO	0	-	-	0	0	NO	I
040	21a-44a-43a-20a	2,41	5,00	Solaio generico	0	NO	0	-	-	0	0	NO	I
041	20a-43a-42a-19a	2,41	5,00	Solaio generico	0	NO	0	-	-	0	0	NO	I
042	23a-45a-5-44a-21a	2,41	5,00	Solaio generico	0	NO	0	-	-	0	0	NO	I
043	16a-39a-38a-15a	2,41	5,00	Solaio generico	0	NO	0	-	-	0	0	NO	I
044	12a-35a-3-11a	2,41	5,00	Solaio generico	0	NO	0	-	-	0	0	NO	I
Fondazione													
Piano Terra													
Fondazione													

TC	C	CC	SR	Dis _i [m]	F _{X,i} /Q _{X,i} [N;N/m]	F _{Y,i} /Q _{Y,i} [N;N/m]	F _{Z,i} /Q _{Z,i} [N;N/m]	M _{X,i} /M _{T,i} [N-m;N-m/m]	M _{Y,i} [N-m;N-m/m]	M _{Z,i} [N-m;N-m/m]	Dis _f [m]	Q _{X,f} [N/m]	Q _{Y,f} [N/m]	Q _{Z,f} [N/m]	M _{T,f} [N-m/m]		
L	CR002	001	G	0,00	0	0	-82	0	-	-	0,04	0	0	-82	0		
L	CR001	002	G	0,00	0	0	-282	0	-	-	0,04	0	0	-282	0		
L	CR001	002	G	0,00	0	0	-37	0	-	-	0,04	0	0	-37	0		
L	CR002	001	G	0,00	0	0	-82	0	-	-	0,04	0	0	-82	0		
L	CR001	002	G	0,00	0	0	-282	0	-	-	0,04	0	0	-282	0		
L	CR001	002	G	0,00	0	0	-37	0	-	-	0,04	0	0	-37	0		
L	CR003	003	G	0,00	0	43	52	0	-	-	0,04	0	43	52	0		
L	CR003	004	G	0,00	0	43	52	0	-	-	0,04	0	43	52	0		
L	CR003	005	G	0,00	0	43	52	0	-	-	0,04	0	43	52	0		
L	CR003	006	G	0,00	0	-21	-25	0	-	-	0,04	0	-21	-25	0		
L	CR004	001	G	0,00	0	0	-110	0	-	-	0,01	0	0	-110	0		
C	CR003	003	G	1,05	4	0	0	0	0	0	-	-	-	-	-		
C	CR003	004	G	1,05	-4	0	0	0	0	0	-	-	-	-	-		
Piano Terra			Travata: Piano Terra								Trave: Trave Acciaio 26a-47a			Peso proprio			-103
L	CR002	001	G	0,07	0	0	-82	0	-	-	0,01	0	0	-82	0		
L	CR001	002	G	0,07	0	0	-282	0	-	-	0,01	0	0	-282	0		
L	CR001	002	G	0,07	0	0	-37	0	-	-	0,01	0	0	-37	0		
L	CR002	001	G	0,07	0	0	-82	0	-	-	0,01	0	0	-82	0		
L	CR001	002	G	0,07	0	0	-282	0	-	-	0,01	0	0	-282	0		
L	CR001	002	G	0,07	0	0	-37	0	-	-	0,01	0	0	-37	0		
L	CR003	003	G	0,00	0	42	48	0	-	-	0,00	0	42	48	0		
L	CR003	004	G	0,00	0	42	48	0	-	-	0,00	0	42	48	0		
L	CR003	005	G	0,00	0	42	48	0	-	-	0,00	0	42	48	0		
L	CR003	006	G	0,00	0	-24	-28	0	-	-	0,00	0	-24	-28	0		
L	CR004	001	G	0,00	0	0	-110	0	-	-	0,01	0	0	-110	0		
C	CR003	003	G	1,02	3	0	0	0	0	0	-	-	-	-	-		
C	CR003	004	G	1,02	-3	0	0	0	0	0	-	-	-	-	-		
Piano Terra			Travata: Piano Terra								Trave: Trave Acciaio 25a-26a			Peso proprio			-178
L	CR001	002	G	0,08	0	0	-29	0	-	-	0,08	0	0	-29	0		
L	CR001	002	G	0,08	0	0	-29	0	-	-	0,08	0	0	-29	0		
Piano Terra			Travata: Piano Terra								Trave: Trave Acciaio 2a-26a			Peso proprio			-103
L	CR002	001	G	0,00	0	0	-82	0	-	-	0,04	0	0	-82	0		
L	CR001	002	G	0,00	0	0	-282	0	-	-	0,04	0	0	-282	0		
L	CR001	002	G	0,00	0	0	-37	0	-	-	0,04	0	0	-37	0		
L	CR002	001	G	0,00	0	0	-82	0	-	-	0,04	0	0	-82	0		
L	CR001	002	G	0,00	0	0	-282	0	-	-	0,04	0	0	-282	0		
L	CR001	002	G	0,00	0	0	-37	0	-	-	0,04	0	0	-37	0		
L	CR003	003	G	0,00	0	43	52	0	-	-	0,04	0	43	52	0		
L	CR003	004	G	0,00	0	43	52	0	-	-	0,04	0	43	52	0		
L	CR003	005	G	0,00	0	43	52	0	-	-	0,04	0	43	52	0		
L	CR003	006	G	0,00	0	-21	-25	0	-	-	0,04	0	-21	-25	0		
L	CR004	001	G	0,00	0	0	-110	0	-	-	0,01	0	0	-110	0		
C	CR003	003	G	1,05	4	0	0	0	0	0	-	-	-	-	-		
C	CR003	004	G	1,05	-4	0	0	0	0	0	-	-	-	-	-		
Piano Terra			Travata: Piano Terra								Trave: Trave Acciaio 27a-48a			Peso proprio			-103
L	CR002	001	G	0,07	0	0	-82	0	-	-	0,00	0	0	-82	0		
L	CR001	002	G	0,07	0	0	-282	0	-	-	0,00	0	0	-282	0		
L	CR001	002	G	0,07	0	0	-37	0	-	-	0,00	0	0	-37	0		
L	CR002	001	G	0,07	0	0	-82	0	-	-	0,00	0	0	-82	0		
L	CR001	002	G	0,07	0	0	-282	0	-	-	0,00	0	0	-282	0		
L	CR001	002	G	0,07	0	0	-37	0	-	-	0,00	0	0	-37	0		
L	CR003	003	G	0,00	0	42	48	0	-	-	0,00	0	42	48	0		
L	CR003	004	G	0,00	0	42	48	0	-	-	0,00	0	42	48	0		
L	CR003	005	G	0,00	0	42	48	0	-	-	0,00	0	42	48	0		
L	CR003	006	G	0,00	0	-24	-28	0	-	-	0,00	0	-24	-28	0		
L	CR004	001	G	0,00	0	0	-110	0	-	-	0,00	0	0	-110	0		
C	CR003	003	G	1,01	3	0	0	0	0	0	-	-	-	-	-		
C	CR003	004	G	1,01	-3	0	0	0	0	0	-	-	-	-	-		
Piano Terra			Travata: Piano Terra								Trave: Trave Acciaio 26a-27a			Peso proprio			-178
L	CR001	002	G	0,08	0	0	-29	0	-	-	0,08	0	0	-29	0		
L	CR001	002	G	0,08	0	0	-29	0	-	-	0,08	0	0	-29	0		
Piano Terra			Travata: Piano Terra								Trave: Trave Acciaio 3a-27a			Peso proprio			-103
L	CR002	001	G	0,01	0	0	-82	0	-	-	0,04	0	0	-82	0		
L	CR001	002	G	0,01	0	0	-282	0	-	-	0,04	0	0	-282	0		
L	CR001	002	G	0,00	0	0	-37	0	-	-	0,04	0	0	-37	0		
L	CR002	001	G	0,01	0	0	-82	0	-	-	0,04	0	0	-82	0		
L	CR001	002	G	0,01	0	0	-282	0	-	-	0,04	0	0	-282	0		
L	CR001	002	G	0,01	0	0	-37	0	-	-	0,04	0	0	-37	0		
L	CR003	003	G	0,01	0	43	52	0	-	-	0,04	0	43	52	0		
L	CR003	004	G	0,01	0	43	52	0	-	-	0,04	0	43	52	0		
L	CR003	005	G	0,01	0	43	52	0	-	-	0,04	0	43	52	0		
L	CR003	006	G	0,01	0	-21	-25	0	-	-	0,04	0	-21	-25	0		
L	CR004	001	G	0,01	0	0	-110	0	-	-	0,01	0	0	-110	0		

														Carichi sulle travi			
TC	C	CC	SR	Dis _i	F _{X,i} /Q _{X,i}	F _{Y,i} /Q _{Y,i}	F _{Z,i} /Q _{Z,i}	M _{X,i} /M _{T,i}	M _{Y,i}	M _{Z,i}	Dis _f	Q _{X,f}	Q _{Y,f}	Q _{Z,f}	M _{T,f}		
				[m]	[N;N/m]	[N;N/m]	[N;N/m]	[N-m;N-m/m]	[N-m;N-m/m]	[N-m;N-m/m]	[m]	[N/m]	[N/m]	[N/m]	[N-m/m]		
L	CR003	004	G	0,00	0	42	48	0	0,00	0	0,00	0	42	48	0		
L	CR003	005	G	0,00	0	42	48	0	-	-	0,00	0	42	48	0		
L	CR003	006	G	0,00	0	-24	-28	0	-	-	0,00	0	-24	-28	0		
L	CR004	001	G	0,00	0	0	-110	0	-	-	0,00	0	0	-110	0		
C	CR003	003	G	1,02	3	0	0	0	0	0	-	-	-	-	-		
C	CR003	004	G	1,02	-3	0	0	0	0	0	-	-	-	-	-		
Piano Terra			Travata: Piano Terra					Trave: Trave Acciaio 2-30a			Peso proprio			-178			
L	CR001	002	G	0,00	0	0	-29	0	-	-	0,08	0	0	-29	0		
L	CR001	002	G	0,00	0	0	-29	0	-	-	0,08	0	0	-29	0		
Piano Terra			Travata: Piano Terra					Trave: Trave Acciaio 6a-30a			Peso proprio			-103			
L	CR002	001	G	0,00	0	0	-82	0	-	-	0,04	0	0	-82	0		
L	CR001	002	G	0,00	0	0	-282	0	-	-	0,04	0	0	-282	0		
L	CR001	002	G	0,00	0	0	-37	0	-	-	0,04	0	0	-37	0		
L	CR002	001	G	0,00	0	0	-82	0	-	-	0,04	0	0	-82	0		
L	CR001	002	G	0,00	0	0	-282	0	-	-	0,04	0	0	-282	0		
L	CR001	002	G	0,00	0	0	-37	0	-	-	0,04	0	0	-37	0		
L	CR003	003	G	0,00	0	43	52	0	-	-	0,04	0	43	52	0		
L	CR003	004	G	0,00	0	43	52	0	-	-	0,04	0	43	52	0		
L	CR003	005	G	0,00	0	43	52	0	-	-	0,04	0	43	52	0		
L	CR003	006	G	0,00	0	-21	-25	0	-	-	0,04	0	-21	-25	0		
L	CR004	001	G	0,00	0	0	-110	0	-	-	0,01	0	0	-110	0		
C	CR003	003	G	1,05	4	0	0	0	0	0	-	-	-	-	-		
C	CR003	004	G	1,05	-4	0	0	0	0	0	-	-	-	-	-		
Piano Terra			Travata: Piano Terra					Trave: Trave Acciaio 31a-52a			Peso proprio			-103			
L	CR002	001	G	0,07	0	0	-82	0	-	-	0,01	0	0	-82	0		
L	CR001	002	G	0,07	0	0	-282	0	-	-	0,01	0	0	-282	0		
L	CR001	002	G	0,07	0	0	-37	0	-	-	0,01	0	0	-37	0		
L	CR002	001	G	0,07	0	0	-82	0	-	-	0,01	0	0	-82	0		
L	CR001	002	G	0,07	0	0	-282	0	-	-	0,01	0	0	-282	0		
L	CR001	002	G	0,07	0	0	-37	0	-	-	0,01	0	0	-37	0		
L	CR003	003	G	0,00	0	42	48	0	-	-	0,00	0	42	48	0		
L	CR003	004	G	0,00	0	42	48	0	-	-	0,00	0	42	48	0		
L	CR003	005	G	0,00	0	42	48	0	-	-	0,00	0	42	48	0		
L	CR003	006	G	0,00	0	-24	-28	0	-	-	0,00	0	-24	-28	0		
L	CR004	001	G	0,00	0	0	-110	0	-	-	0,00	0	0	-110	0		
C	CR003	003	G	1,02	3	0	0	0	0	0	-	-	-	-	-		
C	CR003	004	G	1,02	-3	0	0	0	0	0	-	-	-	-	-		
Piano Terra			Travata: Piano Terra					Trave: Trave Acciaio 30a-31a			Peso proprio			-178			
L	CR001	002	G	0,08	0	0	-29	0	-	-	0,08	0	0	-29	0		
L	CR001	002	G	0,08	0	0	-29	0	-	-	0,08	0	0	-29	0		
Piano Terra			Travata: Piano Terra					Trave: Trave Acciaio 7a-31a			Peso proprio			-103			
L	CR002	001	G	0,00	0	0	-82	0	-	-	0,04	0	0	-82	0		
L	CR001	002	G	0,00	0	0	-282	0	-	-	0,04	0	0	-282	0		
L	CR001	002	G	0,00	0	0	-37	0	-	-	0,04	0	0	-37	0		
L	CR002	001	G	0,00	0	0	-82	0	-	-	0,04	0	0	-82	0		
L	CR001	002	G	0,00	0	0	-282	0	-	-	0,04	0	0	-282	0		
L	CR001	002	G	0,00	0	0	-37	0	-	-	0,04	0	0	-37	0		
L	CR003	003	G	0,00	0	43	52	0	-	-	0,04	0	43	52	0		
L	CR003	004	G	0,00	0	43	52	0	-	-	0,04	0	43	52	0		
L	CR003	005	G	0,00	0	43	52	0	-	-	0,04	0	43	52	0		
L	CR003	006	G	0,00	0	-21	-25	0	-	-	0,04	0	-21	-25	0		
L	CR004	001	G	0,00	0	0	-110	0	-	-	0,01	0	0	-110	0		
C	CR003	003	G	1,05	4	0	0	0	0	0	-	-	-	-	-		
C	CR003	004	G	1,05	-4	0	0	0	0	0	-	-	-	-	-		
Piano Terra			Travata: Piano Terra					Trave: Trave Acciaio 32a-53a			Peso proprio			-103			
L	CR002	001	G	0,07	0	0	-82	0	-	-	0,02	0	0	-82	0		
L	CR001	002	G	0,07	0	0	-282	0	-	-	0,02	0	0	-282	0		
L	CR001	002	G	0,07	0	0	-37	0	-	-	0,02	0	0	-37	0		
L	CR002	001	G	0,07	0	0	-82	0	-	-	0,02	0	0	-82	0		
L	CR001	002	G	0,07	0	0	-282	0	-	-	0,02	0	0	-282	0		
L	CR001	002	G	0,07	0	0	-37	0	-	-	0,02	0	0	-37	0		
L	CR003	003	G	0,00	0	42	48	0	-	-	0,00	0	42	48	0		
L	CR003	004	G	0,00	0	42	48	0	-	-	0,00	0	42	48	0		
L	CR003	005	G	0,00	0	42	48	0	-	-	0,00	0	42	48	0		
L	CR003	006	G	0,00	0	-24	-28	0	-	-	0,00	0	-24	-28	0		
L	CR004	001	G	0,00	0	0	-110	0	-	-	0,00	0	0	-110	0		
C	CR003	003	G	1,02	3	0	0	0	0	0	-	-	-	-	-		
C	CR003	004	G	1,02	-3	0	0	0	0	0	-	-	-	-	-		
Piano Terra			Travata: Piano Terra					Trave: Trave Acciaio 31a-32a			Peso proprio			-178			
L	CR001	002	G	0,08	0	0	-29	0	-	-	0,08	0	0	-29	0		
L	CR001	002	G	0,08	0	0	-29	0	-	-	0,08	0	0	-29	0		
Piano Terra			Travata: Piano Terra					Trave: Trave Acciaio 8a-32a			Peso proprio			-103			

Carichi sulle travi															
TC	C	CC	SR	Dis _i	F _{X,i} /Q _{X,i}	F _{Y,i} /Q _{Y,i}	F _{Z,i} /Q _{Z,i}	M _{X,i} /M _{T,i}	M _{Y,i}	M _{Z,i}	Dis _f	Q _{X,f}	Q _{Y,f}	Q _{Z,f}	M _{T,f}
				[m]	[N;N/m]	[N;N/m]	[N;N/m]	[N-m;N-m/m]	[N-m;N-m/m]	[N-m;N-m/m]	[m]	[N/m]	[N/m]	[N/m]	[N-m/m]
L	CR002	001	G	0,00	0	0	-82	0	-	-	0,04	0	0	-82	0
L	CR001	002	G	0,00	0	0	-282	0	-	-	0,04	0	0	-282	0
L	CR001	002	G	0,00	0	0	-37	0	-	-	0,04	0	0	-37	0
L	CR002	001	G	0,00	0	0	-82	0	-	-	0,04	0	0	-82	0
L	CR001	002	G	0,00	0	0	-282	0	-	-	0,04	0	0	-282	0
L	CR001	002	G	0,00	0	0	-37	0	-	-	0,04	0	0	-37	0
L	CR003	003	G	0,00	0	43	52	0	-	-	0,04	0	43	52	0
L	CR003	004	G	0,00	0	43	52	0	-	-	0,04	0	43	52	0
L	CR003	005	G	0,00	0	43	52	0	-	-	0,04	0	43	52	0
L	CR003	006	G	0,00	0	-21	-25	0	-	-	0,04	0	-21	-25	0
L	CR004	001	G	0,00	0	0	-110	0	-	-	0,01	0	0	-110	0
C	CR003	003	G	1,04	4	0	0	0	0	0	-	-	-	-	-
C	CR003	004	G	1,04	-4	0	0	0	0	0	-	-	-	-	-
Piano Terra			Travata: Piano Terra						Trave: Trave Acciaio 33a-54a			Peso proprio			-103
L	CR002	001	G	0,07	0	0	-82	0	-	-	0,02	0	0	-82	0
L	CR001	002	G	0,07	0	0	-282	0	-	-	0,02	0	0	-282	0
L	CR001	002	G	0,07	0	0	-37	0	-	-	0,02	0	0	-37	0
L	CR002	001	G	0,07	0	0	-82	0	-	-	0,02	0	0	-82	0
L	CR001	002	G	0,07	0	0	-282	0	-	-	0,02	0	0	-282	0
L	CR001	002	G	0,07	0	0	-37	0	-	-	0,02	0	0	-37	0
L	CR003	003	G	0,00	0	42	48	0	-	-	0,00	0	42	48	0
L	CR003	004	G	0,00	0	42	48	0	-	-	0,00	0	42	48	0
L	CR003	005	G	0,00	0	42	48	0	-	-	0,00	0	42	48	0
L	CR003	006	G	0,00	0	-24	-28	0	-	-	0,00	0	-24	-28	0
L	CR004	001	G	0,00	0	0	-110	0	-	-	0,00	0	0	-110	0
C	CR003	003	G	1,02	3	0	0	0	0	0	-	-	-	-	-
C	CR003	004	G	1,02	-3	0	0	0	0	0	-	-	-	-	-
Piano Terra			Travata: Piano Terra						Trave: Trave Acciaio 32a-33a			Peso proprio			-178
L	CR001	002	G	0,08	0	0	-29	0	-	-	0,08	0	0	-29	0
L	CR001	002	G	0,08	0	0	-29	0	-	-	0,08	0	0	-29	0
Piano Terra			Travata: Piano Terra						Trave: Trave Acciaio 9a-33a			Peso proprio			-103
L	CR002	001	G	0,00	0	0	-82	0	-	-	0,04	0	0	-82	0
L	CR001	002	G	0,00	0	0	-282	0	-	-	0,04	0	0	-282	0
L	CR001	002	G	0,00	0	0	-37	0	-	-	0,04	0	0	-37	0
L	CR002	001	G	0,00	0	0	-82	0	-	-	0,04	0	0	-82	0
L	CR001	002	G	0,00	0	0	-282	0	-	-	0,04	0	0	-282	0
L	CR001	002	G	0,00	0	0	-37	0	-	-	0,04	0	0	-37	0
L	CR003	003	G	0,00	0	43	52	0	-	-	0,04	0	43	52	0
L	CR003	004	G	0,00	0	43	52	0	-	-	0,04	0	43	52	0
L	CR003	005	G	0,00	0	43	52	0	-	-	0,04	0	43	52	0
L	CR003	006	G	0,00	0	-21	-25	0	-	-	0,04	0	-21	-25	0
L	CR004	001	G	0,00	0	0	-110	0	-	-	0,01	0	0	-110	0
C	CR003	003	G	1,04	4	0	0	0	0	0	-	-	-	-	-
C	CR003	004	G	1,04	-4	0	0	0	0	0	-	-	-	-	-
Piano Terra			Travata: Piano Terra						Trave: Trave Acciaio 34a-55a			Peso proprio			-103
L	CR002	001	G	0,07	0	0	-82	0	-	-	0,02	0	0	-82	0
L	CR001	002	G	0,07	0	0	-282	0	-	-	0,02	0	0	-282	0
L	CR001	002	G	0,07	0	0	-37	0	-	-	0,02	0	0	-37	0
L	CR002	001	G	0,07	0	0	-82	0	-	-	0,03	0	0	-82	0
L	CR001	002	G	0,07	0	0	-282	0	-	-	0,03	0	0	-282	0
L	CR001	002	G	0,07	0	0	-37	0	-	-	0,02	0	0	-37	0
L	CR003	003	G	0,00	0	42	48	0	-	-	0,00	0	42	48	0
L	CR003	004	G	0,00	0	42	48	0	-	-	0,00	0	42	48	0
L	CR003	005	G	0,00	0	42	48	0	-	-	0,00	0	42	48	0
L	CR003	006	G	0,00	0	-24	-28	0	-	-	0,00	0	-24	-28	0
L	CR004	001	G	0,00	0	0	-110	0	-	-	0,00	0	0	-110	0
C	CR003	003	G	1,02	3	0	0	0	0	0	-	-	-	-	-
C	CR003	004	G	1,02	-3	0	0	0	0	0	-	-	-	-	-
Piano Terra			Travata: Piano Terra						Trave: Trave Acciaio 33a-34a			Peso proprio			-178
L	CR001	002	G	0,08	0	0	-29	0	-	-	0,08	0	0	-29	0
L	CR001	002	G	0,08	0	0	-29	0	-	-	0,08	0	0	-29	0
Piano Terra			Travata: Piano Terra						Trave: Trave Acciaio 10a-34a			Peso proprio			-103
L	CR002	001	G	0,00	0	0	-82	0	-	-	0,04	0	0	-82	0
L	CR001	002	G	0,00	0	0	-282	0	-	-	0,04	0	0	-282	0
L	CR001	002	G	0,00	0	0	-37	0	-	-	0,04	0	0	-37	0
L	CR002	001	G	0,00	0	0	-82	0	-	-	0,05	0	0	-82	0
L	CR001	002	G	0,00	0	0	-282	0	-	-	0,05	0	0	-282	0
L	CR001	002	G	0,00	0	0	-37	0	-	-	0,04	0	0	-37	0
L	CR003	003	G	0,00	0	43	52	0	-	-	0,04	0	43	52	0
L	CR003	004	G	0,00	0	43	52	0	-	-	0,04	0	43	52	0
L	CR003	005	G	0,00	0	43	52	0	-	-	0,04	0	43	52	0
L	CR003	006	G	0,00	0	-21	-25	0	-	-	0,04	0	-21	-25	0
L	CR004	001	G	0,00	0	0	-110	0	-	-	0,01	0	0	-110	0

Carichi sulle travi															
TC	C	CC	SR	Dis _i	F _{X,i} /Q _{X,i}	F _{Y,i} /Q _{Y,i}	F _{Z,i} /Q _{Z,i}	M _{X,i} /M _{T,i}	M _{Y,i}	M _{Z,i}	Dis _f	Q _{X,f}	Q _{Y,f}	Q _{Z,f}	M _{T,f}
				[m]	[N;N/m]	[N;N/m]	[N;N/m]	[N-m;N-m/m]	[N-m;N-m/m]	[N-m;N-m/m]	[m]	[N/m]	[N/m]	[N/m]	[N-m/m]
L	CR002	001	G	0,07	0	0	-82	0	-	-	0,01	0	0	-82	0
L	CR001	002	G	0,07	0	0	-282	0	-	-	0,01	0	0	-282	0
L	CR001	002	G	0,07	0	0	-37	0	-	-	0,01	0	0	-37	0
L	CR003	003	G	0,00	0	42	48	0	-	-	0,00	0	42	48	0
L	CR003	004	G	0,00	0	42	48	0	-	-	0,00	0	42	48	0
L	CR003	005	G	0,00	0	42	48	0	-	-	0,00	0	42	48	0
L	CR003	006	G	0,00	0	-24	-28	0	-	-	0,00	0	-24	-28	0
L	CR004	001	G	0,00	0	0	-110	0	-	-	0,00	0	0	-110	0
C	CR003	003	G	1,02	3	0	0	0	0	0	-	-	-	-	-
C	CR003	004	G	1,02	-3	0	0	0	0	0	-	-	-	-	-
Piano Terra			Travata: Piano Terra					Trave: Trave Acciaio 38a-39a			Peso proprio			-178	
L	CR001	002	G	0,08	0	0	-29	0	-	-	0,08	0	0	-29	0
L	CR001	002	G	0,08	0	0	-29	0	-	-	0,08	0	0	-29	0
Piano Terra			Travata: Piano Terra					Trave: Trave Acciaio 16a-39a			Peso proprio			-103	
L	CR002	001	G	0,00	0	0	-82	0	-	-	0,04	0	0	-82	0
L	CR001	002	G	0,00	0	0	-282	0	-	-	0,04	0	0	-282	0
L	CR001	002	G	0,00	0	0	-37	0	-	-	0,04	0	0	-37	0
L	CR002	001	G	0,00	0	0	-82	0	-	-	0,04	0	0	-82	0
L	CR001	002	G	0,00	0	0	-282	0	-	-	0,04	0	0	-282	0
L	CR001	002	G	0,00	0	0	-37	0	-	-	0,04	0	0	-37	0
L	CR003	003	G	0,00	0	43	52	0	-	-	0,04	0	43	52	0
L	CR003	004	G	0,00	0	43	52	0	-	-	0,04	0	43	52	0
L	CR003	005	G	0,00	0	43	52	0	-	-	0,04	0	43	52	0
L	CR003	006	G	0,00	0	-21	-25	0	-	-	0,04	0	-21	-25	0
L	CR004	001	G	0,00	0	0	-110	0	-	-	0,01	0	0	-110	0
C	CR003	003	G	1,05	4	0	0	0	0	0	-	-	-	-	-
C	CR003	004	G	1,05	-4	0	0	0	0	0	-	-	-	-	-
Piano Terra			Travata: Piano Terra					Trave: Trave Acciaio 40a-62a			Peso proprio			-103	
L	CR002	001	G	0,07	0	0	-82	0	-	-	0,01	0	0	-82	0
L	CR001	002	G	0,07	0	0	-282	0	-	-	0,01	0	0	-282	0
L	CR001	002	G	0,07	0	0	-37	0	-	-	0,01	0	0	-37	0
L	CR002	001	G	0,07	0	0	-82	0	-	-	0,01	0	0	-82	0
L	CR001	002	G	0,07	0	0	-282	0	-	-	0,01	0	0	-282	0
L	CR001	002	G	0,07	0	0	-37	0	-	-	0,01	0	0	-37	0
L	CR003	003	G	0,00	0	42	48	0	-	-	0,00	0	42	48	0
L	CR003	004	G	0,00	0	42	48	0	-	-	0,00	0	42	48	0
L	CR003	005	G	0,00	0	42	48	0	-	-	0,00	0	42	48	0
L	CR003	006	G	0,00	0	-24	-28	0	-	-	0,00	0	-24	-28	0
L	CR004	001	G	0,00	0	0	-110	0	-	-	0,00	0	0	-110	0
C	CR003	003	G	1,02	3	0	0	0	0	0	-	-	-	-	-
C	CR003	004	G	1,02	-3	0	0	0	0	0	-	-	-	-	-
Piano Terra			Travata: Piano Terra					Trave: Trave Acciaio 4-40a			Peso proprio			-178	
L	CR001	002	G	0,00	0	0	-29	0	-	-	0,08	0	0	-29	0
L	CR001	002	G	0,00	0	0	-29	0	-	-	0,08	0	0	-29	0
Piano Terra			Travata: Piano Terra					Trave: Trave Acciaio 17a-40a			Peso proprio			-103	
L	CR002	001	G	0,00	0	0	-82	0	-	-	0,04	0	0	-82	0
L	CR001	002	G	0,00	0	0	-282	0	-	-	0,04	0	0	-282	0
L	CR001	002	G	0,00	0	0	-37	0	-	-	0,04	0	0	-37	0
L	CR002	001	G	0,00	0	0	-82	0	-	-	0,04	0	0	-82	0
L	CR001	002	G	0,00	0	0	-282	0	-	-	0,04	0	0	-282	0
L	CR001	002	G	0,00	0	0	-37	0	-	-	0,04	0	0	-37	0
L	CR003	003	G	0,00	0	43	52	0	-	-	0,04	0	43	52	0
L	CR003	004	G	0,00	0	43	52	0	-	-	0,04	0	43	52	0
L	CR003	005	G	0,00	0	43	52	0	-	-	0,04	0	43	52	0
L	CR003	006	G	0,00	0	-21	-25	0	-	-	0,04	0	-21	-25	0
L	CR004	001	G	0,00	0	0	-110	0	-	-	0,01	0	0	-110	0
C	CR003	003	G	1,05	4	0	0	0	0	0	-	-	-	-	-
C	CR003	004	G	1,05	-4	0	0	0	0	0	-	-	-	-	-
Piano Terra			Travata: Piano Terra					Trave: Trave Acciaio 41a-63a			Peso proprio			-103	
L	CR002	001	G	0,07	0	0	-82	0	-	-	0,01	0	0	-82	0
L	CR001	002	G	0,07	0	0	-282	0	-	-	0,01	0	0	-282	0
L	CR001	002	G	0,07	0	0	-37	0	-	-	0,01	0	0	-37	0
L	CR002	001	G	0,07	0	0	-82	0	-	-	0,01	0	0	-82	0
L	CR001	002	G	0,07	0	0	-282	0	-	-	0,01	0	0	-282	0
L	CR001	002	G	0,07	0	0	-37	0	-	-	0,01	0	0	-37	0
L	CR003	003	G	0,00	0	42	48	0	-	-	0,00	0	42	48	0
L	CR003	004	G	0,00	0	42	48	0	-	-	0,00	0	42	48	0
L	CR003	005	G	0,00	0	42	48	0	-	-	0,00	0	42	48	0
L	CR003	006	G	0,00	0	-24	-28	0	-	-	0,00	0	-24	-28	0
L	CR004	001	G	0,00	0	0	-110	0	-	-	0,00	0	0	-110	0
C	CR003	003	G	1,02	3	0	0	0	0	0	-	-	-	-	-
C	CR003	004	G	1,02	-3	0	0	0	0	0	-	-	-	-	-
Piano Terra			Travata: Piano Terra					Trave: Trave Acciaio 40a-41a			Peso proprio			-178	

															Carichi sulle travi	
TC	C	CC	SR	Dis _i	F _{X,i} /Q _{X,i}	F _{Y,i} /Q _{Y,i}	F _{Z,i} /Q _{Z,i}	M _{X,i} /M _{T,i}	M _{Y,i}	M _{Z,i}	Dis _f	Q _{X,f}	Q _{Y,f}	Q _{Z,f}	M _{T,f}	
				[m]	[N;N/m]	[N;N/m]	[N;N/m]	[N-m;N-m/m]	[N-m;N-m/m]	[N-m;N-m/m]	[m]	[N/m]	[N/m]	[N/m]	[N-m/m]	
L	CR001	002	G	0,08	0	0	-29	0	-	-	0,08	0	0	-29	0	
L	CR001	002	G	0,08	0	0	-29	0	-	-	0,08	0	0	-29	0	
Piano Terra			Travata: Piano Terra					Trave: Trave Acciaio 18a-41a			Peso proprio			-103		
L	CR002	001	G	0,00	0	0	-82	0	-	-	0,04	0	0	-82	0	
L	CR001	002	G	0,00	0	0	-282	0	-	-	0,04	0	0	-282	0	
L	CR001	002	G	0,00	0	0	-37	0	-	-	0,04	0	0	-37	0	
L	CR002	001	G	0,00	0	0	-82	0	-	-	0,04	0	0	-82	0	
L	CR001	002	G	0,00	0	0	-282	0	-	-	0,04	0	0	-282	0	
L	CR001	002	G	0,00	0	0	-37	0	-	-	0,04	0	0	-37	0	
L	CR003	003	G	0,00	0	43	52	0	-	-	0,04	0	43	52	0	
L	CR003	004	G	0,00	0	43	52	0	-	-	0,04	0	43	52	0	
L	CR003	005	G	0,00	0	43	52	0	-	-	0,04	0	43	52	0	
L	CR003	006	G	0,00	0	-21	-25	0	-	-	0,04	0	-21	-25	0	
L	CR004	001	G	0,00	0	0	-110	0	-	-	0,01	0	0	-110	0	
C	CR003	003	G	1,05	4	0	0	0	0	0	-	-	-	-	-	
C	CR003	004	G	1,05	-4	0	0	0	0	0	-	-	-	-	-	
Piano Terra			Travata: Piano Terra					Trave: Trave Acciaio 42a-64a			Peso proprio			-103		
L	CR002	001	G	0,07	0	0	-82	0	-	-	0,00	0	0	-82	0	
L	CR001	002	G	0,07	0	0	-282	0	-	-	0,00	0	0	-282	0	
L	CR001	002	G	0,07	0	0	-37	0	-	-	0,00	0	0	-37	0	
L	CR002	001	G	0,07	0	0	-82	0	-	-	0,00	0	0	-82	0	
L	CR001	002	G	0,07	0	0	-282	0	-	-	0,00	0	0	-282	0	
L	CR001	002	G	0,07	0	0	-37	0	-	-	0,00	0	0	-37	0	
L	CR003	003	G	0,00	0	42	48	0	-	-	0,00	0	42	48	0	
L	CR003	004	G	0,00	0	42	48	0	-	-	0,00	0	42	48	0	
L	CR003	005	G	0,00	0	42	48	0	-	-	0,00	0	42	48	0	
L	CR003	006	G	0,00	0	-24	-28	0	-	-	0,00	0	-24	-28	0	
C	CR003	003	G	1,01	3	0	0	0	0	0	-	-	-	-	-	
C	CR003	004	G	1,01	-3	0	0	0	0	0	-	-	-	-	-	
Piano Terra			Travata: Piano Terra					Trave: Trave Acciaio 41a-42a			Peso proprio			-178		
L	CR001	002	G	0,08	0	0	-29	0	-	-	0,08	0	0	-29	0	
L	CR001	002	G	0,08	0	0	-29	0	-	-	0,08	0	0	-29	0	
Piano Terra			Travata: Piano Terra					Trave: Trave Acciaio 19a-42a			Peso proprio			-103		
L	CR002	001	G	0,01	0	0	-82	0	-	-	0,04	0	0	-82	0	
L	CR001	002	G	0,01	0	0	-282	0	-	-	0,04	0	0	-282	0	
L	CR001	002	G	0,00	0	0	-37	0	-	-	0,04	0	0	-37	0	
L	CR002	001	G	0,01	0	0	-82	0	-	-	0,04	0	0	-82	0	
L	CR001	002	G	0,01	0	0	-282	0	-	-	0,04	0	0	-282	0	
L	CR001	002	G	0,01	0	0	-37	0	-	-	0,04	0	0	-37	0	
L	CR003	003	G	0,01	0	43	52	0	-	-	0,04	0	43	52	0	
L	CR003	004	G	0,01	0	43	52	0	-	-	0,04	0	43	52	0	
L	CR003	005	G	0,01	0	43	52	0	-	-	0,04	0	43	52	0	
L	CR003	006	G	0,01	0	-21	-25	0	-	-	0,04	0	-21	-25	0	
L	CR004	001	G	0,01	0	0	-110	0	-	-	0,01	0	0	-110	0	
C	CR003	003	G	1,05	4	0	0	0	0	0	-	-	-	-	-	
C	CR003	004	G	1,05	-4	0	0	0	0	0	-	-	-	-	-	
Piano Terra			Travata: Piano Terra					Trave: Trave Acciaio 43a-65a			Peso proprio			-103		
L	CR002	001	G	0,08	0	0	-82	0	-	-	0,00	0	0	-82	0	
L	CR001	002	G	0,08	0	0	-282	0	-	-	0,00	0	0	-282	0	
L	CR001	002	G	0,08	0	0	-37	0	-	-	0,00	0	0	-37	0	
L	CR002	001	G	0,08	0	0	-82	0	-	-	0,00	0	0	-82	0	
L	CR001	002	G	0,08	0	0	-282	0	-	-	0,00	0	0	-282	0	
L	CR001	002	G	0,08	0	0	-37	0	-	-	0,00	0	0	-37	0	
L	CR003	003	G	0,00	0	42	48	0	-	-	0,00	0	42	48	0	
L	CR003	004	G	0,00	0	42	48	0	-	-	0,00	0	42	48	0	
L	CR003	005	G	0,00	0	42	48	0	-	-	0,00	0	42	48	0	
L	CR003	006	G	0,00	0	-24	-28	0	-	-	0,00	0	-24	-28	0	
L	CR004	001	G	0,00	0	0	-110	0	-	-	0,00	0	0	-110	0	
C	CR003	003	G	1,01	3	0	0	0	0	0	-	-	-	-	-	
C	CR003	004	G	1,01	-3	0	0	0	0	0	-	-	-	-	-	
Piano Terra			Travata: Piano Terra					Trave: Trave Acciaio 42a-43a			Peso proprio			-178		
L	CR001	002	G	0,08	0	0	-29	0	-	-	0,08	0	0	-29	0	
L	CR001	002	G	0,08	0	0	-29	0	-	-	0,08	0	0	-29	0	
Piano Terra			Travata: Piano Terra					Trave: Trave Acciaio 20a-43a			Peso proprio			-103		
L	CR002	001	G	0,01	0	0	-82	0	-	-	0,03	0	0	-82	0	
L	CR001	002	G	0,01	0	0	-282	0	-	-	0,03	0	0	-282	0	
L	CR001	002	G	0,00	0	0	-37	0	-	-	0,03	0	0	-37	0	
L	CR002	001	G	0,01	0	0	-82	0	-	-	0,03	0	0	-82	0	
L	CR001	002	G	0,01	0	0	-282	0	-	-	0,03	0	0	-282	0	
L	CR001	002	G	0,01	0	0	-37	0	-	-	0,03	0	0	-37	0	
L	CR003	003	G	0,01	0	43	52	0	-	-	0,04	0	43	52	0	
L	CR003	004	G	0,01	0	43	52	0	-	-	0,04	0	43	52	0	

														Carichi sulle travi			
TC	C	CC	SR	Dis _i	F _{x,i} /Q _{x,i}	F _{y,i} /Q _{y,i}	F _{z,i} /Q _{z,i}	M _{x,i} /M _{T,i}	M _{y,i}	M _{z,i}	Dis _f	Q _{x,f}	Q _{y,f}	Q _{z,f}	M _{T,f}		
				[m]	[N;N/m]	[N;N/m]	[N;N/m]	[N-m;N-m/m]	[N-m;N-m/m]	[N-m;N-m/m]	[m]	[N/m]	[N/m]	[N/m]	[N-m/m]		
L	CR003	005	G	0,01	0	43	52	0	-	-	0,04	0	43	52	0		
L	CR003	006	G	0,01	0	-21	-25	0	-	-	0,04	0	-21	-25	0		
L	CR004	001	G	0,01	0	0	-110	0	-	-	0,01	0	0	-110	0		
C	CR003	003	G	1,05	4	0	0	0	0	0	-	-	-	-	-		
C	CR003	004	G	1,05	-4	0	0	0	0	0	-	-	-	-	-		
Piano Terra			Travata: Piano Terra						Trave: Trave Acciaio 44a-66a			Peso proprio			-103		
L	CR002	001	G	0,08	0	0	-82	0	-	-	0,00	0	0	-82	0		
L	CR001	002	G	0,08	0	0	-282	0	-	-	0,00	0	0	-282	0		
L	CR001	002	G	0,08	0	0	-37	0	-	-	0,00	0	0	-37	0		
L	CR003	003	G	0,00	0	42	48	0	-	-	0,00	0	42	48	0		
L	CR003	004	G	0,00	0	42	48	0	-	-	0,00	0	42	48	0		
L	CR003	005	G	0,00	0	42	48	0	-	-	0,00	0	42	48	0		
L	CR003	006	G	0,00	0	-24	-28	0	-	-	0,00	0	-24	-28	0		
L	CR004	001	G	0,00	0	0	-110	0	-	-	0,01	0	0	-110	0		
C	CR003	003	G	1,02	3	0	0	0	0	0	-	-	-	-	-		
C	CR003	004	G	1,02	-3	0	0	0	0	0	-	-	-	-	-		
Piano Terra			Travata: Piano Terra						Trave: Trave Acciaio 43a-44a			Peso proprio			-178		
L	CR001	002	G	0,08	0	0	-29	0	-	-	0,08	0	0	-29	0		
L	CR001	002	G	0,08	0	0	-29	0	-	-	0,08	0	0	-29	0		
Piano Terra			Travata: Piano Terra						Trave: Trave Acciaio 21a-44a			Peso proprio			-103		
L	CR002	001	G	0,02	0	0	-82	0	-	-	0,03	0	0	-82	0		
L	CR001	002	G	0,02	0	0	-282	0	-	-	0,03	0	0	-282	0		
L	CR001	002	G	0,02	0	0	-37	0	-	-	0,03	0	0	-37	0		
L	CR002	001	G	0,00	0	0	-82	0	-	-	0,04	0	0	-82	0		
L	CR001	002	G	0,00	0	0	-282	0	-	-	0,04	0	0	-282	0		
L	CR001	002	G	0,00	0	0	-37	0	-	-	0,04	0	0	-37	0		
L	CR003	003	G	0,00	0	43	52	0	-	-	0,04	0	43	52	0		
L	CR003	004	G	0,00	0	43	52	0	-	-	0,04	0	43	52	0		
L	CR003	005	G	0,00	0	43	52	0	-	-	0,04	0	43	52	0		
L	CR003	006	G	0,00	0	-21	-25	0	-	-	0,04	0	-21	-25	0		
L	CR004	001	G	0,00	0	0	-110	0	-	-	0,01	0	0	-110	0		
C	CR003	003	G	1,05	4	0	0	0	0	0	-	-	-	-	-		
C	CR003	004	G	1,05	-4	0	0	0	0	0	-	-	-	-	-		
Piano Terra			Travata: Piano Terra						Trave: Trave Acciaio 21a-23a			Peso proprio			-11		
L	CR001	002	G	0,08	0	0	-7	0	-	-	0,00	0	0	-7	0		
Piano Terra			Travata: Piano Terra						Trave: Trave Acciaio 66a-68a			Peso proprio			-11		
Piano Terra			Travata: Piano Terra						Trave: Trave Acciaio 67a-46a			Peso proprio			-11		
L	CR001	002	G	0,08	0	0	-7	0	-	-	0,08	0	0	-7	0		
Piano Terra			Travata: Piano Terra						Trave: Trave Acciaio 46a-47a			Peso proprio			-11		
L	CR001	002	G	0,08	0	0	-7	0	-	-	0,08	0	0	-7	0		
Piano Terra			Travata: Piano Terra						Trave: Trave Acciaio 47a-48a			Peso proprio			-11		
L	CR001	002	G	0,08	0	0	-7	0	-	-	0,08	0	0	-7	0		
Piano Terra			Travata: Piano Terra						Trave: Trave Acciaio 48a-49a			Peso proprio			-11		
L	CR001	002	G	0,08	0	0	-7	0	-	-	0,08	0	0	-7	0		
Piano Terra			Travata: Piano Terra						Trave: Trave Acciaio 49a-50a			Peso proprio			-11		
L	CR001	002	G	0,08	0	0	-7	0	-	-	0,08	0	0	-7	0		
Piano Terra			Travata: Piano Terra						Trave: Trave Acciaio 50a-51a			Peso proprio			-11		
L	CR001	002	G	0,08	0	0	-7	0	-	-	0,08	0	0	-7	0		
Piano Terra			Travata: Piano Terra						Trave: Trave Acciaio 51a-52a			Peso proprio			-11		
L	CR001	002	G	0,08	0	0	-7	0	-	-	0,08	0	0	-7	0		
Piano Terra			Travata: Piano Terra						Trave: Trave Acciaio 52a-53a			Peso proprio			-11		
L	CR001	002	G	0,08	0	0	-7	0	-	-	0,08	0	0	-7	0		
Piano Terra			Travata: Piano Terra						Trave: Trave Acciaio 53a-54a			Peso proprio			-11		
L	CR001	002	G	0,08	0	0	-7	0	-	-	0,08	0	0	-7	0		
Piano Terra			Travata: Piano Terra						Trave: Trave Acciaio 54a-55a			Peso proprio			-11		
L	CR001	002	G	0,08	0	0	-7	0	-	-	0,08	0	0	-7	0		
Piano Terra			Travata: Piano Terra						Trave: Trave Acciaio 55a-56a			Peso proprio			-11		
L	CR001	002	G	0,08	0	0	0	0	-	-	0,08	0	0	-1	0		
L	CR001	002	G	0,08	0	0	-7	0	-	-	0,08	0	0	-7	0		
Piano Terra			Travata: Piano Terra						Trave: Trave Acciaio 56a-57a			Peso proprio			-11		
L	CR001	002	G	0,08	0	0	-1	0	-	-	0,08	0	0	0	0		
L	CR001	002	G	0,08	0	0	-7	0	-	-	0,08	0	0	-7	0		

													Carichi sulle travi			
TC	C	CC	SR	Dis _i [m]	F _{X,i} /Q _{X,i} [N;N/m]	F _{Y,i} /Q _{Y,i} [N;N/m]	F _{Z,i} /Q _{Z,i} [N;N/m]	M _{X,i} /M _{T,i} [N-m;N-m/m]	M _{Y,i} [N-m;N-m/m]	M _{Z,i} [N-m;N-m/m]	Dis _f [m]	Q _{X,f} [N/m]	Q _{Y,f} [N/m]	Q _{Z,f} [N/m]	M _{T,f} [N-m/m]	
Piano Terra			Travata: Piano Terra					Trave: Trave Acciaio 57a-58a			Peso proprio			-11		
L	CR001	002	G	0,08	0	0	-7	0	-	-	0,08	0	0	-7	0	
Piano Terra			Travata: Piano Terra					Trave: Trave Acciaio 58a-59a			Peso proprio			-11		
L	CR001	002	G	0,08	0	0	-7	0	-	-	0,08	0	0	-7	0	
Piano Terra			Travata: Piano Terra					Trave: Trave Acciaio 59a-60a			Peso proprio			-11		
L	CR001	002	G	0,08	0	0	-7	0	-	-	0,08	0	0	-7	0	
Piano Terra			Travata: Piano Terra					Trave: Trave Acciaio 60a-61a			Peso proprio			-11		
L	CR001	002	G	0,08	0	0	-7	0	-	-	0,08	0	0	-7	0	
Piano Terra			Travata: Piano Terra					Trave: Trave Acciaio 61a-62a			Peso proprio			-11		
L	CR001	002	G	0,08	0	0	-7	0	-	-	0,08	0	0	-7	0	
Piano Terra			Travata: Piano Terra					Trave: Trave Acciaio 62a-63a			Peso proprio			-11		
L	CR001	002	G	0,08	0	0	-7	0	-	-	0,08	0	0	-7	0	
Piano Terra			Travata: Piano Terra					Trave: Trave Acciaio 63a-64a			Peso proprio			-11		
L	CR001	002	G	0,08	0	0	-7	0	-	-	0,08	0	0	-7	0	
Piano Terra			Travata: Piano Terra					Trave: Trave Acciaio 64a-65a			Peso proprio			-11		
L	CR001	002	G	0,08	0	0	-7	0	-	-	0,08	0	0	-7	0	
Piano Terra			Travata: Piano Terra					Trave: Trave Acciaio 65a-66a			Peso proprio			-11		
L	CR001	002	G	0,08	0	0	-7	0	-	-	0,08	0	0	-7	0	
Piano Terra			Travata: Piano Terra					Trave: Trave Acciaio 22a-1a			Peso proprio			-11		
L	CR001	002	G	0,08	0	0	-7	0	-	-	0,00	0	0	-7	0	
Piano Terra			Travata: Piano Terra					Trave: Trave Acciaio 1a-2a			Peso proprio			-11		
L	CR001	002	G	0,08	0	0	-7	0	-	-	0,00	0	0	-7	0	
Piano Terra			Travata: Piano Terra					Trave: Trave Acciaio 2a-3a			Peso proprio			-11		
L	CR001	002	G	0,08	0	0	-7	0	-	-	0,00	0	0	-7	0	
Piano Terra			Travata: Piano Terra					Trave: Trave Acciaio 3a-4a			Peso proprio			-11		
L	CR001	002	G	0,08	0	0	-7	0	-	-	0,00	0	0	-7	0	
Piano Terra			Travata: Piano Terra					Trave: Trave Acciaio 4a-5a			Peso proprio			-11		
L	CR001	002	G	0,08	0	0	-7	0	-	-	0,00	0	0	-7	0	
Piano Terra			Travata: Piano Terra					Trave: Trave Acciaio 5a-6a			Peso proprio			-11		
L	CR001	002	G	0,08	0	0	-7	0	-	-	0,00	0	0	-7	0	
Piano Terra			Travata: Piano Terra					Trave: Trave Acciaio 6a-7a			Peso proprio			-11		
L	CR001	002	G	0,08	0	0	-7	0	-	-	0,00	0	0	-7	0	
Piano Terra			Travata: Piano Terra					Trave: Trave Acciaio 7a-8a			Peso proprio			-11		
L	CR001	002	G	0,08	0	0	-7	0	-	-	0,00	0	0	-7	0	
Piano Terra			Travata: Piano Terra					Trave: Trave Acciaio 8a-9a			Peso proprio			-11		
L	CR001	002	G	0,08	0	0	-7	0	-	-	0,00	0	0	-7	0	
Piano Terra			Travata: Piano Terra					Trave: Trave Acciaio 9a-10a			Peso proprio			-11		
L	CR001	002	G	0,08	0	0	-7	0	-	-	0,00	0	0	-7	0	
Piano Terra			Travata: Piano Terra					Trave: Trave Acciaio 10a-11a			Peso proprio			-11		
L	CR001	002	G	0,08	0	0	-1	0	-	-	0,08	0	0	0	0	
L	CR001	002	G	0,08	0	0	-7	0	-	-	0,08	0	0	-7	0	
Piano Terra			Travata: Piano Terra					Trave: Trave Acciaio 11a-12a			Peso proprio			-11		
L	CR001	002	G	0,08	0	0	0	0	-	-	0,00	0	0	-1	0	
L	CR001	002	G	0,08	0	0	-7	0	-	-	0,00	0	0	-7	0	
Piano Terra			Travata: Piano Terra					Trave: Trave Acciaio 12a-13a			Peso proprio			-11		
L	CR001	002	G	0,08	0	0	-7	0	-	-	0,00	0	0	-7	0	
Piano Terra			Travata: Piano Terra					Trave: Trave Acciaio 13a-14a			Peso proprio			-11		
Piano Terra			Travata: Piano Terra					Trave: Trave Acciaio 14a-15a			Peso proprio			-11		
Piano Terra			Travata: Piano Terra					Trave: Trave Acciaio 15a-16a			Peso proprio			-11		
L	CR001	002	G	0,08	0	0	-7	0	-	-	0,00	0	0	-7	0	
Piano Terra			Travata: Piano Terra					Trave: Trave Acciaio 16a-17a			Peso proprio			-11		
L	CR001	002	G	0,08	0	0	-7	0	-	-	0,00	0	0	-7	0	
Piano Terra			Travata: Piano Terra					Trave: Trave Acciaio 17a-18a			Peso proprio			-11		
L	CR001	002	G	0,08	0	0	-7	0	-	-	0,00	0	0	-7	0	
Piano Terra			Travata: Piano Terra					Trave: Trave Acciaio 18a-19a			Peso proprio			-11		
L	CR001	002	G	0,08	0	0	-7	0	-	-	0,00	0	0	-7	0	
Piano Terra			Travata: Piano Terra					Trave: Trave Acciaio 19a-20a			Peso proprio			-11		
L	CR001	002	G	0,08	0	0	-7	0	-	-	0,00	0	0	-7	0	

TC	C	CC	SR	Dis _i	F _{x,i} /Q _{x,i}	F _{y,i} /Q _{y,i}	F _{z,i} /Q _{z,i}	M _{x,i} /M _{T,i}	M _{y,i}	M _{z,i}	Dis _f	Q _{x,f}	Q _{y,f}	Carichi sulle travi	
														Q _{z,f}	M _{T,f}
				[m]	[N;N/m]	[N;N/m]	[N;N/m]	[N-m;N-m/m]	[N-m;N-m/m]	[N-m;N-m/m]	[m]	[N/m]	[N/m]	[N/m]	[N-m/m]
Piano Terra			Travata: Piano Terra					Trave: Trave Acciaio 20a-21a		Peso proprio			-11		
L	CR001	002	G	0,08	0	0	-7	0	-	-	0,00	0	0	-7	0
Piano Terra			Travata: Piano Terra					Trave: Trave Acciaio 24a-1		Peso proprio			-178		
L	CR001	002	G	0,08	0	0	-29	0	-	-	0,00	0	0	-29	0
L	CR001	002	G	0,08	0	0	-29	0	-	-	0,00	0	0	-29	0
Piano Terra			Travata: Piano Terra					Trave: Trave Acciaio 29a-2		Peso proprio			-178		
L	CR001	002	G	0,08	0	0	-29	0	-	-	0,00	0	0	-29	0
L	CR001	002	G	0,08	0	0	-29	0	-	-	0,00	0	0	-29	0
Piano Terra			Travata: Piano Terra					Trave: Trave Acciaio 44a-5		Peso proprio			-178		
L	CR001	002	G	0,08	0	0	-29	0	-	-	0,00	0	0	-29	0

LEGENDA:

- TC** Descrizione del tipo di carico: [L] = Lineare - [C] = Concentrato - [S] = Superficiale - [T] = Termico.
C Descrizione del carico:
 CR001= SOLAIO: CARICO PANNELLO FTV (carico neve) CR002= SOLAIO: CARICO PANNELLO FTV CR003= Azione del Vento (Trave Acciaio) CR004= Forza lineare
CC Identificativo della tipologia di carico nella relativa tabella.
SR Identificativo del sistema di riferimento considerato: [G] = Sistema di riferimento Globale X, Y, Z - [L] = Sistema di riferimento Locale 1, 2, 3.
Dis_i Distanza del punto "i" dall'estremo iniziale dell'elemento. Il punto "i" indica il punto iniziale del tratto interessato dal carico distribuito sul bordo.
M_{x,i}/M_{T,i} Se nella colonna "TC" è riportato "Concentrato", è il valore del vettore momento concentrato collocato nel punto "i", riferito agli assi del sistema di riferimento indicato nella colonna "S.R.". Se nella colonna "TC" è riportato "Lineare", è il valore nel punto "i", del vettore momento (torcente) distribuito sempre riferito all'asse 1 (asse dell'elemento) del sistema di riferimento locale 1, 2, 3, quale che sia il sistema di riferimento indicato nella colonna "S.R".
Dis_f Distanza del punto "f" dall'estremo inferiore dell'elemento. Il punto "f" indica il punto finale del tratto interessato dal carico distribuito.
M_{T,f} Se nella colonna "TC" è riportato "Lineare", è il valore nel punto "f", del vettore momento (torcente) distribuito sempre riferito all'asse 1 (asse dell'elemento) del sistema di riferimento locale 1, 2, 3, quale che sia il sistema di riferimento indicato nella colonna "S.R".
F_{x,i}/Q_{x,i} Valore (nel punto "i") della forza concentrata/distribuita riferita agli assi del sistema di riferimento indicato nella colonna "S.R".
F_{y,i}/Q_{y,i}
F_{z,i}/Q_{z,i}
M_{y,i}, M_{z,i} Valore (nel punto "i") del vettore momento concentrato riferito agli assi del sistema di riferimento indicato nella colonna "S.R".
Q_{x,f}, Q_{y,f} Valore (nel punto "f") della forza distribuita riferita agli assi del sistema di riferimento indicato nella colonna "S.R".
Q_{z,f}
ΔT₁, ΔT₂, ΔT₃ Variazione di temperatura rispettivamente lungo gli assi 1, 2 o 3 del sistema locale.

CARICHI SUI PILASTRI

TC	C	CC	SR	Dis _i	F _{x,i} /Q _{x,i}	F _{y,i} /Q _{y,i}	F _{z,i} /Q _{z,i}	M _{x,i} /M _{T,i}	M _{y,i}	M _{z,i}	Dis _f	Q _{x,f}	Q _{y,f}	Carichi sui pilastri	
														Q _{z,f}	M _{T,f}
				[m]	[N;N/m]	[N;N/m]	[N;N/m]	[N-m;N-m/m]	[N-m;N-m/m]	[N-m;N-m/m]	[m]	[N/m]	[N/m]	[N/m]	[N-m/m]
Piano Terra			Pilastro 001							Peso proprio			-307		
Piano Terra			Pilastro 002							Peso proprio			-307		
Piano Terra			Pilastro 003							Peso proprio			-307		
Piano Terra			Pilastro 005							Peso proprio			-307		
Piano Terra			Pilastro 004							Peso proprio			-307		

LEGENDA:

- TC** Descrizione del tipo di carico: [L] = Lineare - [C] = Concentrato - [S] = Superficiale - [T] = Termico.
C Descrizione del carico:
CC Identificativo della tipologia di carico nella relativa tabella.
SR Identificativo del sistema di riferimento considerato: [G] = Sistema di riferimento Globale X, Y, Z - [L] = Sistema di riferimento Locale 1, 2, 3.
Dis_i Distanza del punto "i" dall'estremo inferiore dell'elemento. Il punto "i", in relazione alla descrizione riportata nella colonna "TC" ("Lineare" o "Concentrato"), indica rispettivamente il punto iniziale del tratto interessato dal carico distribuito o in cui è posizionato il carico concentrato.
M_{x,i}/M_{T,i} Se nella colonna "TC" è riportato "Concentrato", è il valore del vettore momento concentrato collocato nel punto "i", riferito agli assi del sistema di riferimento indicato nella colonna "S.R.". Se nella colonna "TC" è riportato "Lineare", è il valore nel punto "i", del vettore momento (torcente) distribuito sempre riferito all'asse 1 (asse dell'elemento) del sistema di riferimento locale 1, 2, 3, quale che sia il sistema di riferimento indicato nella colonna "S.R".
Dis_f Distanza del punto "f" dall'estremo inferiore dell'elemento. Il punto "f" indica il punto finale del tratto interessato dal carico distribuito.
M_{T,f} Se nella colonna "TC" è riportato "Lineare", è il valore nel punto "f", del vettore momento (torcente) distribuito sempre riferito all'asse 1 (asse dell'elemento) del sistema di riferimento locale 1, 2, 3, quale che sia il sistema di riferimento indicato nella colonna "S.R".
F_{x,i}/Q_{x,i} Valore (nel punto "i") della forza concentrata/distribuita riferita agli assi del sistema di riferimento indicato nella colonna "S.R".
F_{y,i}/Q_{y,i}
F_{z,i}/Q_{z,i}
M_{y,i}, M_{z,i} Valore (nel punto "i") del vettore momento concentrato riferito agli assi del sistema di riferimento indicato nella colonna "S.R".
Q_{x,f}, Q_{y,f} Valore (nel punto "f") della forza distribuita riferita agli assi del sistema di riferimento indicato nella colonna "S.R".
Q_{z,f}
ΔT₁, ΔT₂, ΔT₃ Variazione di temperatura rispettivamente lungo gli assi 1, 2 o 3 del sistema locale.

NODI - SPOSTAMENTI PER CONDIZIONI DI CARICO NON SISMICHE

Nodi - Spostamenti per condizioni di carico non sismiche							
Nodo	CC	S _x [cm]	S _y [cm]	S _z [cm]	Θ _x [rad]	Θ _y [rad]	Θ _z [rad]
00001	001	-0,0021	0,0003	-0,0152	-2,1838 E-05	-3,4995 E-05	-2,6661 E-07
	002	-0,0032	0,0005	-0,0047	-3,2965 E-05	-5,3822 E-05	-4,0195 E-07
	003	0,0004	0,0012	0,0004	-6,5465 E-05	7,5427 E-06	7,8071 E-08
	004	0,0003	0,0012	0,0004	-6,5476 E-05	4,0796 E-06	8,2073 E-08
	005	0,0003	0,0012	0,0004	-6,5471 E-05	5,8112 E-06	8,0072 E-08
	006	-0,0002	-0,0007	-0,0002	3,3493 E-05	-3,0867 E-06	-4,2483 E-08
00002	001	0,0004	-0,0003	-0,0179	5,762 E-06	6,4029 E-06	5,1877 E-08
	002	0,0005	-0,0005	-0,0091	9,1013 E-06	8,231 E-06	7,0379 E-08
	003	0,0000	0,0019	0,0007	-1,0149 E-04	7,0376 E-07	-9,9748 E-09
	004	-0,0001	0,0019	0,0007	-1,0159 E-04	-3,211 E-06	-9,7629 E-09
	005	-0,0001	0,0019	0,0007	-1,0154 E-04	-1,2536 E-06	-9,8689 E-09
	006	0,0000	-0,0010	-0,0004	5,2298 E-05	6,6143 E-07	5,2784 E-09
00003	001	0,0001	0,0000	-0,0173	-1,8489 E-05	2,1906 E-06	6,0036 E-09
	002	0,0006	0,0002	-0,0076	-4,7021 E-05	1,0511 E-05	6,8918 E-08
	003	0,0001	0,0019	0,0007	-9,9596 E-05	2,1633 E-06	2,6749 E-09
	004	-0,0001	0,0019	0,0007	-9,962 E-05	-1,6445 E-06	4,9493 E-09
	005	0,0000	0,0019	0,0007	-9,9608 E-05	2,5942 E-07	3,8121 E-09
	006	0,0000	-0,0010	-0,0003	5,1193 E-05	-1,3636 E-07	-2,0199 E-09
00004	001	0,0020	0,0003	-0,0149	-1,0638 E-05	3,504 E-05	2,5405 E-07
	002	0,0034	0,0006	-0,0040	-5,7869 E-06	5,7967 E-05	4,196 E-07
	003	-0,0003	0,0012	0,0004	-6,5402 E-05	-4,2026 E-06	-8,1485 E-08
	004	-0,0004	0,0012	0,0004	-6,5388 E-05	-7,6675 E-06	-7,7497 E-08
	005	-0,0003	0,0012	0,0004	-6,5395 E-05	-5,935 E-06	-7,9491 E-08
	006	0,0002	-0,0007	-0,0002	3,3437 E-05	3,1526 E-06	4,2122 E-08
00005	001	-0,0005	-0,0003	-0,0175	-9,6874 E-07	-7,6306 E-06	-6,9051 E-08
	002	-0,0013	-0,0006	-0,0079	-1,9917 E-05	-2,203 E-05	-1,7878 E-07
	003	0,0001	0,0019	0,0007	-1,0181 E-04	2,9009 E-06	8,0938 E-09
	004	0,0000	0,0019	0,0007	-1,0168 E-04	-1,0067 E-06	8,3461 E-09
	005	0,0001	0,0019	0,0007	-1,0174 E-04	9,4709 E-07	8,2199 E-09
	006	0,0000	-0,0010	-0,0004	5,2376 E-05	-4,969 E-07	-4,4181 E-09
00006	001	0,0336	0,1768	0,1524	-3,8012 E-04	2,7983 E-03	-2,2701 E-03
	002	0,0481	0,2663	0,2563	-4,5734 E-04	4,3503 E-03	-3,4561 E-03
	003	0,0132	0,0736	-0,0297	-5,0502 E-04	-4,7845 E-04	5,6819 E-04
	004	-0,0270	0,0714	-0,0344	-5,0513 E-04	-5,5282 E-04	6,0977 E-04
	005	-0,0069	0,0725	-0,0320	-5,0508 E-04	-5,1563 E-04	5,8898 E-04
	006	0,0037	-0,0353	0,0167	2,0945 E-04	2,7377 E-04	-3,1237 E-04
00007	001	-0,0221	0,1428	0,1511	2,0152 E-04	-2,728 E-03	2,1669 E-03
	002	-0,0417	0,2031	0,2877	1,5181 E-03	-4,7034 E-03	3,6283 E-03
	003	0,0252	0,0715	-0,0340	-5,0429 E-04	5,4638 E-04	-6,0471 E-04
	004	-0,0151	0,0738	-0,0293	-5,0416 E-04	4,7213 E-04	-5,6325 E-04
	005	0,0051	0,0726	-0,0317	-5,0423 E-04	5,0925 E-04	-5,8398 E-04
	006	-0,0027	-0,0354	0,0165	2,0917 E-04	-2,7003 E-04	3,0931 E-04
00008	001	0,0053	0,0403	-0,0210	-2,3013 E-04	-1,3498 E-04	5,0616 E-05
	002	0,0045	0,0995	-0,0125	-5,5651 E-04	-8,4668 E-04	5,8104 E-04
	003	0,0189	0,1633	0,0011	-7,0363 E-04	-4,9391 E-06	2,2551 E-05
	004	-0,0207	0,1633	0,0011	-7,038 E-04	-5,6153 E-05	4,1727 E-05
	005	-0,0009	0,1633	0,0011	-7,0371 E-04	-3,0546 E-05	3,2139 E-05
	006	0,0005	-0,0827	-0,0006	3,4964 E-04	1,6263 E-05	-1,703 E-05
00009	001	0,0042	0,0118	-0,0213	-1,0835 E-04	6,8441 E-04	-5,8216 E-04
	002	0,0029	0,0633	-0,0129	-4,4676 E-04	1,89 E-03	-1,5073 E-03
	003	0,0191	0,1666	0,0012	-7,1677 E-04	-6,5538 E-05	6,8237 E-05
	004	-0,0206	0,1664	0,0012	-7,1588 E-04	-1,0829 E-04	7,0364 E-05
	005	-0,0007	0,1665	0,0012	-7,1632 E-04	-8,6914 E-05	6,9301 E-05
	006	0,0004	-0,0845	-0,0006	3,5677 E-04	4,5802 E-05	-3,7248 E-05
00010	001	0,0190	0,1662	0,1371	2,4153 E-04	2,7033 E-03	-2,4208 E-03
	002	0,0254	0,2611	0,2473	2,144 E-04	4,1617 E-03	-3,7661 E-03
	003	0,0231	0,1594	0,0737	-6,915 E-04	-5,6214 E-04	4,7758 E-04
	004	-0,0187	0,1572	0,0691	-6,9182 E-04	-6,2921 E-04	5,3172 E-04
	005	0,0022	0,1583	0,0714	-6,9166 E-04	-5,9568 E-04	5,0465 E-04
	006	-0,0011	-0,0721	-0,0277	2,9844 E-04	3,0819 E-04	-2,6109 E-04
00011	001	-0,0032	0,0654	0,0265	-9,6929 E-04	2,8959 E-03	-2,2496 E-03
	002	-0,0088	0,1408	0,1145	-1,0819 E-03	4,4369 E-03	-3,4817 E-03
	003	0,0146	0,0225	-0,0888	-3,4341 E-04	-6,0357 E-04	4,4309 E-04
	004	-0,0257	0,0203	-0,0935	-3,434 E-04	-6,6011 E-04	5,0266 E-04
	005	-0,0055	0,0214	-0,0911	-3,4341 E-04	-6,3184 E-04	4,7287 E-04
	006	0,0029	-0,0170	0,0381	1,1494 E-04	3,3786 E-04	-2,5283 E-04
00012	001	-0,0143	0,0534	0,0415	8,3668 E-04	-2,6661 E-03	2,3471 E-03
	002	-0,0286	-0,0655	-0,0369	2,1886 E-03	-4,4571 E-03	3,984 E-03
	003	0,0169	0,1572	0,0694	-6,9088 E-04	6,2291 E-04	-5,2587 E-04
	004	-0,0249	0,1594	0,0740	-6,9054 E-04	5,5596 E-04	-4,7186 E-04
	005	-0,0040	0,1583	0,0717	-6,9071 E-04	5,8944 E-04	-4,9886 E-04
	006	0,0021	-0,0721	-0,0278	2,9819 E-04	-3,047 E-04	2,5787 E-04
00013	001	0,0197	0,1256	0,1329	-2,2952 E-04	-2,8067 E-03	2,1444 E-03
	002	0,0293	0,4051	0,5191	1,4993 E-03	-4,7463 E-03	3,6809 E-03

Nodi - Spostamenti per condizioni di carico non sismiche

Nodo	CC	S _x [cm]	S _y [cm]	S _z [cm]	Θ _x [rad]	Θ _y [rad]	Θ _z [rad]
	003	0,0240	0,0206	-0,0929	-3,4253 E-04	6,5367 E-04	-4,9773 E-04
	004	-0,0164	0,0228	-0,0883	-3,4252 E-04	5,9724 E-04	-4,383 E-04
	005	0,0038	0,0217	-0,0906	-3,4253 E-04	6,2546 E-04	-4,6801 E-04
	006	-0,0019	-0,0171	0,0378	-1,1467 E-04	-3,3396 E-04	2,4988 E-04
00014	001	0,0397	-0,1207	-0,2947	-6,6592 E-04	4,0461 E-03	-2,2594 E-03
	002	0,0557	-0,1812	-0,4239	-9,9662 E-04	6,0205 E-03	-3,3694 E-03
	003	0,0117	0,1613	0,0399	-5,8325 E-04	-6,5075 E-04	6,9753 E-04
	004	-0,0283	0,1635	0,0442	-5,8347 E-04	-6,9011 E-04	7,2173 E-04
	005	-0,0083	0,1624	0,0421	-5,8336 E-04	-6,7043 E-04	7,0963 E-04
	006	0,0044	-0,0827	-0,0230	1,9358 E-04	3,563 E-04	-3,7649 E-04
00015	001	0,0285	-0,3561	-0,8003	-1,1021 E-03	2,7912 E-03	-1,3611 E-03
	002	0,0385	-0,5294	-1,1694	-1,6688 E-03	4,0785 E-03	-1,9899 E-03
	003	0,0138	0,2448	0,1183	-7,1017 E-04	-4,6152 E-04	4,7452 E-04
	004	-0,0258	0,2486	0,1244	-7,1069 E-04	-4,5604 E-04	4,7575 E-04
	005	-0,0060	0,2467	0,1213	-7,1043 E-04	-4,5878 E-04	4,7514 E-04
	006	0,0032	-0,1270	-0,0656	1,6745 E-04	2,4355 E-04	-2,5132 E-04
00016	001	0,0044	-0,4265	-0,9798	-1,2448 E-03	-3,0046 E-04	2,4797 E-04
	002	0,0028	-0,6293	-1,4276	-1,9241 E-03	-4,9486 E-04	3,986 E-04
	003	0,0187	0,2801	0,1470	-7,8173 E-04	3,9473 E-05	2,7943 E-05
	004	-0,0208	0,2832	0,1506	-7,8224 E-04	6,5023 E-05	1,5583 E-05
	005	-0,0010	0,2817	0,1488	-7,8198 E-04	5,2248 E-05	2,1763 E-05
	006	0,0006	-0,1452	-0,0803	1,7418 E-04	-2,8153 E-05	-9,8327 E-06
00017	001	-0,0165	-0,3041	-0,7335	-1,1046 E-03	-3,0621 E-03	1,5598 E-03
	002	-0,0278	-0,4454	-1,0592	-1,7215 E-03	-4,5359 E-03	2,3164 E-03
	003	0,0230	0,2559	0,1087	-8,0672 E-04	4,9066 E-04	-3,6637 E-04
	004	-0,0164	0,2572	0,1086	-8,0721 E-04	5,1444 E-04	-3,7956 E-04
	005	0,0033	0,2565	0,1086	-8,0696 E-04	5,0255 E-04	-3,7297 E-04
	006	-0,0017	-0,1317	-0,0588	2,1077 E-04	-2,6719 E-04	2,0001 E-04
00018	001	-0,0181	-0,0967	-0,2479	-6,7022 E-04	-3,3413 E-03	1,5489 E-03
	002	-0,0297	-0,1398	-0,3435	-1,0449 E-03	-4,8954 E-03	2,2639 E-03
	003	0,0236	0,1980	0,0333	-7,8527 E-04	5,3877 E-04	-4,215 E-04
	004	-0,0160	0,1983	0,0313	-7,8598 E-04	5,3685 E-04	-4,2518 E-04
	005	0,0038	0,1981	0,0323	-7,8562 E-04	5,3781 E-04	-4,2334 E-04
	006	-0,0020	-0,1008	-0,0179	2,7703 E-04	-2,8557 E-04	2,2628 E-04
00019	001	0,0111	0,0065	-0,0361	-3,6828 E-04	9,2993 E-04	-7,2233 E-06
	002	0,0139	0,0066	-0,0388	-5,3061 E-04	1,4702 E-03	-7,5481 E-05
	003	0,0179	0,1704	-0,0028	-7,699 E-04	-9,0243 E-05	8,6148 E-05
	004	-0,0219	0,1706	-0,0016	-7,7061 E-04	-1,1571 E-04	8,9882 E-05
	005	-0,0020	0,1705	-0,0022	-7,7025 E-04	-1,0298 E-04	8,8015 E-05
	006	0,0011	-0,0863	0,0007	3,2223 E-04	5,5577 E-05	-4,7179 E-05
00020	001	0,0236	-0,0487	-0,3415	-9,75 E-04	2,5793 E-03	-8,632 E-04
	002	0,0328	-0,0855	-0,5080	-1,4038 E-03	3,9709 E-03	-1,3659 E-03
	003	0,0153	0,2039	0,0354	-8,6498 E-04	-3,7125 E-04	3,1339 E-04
	004	-0,0243	0,2041	0,0375	-8,658 E-04	-3,6366 E-04	3,0883 E-04
	005	-0,0045	0,2040	0,0364	-8,6539 E-04	-3,6746 E-04	3,1111 E-04
	006	0,0024	-0,1037	-0,0206	2,6038 E-04	1,9615 E-04	-1,663 E-04
00021	001	0,0132	-0,1310	-0,6159	-1,2702 E-03	1,0314 E-03	-3,9219 E-04
	002	0,0172	-0,2175	-0,9358	-1,8404 E-03	1,6782 E-03	-6,4532 E-04
	003	0,0174	0,2363	0,0743	-9,0356 E-04	-1,573 E-04	1,2651 E-04
	004	-0,0221	0,2356	0,0742	-9,0413 E-04	-1,3776 E-04	1,1699 E-04
	005	-0,0024	0,2359	0,0742	-9,0384 E-04	-1,4753 E-04	1,2175 E-04
	006	0,0013	-0,1205	-0,0410	2,3044 E-04	7,8578 E-05	-6,4815 E-05
00022	001	-0,0042	-0,1193	-0,5889	-1,2526 E-03	-1,3972 E-03	5,715 E-04
	002	-0,0095	-0,2023	-0,9117	-1,8516 E-03	-2,0164 E-03	8,8006 E-04
	003	0,0208	0,2320	0,0711	-8,8917 E-04	2,0412 E-04	-1,8236 E-04
	004	-0,0187	0,2303	0,0685	-8,8938 E-04	2,1897 E-04	-1,8827 E-04
	005	0,0010	0,2312	0,0698	-8,8928 E-04	2,1155 E-04	-1,8531 E-04
	006	-0,0005	-0,1179	-0,0385	2,3532 E-04	-1,1307 E-04	9,9492 E-05
00023	001	-0,0124	-0,0208	-0,2826	-9,1885 E-04	-2,6096 E-03	9,3663 E-04
	002	-0,0239	-0,0389	-0,4523	-1,434 E-03	-4,0546 E-03	1,6139 E-03
	003	0,0224	0,1945	0,0292	-8,2169 E-04	3,6821 E-04	-3,1756 E-04
	004	-0,0174	0,1928	0,0257	-8,2169 E-04	3,6138 E-04	-3,1167 E-04
	005	0,0025	0,1936	0,0275	-8,2169 E-04	3,6479 E-04	-3,1462 E-04
	006	-0,0013	-0,0982	-0,0155	2,75 E-04	-1,9476 E-04	1,6866 E-04
00024	001	0,0217	-0,0051	-0,2502	-1,9084 E-03	2,3991 E-03	-8,7316 E-04
	002	0,0185	0,1279	-0,2243	-5,4832 E-03	2,277 E-03	-5,7026 E-04
	003	0,0148	0,2016	0,0349	-8,1458 E-04	-4,3811 E-04	3,806 E-04
	004	-0,0250	0,2036	0,0389	-8,1483 E-04	-4,5179 E-04	3,9077 E-04
	005	-0,0051	0,2026	0,0369	-8,147 E-04	-4,4495 E-04	3,8568 E-04
	006	0,0027	-0,1030	-0,0205	2,803 E-04	2,3737 E-04	-2,064 E-04
00025	001	0,0104	-0,0720	-0,5462	-4,1898 E-03	8,1283 E-04	-2,9183 E-04
	002	0,0071	0,1197	-0,5263	-1,3101 E-02	5,3503 E-04	-1,1205 E-04
	003	0,0175	0,2448	0,0837	-9,1476 E-04	-1,6045 E-04	1,3783 E-04
	004	-0,0220	0,2469	0,0866	-9,1465 E-04	-1,4057 E-04	1,2793 E-04
	005	-0,0023	0,2458	0,0851	-9,1471 E-04	-1,5051 E-04	1,3288 E-04
	006	0,0012	-0,1256	-0,0469	2,1777 E-04	8,0369 E-05	-7,1281 E-05
00026	001	-0,0028	-0,0618	-0,5343	-4,5073 E-03	-1,0449 E-03	4,1982 E-04
	002	-0,0049	0,1502	-0,4842	-1,4422 E-02	-1,2183 E-03	4,5973 E-04

Nodi - Spostamenti per condizioni di carico non sismiche

Nodo	CC	S _x [cm]	S _y [cm]	S _z [cm]	Θ _x [rad]	Θ _y [rad]	Θ _z [rad]
	003	0,0208	0,2440	0,0826	-9,2315 E-04	1,8285 E-04	-1,5631 E-04
	004	-0,0187	0,2448	0,0825	-9,2262 E-04	2,0379 E-04	-1,6749 E-04
	005	0,0010	0,2444	0,0826	-9,2289 E-04	1,9332 E-04	-1,619 E-04
	006	-0,0005	-0,1248	-0,0455	2,1853 E-04	-1,0305 E-04	8,6461 E-05
00027	001	-0,0101	0,0061	-0,2856	-3,2262 E-03	-2,1858 E-03	6,9286 E-04
	002	-0,0090	0,1901	-0,2182	-1,0236 E-02	-2,0117 E-03	4,2755 E-04
	003	0,0228	0,2081	0,0408	-8,7749 E-04	3,9429 E-04	-3,3657 E-04
	004	-0,0168	0,2077	0,0386	-8,7662 E-04	4,0137 E-04	-3,413 E-04
	005	0,0030	0,2079	0,0397	-8,7705 E-04	3,9783 E-04	-3,3894 E-04
	006	-0,0016	-0,1056	-0,0224	2,537 E-04	-2,1229 E-04	1,8127 E-04
00028	001	0,0021	0,0302	-0,0286	-9,6614 E-04	-6,0167 E-04	-1,7084 E-04
	002	0,0091	0,1227	0,0057	-3,0014 E-03	2,503 E-04	-9,3724 E-04
	003	0,0203	0,1716	-0,0012	-7,75 E-04	1,3029 E-04	-1,0626 E-04
	004	-0,0195	0,1713	-0,0024	-7,7417 E-04	1,0399 E-04	-1,0218 E-04
	005	0,0004	0,1714	-0,0018	-7,7458 E-04	1,1714 E-04	-1,0422 E-04
	006	-0,0002	-0,0867	0,0005	3,2078 E-04	-6,2962 E-05	5,5745 E-05
00029	001	0,0289	-0,0933	-0,2529	-3,5081 E-04	3,3169 E-03	-1,6093 E-03
	002	-0,0454	-0,1455	-0,4321	-1,2626 E-03	5,5382 E-03	-2,9146 E-03
	003	0,0143	0,1976	0,0305	-7,9074 E-04	-5,2977 E-04	4,171 E-04
	004	-0,0253	0,1974	0,0325	-7,8991 E-04	-5,3202 E-04	4,1367 E-04
	005	-0,0055	0,1975	0,0315	-7,9032 E-04	-5,309 E-04	4,1538 E-04
	006	0,0030	-0,1004	-0,0175	2,762 E-04	2,8209 E-04	-2,2229 E-04
00030	001	0,0264	-0,3072	-0,7207	-1,6887 E-04	2,9156 E-03	-1,5536 E-03
	002	0,0388	-0,5168	-1,1881	-1,3708 E-03	4,6122 E-03	-2,605 E-03
	003	0,0147	0,2559	0,1071	-8,151 E-04	-5,1189 E-04	3,7707 E-04
	004	-0,0248	0,2545	0,1073	-8,1452 E-04	-4,8817 E-04	3,6397 E-04
	005	-0,0051	0,2552	0,1072	-8,1481 E-04	-5,0003 E-04	3,7052 E-04
	006	0,0027	-0,1309	-0,0581	2,0885 E-04	2,6574 E-04	-1,9871 E-04
00031	001	0,0060	-0,4331	-0,9463	2,988 E-04	2,3392 E-04	-2,6338 E-04
	002	0,0052	-0,7251	-1,5374	-1,0704 E-03	2,3589 E-04	-4,2996 E-04
	003	0,0189	0,2818	0,1491	-7,8333 E-04	-6,6512 E-05	-1,4133 E-05
	004	-0,0205	0,2787	0,1456	-7,8274 E-04	-4,085 E-05	-2,6516 E-05
	005	-0,0008	0,2803	0,1474	-7,8304 E-04	-5,3681 E-05	-2,0324 E-05
	006	0,0004	-0,1444	-0,0795	1,7396 E-04	2,8571 E-05	9,2865 E-06
00032	001	-0,0171	-0,3670	-0,7701	9,2372 E-05	-2,7206 E-03	1,2867 E-03
	002	-0,0318	-0,6237	-1,2293	-3,1249 E-04	-4,4664 E-03	2,0894 E-03
	003	0,0240	0,2476	0,1233	-7,0496 E-04	4,5198 E-04	-4,7212 E-04
	004	-0,0157	0,2438	0,1173	-7,0439 E-04	4,5764 E-04	-4,7097 E-04
	005	0,0041	0,2457	0,1203	-7,0468 E-04	4,5481 E-04	-4,7154 E-04
	006	-0,0022	-0,1264	-0,0650	1,6893 E-04	-2,4149 E-04	2,4933 E-04
00033	001	-0,0278	-0,1419	-0,2809	1,6962 E-04	-3,9171 E-03	2,1509 E-03
	002	-0,0488	-0,2637	-0,4316	8,9738 E-04	-6,3119 E-03	3,4996 E-03
	003	0,0264	0,1630	0,0438	-5,8084 E-04	6,8441 E-04	-7,1702 E-04
	004	-0,0135	0,1608	0,0395	-5,8059 E-04	6,4523 E-04	-6,9293 E-04
	005	0,0064	0,1619	0,0416	-5,8071 E-04	6,6482 E-04	-7,0498 E-04
	006	-0,0034	-0,0824	-0,0227	1,9394 E-04	-3,5302 E-04	3,7361 E-04
00034	001	0,0188	-0,4308	-0,8408	-6,5113 E-04	-2,0346 E-03	1,9395 E-03
	002	0,0276	-0,7896	-1,4156	-1,5191 E-03	-3,4359 E-03	3,2727 E-03
	003	0,0235	0,1703	0,0342	-5,3874 E-04	5,0834 E-04	-4,0267 E-04
	004	-0,0169	0,1666	0,0282	-5,3815 E-04	5,1158 E-04	-4,0308 E-04
	005	0,0033	0,1684	0,0312	-5,3845 E-04	5,0996 E-04	-4,0288 E-04
	006	-0,0017	-0,1132	-0,0496	7,678 E-05	-2,7535 E-04	2,1794 E-04
00035	001	0,0199	-0,1813	-0,3241	-4,3909 E-04	-3,1618 E-03	2,8973 E-03
	002	0,0294	-0,2087	-0,3667	2,5992 E-04	-5,2321 E-03	4,7574 E-03
	003	0,0238	0,1019	-0,0267	-4,186 E-04	7,8432 E-04	-6,0345 E-04
	004	-0,0166	0,0998	-0,0309	-4,182 E-04	7,5358 E-04	-5,7017 E-04
	005	0,0036	0,1009	-0,0288	-4,184 E-04	7,6895 E-04	-5,8681 E-04
	006	-0,0019	-0,0662	-0,0038	9,9539 E-05	-4,1396 E-04	3,1637 E-04
00036	001	0,0166	-0,4502	-0,9641	-2,6231 E-04	2,1574 E-04	-2,6162 E-04
	002	0,0239	-0,9929	-1,8405	-2,2831 E-03	2,7383 E-04	-3,1412 E-04
	003	0,0231	0,1940	0,0480	-6,1714 E-04	-3,4747 E-05	2,498 E-05
	004	-0,0173	0,1910	0,0445	-6,1655 E-04	-1,3669 E-05	8,9494 E-06
	005	0,0029	0,1925	0,0463	-6,1685 E-04	-2,4208 E-05	1,6965 E-05
	006	-0,0015	-0,1306	-0,0634	8,1833 E-05	1,3015 E-05	-8,8696 E-06
00037	001	0,0144	-0,4062	-0,8317	-9,1486 E-04	2,1574 E-03	-2,2288 E-03
	002	0,0201	-0,8239	-1,5361	-2,5722 E-03	3,5731 E-03	-3,6005 E-03
	003	0,0227	0,1636	0,0008	-6,5223 E-04	-4,9783 E-04	3,9145 E-04
	004	-0,0178	0,1623	0,0010	-6,5166 E-04	-4,7682 E-04	3,7654 E-04
	005	0,0024	0,1629	0,0009	-6,5195 E-04	-4,8732 E-04	3,8399 E-04
	006	-0,0012	-0,1125	-0,0367	1,1581 E-04	2,6421 E-04	-2,0813 E-04
00038	001	0,0134	-0,2185	-0,3940	-1,1179 E-03	2,3335 E-03	-2,4916 E-03
	002	0,0181	-0,4424	-0,7683	-2,5111 E-03	4,0745 E-03	-4,1943 E-03
	003	0,0222	0,1085	-0,0721	-6,2838 E-04	-5,3137 E-04	4,1096 E-04
	004	-0,0183	0,1083	-0,0700	-6,277 E-04	-5,2713 E-04	4,149 E-04
	005	0,0020	0,1084	-0,0711	-6,2804 E-04	-5,2925 E-04	4,1293 E-04
	006	-0,0010	-0,0731	0,0141	1,8193 E-04	2,8781 E-04	-2,2472 E-04
00039	001	0,0141	-0,1800	-0,2669	-1,7615 E-03	-2,1539 E-04	4,0231 E-04
	002	0,0185	-0,4134	-0,6043	-4,3211 E-03	4,2342 E-04	-1,1706 E-04

Nodi - Spostamenti per condizioni di carico non sismiche

Nodo	CC	Sx [cm]	Sy [cm]	Sz [cm]	Θx [rad]	Θy [rad]	Θz [rad]
	003	0,0217	0,0845	-0,1015	-6,1328 E-04	1,1271 E-04	-1,139 E-04
	004	-0,0188	0,0843	-0,1026	-6,1233 E-04	1,0312 E-04	-9,3014 E-05
	005	0,0014	0,0844	-0,1021	-6,128 E-04	1,0792 E-04	-1,0345 E-04
	006	-0,0007	-0,0536	0,0387	2,2427 E-04	-6,0889 E-05	5,7803 E-05
00040	001	0,0139	-0,5012	-0,8646	-3,9635 E-03	-1,4902 E-03	1,6363 E-03
	002	0,0178	-1,2991	-1,9208	-1,1391 E-02	-1,5662 E-03	1,7273 E-03
	003	0,0212	0,1074	-0,0751	-7,1469 E-04	3,9159 E-04	-3,2885 E-04
	004	-0,0193	0,1072	-0,0772	-7,138 E-04	4,0015 E-04	-3,3125 E-04
	005	0,0010	0,1073	-0,0761	-7,1424 E-04	3,9587 E-04	-3,3005 E-04
	006	-0,0005	-0,0812	0,0059	1,6066 E-04	-2,1923 E-04	1,8257 E-04
00041	001	0,0123	-0,7399	-1,3087	-5,2357 E-03	-7,7244 E-04	7,5843 E-04
	002	0,0155	-1,8960	-2,8249	-1,554 E-02	-9,6446 E-04	9,253 E-04
	003	0,0207	0,1373	-0,0402	-7,5922 E-04	1,7995 E-04	-1,5693 E-04
	004	-0,0198	0,1381	-0,0402	-7,5869 E-04	1,9848 E-04	-1,6957 E-04
	005	0,0005	0,1377	-0,0402	-7,5895 E-04	1,8921 E-04	-1,6325 E-04
	006	-0,0002	-0,1052	-0,0227	1,2483 E-04	-1,0343 E-04	8,8964 E-05
00042	001	0,0096	-0,7113	-1,2713	-4,9113 E-03	6,027 E-04	-7,1333 E-04
	002	0,0121	-1,7609	-2,6627	-1,4201 E-02	6,084 E-04	-7,4359 E-04
	003	0,0204	0,1385	-0,0378	-7,5048 E-04	-1,6988 E-04	1,2428 E-04
	004	-0,0201	0,1407	-0,0349	-7,5036 E-04	-1,5279 E-04	1,1265 E-04
	005	0,0001	0,1396	-0,0363	-7,5042 E-04	-1,6134 E-04	1,1846 E-04
	006	-0,0001	-0,1059	-0,0241	1,2472 E-04	9,1297 E-05	-6,7702 E-05
00043	001	0,0070	-0,3417	-0,6306	-2,6805 E-03	1,6573 E-03	-1,8893 E-03
	002	0,0087	-0,7408	-1,2086	-6,7411 E-03	1,7061 E-03	-2,0702 E-03
	003	0,0202	0,1088	-0,0712	-6,504 E-04	-4,5313 E-04	3,4989 E-04
	004	-0,0203	0,1108	-0,0673	-6,507 E-04	-4,6354 E-04	3,6386 E-04
	005	0,0000	0,1098	-0,0693	-6,5055 E-04	-4,5833 E-04	3,5687 E-04
	006	0,0000	-0,0750	0,0117	1,8563 E-04	2,5511 E-04	-1,9933 E-04
00044	001	0,0089	-0,0877	-0,1608	-1,1207 E-03	-6,2626 E-05	4,5406 E-05
	002	0,0135	-0,1313	-0,2669	-1,982 E-03	-6,2019 E-04	4,9074 E-04
	003	0,0194	0,0876	-0,0903	-5,3211 E-04	-2,1353 E-05	6,729 E-06
	004	-0,0208	0,0876	-0,0903	-5,3227 E-04	-5,2155 E-05	4,6405 E-05
	005	-0,0007	0,0876	-0,0903	-5,3219 E-04	-3,6754 E-05	2,6567 E-05
	006	0,0004	-0,0471	0,0427	2,4565 E-04	1,912 E-05	-1,3784 E-05
00045	001	0,0100	-0,2223	-0,5094	-1,6721 E-03	-1,6881 E-03	1,9 E-03
	002	0,0120	-0,3568	-0,8100	-2,6355 E-03	-2,7421 E-03	2,9728 E-03
	003	0,0186	0,1008	-0,0780	-6,5741 E-04	3,7621 E-04	-2,957 E-04
	004	-0,0219	0,0991	-0,0815	-6,5738 E-04	3,7146 E-04	-2,8691 E-04
	005	-0,0017	0,1000	-0,0797	-6,5739 E-04	3,7384 E-04	-2,9131 E-04
	006	0,0009	-0,0709	0,0159	1,811 E-04	-2,0892 E-04	1,6337 E-04
00046	001	0,0076	-0,3656	-0,8666	-2,0041 E-03	-9,5398 E-04	1,0285 E-03
	002	0,0080	-0,5763	-1,3332	-3,0519 E-03	-1,4185 E-03	1,4914 E-03
	003	0,0183	0,1292	-0,0465	-7,2502 E-04	2,173 E-04	-1,6396 E-04
	004	-0,0222	0,1275	-0,0492	-7,2523 E-04	2,2951 E-04	-1,7154 E-04
	005	-0,0020	0,1284	-0,0478	-7,2513 E-04	2,234 E-04	-1,6775 E-04
	006	0,0011	-0,0960	-0,0132	1,4149 E-04	-1,2334 E-04	9,3023 E-05
00047	001	0,0037	-0,3796	-0,8964	-2,0215 E-03	6,8568 E-04	-7,4927 E-04
	002	0,0019	-0,5900	-1,3557	-3,0406 E-03	1,1207 E-03	-1,221 E-03
	003	0,0181	0,1315	-0,0455	-7,3942 E-04	-1,5016 E-04	1,3139 E-04
	004	-0,0224	0,1308	-0,0457	-7,3999 E-04	-1,3342 E-04	1,2003 E-04
	005	-0,0021	0,1312	-0,0456	-7,397 E-04	-1,4179 E-04	1,2571 E-04
	006	0,0011	-0,0992	0,0164	1,3663 E-04	7,7186 E-05	-6,8194 E-05
00048	001	0,0024	-0,2559	-0,5765	-1,7244 E-03	1,6221 E-03	-1,8598 E-03
	002	0,0000	-0,3970	-0,8611	-2,6063 E-03	2,5246 E-03	-2,8678 E-03
	003	0,0175	0,1048	-0,0786	-7,0216 E-04	-3,6811 E-04	3,0635 E-04
	004	-0,0229	0,1050	-0,0767	-7,0301 E-04	-3,5948 E-04	3,0367 E-04
	005	-0,0027	0,1049	-0,0776	-7,0258 E-04	-3,638 E-04	3,0501 E-04
	006	0,0014	-0,0784	0,0087	1,6734 E-04	2,013 E-04	-1,6856 E-04
00049	001	0,0022	-0,1226	-0,1816	-1,1522 E-03	3,3451 E-04	-5,8718 E-04
	002	-0,0004	-0,1928	-0,2634	-1,7847 E-03	5,7717 E-04	-9,3786 E-04
	003	0,0170	0,0840	-0,1023	-6,0794 E-04	-8,5951 E-05	8,0811 E-05
	004	-0,0234	0,0842	-0,1013	-6,0877 E-04	-9,4938 E-05	1,0112 E-04
	005	-0,0032	0,0841	-0,1018	-6,0836 E-04	-9,0445 E-05	9,0964 E-05
	006	0,0017	-0,0531	0,0391	2,2581 E-04	5,1301 E-05	-5,0917 E-05
00050	001	0,0031	-0,2642	-0,4375	-1,4321 E-03	-2,3852 E-03	2,5207 E-03
	002	0,0009	-0,4062	-0,6449	-2,2784 E-03	-3,493 E-03	3,6986 E-03
	003	0,0165	0,1096	-0,0685	-6,2295 E-04	5,3573 E-04	-4,2135 E-04
	004	-0,0239	0,1098	-0,0706	-6,2351 E-04	5,4032 E-04	-4,1763 E-04
	005	-0,0037	0,1097	-0,0696	-6,2323 E-04	5,3803 E-04	-4,1949 E-04
	006	0,0019	-0,0734	0,0138	1,8279 E-04	-2,9204 E-04	2,2788 E-04
00051	001	0,0022	-0,5285	-0,9882	-1,8524 E-03	-2,2988 E-03	2,3451 E-03
	002	-0,0005	-0,8005	-1,4621	-2,9351 E-03	-3,4091 E-03	3,4781 E-03
	003	0,0160	0,1649	0,0039	-6,4055 E-04	4,7918 E-04	-3,7878 E-04
	004	-0,0244	0,1663	0,0038	-6,4102 E-04	5,0032 E-04	-3,9372 E-04
	005	-0,0042	0,1656	0,0039	-6,4079 E-04	4,8975 E-04	-3,8625 E-04
	006	0,0022	-0,1130	-0,0371	1,1865 E-04	-2,6563 E-04	2,0948 E-04
00052	001	0,0000	-0,6696	-1,2559	-1,9921 E-03	-2,6655 E-04	2,8112 E-04
	002	-0,0038	-1,0114	-1,8615	-3,1367 E-03	-4,324 E-04	4,553 E-04

Nodi - Spostamenti per condizioni di carico non sismiche

Nodo	CC	S _x [cm]	S _y [cm]	S _z [cm]	Θ _x [rad]	Θ _y [rad]	Θ _z [rad]
	003	0,0156	0,1926	0,0461	-6,1553 E-04	1,1024 E-05	-7,3621 E-06
	004	-0,0249	0,1956	0,0496	-6,1605 E-04	3,2072 E-05	-2,3287 E-05
	005	-0,0047	0,1941	0,0479	-6,1579 E-04	2,1548 E-05	-1,5324 E-05
	006	0,0024	-0,1314	-0,0642	8,2053 E-05	-1,2494 E-05	8,7812 E-06
00053	001	-0,0023	-0,5801	-1,0545	-1,8495 E-03	2,1196 E-03	-2,0563 E-03
	002	-0,0072	-0,8763	-1,5631	-2,8706 E-03	3,1055 E-03	-3,0045 E-03
	003	0,0151	0,1665	0,0280	-5,4724 E-04	-5,1615 E-04	4,0621 E-04
	004	-0,0253	0,1703	0,0340	-5,4777 E-04	-5,1304 E-04	4,0597 E-04
	005	-0,0051	0,1684	0,0310	-5,4751 E-04	-5,1459 E-04	4,0609 E-04
	006	0,0027	-0,1142	-0,0506	7,4382 E-05	2,7777 E-04	-2,1956 E-04
00054	001	-0,0034	-0,2876	-0,4836	-1,4273 E-03	3,2838 E-03	-3,0497 E-03
	002	-0,0089	-0,4395	-0,7160	-2,212 E-03	4,9125 E-03	-4,5516 E-03
	003	0,0148	0,1000	-0,0309	-4,2092 E-04	-7,5913 E-04	5,7418 E-04
	004	-0,0256	0,1021	-0,0267	-4,2129 E-04	-7,9 E-04	6,0762 E-04
	005	-0,0054	0,1010	-0,0288	-4,2111 E-04	-7,7457 E-04	5,909 E-04
	006	0,0028	-0,0665	-0,0041	9,9162 E-05	4,1763 E-04	-3,1906 E-04
00055	001	-0,0125	-0,4634	-0,8891	9,4584 E-04	-2,0722 E-03	2,2446 E-03
	002	-0,0252	-0,7189	-1,3491	1,0736 E-03	-3,0957 E-03	3,4389 E-03
	003	0,0171	0,3599	0,2586	-8,8386 E-04	5,1409 E-04	-4,475 E-04
	004	-0,0246	0,3560	0,2525	-8,8325 E-04	5,0788 E-04	-4,6161 E-04
	005	-0,0037	0,3580	0,2555	-8,8355 E-04	5,1099 E-04	-4,5455 E-04
	006	0,0020	-0,1580	-0,1033	2,5986 E-04	-2,536 E-04	2,2699 E-04
00056	001	-0,0144	-0,2470	-0,4104	1,0049 E-03	-3,1129 E-03	3,2606 E-03
	002	-0,0284	-0,5145	-0,7376	2,2091 E-03	-4,8598 E-03	5,1007 E-03
	003	0,0170	0,2594	0,1601	-7,6863 E-04	7,6534 E-04	-6,5632 E-04
	004	-0,0248	0,2573	0,1558	-7,6864 E-04	7,2467 E-04	-6,3208 E-04
	005	-0,0039	0,2584	0,1580	-7,6864 E-04	7,45 E-04	-6,442 E-04
	006	0,0020	-0,1175	-0,0650	2,8473 E-04	-3,7553 E-04	3,2567 E-04
00057	001	-0,0088	-0,5527	-1,0930	1,1011 E-03	2,535 E-04	-3,1451 E-04
	002	-0,0191	-0,7190	-1,5359	3,1926 E-04	4,3238 E-04	-4,7005 E-04
	003	0,0171	0,4047	0,2970	-9,6238 E-04	-1,3422 E-05	2,6663 E-05
	004	-0,0246	0,4015	0,2934	-9,6179 E-04	-2,2529 E-06	-4,724 E-06
	005	-0,0037	0,4031	0,2952	-9,6208 E-04	-7,8376 E-06	1,097 E-05
	006	0,0020	-0,1767	-0,1187	2,649 E-04	7,4788 E-06	-8,3309 E-06
00058	001	-0,0052	-0,3688	-0,7980	6,8662 E-04	2,295 E-03	-2,6282 E-03
	002	-0,0132	-0,4707	-1,1387	2,2334 E-05	3,606 E-03	-4,0869 E-03
	003	0,0172	0,3830	0,2600	-9,9347 E-04	-4,6804 E-04	4,3699 E-04
	004	-0,0245	0,3815	0,2601	-9,9291 E-04	-4,5725 E-04	4,0714 E-04
	005	-0,0036	0,3823	0,2601	-9,9319 E-04	-4,6265 E-04	4,2206 E-04
	006	0,0019	-0,1680	-0,1029	2,9996 E-04	2,3355 E-04	-2,1397 E-04
00059	001	-0,0037	-0,1271	-0,2968	4,6659 E-04	2,519 E-03	-2,9608 E-03
	002	-0,0101	-0,1037	-0,3874	1,3818 E-05	4,3911 E-03	-4,9967 E-03
	003	0,0176	0,3219	0,1802	-9,7492 E-04	-5,0281 E-04	4,6023 E-04
	004	-0,0242	0,3215	0,1820	-9,7381 E-04	-5,0985 E-04	4,5251 E-04
	005	-0,0033	0,3217	0,1811	-9,7437 E-04	-5,0633 E-04	4,5637 E-04
	006	0,0017	-0,1463	-0,0728	3,6547 E-04	2,5191 E-04	-2,2831 E-04
00060	001	-0,0052	0,0842	0,0329	-2,0894 E-04	2,4137 E-04	6,6132 E-05
	002	-0,0112	0,4168	0,3536	-1,9441 E-03	1,9601 E-03	-1,4423 E-03
	003	0,0183	0,2947	0,1471	-9,6994 E-04	1,2577 E-04	-1,2642 E-04
	004	-0,0235	0,2943	0,1457	-9,6942 E-04	1,0422 E-04	-1,1457 E-04
	005	-0,0026	0,2945	0,1464	-9,6968 E-04	1,1499 E-04	-1,2049 E-04
	006	0,0014	-0,1384	-0,0618	4,076 E-04	-5,2505 E-05	5,6952 E-05
00061	001	-0,0052	0,3687	0,1458	-2,5111 E-03	-9,0975 E-04	1,3603 E-03
	002	-0,0108	1,4803	1,3241	-9,3902 E-03	4,9183 E-04	2,125 E-04
	003	0,0188	0,3435	0,2038	-1,0559 E-03	4,0259 E-04	-3,7063 E-04
	004	-0,0230	0,3431	0,2014	-1,055 E-03	4,0101 E-04	-3,8628 E-04
	005	-0,0021	0,3433	0,2026	-1,0554 E-03	4,018 E-04	-3,7846 E-04
	006	0,0011	-0,1487	-0,0743	3,4493 E-04	-1,903 E-04	1,8201 E-04
00062	001	-0,0031	0,4853	0,1188	-3,9155 E-03	-6,1863 E-04	7,3381 E-04
	002	-0,0085	2,0523	1,7934	-1,4068 E-02	-4,8115 E-04	6,4448 E-04
	003	0,0190	0,3856	0,2529	-1,102 E-03	1,8308 E-04	-1,685 E-04
	004	-0,0227	0,3863	0,2528	-1,1014 E-03	1,9171 E-04	-1,9587 E-04
	005	-0,0018	0,3860	0,2528	-1,1017 E-03	1,874 E-04	-1,8219 E-04
	006	0,0010	-0,1632	-0,0918	3,0975 E-04	-9,2517 E-05	9,0901 E-05
00063	001	-0,0003	0,4130	0,0348	-3,4266 E-03	1,6086 E-04	-4,2502 E-04
	002	-0,0047	1,7696	1,4571	-1,208 E-02	-1,0566 E-03	5,7731 E-04
	003	0,0193	0,3841	0,2522	-1,0894 E-03	-1,7875 E-04	1,6117 E-04
	004	-0,0224	0,3861	0,2551	-1,0894 E-03	-1,7156 E-04	1,3492 E-04
	005	-0,0015	0,3851	0,2537	-1,0894 E-03	-1,7515 E-04	1,4804 E-04
	006	0,0008	-0,1637	-0,0931	3,0963 E-04	7,7562 E-05	-6,61 E-05
00064	001	0,0014	0,1713	-0,0412	-1,1169 E-03	1,0424 E-03	-1,6056 E-03
	002	-0,0020	0,7408	0,5089	-4,3046 E-03	-4,1999 E-04	-5,2066 E-04
	003	0,0198	0,3281	0,1881	-9,9664 E-04	-4,6043 E-04	4,1775 E-04
	004	-0,0219	0,3302	0,1922	-9,9685 E-04	-4,8001 E-04	4,1991 E-04
	005	-0,0011	0,3292	0,1902	-9,9675 E-04	-4,7022 E-04	4,1883 E-04
	006	0,0006	-0,1493	-0,0767	3,7085 E-04	2,182 E-04	-1,9677 E-04
00065	001	0,0031	0,0092	-0,0657	4,338 E-04	-2,329 E-04	2,0027 E-04
	002	0,0050	0,0800	-0,0483	4,3542 E-04	-1,2907 E-03	1,141 E-03

Nodi - Spostamenti per condizioni di carico non sismiche

Nodo	CC	S _x [cm]	S _y [cm]	S _z [cm]	Θ _x [rad]	Θ _y [rad]	Θ _z [rad]
	003	0,0200	0,2748	0,1332	-8,9643 E-04	-1,2948 E-05	1,1489 E-05
	004	-0,0215	0,2748	0,1332	-8,966 E-04	-5,3419 E-05	4,3347 E-05
	005	-0,0007	0,2748	0,1332	-8,9651 E-04	-3,3184 E-05	2,7418 E-05
	006	0,0004	-0,1370	-0,0647	4,3118 E-04	1,8782 E-05	-1,5529 E-05
00066	001	0,0027	0,0190	-0,2385	-7,2601 E-05	-1,6097 E-03	2,0726 E-03
	002	0,0001	0,0165	-0,3916	-5,1005 E-05	-2,6405 E-03	3,2636 E-03
	003	0,0202	0,3217	0,1832	-9,9984 E-04	3,9344 E-04	-3,419 E-04
	004	-0,0215	0,3200	0,1797	-9,9981 E-04	3,7906 E-04	-3,4527 E-04
	005	-0,0007	0,3208	0,1814	-9,9983 E-04	3,8625 E-04	-3,4359 E-04
	006	0,0004	-0,1438	-0,0709	3,6626 E-04	-1,7773 E-04	1,6016 E-04
00067	001	0,0046	-0,0355	-0,4917	-4,0114 E-04	-9,2553 E-04	1,1341 E-03
	002	0,0031	-0,0914	-0,7842	-4,6662 E-04	-1,3856 E-03	1,6508 E-03
	003	0,0206	0,3682	0,2360	-1,0679 E-03	2,2268 E-04	-1,8222 E-04
	004	-0,0211	0,3666	0,2333	-1,0681 E-03	2,253 E-04	-2,0414 E-04
	005	-0,0003	0,3674	0,2347	-1,068 E-03	2,2399 E-04	-1,9318 E-04
	006	0,0002	-0,1583	-0,0875	3,2655 E-04	-1,0798 E-04	9,3707 E-05
00068	001	0,0069	-0,0449	-0,5160	-4,1816 E-04	6,6124 E-04	-8,3109 E-04
	002	0,0067	-0,1082	-0,8102	-4,5489 E-04	1,0796 E-03	-1,3547 E-03
	003	0,0210	0,3744	0,2414	-1,0823 E-03	-1,4347 E-04	1,5296 E-04
	004	-0,0207	0,3738	0,2415	-1,0829 E-03	-1,3653 E-04	1,2691 E-04
	005	0,0002	0,3741	0,2415	-1,0826 E-03	-1,4 E-04	1,3994 E-04
	006	-0,0001	-0,1602	-0,0892	3,2167 E-04	6,952 E-05	-7,0267 E-05
00069	001	0,0101	-0,0020	-0,2891	-1,2182 E-04	1,5548 E-03	-2,0457 E-03
	002	0,0116	-0,0346	-0,4528	-1,4895 E-05	2,4267 E-03	-3,1622 E-03
	003	0,0212	0,3376	0,1963	-1,0433 E-03	-3,6818 E-04	3,5774 E-04
	004	-0,0205	0,3380	0,1985	-1,0442 E-03	-3,6965 E-04	3,4173 E-04
	005	0,0003	0,3378	0,1974	-1,0438 E-03	-3,6891 E-04	3,4973 E-04
	006	-0,0001	-0,1476	-0,0736	3,5161 E-04	1,7519 E-04	-1,6872 E-04
00070	001	0,0101	-0,0242	-0,0763	4,4074 E-04	3,5299 E-04	-6,7728 E-04
	002	0,0117	-0,0537	-0,1166	7,9169 E-04	6,1775 E-04	-1,0947 E-03
	003	0,0217	0,2928	0,1446	-9,6468 E-04	-8,7097 E-05	1,0115 E-04
	004	-0,0201	0,2932	0,1459	-9,6508 E-04	-1,0806 E-04	1,1233 E-04
	005	0,0008	0,2930	0,1453	-9,6488 E-04	-9,7581 E-05	1,0674 E-04
	006	-0,0004	-0,1382	-0,0618	4,0928 E-04	4,4637 E-05	-5,08 E-05
00071	001	0,0083	-0,0887	-0,2418	1,5863 E-04	-2,309 E-03	2,7713 E-03
	002	0,0092	-0,1332	-0,3413	3,0138 E-04	-3,3634 E-03	4,0482 E-03
	003	0,0224	0,3216	0,1820	-9,6905 E-04	5,1722 E-04	-4,5831 E-04
	004	-0,0194	0,3219	0,1802	-9,7003 E-04	5,105 E-04	-4,6631 E-04
	005	0,0015	0,3218	0,1811	-9,6954 E-04	5,1386 E-04	-4,6231 E-04
	006	-0,0007	-0,1469	-0,0734	3,6642 E-04	-2,5599 E-04	2,3154 E-04
00072	001	0,0097	-0,2402	-0,6605	-2,4999 E-04	-2,2231 E-03	2,5776 E-03
	002	0,0112	-0,3517	-0,9527	-3,3518 E-04	-3,2929 E-03	3,8169 E-03
	003	0,0227	0,3818	0,2603	-9,8567 E-04	4,6034 E-04	-4,0981 E-04
	004	-0,0190	0,3833	0,2603	-9,8613 E-04	4,7123 E-04	-4,397 E-04
	005	0,0018	0,3826	0,2603	-9,859 E-04	4,6579 E-04	-4,2475 E-04
	006	-0,0009	-0,1690	-0,1038	3,0173 E-04	-2,3488 E-04	2,1518 E-04
00073	001	0,0133	-0,3439	-0,8844	-3,8841 E-04	-2,6262 E-04	3,0263 E-04
	002	0,0166	-0,5088	-1,2889	-5,3462 E-04	-4,3734 E-04	4,9854 E-04
	003	0,0228	0,4028	0,2947	-9,6077 E-04	2,5554 E-06	4,4543 E-06
	004	-0,0189	0,4059	0,2983	-9,6129 E-04	1,3676 E-05	-2,6834 E-05
	005	0,0019	0,4043	0,2965	-9,6103 E-04	8,1157 E-06	-1,119 E-05
	006	-0,0010	-0,1776	-0,1195	2,6512 E-04	-6,482 E-06	7,5825 E-06
00074	001	0,0171	-0,2926	-0,7276	-2,4728 E-04	2,0291 E-03	-2,2661 E-03
	002	0,0222	-0,4432	-1,0719	-2,7707 E-04	2,9552 E-03	-3,2994 E-03
	003	0,0228	0,3578	0,2544	-8,8847 E-04	-5,1127 E-04	4,6456 E-04
	004	-0,0189	0,3617	0,2605	-8,8903 E-04	-5,1761 E-04	4,5061 E-04
	005	0,0019	0,3598	0,2574	-8,8875 E-04	-5,1444 E-04	4,5758 E-04
	006	-0,0010	-0,1585	-0,1037	2,5853 E-04	2,5585 E-04	-2,289 E-04
00075	001	0,0191	-0,1138	-0,2900	1,6919 E-04	3,1296 E-03	-3,3424 E-03
	002	0,0253	-0,1816	-0,4300	3,5441 E-04	4,6851 E-03	-4,9911 E-03
	003	0,0229	0,2582	0,1567	-7,7139 E-04	-7,3069 E-04	6,3746 E-04
	004	-0,0189	0,2603	0,1609	-7,7134 E-04	-7,7149 E-04	6,6187 E-04
	005	0,0020	0,2592	0,1588	-7,7136 E-04	-7,5109 E-04	6,4966 E-04
	006	-0,0010	-0,1177	-0,0652	2,8434 E-04	3,7857 E-04	-3,2839 E-04
00076	001	0,0078	0,0394	-0,0176	-1,8983 E-04	3,0324 E-03	-2,2477 E-03
	002	0,0084	0,0587	-0,0076	-2,7934 E-04	4,629 E-03	-3,3888 E-03
	003	0,0185	0,1075	0,0007	-4,6393 E-04	-4,6326 E-04	6,582 E-04
	004	-0,0211	0,1075	0,0007	-4,6401 E-04	-5,4347 E-04	6,9194 E-04
	005	-0,0013	0,1075	0,0007	-4,6397 E-04	-5,0336 E-04	6,7507 E-04
	006	0,0007	-0,0542	-0,0004	2,2942 E-04	2,6753 E-04	-3,5817 E-04
00077	001	0,0028	0,0145	-0,0172	-4,5884 E-05	-2,9359 E-03	2,1418 E-03
	002	0,0007	-0,0043	-0,0065	9,6561 E-05	-4,8945 E-03	3,5376 E-03
	003	0,0193	0,1073	0,0007	-4,6337 E-04	5,3693 E-04	-6,8699 E-04
	004	-0,0203	0,1073	0,0007	-4,6327 E-04	4,5685 E-04	-6,5336 E-04
	005	-0,0005	0,1073	0,0007	-4,6332 E-04	4,9689 E-04	-6,7017 E-04
	006	0,0003	-0,0541	-0,0004	2,2907 E-04	-2,6378 E-04	3,5513 E-04
00078	001	0,0065	-0,0031	-0,0220	-2,2599 E-05	-4,8035 E-04	4,3737 E-04
	002	0,0063	-0,0054	-0,0149	-3,0485 E-05	-6,3687 E-04	5,9335 E-04

Nodi - Spostamenti per condizioni di carico non sismiche								
Nodo	CC	S _x	S _y	S _z	Θ _x	Θ _y	Θ _z	
		[cm]	[cm]	[cm]	[rad]	[rad]	[rad]	
	003	0,0187	0,1661	0,0012	-7,1415 E-04	1,1692 E-04	-8,4096 E-05	
	004	-0,0209	0,1663	0,0012	-7,1489 E-04	7,4792 E-05	-8,2309 E-05	
	005	-0,0011	0,1662	0,0012	-7,1452 E-04	9,5857 E-05	-8,3203 E-05	
	006	0,0006	-0,0844	-0,0006	3,5646 E-04	-5,0378 E-05	4,4501 E-05	

LEGENDA:

CC Identificativo della tipologia di carico nella relativa tabella.
S_x, S_y, S_z, Θ_x, Θ_y, Θ_z Le componenti dello spostamento sono relative al sistema di riferimento globale X, Y, Z.

NODI - SPOSTAMENTI PER EFFETTO DEL SISMA

Nodi - Spostamenti per effetto del sisma													
Nodo	Di r	Stato Limite Ultimo						Stato Limite di Danno					
		S _x	S _y	S _z	Θ _x	Θ _y	Θ _z	S _x	S _y	S _z	Θ _x	Θ _y	Θ _z
		[cm]	[cm]	[cm]	[rad]	[rad]	[rad]	[cm]	[cm]	[cm]	[rad]	[rad]	[rad]
00001	X	0,000 0 0	0,000 0 0	0,000 0 0	0 E+00	0 E+00	0 E+00	0,000 0 0	0,000 0 0	0,000 0 0	0 E+00	0 E+00	0 E+00
00001	Y	0,000 0 0	0,000 0 0	0,000 0 0	0 E+00	0 E+00	0 E+00	0,000 0 0	0,000 0 0	0,000 0 0	0 E+00	0 E+00	0 E+00
00001	Z	0,000 1	0,000 1	0,000 1	3,1018 E-06	1,1348 E-06	5,2213 E-09	0,000 0	0,000 0	0,000 0	9,2656 E-07	3,39 E-07	1,5597 E-09
00002	X	0,000 0 0	0,000 0 0	0,000 0 0	0 E+00	0 E+00	0 E+00	0,000 0 0	0,000 0 0	0,000 0 0	0 E+00	0 E+00	0 E+00
00002	Y	0,000 0 0	0,000 0 0	0,000 0 0	0 E+00	0 E+00	0 E+00	0,000 0 0	0,000 0 0	0,000 0 0	0 E+00	0 E+00	0 E+00
00002	Z	0,000 0 1	0,000 0 1	0,000 0 2	2,5906 E-06	5,0998 E-08	1,4551 E-09	0,000 0 0	0,000 0 0	0,000 0 1	7,7385 E-07	1,5234 E-08	4,3468 E-10
00003	X	0,000 0 0	0,000 0 0	0,000 0 0	0 E+00	0 E+00	0 E+00	0,000 0 0	0,000 0 0	0,000 0 0	0 E+00	0 E+00	0 E+00
00003	Y	0,000 0 0	0,000 0 0	0,000 0 0	0 E+00	0 E+00	0 E+00	0,000 0 0	0,000 0 0	0,000 0 0	0 E+00	0 E+00	0 E+00
00003	Z	0,000 0 0	0,000 0 0	0,000 0 2	2,1337 E-06	7,7475 E-08	3,7295 E-10	0,000 0 0	0,000 0 0	0,000 0 1	6,3737 E-07	2,3143 E-08	1,1141 E-10
00004	X	0,000 0 0	0,000 0 0	0,000 0 0	0 E+00	0 E+00	0 E+00	0,000 0 0	0,000 0 0	0,000 0 0	0 E+00	0 E+00	0 E+00
00004	Y	0,000 0 0	0,000 0 0	0,000 0 0	0 E+00	0 E+00	0 E+00	0,000 0 0	0,000 0 0	0,000 0 0	0 E+00	0 E+00	0 E+00
00004	Z	0,000 1 0	0,000 0 0	0,000 0 1	1,7542 E-06	1,1711 E-06	6,0566 E-09	0,000 0 0	0,000 0 0	0,000 0 0	5,2402 E-07	3,4984 E-07	1,8092 E-09
00005	X	0,000 0 0	0,000 0 0	0,000 0 0	0 E+00	0 E+00	0 E+00	0,000 0 0	0,000 0 0	0,000 0 0	0 E+00	0 E+00	0 E+00
00005	Y	0,000 0 0	0,000 0 0	0,000 0 0	0 E+00	0 E+00	0 E+00	0,000 0 0	0,000 0 0	0,000 0 0	0 E+00	0 E+00	0 E+00
00005	Z	0,000 0 0	0,000 0 0	0,000 0 2	1,6145 E-06	1,9969 E-07	8,6413 E-10	0,000 0 0	0,000 0 0	0,000 0 1	4,8228 E-07	5,965 E-08	2,5813 E-10
00006	X	0,000 0 0	0,000 0 0	0,000 0 0	0 E+00	0 E+00	0 E+00	0,000 0 0	0,000 0 0	0,000 0 0	0 E+00	0 E+00	0 E+00
00006	Y	0,000 0 0	0,000 0 0	0,000 0 0	0 E+00	0 E+00	0 E+00	0,000 0 0	0,000 0 0	0,000 0 0	0 E+00	0 E+00	0 E+00
00006	Z	0,000 8 8	0,007 8	0,005 3	1,7317 E-06	8,6997 E-05	5,1332 E-05	0,000 2	0,002 3	0,001 6	5,1729 E-07	2,5988 E-05	1,5334 E-05
00007	X	0,000 0 0	0,000 0 0	0,000 0 0	0 E+00	0 E+00	0 E+00	0,000 0 0	0,000 0 0	0,000 0 0	0 E+00	0 E+00	0 E+00
00007	Y	0,000 0 0	0,000 0 0	0,000 0 0	0 E+00	0 E+00	0 E+00	0,000 0 0	0,000 0 0	0,000 0 0	0 E+00	0 E+00	0 E+00
00007	Z	0,000 9	0,005 9	0,005 6	7,6134 E-07	9,2765 E-05	5,6757 E-05	0,000 3	0,001 8	0,001 7	2,2785 E-07	2,7711 E-05	1,6955 E-05
00008	X	0,000 0 0	0,000 0 0	0,000 0 0	0 E+00	0 E+00	0 E+00	0,000 0 0	0,000 0 0	0,000 0 0	0 E+00	0 E+00	0 E+00
00008	Y	0,000 0 0	0,000 0 0	0,000 0 0	0 E+00	0 E+00	0 E+00	0,000 0 0	0,000 0 0	0,000 0 0	0 E+00	0 E+00	0 E+00
00008	Z	0,000 0	0,003 7	0,000 3	1,7466 E-05	6,6977 E-06	3,1442 E-06	0,000 0	0,001 1	0,000 1	5,2175 E-06	2,0007 E-06	9,3925 E-07
00009	X	0,000 0 0	0,000 0 0	0,000 0 0	0 E+00	0 E+00	0 E+00	0,000 0 0	0,000 0 0	0,000 0 0	0 E+00	0 E+00	0 E+00
00009	Y	0,000 0 0	0,000 0 0	0,000 0 0	0 E+00	0 E+00	0 E+00	0,000 0 0	0,000 0 0	0,000 0 0	0 E+00	0 E+00	0 E+00
00009	Z	0,000 1	0,002 3	0,000 3	7,4255 E-06	1,6291 E-05	7,2853 E-06	0,000 0	0,000 7	0,000 1	2,2181 E-06	4,8665 E-06	2,1763 E-06
00010	X	0,000 0 0	0,000 0 0	0,000 0 0	0 E+00	0 E+00	0 E+00	0,000 0 0	0,000 0 0	0,000 0 0	0 E+00	0 E+00	0 E+00
00010	Y	0,000 0 0	0,000 0 0	0,000 0 0	0 E+00	0 E+00	0 E+00	0,000 0 0	0,000 0 0	0,000 0 0	0 E+00	0 E+00	0 E+00
00010	Z	0,001	0,003	0,000	4,7033 E-05	7,2213 E-05	6,8766 E-05	0,000	0,001	0,000	1,405 E-05	2,1571 E-05	2,0542 E-05

Nodi - Spostamenti per effetto del sisma													
Nodo	Dir	Stato Limite Ultimo						Stato Limite di Danno					
		Sx [cm]	Sy [cm]	Sz [cm]	Θx [rad]	Θy [rad]	Θz [rad]	Sx [cm]	Sy [cm]	Sz [cm]	Θx [rad]	Θy [rad]	Θz [rad]
		0	7	3				3	1	1			
00011	X	0,000 0	0,000 0	0,000 0	0 E+00	0 E+00	0 E+00	0,000 0	0,000 0	0,000 0	0 E+00	0 E+00	0 E+00
00011	Y	0,000 0	0,000 0	0,000 0	0 E+00	0 E+00	0 E+00	0,000 0	0,000 0	0,000 0	0 E+00	0 E+00	0 E+00
00011	Z	0,000 5	0,004 3	0,001 5	3,6716 E-05	7,5206 E-05	6,5162 E-05	0,000 1	0,001 3	0,000 4	1,0968 E-05	2,2466 E-05	1,9465 E-05
00012	X	0,000 0	0,000 0	0,000 0	0 E+00	0 E+00	0 E+00	0,000 0	0,000 0	0,000 0	0 E+00	0 E+00	0 E+00
00012	Y	0,000 0	0,000 0	0,000 0	0 E+00	0 E+00	0 E+00	0,000 0	0,000 0	0,000 0	0 E+00	0 E+00	0 E+00
00012	Z	0,001 0	0,003 2	0,002 3	3,0756 E-05	8,1276 E-05	7,7026 E-05	0,000 3	0,001 0	0,000 7	9,1876 E-06	2,4279 E-05	2,3009 E-05
00013	X	0,000 0	0,000 0	0,000 0	0 E+00	0 E+00	0 E+00	0,000 0	0,000 0	0,000 0	0 E+00	0 E+00	0 E+00
00013	Y	0,000 0	0,000 0	0,000 0	0 E+00	0 E+00	0 E+00	0,000 0	0,000 0	0,000 0	0 E+00	0 E+00	0 E+00
00013	Z	0,001 1	0,004 0	0,003 5	2,1359 E-05	8,4237 E-05	6,554 E-05	0,000 3	0,001 2	0,001 0	6,3805 E-06	2,5163 E-05	1,9578 E-05
00014	X	0,000 0	0,000 0	0,000 0	0 E+00	0 E+00	0 E+00	0,000 0	0,000 0	0,000 0	0 E+00	0 E+00	0 E+00
00014	Y	0,000 0	0,000 0	0,000 0	0 E+00	0 E+00	0 E+00	0,000 0	0,000 0	0,000 0	0 E+00	0 E+00	0 E+00
00014	Z	0,000 9	0,001 9	0,008 9	1,8302 E-05	1,2659 E-04	4,3853 E-05	0,000 3	0,000 6	0,002 7	5,4672 E-06	3,7814 E-05	1,31 E-05
00015	X	0,000 0	0,000 0	0,000 0	0 E+00	0 E+00	0 E+00	0,000 0	0,000 0	0,000 0	0 E+00	0 E+00	0 E+00
00015	Y	0,000 0	0,000 0	0,000 0	0 E+00	0 E+00	0 E+00	0,000 0	0,000 0	0,000 0	0 E+00	0 E+00	0 E+00
00015	Z	0,000 6	0,002 0	0,025 0	4,2431 E-06	8,8207 E-05	2,3084 E-05	0,000 2	0,000 6	0,007 5	1,2675 E-06	2,6349 E-05	6,8958 E-06
00016	X	0,000 0	0,000 0	0,000 0	0 E+00	0 E+00	0 E+00	0,000 0	0,000 0	0,000 0	0 E+00	0 E+00	0 E+00
00016	Y	0,000 0	0,000 0	0,000 0	0 E+00	0 E+00	0 E+00	0,000 0	0,000 0	0,000 0	0 E+00	0 E+00	0 E+00
00016	Z	0,000 1	0,002 6	0,030 5	9,6869 E-07	1,4043 E-05	1,0462 E-05	0,000 0	0,000 8	0,009 1	2,8937 E-07	4,1949 E-06	3,1253 E-06
00017	X	0,000 0	0,000 0	0,000 0	0 E+00	0 E+00	0 E+00	0,000 0	0,000 0	0,000 0	0 E+00	0 E+00	0 E+00
00017	Y	0,000 0	0,000 0	0,000 0	0 E+00	0 E+00	0 E+00	0,000 0	0,000 0	0,000 0	0 E+00	0 E+00	0 E+00
00017	Z	0,000 6	0,000 3	0,021 8	1,2361 E-05	1,0268 E-04	3,4177 E-05	0,000 2	0,000 1	0,006 5	3,6924 E-06	3,0674 E-05	1,0209 E-05
00018	X	0,000 0	0,000 0	0,000 0	0 E+00	0 E+00	0 E+00	0,000 0	0,000 0	0,000 0	0 E+00	0 E+00	0 E+00
00018	Y	0,000 0	0,000 0	0,000 0	0 E+00	0 E+00	0 E+00	0,000 0	0,000 0	0,000 0	0 E+00	0 E+00	0 E+00
00018	Z	0,000 6	0,003 7	0,006 1	8,4247 E-08	9,8143 E-05	2,2181 E-05	0,000 2	0,001 1	0,001 8	2,5123 E-08	2,9317 E-05	6,626 E-06
00019	X	0,000 0	0,000 0	0,000 0	0 E+00	0 E+00	0 E+00	0,000 0	0,000 0	0,000 0	0 E+00	0 E+00	0 E+00
00019	Y	0,000 0	0,000 0	0,000 0	0 E+00	0 E+00	0 E+00	0,000 0	0,000 0	0,000 0	0 E+00	0 E+00	0 E+00
00019	Z	0,000 4	0,003 3	0,001 6	2,1561 E-06	5,8554 E-05	2,2035 E-05	0,000 1	0,001 0	0,000 5	6,4409 E-07	1,7491 E-05	6,5822 E-06
00020	X	0,000 0	0,000 0	0,000 0	0 E+00	0 E+00	0 E+00	0,000 0	0,000 0	0,000 0	0 E+00	0 E+00	0 E+00
00020	Y	0,000 0	0,000 0	0,000 0	0 E+00	0 E+00	0 E+00	0,000 0	0,000 0	0,000 0	0 E+00	0 E+00	0 E+00
00020	Z	0,000 8	0,000 6	0,016 0	1,4733 E-05	1,1551 E-04	3,8896 E-05	0,000 2	0,000 2	0,004 8	4,4012 E-06	3,4504 E-05	1,1619 E-05
00021	X	0,000 0	0,000 0	0,000 0	0 E+00	0 E+00	0 E+00	0,000 0	0,000 0	0,000 0	0 E+00	0 E+00	0 E+00
00021	Y	0,000 0	0,000 0	0,000 0	0 E+00	0 E+00	0 E+00	0,000 0	0,000 0	0,000 0	0 E+00	0 E+00	0 E+00
00021	Z	0,000 3	0,003 8	0,027 8	2,2445 E-06	3,889 E-05	1,2743 E-05	0,000 1	0,001 1	0,008 3	6,705 E-07	1,1617 E-05	3,8066 E-06
00022	X	0,000 0	0,000 0	0,000 0	0 E+00	0 E+00	0 E+00	0,000 0	0,000 0	0,000 0	0 E+00	0 E+00	0 E+00
00022	Y	0,000 0	0,000 0	0,000 0	0 E+00	0 E+00	0 E+00	0,000 0	0,000 0	0,000 0	0 E+00	0 E+00	0 E+00
00022	Z	0,000 5	0,002 8	0,025 5	2,1595 E-05	6,9785 E-05	2,5577 E-05	0,000 1	0,000 8	0,007 6	6,451 E-06	2,0846 E-05	7,6402 E-06
00023	X	0,000 0	0,000 0	0,000 0	0 E+00	0 E+00	0 E+00	0,000 0	0,000 0	0,000 0	0 E+00	0 E+00	0 E+00
00023	Y	0,000 0	0,000 0	0,000 0	0 E+00	0 E+00	0 E+00	0,000 0	0,000 0	0,000 0	0 E+00	0 E+00	0 E+00

Nodi - Spostamenti per effetto del sisma													
Nodo	Dir	Stato Limite Ultimo						Stato Limite di Danno					
		Sx	Sy	Sz	θx	θy	θz	Sx	Sy	Sz	θx	θy	θz
		[cm]	[cm]	[cm]	[rad]	[rad]	[rad]	[cm]	[cm]	[cm]	[rad]	[rad]	[rad]
00023	Z	0,0008	0,0013	0,0115	3,4353 E-05	1,1478 E-04	3,7888 E-05	0,0002	0,0004	0,0034	1,0262 E-05	3,4287 E-05	1,1318 E-05
00024	X	0,0000	0,0000	0,0000	0 E+00	0 E+00	0 E+00	0,0000	0,0000	0,0000	0 E+00	0 E+00	0 E+00
00024	Y	0,0000	0,0000	0,0000	0 E+00	0 E+00	0 E+00	0,0000	0,0000	0,0000	0 E+00	0 E+00	0 E+00
00024	Z	0,0007	0,0020	0,0095	3,0234 E-05	1,0177 E-04	3,3388 E-05	0,0002	0,0006	0,0028	9,0315 E-06	3,0401 E-05	9,9738 E-06
00025	X	0,0000	0,0000	0,0000	0 E+00	0 E+00	0 E+00	0,0000	0,0000	0,0000	0 E+00	0 E+00	0 E+00
00025	Y	0,0000	0,0000	0,0000	0 E+00	0 E+00	0 E+00	0,0000	0,0000	0,0000	0 E+00	0 E+00	0 E+00
00025	Z	0,0002	0,0011	0,0221	4,7974 E-06	3,842 E-05	1,4683 E-05	0,0001	0,0003	0,0066	1,4331 E-06	1,1477 E-05	4,386 E-06
00026	X	0,0000	0,0000	0,0000	0 E+00	0 E+00	0 E+00	0,0000	0,0000	0,0000	0 E+00	0 E+00	0 E+00
00026	Y	0,0000	0,0000	0,0000	0 E+00	0 E+00	0 E+00	0,0000	0,0000	0,0000	0 E+00	0 E+00	0 E+00
00026	Z	0,0003	0,0014	0,0217	7,5039 E-06	4,4279 E-05	1,1557 E-05	0,0001	0,0004	0,0065	2,2416 E-06	1,3227 E-05	3,4523 E-06
00027	X	0,0000	0,0000	0,0000	0 E+00	0 E+00	0 E+00	0,0000	0,0000	0,0000	0 E+00	0 E+00	0 E+00
00027	Y	0,0000	0,0000	0,0000	0 E+00	0 E+00	0 E+00	0,0000	0,0000	0,0000	0 E+00	0 E+00	0 E+00
00027	Z	0,0006	0,0006	0,0111	4,26 E-05	9,3059 E-05	2,4175 E-05	0,0002	0,0002	0,0033	1,2726 E-05	2,7799 E-05	7,2216 E-06
00028	X	0,0000	0,0000	0,0000	0 E+00	0 E+00	0 E+00	0,0000	0,0000	0,0000	0 E+00	0 E+00	0 E+00
00028	Y	0,0000	0,0000	0,0000	0 E+00	0 E+00	0 E+00	0,0000	0,0000	0,0000	0 E+00	0 E+00	0 E+00
00028	Z	0,0002	0,0022	0,0006	2,5265 E-05	3,1639 E-05	1,9302 E-06	0,0001	0,0007	0,0002	7,5471 E-06	9,4513 E-06	5,7658 E-07
00029	X	0,0000	0,0000	0,0000	0 E+00	0 E+00	0 E+00	0,0000	0,0000	0,0000	0 E+00	0 E+00	0 E+00
00029	Y	0,0000	0,0000	0,0000	0 E+00	0 E+00	0 E+00	0,0000	0,0000	0,0000	0 E+00	0 E+00	0 E+00
00029	Z	0,0007	0,0003	0,0077	2,2398 E-06	1,0965 E-04	3,6307 E-05	0,0002	0,0001	0,0023	6,6906 E-07	3,2754 E-05	1,0846 E-05
00030	X	0,0000	0,0000	0,0000	0 E+00	0 E+00	0 E+00	0,0000	0,0000	0,0000	0 E+00	0 E+00	0 E+00
00030	Y	0,0000	0,0000	0,0000	0 E+00	0 E+00	0 E+00	0,0000	0,0000	0,0000	0 E+00	0 E+00	0 E+00
00030	Z	0,0006	0,0042	0,0240	2,9122 E-05	1,0149 E-04	3,8164 E-05	0,0002	0,0013	0,0072	8,6994 E-06	3,0316 E-05	1,14 E-05
00031	X	0,0000	0,0000	0,0000	0 E+00	0 E+00	0 E+00	0,0000	0,0000	0,0000	0 E+00	0 E+00	0 E+00
00031	Y	0,0000	0,0000	0,0000	0 E+00	0 E+00	0 E+00	0,0000	0,0000	0,0000	0 E+00	0 E+00	0 E+00
00031	Z	0,0000	0,0071	0,0322	3,7081 E-05	8,2164 E-06	7,5465 E-06	0,0000	0,0021	0,0096	1,1077 E-05	2,4544 E-06	2,2543 E-06
00032	X	0,0000	0,0000	0,0000	0 E+00	0 E+00	0 E+00	0,0000	0,0000	0,0000	0 E+00	0 E+00	0 E+00
00032	Y	0,0000	0,0000	0,0000	0 E+00	0 E+00	0 E+00	0,0000	0,0000	0,0000	0 E+00	0 E+00	0 E+00
00032	Z	0,0007	0,0058	0,0259	2,0567 E-05	9,3979 E-05	3,0427 E-05	0,0002	0,0017	0,0077	6,1438 E-06	2,8073 E-05	9,0893 E-06
00033	X	0,0000	0,0000	0,0000	0 E+00	0 E+00	0 E+00	0,0000	0,0000	0,0000	0 E+00	0 E+00	0 E+00
00033	Y	0,0000	0,0000	0,0000	0 E+00	0 E+00	0 E+00	0,0000	0,0000	0,0000	0 E+00	0 E+00	0 E+00
00033	Z	0,0010	0,0009	0,0090	4,3409 E-07	1,3042 E-04	5,1745 E-05	0,0003	0,0003	0,0027	1,2972 E-07	3,8958 E-05	1,5457 E-05
00034	X	0,0000	0,0000	0,0000	0 E+00	0 E+00	0 E+00	0,0000	0,0000	0,0000	0 E+00	0 E+00	0 E+00
00034	Y	0,0000	0,0000	0,0000	0 E+00	0 E+00	0 E+00	0,0000	0,0000	0,0000	0 E+00	0 E+00	0 E+00
00034	Z	0,0011	0,0128	0,0337	6,6796 E-05	6,4191 E-05	6,3081 E-05	0,0003	0,0038	0,0101	1,9953 E-05	1,9175 E-05	1,8844 E-05
00035	X	0,0000	0,0000	0,0000	0 E+00	0 E+00	0 E+00	0,0000	0,0000	0,0000	0 E+00	0 E+00	0 E+00
00035	Y	0,0000	0,0000	0,0000	0 E+00	0 E+00	0 E+00	0,0000	0,0000	0,0000	0 E+00	0 E+00	0 E+00
00035	Z	0,0011	0,0036	0,0119	2,8902 E-05	9,3553 E-05	9,003 E-05	0,0003	0,0011	0,0036	8,6337 E-06	2,7946 E-05	2,6894 E-05
00036	X	0,0000	0,0000	0,0000	0 E+00	0 E+00	0 E+00	0,0000	0,0000	0,0000	0 E+00	0 E+00	0 E+00
00036	Y	0,0000	0,0000	0,0000	0 E+00	0 E+00	0 E+00	0,0000	0,0000	0,0000	0 E+00	0 E+00	0 E+00

Nodi - Spostamenti per effetto del sisma													
Nodo	Dir	Stato Limite Ultimo						Stato Limite di Danno					
		Sx [cm]	Sy [cm]	Sz [cm]	θx [rad]	θy [rad]	θz [rad]	Sx [cm]	Sy [cm]	Sz [cm]	θx [rad]	θy [rad]	θz [rad]
00036	Z	0,000 9	0,016 3	0,042 6	8,3266 E-05	3,2378 E-06	1,1478 E-05	0,000 3	0,004 9	0,012 7	2,4873 E-05	9,672 E-07	3,4287 E-06
00037	X	0,000 0	0,000 0	0,000 0	0 E+00	0 E+00	0 E+00	0,000 0	0,000 0	0,000 0	0 E+00	0 E+00	0 E+00
00037	Y	0,000 0	0,000 0	0,000 0	0 E+00	0 E+00	0 E+00	0,000 0	0,000 0	0,000 0	0 E+00	0 E+00	0 E+00
00037	Z	0,000 8	0,012 8	0,033 7	8,0537 E-05	6,1694 E-05	7,8801 E-05	0,000 2	0,003 8	0,010 1	2,4058 E-05	1,8429 E-05	2,3539 E-05
00038	X	0,000 0	0,000 0	0,000 0	0 E+00	0 E+00	0 E+00	0,000 0	0,000 0	0,000 0	0 E+00	0 E+00	0 E+00
00038	Y	0,000 0	0,000 0	0,000 0	0 E+00	0 E+00	0 E+00	0,000 0	0,000 0	0,000 0	0 E+00	0 E+00	0 E+00
00038	Z	0,000 7	0,005 4	0,013 9	6,0852 E-05	6,4674 E-05	8,4781 E-05	0,000 2	0,001 6	0,004 2	1,8178 E-05	1,9319 E-05	2,5326 E-05
00039	X	0,000 0	0,000 0	0,000 0	0 E+00	0 E+00	0 E+00	0,000 0	0,000 0	0,000 0	0 E+00	0 E+00	0 E+00
00039	Y	0,000 0	0,000 0	0,000 0	0 E+00	0 E+00	0 E+00	0,000 0	0,000 0	0,000 0	0 E+00	0 E+00	0 E+00
00039	Z	0,000 7	0,002 7	0,000 1	6,0568 E-06	1,3294 E-05	1,4525 E-05	0,000 2	0,000 8	0,000 0	1,8092 E-06	3,9712 E-06	4,3389 E-06
00040	X	0,000 0	0,000 0	0,000 0	0 E+00	0 E+00	0 E+00	0,000 0	0,000 0	0,000 0	0 E+00	0 E+00	0 E+00
00040	Y	0,000 0	0,000 0	0,000 0	0 E+00	0 E+00	0 E+00	0,000 0	0,000 0	0,000 0	0 E+00	0 E+00	0 E+00
00040	Z	0,000 7	0,003 0	0,008 3	6,3041 E-06	5,5766 E-05	6,2226 E-05	0,000 2	0,000 9	0,002 5	1,8831 E-06	1,6658 E-05	1,8588 E-05
00041	X	0,000 0	0,000 0	0,000 0	0 E+00	0 E+00	0 E+00	0,000 0	0,000 0	0,000 0	0 E+00	0 E+00	0 E+00
00041	Y	0,000 0	0,000 0	0,000 0	0 E+00	0 E+00	0 E+00	0,000 0	0,000 0	0,000 0	0 E+00	0 E+00	0 E+00
00041	Z	0,000 6	0,004 2	0,024 7	3,3455 E-05	3,0213 E-05	2,9778 E-05	0,000 2	0,001 2	0,007 4	9,9937 E-06	9,0251 E-06	8,8954 E-06
00042	X	0,000 0	0,000 0	0,000 0	0 E+00	0 E+00	0 E+00	0,000 0	0,000 0	0,000 0	0 E+00	0 E+00	0 E+00
00042	Y	0,000 0	0,000 0	0,000 0	0 E+00	0 E+00	0 E+00	0,000 0	0,000 0	0,000 0	0 E+00	0 E+00	0 E+00
00042	Z	0,000 5	0,006 8	0,028 4	5,8906 E-05	2,0294 E-05	2,9039 E-05	0,000 1	0,002 0	0,008 5	1,7597 E-05	6,0624 E-06	8,6746 E-06
00043	X	0,000 0	0,000 0	0,000 0	0 E+00	0 E+00	0 E+00	0,000 0	0,000 0	0,000 0	0 E+00	0 E+00	0 E+00
00043	Y	0,000 0	0,000 0	0,000 0	0 E+00	0 E+00	0 E+00	0,000 0	0,000 0	0,000 0	0 E+00	0 E+00	0 E+00
00043	Z	0,000 4	0,007 9	0,020 5	9,2805 E-05	5,8507 E-05	7,4696 E-05	0,000 1	0,002 3	0,006 1	2,7723 E-05	1,7477 E-05	2,2313 E-05
00044	X	0,000 0	0,000 0	0,000 0	0 E+00	0 E+00	0 E+00	0,000 0	0,000 0	0,000 0	0 E+00	0 E+00	0 E+00
00044	Y	0,000 0	0,000 0	0,000 0	0 E+00	0 E+00	0 E+00	0,000 0	0,000 0	0,000 0	0 E+00	0 E+00	0 E+00
00044	Z	0,000 5	0,003 4	0,008 2	6,6504 E-05	7,3218 E-06	3,0795 E-06	0,000 1	0,001 0	0,002 4	1,9866 E-05	2,1872 E-06	9,1991 E-07
00045	X	0,000 0	0,000 0	0,000 0	0 E+00	0 E+00	0 E+00	0,000 0	0,000 0	0,000 0	0 E+00	0 E+00	0 E+00
00045	Y	0,000 0	0,000 0	0,000 0	0 E+00	0 E+00	0 E+00	0,000 0	0,000 0	0,000 0	0 E+00	0 E+00	0 E+00
00045	Z	0,000 5	0,008 6	0,022 5	9,112 E-05	7,1215 E-05	8,0043 E-05	0,000 1	0,002 6	0,006 7	2,722 E-05	2,1273 E-05	2,391 E-05
00046	X	0,000 0	0,000 0	0,000 0	0 E+00	0 E+00	0 E+00	0,000 0	0,000 0	0,000 0	0 E+00	0 E+00	0 E+00
00046	Y	0,000 0	0,000 0	0,000 0	0 E+00	0 E+00	0 E+00	0,000 0	0,000 0	0,000 0	0 E+00	0 E+00	0 E+00
00046	Z	0,000 3	0,009 6	0,033 1	6,2785 E-05	4,3748 E-05	4,7183 E-05	0,000 1	0,002 9	0,009 9	1,8755 E-05	1,3069 E-05	1,4094 E-05
00047	X	0,000 0	0,000 0	0,000 0	0 E+00	0 E+00	0 E+00	0,000 0	0,000 0	0,000 0	0 E+00	0 E+00	0 E+00
00047	Y	0,000 0	0,000 0	0,000 0	0 E+00	0 E+00	0 E+00	0,000 0	0,000 0	0,000 0	0 E+00	0 E+00	0 E+00
00047	Z	0,000 1	0,007 2	0,031 5	3,7433 E-05	2,3632 E-05	2,9376 E-05	0,000 0	0,002 1	0,009 4	1,1182 E-05	7,0595 E-06	8,7753 E-06
00048	X	0,000 0	0,000 0	0,000 0	0 E+00	0 E+00	0 E+00	0,000 0	0,000 0	0,000 0	0 E+00	0 E+00	0 E+00
00048	Y	0,000 0	0,000 0	0,000 0	0 E+00	0 E+00	0 E+00	0,000 0	0,000 0	0,000 0	0 E+00	0 E+00	0 E+00
00048	Z	0,000 0	0,004 1	0,019 8	4,4513 E-05	6,9831 E-05	8,2614 E-05	0,000 0	0,001 2	0,005 9	1,3297 E-05	2,086 E-05	2,4679 E-05
00049	X	0,000 0	0,000 0	0,000 0	0 E+00	0 E+00	0 E+00	0,000 0	0,000 0	0,000 0	0 E+00	0 E+00	0 E+00

Nodi - Spostamenti per effetto del sisma													
Nodo	Dir	Stato Limite Ultimo						Stato Limite di Danno					
		S _x [cm]	S _y [cm]	S _z [cm]	Θ _x [rad]	Θ _y [rad]	Θ _z [rad]	S _x [cm]	S _y [cm]	S _z [cm]	Θ _x [rad]	Θ _y [rad]	Θ _z [rad]
00049	Y	0,000 0	0,000 0	0,000 0	0 E+00	0 E+00	0 E+00	0,000 0	0,000 0	0,000 0	0 E+00	0 E+00	0 E+00
00049	Z	0,000 0	0,001 0	0,006 4	4,7914 E-05	3,7238 E-05	4,2212 E-05	0,000 0	0,000 3	0,001 9	1,4313 E-05	1,1124 E-05	1,2609 E-05
00050	X	0,000 0	0,000 0	0,000 0	0 E+00	0 E+00	0 E+00	0,000 0	0,000 0	0,000 0	0 E+00	0 E+00	0 E+00
00050	Y	0,000 0	0,000 0	0,000 0	0 E+00	0 E+00	0 E+00	0,000 0	0,000 0	0,000 0	0 E+00	0 E+00	0 E+00
00050	Z	0,000 0	0,000 4	0,009 6	3,5146 E-05	5,0872 E-05	6,8524 E-05	0,000 0	0,000 1	0,002 9	1,0499 E-05	1,5197 E-05	2,047 E-05
00051	X	0,000 0	0,000 0	0,000 0	0 E+00	0 E+00	0 E+00	0,000 0	0,000 0	0,000 0	0 E+00	0 E+00	0 E+00
00051	Y	0,000 0	0,000 0	0,000 0	0 E+00	0 E+00	0 E+00	0,000 0	0,000 0	0,000 0	0 E+00	0 E+00	0 E+00
00051	Z	0,000 1	0,005 4	0,028 2	5,6389 E-05	6,1507 E-05	7,3911 E-05	0,000 0	0,001 6	0,008 4	1,6845 E-05	1,8373 E-05	2,2079 E-05
00052	X	0,000 0	0,000 0	0,000 0	0 E+00	0 E+00	0 E+00	0,000 0	0,000 0	0,000 0	0 E+00	0 E+00	0 E+00
00052	Y	0,000 0	0,000 0	0,000 0	0 E+00	0 E+00	0 E+00	0,000 0	0,000 0	0,000 0	0 E+00	0 E+00	0 E+00
00052	Z	0,000 2	0,005 4	0,033 5	2,9354 E-05	1,1121 E-05	1,188 E-05	0,000 1	0,001 6	0,010 0	8,7685 E-06	3,3219 E-06	3,5488 E-06
00053	X	0,000 0	0,000 0	0,000 0	0 E+00	0 E+00	0 E+00	0,000 0	0,000 0	0,000 0	0 E+00	0 E+00	0 E+00
00053	Y	0,000 0	0,000 0	0,000 0	0 E+00	0 E+00	0 E+00	0,000 0	0,000 0	0,000 0	0 E+00	0 E+00	0 E+00
00053	Z	0,000 4	0,005 2	0,028 6	3,3282 E-05	4,9055 E-05	5,8445 E-05	0,000 1	0,001 6	0,008 5	9,9422 E-06	1,4654 E-05	1,7459 E-05
00054	X	0,000 0	0,000 0	0,000 0	0 E+00	0 E+00	0 E+00	0,000 0	0,000 0	0,000 0	0 E+00	0 E+00	0 E+00
00054	Y	0,000 0	0,000 0	0,000 0	0 E+00	0 E+00	0 E+00	0,000 0	0,000 0	0,000 0	0 E+00	0 E+00	0 E+00
00054	Z	0,000 4	0,005 3	0,017 1	7,0953 E-05	8,0497 E-05	8,8097 E-05	0,000 1	0,001 6	0,005 1	2,1195 E-05	2,4046 E-05	2,6316 E-05
00055	X	0,000 0	0,000 0	0,000 0	0 E+00	0 E+00	0 E+00	0,000 0	0,000 0	0,000 0	0 E+00	0 E+00	0 E+00
00055	Y	0,000 0	0,000 0	0,000 0	0 E+00	0 E+00	0 E+00	0,000 0	0,000 0	0,000 0	0 E+00	0 E+00	0 E+00
00055	Z	0,000 8	0,008 0	0,028 7	3,5495 E-05	5,7934 E-05	7,0536 E-05	0,000 2	0,002 4	0,008 6	1,0603 E-05	1,7306 E-05	2,107 E-05
00056	X	0,000 0	0,000 0	0,000 0	0 E+00	0 E+00	0 E+00	0,000 0	0,000 0	0,000 0	0 E+00	0 E+00	0 E+00
00056	Y	0,000 0	0,000 0	0,000 0	0 E+00	0 E+00	0 E+00	0,000 0	0,000 0	0,000 0	0 E+00	0 E+00	0 E+00
00056	Z	0,000 9	0,005 0	0,014 1	4,633 E-05	9,1427 E-05	1,0465 E-04	0,000 3	0,001 5	0,004 2	1,384 E-05	2,7311 E-05	3,1262 E-05
00057	X	0,000 0	0,000 0	0,000 0	0 E+00	0 E+00	0 E+00	0,000 0	0,000 0	0,000 0	0 E+00	0 E+00	0 E+00
00057	Y	0,000 0	0,000 0	0,000 0	0 E+00	0 E+00	0 E+00	0,000 0	0,000 0	0,000 0	0 E+00	0 E+00	0 E+00
00057	Z	0,000 7	0,006 6	0,031 8	1,3969 E-05	7,2032 E-06	1,1671 E-05	0,000 2	0,002 0	0,009 5	4,173 E-06	2,1518 E-06	3,4865 E-06
00058	X	0,000 0	0,000 0	0,000 0	0 E+00	0 E+00	0 E+00	0,000 0	0,000 0	0,000 0	0 E+00	0 E+00	0 E+00
00058	Y	0,000 0	0,000 0	0,000 0	0 E+00	0 E+00	0 E+00	0,000 0	0,000 0	0,000 0	0 E+00	0 E+00	0 E+00
00058	Z	0,000 5	0,005 3	0,025 6	2,816 E-05	5,9102 E-05	8,2211 E-05	0,000 1	0,001 6	0,007 6	8,4121 E-06	1,7655 E-05	2,4558 E-05
00059	X	0,000 0	0,000 0	0,000 0	0 E+00	0 E+00	0 E+00	0,000 0	0,000 0	0,000 0	0 E+00	0 E+00	0 E+00
00059	Y	0,000 0	0,000 0	0,000 0	0 E+00	0 E+00	0 E+00	0,000 0	0,000 0	0,000 0	0 E+00	0 E+00	0 E+00
00059	Z	0,000 4	0,006 0	0,015 5	7,2649 E-05	6,0535 E-05	8,7295 E-05	0,000 1	0,001 8	0,004 6	2,1702 E-05	1,8083 E-05	2,6077 E-05
00060	X	0,000 0	0,000 0	0,000 0	0 E+00	0 E+00	0 E+00	0,000 0	0,000 0	0,000 0	0 E+00	0 E+00	0 E+00
00060	Y	0,000 0	0,000 0	0,000 0	0 E+00	0 E+00	0 E+00	0,000 0	0,000 0	0,000 0	0 E+00	0 E+00	0 E+00
00060	Z	0,000 5	0,006 8	0,011 6	8,9589 E-05	2,0562 E-05	2,685 E-05	0,000 1	0,002 0	0,003 5	2,6762 E-05	6,1424 E-06	8,0207 E-06
00061	X	0,000 0	0,000 0	0,000 0	0 E+00	0 E+00	0 E+00	0,000 0	0,000 0	0,000 0	0 E+00	0 E+00	0 E+00
00061	Y	0,000 0	0,000 0	0,000 0	0 E+00	0 E+00	0 E+00	0,000 0	0,000 0	0,000 0	0 E+00	0 E+00	0 E+00
00061	Z	0,000 4	0,010 3	0,024 3	1,0129 E-04	5,2643 E-05	7,1699 E-05	0,000 1	0,003 1	0,007 3	3,0257 E-05	1,5726 E-05	2,1418 E-05
00062	X	0,000	0,000	0,000	0 E+00	0 E+00	0 E+00	0,000	0,000	0,000	0 E+00	0 E+00	0 E+00

Nodi - Spostamenti per effetto del sisma													
Nodo	Dir	Stato Limite Ultimo						Stato Limite di Danno					
		Sx [cm]	Sy [cm]	Sz [cm]	Θx [rad]	Θy [rad]	Θz [rad]	Sx [cm]	Sy [cm]	Sz [cm]	Θx [rad]	Θy [rad]	Θz [rad]
00062	Y	0,000	0,000	0,000	0 E+00	0 E+00	0 E+00	0,000	0,000	0,000	0 E+00	0 E+00	0 E+00
00062	Z	0,000	0,006	0,027	5,2252 E-05	2,1691 E-05	3,0471 E-05	0,000	0,001	0,008	1,5609 E-05	6,4797 E-06	9,1023 E-06
00063	X	0,000	0,000	0,000	0 E+00	0 E+00	0 E+00	0,000	0,000	0,000	0 E+00	0 E+00	0 E+00
00063	Y	0,000	0,000	0,000	0 E+00	0 E+00	0 E+00	0,000	0,000	0,000	0 E+00	0 E+00	0 E+00
00063	Z	0,000	0,006	0,028	6,1326 E-05	2,9782 E-05	3,6806 E-05	0,000	0,001	0,008	1,8319 E-05	8,8966 E-06	1,0995 E-05
00064	X	0,000	0,000	0,000	0 E+00	0 E+00	0 E+00	0,000	0,000	0,000	0 E+00	0 E+00	0 E+00
00064	Y	0,000	0,000	0,000	0 E+00	0 E+00	0 E+00	0,000	0,000	0,000	0 E+00	0 E+00	0 E+00
00064	Z	0,000	0,000	0,011	3,3982 E-05	7,0714 E-05	9,0235 E-05	0,000	0,000	0,003	1,0151 E-05	2,1124 E-05	2,6955 E-05
00065	X	0,000	0,000	0,000	0 E+00	0 E+00	0 E+00	0,000	0,000	0,000	0 E+00	0 E+00	0 E+00
00065	Y	0,000	0,000	0,000	0 E+00	0 E+00	0 E+00	0,000	0,000	0,000	0 E+00	0 E+00	0 E+00
00065	Z	0,000	0,003	0,000	1,2827 E-05	3,9572 E-06	4,7157 E-06	0,000	0,001	0,000	3,8316 E-06	1,1821 E-06	1,4087 E-06
00066	X	0,000	0,000	0,000	0 E+00	0 E+00	0 E+00	0,000	0,000	0,000	0 E+00	0 E+00	0 E+00
00066	Y	0,000	0,000	0,000	0 E+00	0 E+00	0 E+00	0,000	0,000	0,000	0 E+00	0 E+00	0 E+00
00066	Z	0,000	0,001	0,012	2,1532 E-05	7,5073 E-05	9,7239 E-05	0,000	0,000	0,003	6,4319 E-06	2,2426 E-05	2,9047 E-05
00067	X	0,000	0,000	0,000	0 E+00	0 E+00	0 E+00	0,000	0,000	0,000	0 E+00	0 E+00	0 E+00
00067	Y	0,000	0,000	0,000	0 E+00	0 E+00	0 E+00	0,000	0,000	0,000	0 E+00	0 E+00	0 E+00
00067	Z	0,000	0,004	0,027	2,8394 E-05	5,0991 E-05	6,3253 E-05	0,000	0,001	0,008	8,4818 E-06	1,5232 E-05	1,8895 E-05
00068	X	0,000	0,000	0,000	0 E+00	0 E+00	0 E+00	0,000	0,000	0,000	0 E+00	0 E+00	0 E+00
00068	Y	0,000	0,000	0,000	0 E+00	0 E+00	0 E+00	0,000	0,000	0,000	0 E+00	0 E+00	0 E+00
00068	Z	0,000	0,009	0,034	5,8356 E-05	1,8165 E-05	2,4987 E-05	0,000	0,002	0,010	1,7432 E-05	5,4264 E-06	7,464 E-06
00069	X	0,000	0,000	0,000	0 E+00	0 E+00	0 E+00	0,000	0,000	0,000	0 E+00	0 E+00	0 E+00
00069	Y	0,000	0,000	0,000	0 E+00	0 E+00	0 E+00	0,000	0,000	0,000	0 E+00	0 E+00	0 E+00
00069	Z	0,000	0,009	0,026	9,1417 E-05	7,496 E-05	9,3934 E-05	0,000	0,002	0,008	2,7308 E-05	2,2392 E-05	2,806 E-05
00070	X	0,000	0,000	0,000	0 E+00	0 E+00	0 E+00	0,000	0,000	0,000	0 E+00	0 E+00	0 E+00
00070	Y	0,000	0,000	0,000	0 E+00	0 E+00	0 E+00	0,000	0,000	0,000	0 E+00	0 E+00	0 E+00
00070	Z	0,000	0,003	0,009	7,2251 E-05	4,4788 E-05	5,0266 E-05	0,000	0,000	0,002	2,1583 E-05	1,3379 E-05	1,5016 E-05
00071	X	0,000	0,000	0,000	0 E+00	0 E+00	0 E+00	0,000	0,000	0,000	0 E+00	0 E+00	0 E+00
00071	Y	0,000	0,000	0,000	0 E+00	0 E+00	0 E+00	0,000	0,000	0,000	0 E+00	0 E+00	0 E+00
00071	Z	0,000	0,000	0,011	5,0766 E-05	5,0607 E-05	8,0059 E-05	0,000	0,000	0,003	1,5165 E-05	1,5117 E-05	2,3915 E-05
00072	X	0,000	0,000	0,000	0 E+00	0 E+00	0 E+00	0,000	0,000	0,000	0 E+00	0 E+00	0 E+00
00072	Y	0,000	0,000	0,000	0 E+00	0 E+00	0 E+00	0,000	0,000	0,000	0 E+00	0 E+00	0 E+00
00072	Z	0,000	0,002	0,025	3,57 E-05	6,3554 E-05	8,8244 E-05	0,000	0,000	0,007	1,0664 E-05	1,8985 E-05	2,636 E-05
00073	X	0,000	0,000	0,000	0 E+00	0 E+00	0 E+00	0,000	0,000	0,000	0 E+00	0 E+00	0 E+00
00073	Y	0,000	0,000	0,000	0 E+00	0 E+00	0 E+00	0,000	0,000	0,000	0 E+00	0 E+00	0 E+00
00073	Z	0,000	0,006	0,035	4,4358 E-05	1,0962 E-05	1,6495 E-05	0,000	0,001	0,010	1,3251 E-05	3,2745 E-06	4,9274 E-06
00074	X	0,000	0,000	0,000	0 E+00	0 E+00	0 E+00	0,000	0,000	0,000	0 E+00	0 E+00	0 E+00
00074	Y	0,000	0,000	0,000	0 E+00	0 E+00	0 E+00	0,000	0,000	0,000	0 E+00	0 E+00	0 E+00
00074	Z	0,000	0,005	0,029	3,888 E-05	5,7387 E-05	7,0079 E-05	0,000	0,001	0,008	1,1614 E-05	1,7143 E-05	2,0934 E-05

Nodi - Spostamenti per effetto del sisma													
Nodo	Dir	Stato Limite Ultimo						Stato Limite di Danno					
		S _x [cm]	S _y [cm]	S _z [cm]	Θ _x [rad]	Θ _y [rad]	Θ _z [rad]	S _x [cm]	S _y [cm]	S _z [cm]	Θ _x [rad]	Θ _y [rad]	Θ _z [rad]
00075	X	0,000 0	0,000 0	0,000 0	0 E+00	0 E+00	0 E+00	0,000 0	0,000 0	0,000 0	0 E+00	0 E+00	0 E+00
00075	Y	0,000 0	0,000 0	0,000 0	0 E+00	0 E+00	0 E+00	0,000 0	0,000 0	0,000 0	0 E+00	0 E+00	0 E+00
00075	Z	0,001 0	0,000 6	0,012 1	3,8235 E-05	8,4516 E-05	1,0008 E-04	0,000 3	0,000 2	0,003 6	1,1422 E-05	2,5247 E-05	2,9894 E-05
00076	X	0,000 0	0,000 0	0,000 0	0 E+00	0 E+00	0 E+00	0,000 0	0,000 0	0,000 0	0 E+00	0 E+00	0 E+00
00076	Y	0,000 0	0,000 0	0,000 0	0 E+00	0 E+00	0 E+00	0,000 0	0,000 0	0,000 0	0 E+00	0 E+00	0 E+00
00076	Z	0,000 1	0,004 9	0,000 2	2,0225 E-05	9,6721 E-05	4,402 E-05	0,000 0	0,001 5	0,000 0	6,0417 E-06	2,8892 E-05	1,315 E-05
00077	X	0,000 0	0,000 0	0,000 0	0 E+00	0 E+00	0 E+00	0,000 0	0,000 0	0,000 0	0 E+00	0 E+00	0 E+00
00077	Y	0,000 0	0,000 0	0,000 0	0 E+00	0 E+00	0 E+00	0,000 0	0,000 0	0,000 0	0 E+00	0 E+00	0 E+00
00077	Z	0,000 1	0,002 7	0,000 1	1,0814 E-05	1,0008 E-04	5,1062 E-05	0,000 0	0,000 8	0,000 0	3,2305 E-06	2,9897 E-05	1,5253 E-05
00078	X	0,000 0	0,000 0	0,000 0	0 E+00	0 E+00	0 E+00	0,000 0	0,000 0	0,000 0	0 E+00	0 E+00	0 E+00
00078	Y	0,000 0	0,000 0	0,000 0	0 E+00	0 E+00	0 E+00	0,000 0	0,000 0	0,000 0	0 E+00	0 E+00	0 E+00
00078	Z	0,000 0	0,004 0	0,000 3	1,5416 E-05	4,6235 E-06	1,2268 E-05	0,000 0	0,001 2	0,000 1	4,6051 E-06	1,3811 E-06	3,6647 E-06

LEGENDA:

Dir Direzione del sisma.
S_x, S_y, S_z, Θ_x, Θ_y, Θ_z Le componenti dello spostamento sono relative al sistema di riferimento globale X, Y, Z.

TRAVI - SOLLECITAZIONI PER CONDIZIONI DI CARICO NON SISMICHE

Travi - Sollecitazioni per condizioni di carico non sismiche														
Id _{Tr}	CC	Estr. Inz.						Estr. Fin.						
		M ₁ [N-m]	M ₂ [N-m]	M ₃ [N-m]	N [N]	T ₂ [N]	T ₃ [N]	M ₁ [N-m]	M ₂ [N-m]	M ₃ [N-m]	N [N]	T ₂ [N]	T ₃ [N]	
Piano Terra														
Travata: Piano Terra														
Trave Acciaio 5-45a	001	-83	-630	314	-50	582	1.014	-83	-50	-20	-50	529	921	
	002	-476	-545	130	-85	332	596	-476	-192	-67	-85	324	583	
	003	14	-60	-193	6	-256	-87	14	-112	-39	6	-256	-87	
	004	14	-76	-199	20	-256	-87	14	-128	-46	20	-256	-87	
	005	14	-68	-196	13	-256	-87	14	-120	-42	13	-256	-87	
	006	7	36	105	-7	136	46	7	63	23	-7	136	46	
Trave Acciaio 34a-3	001	-104	777	353	775	-1.809	-3.120	-104	-3.500	2.833	775	-1.927	-3.324	
	002	-133	1.279	204	1.232	-2.649	-4.592	-133	-4.856	3.744	1.232	-2.685	-4.652	
	003	-18	6	-26	-102	532	172	-18	235	-732	-102	532	172	
	004	-18	21	-48	-129	539	187	-18	270	-764	-129	539	187	
	005	-18	14	-37	-115	536	180	-18	252	-748	-115	536	180	
	006	-11	-7	19	62	-288	-96	-11	-134	401	62	-288	-96	
Trave Acciaio 39a-4	001	-475	-1.855	2.450	724	-2.380	-4.051	-475	-3.338	3.321	724	-2.413	-4.107	
	002	-1.414	-2.296	3.220	945	-3.099	-5.191	-1.414	-4.186	4.348	945	-3.108	-5.205	
	003	-32	186	-584	-102	735	258	-32	280	-851	-102	735	258	
	004	-32	227	-602	-145	742	272	-32	326	-872	-145	742	272	
	005	-32	206	-593	-123	739	265	-32	303	-862	-123	739	265	
	006	-20	-109	317	66	-394	-141	-20	-161	460	66	-394	-141	
Trave Acciaio 24a-67a	001	-3	-32	475	-401	456	13	-3	-4	0	-11	8	13	
	002	-4	-11	505	-420	476	2	-4	-6	0	-12	8	2	
	003	1	83	-132	-2	-130	-43	1	-2	0	-2	1	-40	
	004	1	68	-132	-2	-130	-33	1	-1	0	-2	0	-36	
	005	1	76	-132	-2	-130	-38	1	-2	0	-2	1	-38	
	006	0	-40	77	1	75	20	0	1	0	1	0	20	
Trave Acciaio 22a-24a	001	1	2	0	7	-2	-40	1	-80	494	397	-469	-40	
	002	3	2	0	8	-2	-78	3	-161	533	426	-500	-78	
	003	0	0	0	1	1	-27	0	-53	-148	1	138	-23	
	004	0	0	0	1	1	-22	0	-50	-148	1	138	-26	
	005	0	0	0	1	1	-25	0	-51	-148	1	138	-25	
	006	0	0	0	0	0	13	0	27	71	0	-67	13	
Trave Acciaio 45a-68a	001	2	27	346	-295	334	-11	2	4	0	-10	7	-11	
	002	3	-11	10	-10	5	8	3	6	0	-10	5	8	
	003	-1	-68	-132	-2	-130	33	-1	1	0	-2	0	36	
	004	-1	-83	-132	-2	-130	43	-1	2	0	-2	1	40	
	005	-1	-76	-132	-2	-130	38	-1	2	0	-2	1	38	

Travi - Sollecitazioni per condizioni di carico non sismiche

Id _{Tr}	CC	Estr. Inz.						Estr. Fin.					
		M ₁	M ₂	M ₃	N	T ₂	T ₃	M ₁	M ₂	M ₃	N	T ₂	T ₃
		[N-m]	[N-m]	[N-m]	[N]	[N]	[N]	[N-m]	[N-m]	[N-m]	[N]	[N]	[N]
	006	0	40	77	1	75	-20	0	-1	0	1	0	-20
Trave Acciaio 23a-45a	001	-3	-2	0	7	-6	40	-3	81	501	397	-472	40
	002	-2	-2	0	9	-2	94	-2	193	533	427	-499	94
	003	0	0	0	1	1	22	0	51	-148	1	138	26
	004	0	0	0	1	1	27	0	53	-148	1	138	23
	005	0	0	0	1	1	25	0	52	-148	1	138	25
	006	0	0	0	0	0	-13	0	-27	71	0	-67	-13
Trave Acciaio 25a-46a	001	3	509	611	-514	582	-257	3	-13	0	-19	13	-257
	002	3	753	992	-833	943	-379	3	-19	0	-18	7	-379
	003	0	78	-133	1	-130	-41	0	-3	0	1	0	-38
	004	0	70	-133	1	-130	-34	0	-2	0	1	0	-37
	005	0	74	-133	1	-130	-38	0	-2	0	1	0	-38
	006	0	-39	77	0	75	20	0	1	0	0	0	20
Trave Acciaio 1-25a	001	132	-2.614	1.474	969	2.028	3.779	132	94	23	969	1.963	3.667
	002	198	-3.738	2.039	1.487	2.923	5.492	198	243	-79	1.487	2.903	5.459
	003	33	273	-404	-178	-604	-188	33	137	36	-178	-604	-188
	004	33	223	-359	-135	-594	-170	33	99	73	-135	-594	-170
	005	33	248	-381	-157	-599	-179	33	118	54	-157	-599	-179
	006	10	-132	203	83	320	96	10	-62	-29	83	320	96
Trave Acciaio 1a-25a	001	0	5	0	12	-10	-303	0	-630	653	513	-608	-303
	002	1	7	0	10	-2	-449	1	-933	1.071	850	-1.001	-449
	003	-1	1	0	0	1	-22	-1	-41	-148	0	138	-18
	004	-1	1	0	0	1	-20	-1	-46	-148	0	138	-24
	005	-1	1	0	0	1	-21	-1	-44	-148	0	138	-21
	006	-1	0	0	0	0	11	-1	23	72	0	-68	11
Trave Acciaio 26a-47a	001	3	450	603	-496	578	-228	3	-13	0	-1	9	-228
	002	3	655	984	-808	939	-331	3	-19	0	7	3	-331
	003	0	43	-133	1	-130	-23	0	-2	0	1	0	-20
	004	0	41	-133	1	-130	-19	0	-2	0	1	0	-22
	005	0	42	-133	1	-130	-21	0	-2	0	1	0	-21
	006	0	-22	76	0	75	11	0	1	0	0	0	11
Trave Acciaio 25a-26a	001	66	-981	-351	921	1.180	2.304	66	1.941	-1.838	921	1.062	2.100
	002	102	-1.348	-635	1.416	1.626	3.227	102	2.897	-2.769	1.416	1.591	3.168
	003	19	24	-5	-155	-349	-98	19	-106	458	-155	-349	-98
	004	19	-10	35	-125	-339	-80	19	-116	485	-125	-339	-80
	005	19	7	15	-140	-344	-89	19	-111	471	-140	-344	-89
	006	4	-4	-8	74	183	48	4	60	-252	74	183	48
Trave Acciaio 2a-26a	001	0	4	0	7	-15	-253	0	-526	663	507	-613	-253
	002	-1	7	0	2	-12	-370	-1	-767	1.093	842	-1.012	-370
	003	-2	0	0	0	-1	-10	-2	-16	-143	0	136	-6
	004	-2	0	0	0	-1	-12	-2	-28	-143	0	136	-16
	005	-2	0	0	0	-1	-11	-2	-22	-143	0	136	-11
	006	0	0	0	0	0	5	0	11	72	0	-68	5
Trave Acciaio 27a-48a	001	0	-22	603	-492	578	11	0	1	0	4	9	11
	002	-1	-39	990	-804	942	20	-1	1	0	15	2	20
	003	0	23	-135	0	-131	-13	0	-1	0	0	-2	-10
	004	0	22	-135	0	-131	-10	0	-1	0	0	-2	-13
	005	0	23	-135	0	-131	-12	0	-1	0	0	-2	-12
	006	0	-11	76	0	75	6	0	0	0	0	0	6
Trave Acciaio 26a-27a	001	22	1.020	-2.160	896	275	755	22	1.887	-2.446	896	157	551
	002	39	1.554	-3.237	1.378	304	961	39	2.791	-3.617	1.378	269	902
	003	11	-161	439	-137	-96	-7	11	-171	565	-137	-96	-7
	004	11	-181	463	-122	-85	11	11	-167	576	-122	-85	11
	005	11	-171	451	-129	-90	2	11	-169	571	-129	-90	2
	006	-1	90	-240	69	48	0	-1	90	-303	69	48	0
Trave Acciaio 3a-27a	001	0	0	0	5	-15	14	0	29	664	506	-613	14
	002	-1	-1	0	0	-13	24	-1	50	1.092	838	-1.011	24
	003	-1	0	0	0	-1	-10	-1	-17	-144	0	136	-6
	004	-1	0	0	0	-1	-13	-1	-31	-144	0	136	-17
	005	-1	0	0	0	-1	-12	-1	-24	-144	0	136	-12
	006	0	0	0	0	0	6	0	12	72	0	-68	6
Trave Acciaio 28a-49a	001	-3	-510	604	-494	577	258	-3	13	0	0	9	258
	002	-4	-754	990	-804	936	382	-4	20	0	9	2	382
	003	0	9	-135	0	-131	-6	0	0	0	0	-1	-3
	004	0	8	-135	0	-131	-3	0	0	0	0	-2	-6
	005	0	9	-135	0	-131	-4	0	0	0	0	-2	-4
	006	0	-4	76	0	75	2	0	0	0	0	0	2
Trave Acciaio 27a-28a	001	-21	1.935	-2.429	899	-632	-787	-21	755	-1.511	899	-751	-992
	002	-31	2.875	-3.587	1.382	-1.023	-1.298	-31	1.114	-2.206	1.382	-1.058	-1.356
	003	4	-208	552	-130	159	83	4	-97	341	-130	159	83
	004	4	-218	559	-129	169	101	4	-84	334	-129	169	101
	005	4	-213	556	-130	164	92	4	-91	338	-130	164	92
	006	-6	112	-296	69	-88	-48	-6	48	-179	69	-88	-48
Trave Acciaio 4a-28a	001	0	-7	0	7	-15	283	0	586	663	509	-614	283
	002	0	-11	0	2	-13	418	0	866	1.090	845	-1.016	418
	003	0	0	0	0	-1	-12	0	-21	-144	0	136	-8
	004	0	0	0	0	-1	-15	0	-35	-144	0	136	-19

Travi - Sollecitazioni per condizioni di carico non sismiche

Id _{Tr}	CC	Estr. Inz.						Estr. Fin.					
		M ₁	M ₂	M ₃	N	T ₂	T ₃	M ₁	M ₂	M ₃	N	T ₂	T ₃
		[N-m]	[N-m]	[N-m]	[N]	[N]	[N]	[N-m]	[N-m]	[N-m]	[N]	[N]	[N]
	005	0	0	0	0	-1	-14	0	-28	-144	0	136	-14
	006	1	0	0	0	0	7	1	14	72	0	-68	7
Trave Acciaio 29a-50a	001	-4	-631	612	-516	581	317	-4	15	0	-21	13	317
	002	-6	-929	1.002	-838	945	467	-6	21	0	-22	8	467
	003	0	2	-133	0	-130	-3	0	0	0	0	0	0
	004	0	-5	-133	0	-130	4	0	0	0	0	0	1
	005	0	-1	-133	0	-130	1	0	0	0	0	0	1
	006	0	1	77	0	75	-1	0	0	0	0	0	-1
Trave Acciaio 28a-29a	001	-66	1.790	-1.149	923	-1.538	-2.335	-66	-1.445	970	923	-1.656	-2.539
	002	-103	2.644	-1.671	1.418	-2.347	-3.564	-103	-2.126	1.468	1.418	-2.382	-3.623
	003	-3	-126	331	-132	413	174	-3	104	-218	-132	413	174
	004	-3	-124	321	-145	424	192	-3	130	-241	-145	424	192
	005	-3	-125	326	-139	419	183	-3	117	-229	-139	419	183
	006	-10	66	-174	74	-224	-96	-10	-62	123	74	-224	-96
Trave Acciaio 5a-29a	001	0	-5	0	13	-9	342	0	710	649	514	-607	342
	002	2	-7	0	12	-5	502	2	1.043	1.068	850	-1.003	502
	003	0	0	0	0	0	-10	0	-17	-146	0	137	-6
	004	0	0	0	0	0	-9	0	-24	-146	0	137	-13
	005	0	0	0	0	0	-10	0	-20	-146	0	137	-10
	006	1	0	0	0	0	5	1	10	71	0	-67	5
Trave Acciaio 30a-51a	001	4	382	624	-528	588	-191	4	-7	-1	-33	19	-191
	002	6	570	1.014	-855	954	-285	6	-10	-1	-40	18	-285
	003	0	2	-132	0	-130	-3	0	0	0	0	0	0
	004	0	-12	-132	0	-130	7	0	0	0	0	0	4
	005	0	-5	-132	0	-130	2	0	0	0	0	0	2
	006	0	3	78	0	76	-1	0	0	0	0	1	-1
Trave Acciaio 2-30a	001	192	-3.671	3.627	776	2.638	4.505	192	-2.043	2.674	776	2.606	4.449
	002	278	-5.482	5.433	1.231	3.940	6.728	278	-3.038	4.002	1.231	3.932	6.714
	003	31	317	-859	-136	-742	-274	31	217	-589	-136	-742	-274
	004	31	270	-838	-93	-734	-259	31	176	-571	-93	-734	-259
	005	31	293	-848	-114	-738	-266	31	197	-580	-114	-738	-266
	006	19	-156	453	61	394	142	19	-104	310	61	394	142
Trave Acciaio 6a-30a	001	-1	2	0	17	-3	-188	-1	-392	639	518	-601	-188
	002	0	3	0	17	6	-283	0	-589	1.056	857	-994	-283
	003	0	0	0	0	3	2	0	8	-152	0	140	6
	004	0	0	0	0	3	6	0	8	-152	0	140	2
	005	0	0	0	0	3	4	0	8	-152	0	140	4
	006	0	0	0	0	1	-2	0	-4	70	0	-67	-2
Trave Acciaio 31a-52a	001	3	643	605	-501	579	-325	3	-18	0	-6	9	-325
	002	5	971	985	-815	939	-491	5	-28	0	1	3	-491
	003	0	3	-133	0	-130	-3	0	0	0	0	0	0
	004	0	-1	-133	0	-130	2	0	0	0	0	0	-1
	005	0	1	-133	0	-130	-1	0	0	0	0	0	-1
	006	0	-1	76	0	75	0	0	0	0	0	0	0
Trave Acciaio 30a-31a	001	92	-2.788	2.408	772	1.809	3.082	92	1.166	86	772	1.691	2.877
	002	132	-4.154	3.604	1.224	2.630	4.473	132	1.744	136	1.224	2.595	4.414
	003	14	226	-586	-127	-483	-187	14	-22	55	-127	-483	-187
	004	14	197	-563	-98	-476	-172	14	-31	69	-98	-476	-172
	005	14	212	-575	-112	-479	-180	14	-27	62	-112	-479	-180
	006	9	-113	307	60	257	96	9	15	-34	60	257	96
Trave Acciaio 7a-31a	001	-1	6	0	8	-14	-335	-1	-695	662	509	-612	-335
	002	-2	9	0	5	-11	-507	-2	-1.052	1.091	844	-1.011	-507
	003	-1	0	0	0	-1	7	-1	18	-143	0	136	11
	004	-1	0	0	0	-1	5	-1	7	-143	0	136	1
	005	-1	0	0	0	-1	6	-1	13	-143	0	136	6
	006	-1	0	0	0	0	-3	-1	-7	72	0	-68	-3
Trave Acciaio 32a-53a	001	1	232	605	-493	579	-118	1	-8	0	4	8	-118
	002	2	374	983	-801	938	-190	2	-13	0	14	2	-190
	003	0	-2	-134	0	-131	0	0	0	0	0	0	3
	004	0	-4	-134	0	-131	3	0	0	0	0	0	0
	005	0	-3	-134	0	-131	2	0	0	0	0	0	2
	006	0	2	77	0	75	-1	0	0	0	0	0	-1
Trave Acciaio 31a-32a	001	45	-97	-356	762	906	1.527	45	1.793	-1.480	762	788	1.322
	002	66	-166	-532	1.208	1.311	2.198	66	2.713	-2.250	1.208	1.279	2.140
	003	6	-8	60	-113	-229	-97	6	-137	364	-113	-229	-97
	004	6	-24	72	-99	-222	-82	6	-133	367	-99	-222	-82
	005	6	-16	66	-106	-226	-90	6	-135	366	-106	-226	-90
	006	5	8	-35	56	121	48	5	72	-196	56	121	48
Trave Acciaio 8a-32a	001	0	2	0	5	-15	-123	0	-255	662	505	-612	-123
	002	0	3	0	0	-13	-199	0	-413	1.089	838	-1.010	-199
	003	0	0	0	0	-1	5	0	15	-143	0	136	9
	004	0	0	0	0	-1	3	0	2	-144	0	136	-1
	005	0	0	0	0	-1	4	0	8	-144	0	136	4
	006	0	0	0	0	0	-2	0	-4	72	0	-68	-2
Trave Acciaio 33a-54a	001	-2	-297	606	-494	579	150	-2	10	0	3	9	150
	002	-3	-399	984	-802	939	202	-3	13	0	13	2	202
	003	0	-9	-134	0	-131	3	0	0	0	0	0	6

Travi - Sollecitazioni per condizioni di carico non sismiche														
Id _{Tr}	CC	Estr. Inz.						Estr. Fin.						
		M ₁ [N-m]	M ₂ [N-m]	M ₃ [N-m]	N [N]	T ₂ [N]	T ₃ [N]	M ₁ [N-m]	M ₂ [N-m]	M ₃ [N-m]	N [N]	T ₂ [N]	T ₃ [N]	
	004	0	-11	-134	0	-131	7	0	0	0	0	0	0	4
	005	0	-10	-134	0	-131	5	0	0	0	0	0	5	
	006	0	5	77	0	75	-3	0	0	0	0	0	-3	
Trave Acciaio 32a-33a	001	-3	1.334	-1.641	757	-1	-16	-3	1.176	-1.561	757	-119	-221	
	002	2	1.970	-2.510	1.198	-10	-57	2	1.856	-2.474	1.198	-45	-116	
	003	-2	-120	369	-104	24	-7	-2	-130	337	-104	24	-7	
	004	-2	-128	370	-103	32	8	-2	-118	328	-103	32	8	
	005	-2	-124	370	-103	28	0	-2	-124	332	-103	28	0	
	006	-1	66	-198	55	-15	0	-1	66	-178	55	-15	0	
Trave Acciaio 9a-33a	001	0	-2	0	6	-15	157	0	326	662	505	-612	157	
	002	0	-3	0	1	-13	213	0	443	1.089	838	-1.010	213	
	003	1	0	0	0	-1	2	1	7	-144	0	136	6	
	004	1	0	0	0	-1	-1	1	-6	-143	0	136	-5	
	005	1	0	0	0	-1	0	1	1	-144	0	136	0	
	006	0	0	0	0	0	0	0	-1	72	0	-68	0	
Trave Acciaio 34a-55a	001	-3	-620	607	-507	580	312	-3	18	0	-11	10	312	
	002	-5	-878	985	-821	939	442	-5	26	0	-6	4	442	
	003	0	-9	-134	0	-131	3	0	0	0	0	0	6	
	004	0	-13	-134	0	-131	8	0	0	0	0	0	5	
	005	0	-11	-134	0	-131	6	0	0	0	0	0	6	
	006	0	6	77	0	75	-3	0	0	0	0	0	-3	
Trave Acciaio 33a-34a	001	-51	1.764	-1.355	764	-908	-1.561	-51	-443	-72	764	-1.026	-1.765	
	002	-63	2.649	-2.196	1.210	-1.333	-2.314	-63	-460	-403	1.210	-1.368	-2.372	
	003	-10	-114	342	-101	278	83	-10	-4	-28	-101	278	83	
	004	-10	-113	330	-115	286	98	-10	16	-49	-115	286	98	
	005	-10	-114	336	-108	282	90	-10	6	-39	-108	282	90	
	006	-6	60	-180	58	-151	-48	-6	-4	21	58	-151	-48	
Trave Acciaio 10a-34a	001	2	-4	0	10	-14	324	2	672	659	509	-610	324	
	002	1	-5	0	7	-12	465	1	965	1.088	845	-1.008	465	
	003	2	0	0	0	-1	-1	2	1	-143	0	136	3	
	004	2	0	0	0	-1	-2	2	-8	-143	0	136	-6	
	005	2	0	0	0	-1	-2	2	-4	-143	0	136	-2	
	006	1	0	0	0	0	1	1	2	72	0	-68	1	
Trave Acciaio 3-56a	001	-3	-19	679	-543	608	9	-3	0	-1	-35	25	9	
	002	-12	-35	1.102	-857	971	16	-12	-1	-1	-44	37	16	
	003	0	12	-138	-1	-133	-7	0	0	0	-1	1	-4	
	004	0	-4	-138	-1	-133	4	0	0	0	-1	1	1	
	005	0	4	-138	-1	-133	-2	0	0	0	-1	1	-2	
	006	0	-2	82	0	78	1	0	0	0	0	1	1	
Trave Acciaio 11a-3	001	-9	1	0	21	10	11	-9	23	561	507	-570	11	
	002	-37	3	-2	30	51	30	-37	64	877	853	-928	30	
	003	0	0	0	1	8	-4	0	-5	-151	1	142	-1	
	004	0	0	0	1	8	1	0	0	-151	1	142	-2	
	005	0	0	0	1	8	-1	0	-2	-151	1	142	-1	
	006	0	0	0	0	0	1	0	1	67	0	-67	1	
Trave Acciaio 35a-57a	001	-6	586	617	-510	585	-297	-6	-20	0	-14	15	-297	
	002	-29	711	1.015	-828	956	-363	-29	-31	0	-12	19	-363	
	003	0	17	-134	0	-131	-10	0	-1	0	0	0	-7	
	004	0	12	-134	0	-131	-4	0	-1	0	0	0	-7	
	005	0	14	-134	0	-131	-7	0	-1	0	0	0	-7	
	006	0	-8	77	0	76	4	0	0	0	0	0	4	
Trave Acciaio 3-35a	001	254	-3.360	2.794	719	1.794	3.075	254	586	491	719	1.676	2.871	
	002	747	-4.220	3.479	947	2.214	3.850	747	851	564	947	2.178	3.790	
	003	17	279	-772	-137	-539	-188	17	30	-58	-137	-539	-188	
	004	17	248	-747	-109	-532	-174	17	17	-41	-109	-532	-174	
	005	17	263	-760	-123	-535	-181	17	23	-49	-123	-535	-181	
	006	11	-140	407	66	287	97	11	-12	26	66	287	97	
Trave Acciaio 12a-35a	001	-29	6	0	11	0	-308	-29	-638	630	511	-597	-308	
	002	-107	12	0	11	39	-369	-107	-758	980	850	-960	-369	
	003	-2	0	0	0	0	2	-2	8	-145	0	137	6	
	004	-2	0	0	0	0	2	-2	0	-145	0	137	-2	
	005	-2	0	0	0	0	2	-2	4	-145	0	137	2	
	006	-1	0	0	0	0	-1	-1	-2	72	0	-68	-1	
Trave Acciaio 36a-58a	001	-6	217	589	-491	571	-112	-6	-12	0	6	1	-112	
	002	-25	211	930	-797	913	-112	-25	-18	0	19	-24	-112	
	003	0	9	-134	0	-131	-6	0	0	0	0	0	-3	
	004	0	8	-134	0	-131	-2	0	0	0	0	0	-5	
	005	0	8	-134	0	-131	-4	0	0	0	0	0	-4	
	006	0	-5	76	0	75	2	0	0	0	0	0	2	
Trave Acciaio 35a-36a	001	161	-577	105	708	902	1.514	161	1.342	-1.039	708	822	1.377	
	002	538	-562	147	941	932	1.570	538	1.489	-1.071	941	904	1.521	
	003	7	21	-60	-121	-284	-98	7	-109	316	-121	-284	-98	
	004	7	5	-43	-107	-277	-84	7	-106	325	-107	-277	-84	
	005	7	13	-52	-114	-281	-91	7	-108	321	-114	-281	-91	
	006	4	-7	28	61	151	49	4	57	-172	61	151	49	
Trave Acciaio 13a-36a	001	-21	4	1	4	-36	-114	-21	-233	569	396	-505	-114	
	002	-85	8	1	-7	-89	-111	-85	-225	718	414	-590	-111	

Travi - Sollecitazioni per condizioni di carico non sismiche

Id _{Tr}	CC	Estr. Inz.						Estr. Fin.					
		M ₁ [N-m]	M ₂ [N-m]	M ₃ [N-m]	N [N]	T ₂ [N]	T ₃ [N]	M ₁ [N-m]	M ₂ [N-m]	M ₃ [N-m]	N [N]	T ₂ [N]	T ₃ [N]
	003	-1	0	0	0	-2	0	-1	5	-141	0	135	4
	004	-1	0	0	0	-2	-2	-1	-9	-141	0	135	-6
	005	-1	0	0	0	-2	-1	-1	-2	-141	0	135	-1
	006	0	0	0	0	0	0	0	1	73	0	-68	0
Trave Acciaio 37a-59a	001	1	-204	593	-492	572	104	1	8	0	3	3	104
	002	6	-244	939	-800	915	125	6	11	-1	13	-19	125
	003	0	3	-133	0	-131	-3	0	0	0	0	0	0
	004	0	1	-133	0	-131	1	0	0	0	0	0	-2
	005	0	2	-133	0	-131	-1	0	0	0	0	0	-1
	006	0	-1	77	0	75	0	0	0	0	0	0	0
Trave Acciaio 36a-37a	001	48	911	-1.176	707	103	182	48	1.018	-1.233	707	-16	-22
	002	200	1.058	-1.160	942	-114	-121	200	878	-998	942	-130	-150
	003	1	-113	315	-111	-31	-8	1	-124	356	-111	-31	-8
	004	1	-122	321	-111	-24	6	1	-115	353	-111	-24	6
	005	1	-118	318	-111	-28	-1	1	-119	355	-111	-28	-1
	006	0	63	-170	59	15	1	0	63	-190	59	15	1
Trave Acciaio 14a-37a	001	6	-2	1	5	-37	111	6	229	432	288	-376	111
	002	23	-4	1	-10	-89	133	23	275	186	-10	-89	133
	003	0	0	0	0	-1	-3	0	-2	-144	0	136	1
	004	0	0	0	0	-1	-5	0	-15	-144	0	136	-9
	005	0	0	0	0	-1	-4	0	-9	-144	0	136	-4
	006	0	0	0	0	0	2	0	5	72	0	-68	2
Trave Acciaio 38a-60a	001	5	-547	598	-501	575	278	5	18	0	-5	6	278
	002	27	-603	960	-812	927	309	27	27	0	2	-8	309
	003	0	0	-133	0	-130	-1	0	0	0	0	0	2
	004	0	-5	-133	0	-130	4	0	0	0	0	0	1
	005	0	-3	-133	0	-130	1	0	0	0	0	0	1
	006	0	2	76	0	75	-1	0	0	0	0	0	-1
Trave Acciaio 37a-38a	001	-194	1.428	-1.094	714	-652	-1.073	-194	-131	-151	714	-770	-1.277
	002	-634	1.373	-841	950	-824	-1.225	-634	-272	263	950	-840	-1.254
	003	-7	-128	354	-107	223	82	-7	-19	58	-107	223	82
	004	-7	-130	349	-121	229	96	-7	-3	44	-121	229	96
	005	-7	-129	351	-114	226	89	-7	-11	51	-114	226	89
	006	-5	69	-188	61	-121	-47	-5	6	-27	61	-121	-47
Trave Acciaio 15a-38a	001	28	-7	0	8	-24	287	28	593	543	400	-492	287
	002	105	-12	0	-1	-43	315	105	647	625	419	-543	315
	003	1	0	0	0	-1	-5	1	-7	-143	0	136	-1
	004	1	0	0	0	-1	-6	1	-17	-143	0	136	-10
	005	1	0	0	0	-1	-6	1	-12	-143	0	136	-6
	006	1	0	0	0	0	3	1	7	72	0	-68	3
Trave Acciaio 39a-61a	001	4	-318	630	-527	591	160	4	7	0	-32	22	160
	002	21	-343	1.049	-853	971	174	21	11	0	-38	34	174
	003	0	9	-132	0	-130	-6	0	0	0	0	0	-3
	004	0	-5	-132	0	-130	4	0	0	0	0	0	1
	005	0	2	-132	0	-130	-1	0	0	0	0	0	-1
	006	0	-1	78	0	76	1	0	0	0	0	1	1
Trave Acciaio 38a-39a	001	-342	952	207	723	-1.476	-2.482	-342	-2.478	2.246	723	-1.595	-2.686
	002	-1.096	933	608	956	-1.820	-2.903	-1.096	-2.959	3.045	956	-1.853	-2.962
	003	-16	-25	55	-107	476	172	-16	203	-577	-107	476	172
	004	-16	-15	40	-136	483	186	-16	232	-601	-136	483	186
	005	-16	-20	48	-121	480	179	-16	218	-589	-121	480	179
	006	-10	11	-26	65	-257	-95	-10	-116	315	65	-257	-95
Trave Acciaio 16a-39a	001	25	-3	0	17	10	155	25	322	612	518	-588	155
	002	83	-7	0	20	72	156	83	319	916	860	-928	156
	003	0	0	0	0	3	-5	0	-6	-152	0	140	-1
	004	0	0	0	0	3	-1	0	-6	-152	0	140	-5
	005	0	0	0	0	3	-3	0	-6	-152	0	140	-3
	006	0	0	0	0	1	2	0	3	70	0	-67	2
Trave Acciaio 40a-62a	001	8	607	614	-516	584	-304	8	-13	0	-20	14	-304
	002	14	891	1.010	-836	952	-447	14	-19	0	-21	16	-447
	003	0	4	-133	0	-130	-4	0	0	0	0	0	-1
	004	0	-3	-133	0	-130	3	0	0	0	0	0	0
	005	0	0	-133	0	-130	0	0	0	0	0	0	0
	006	0	-1	77	0	75	0	0	0	0	0	0	0
Trave Acciaio 4-40a	001	51	-3.777	3.552	944	2.430	3.914	51	-77	1.252	944	2.344	3.765
	002	170	-5.400	5.026	1.579	3.583	5.697	170	67	1.587	1.579	3.556	5.653
	003	15	382	-907	-165	-679	-281	15	111	-253	-165	-679	-281
	004	15	338	-875	-138	-669	-263	15	85	-231	-138	-669	-263
	005	15	360	-891	-151	-674	-272	15	98	-242	-151	-674	-272
	006	17	-191	476	80	360	144	17	-52	129	80	360	144
Trave Acciaio 17a-40a	001	13	4	0	13	-5	-330	13	-686	643	514	-603	-330
	002	23	6	0	12	17	-497	23	-1.034	1.032	852	-983	-497
	003	0	0	0	0	0	10	0	24	-146	0	137	14
	004	0	0	0	0	0	10	0	17	-146	0	137	6
	005	0	0	0	0	0	10	0	21	-146	0	137	10
	006	-1	0	0	0	0	-5	-1	-11	71	0	-67	-5
Trave Acciaio 41a-63a	001	7	469	603	-496	578	-237	7	-13	0	0	8	-237

Travi - Sollecitazioni per condizioni di carico non sismiche

Id _{Tr}	CC	Estr. Inz.						Estr. Fin.					
		M ₁	M ₂	M ₃	N	T ₂	T ₃	M ₁	M ₂	M ₃	N	T ₂	T ₃
		[N-m]	[N-m]	[N-m]	[N]	[N]	[N]	[N-m]	[N-m]	[N-m]	[N]	[N]	[N]
	002	7	668	984	-806	939	-338	7	-19	0	9	3	-338
	003	0	-8	-133	0	-130	3	0	0	0	0	0	6
	004	0	-10	-133	0	-130	6	0	0	0	0	0	3
	005	0	-9	-133	0	-130	4	0	0	0	0	0	4
	006	0	4	76	0	75	-2	0	0	0	0	0	-2
Trave Acciaio 40a-41a	001	-28	-1.295	818	918	1.567	2.400	-28	1.754	-1.184	918	1.449	2.195
	002	16	-1.746	939	1.529	2.293	3.418	16	2.752	-2.083	1.529	2.260	3.359
	003	4	131	-247	-147	-424	-191	4	-123	316	-147	-424	-191
	004	4	105	-223	-135	-414	-173	4	-125	326	-135	-414	-173
	005	4	118	-235	-141	-419	-182	4	-124	321	-141	-419	-182
	006	10	-62	126	75	224	96	10	66	-171	75	224	96
Trave Acciaio 18a-41a	001	11	4	0	7	-15	-261	11	-543	664	507	-613	-261
	002	9	6	0	2	-12	-381	9	-792	1.093	841	-1.012	-381
	003	0	0	0	0	-1	15	0	35	-143	0	136	19
	004	0	0	0	0	-1	12	0	21	-143	0	136	8
	005	0	0	0	0	-1	14	0	28	-143	0	136	14
	006	-1	0	0	0	0	-7	-1	-14	72	0	-68	-7
Trave Acciaio 42a-64a	001	1	5	444	-348	415	-2	1	0	0	1	14	-2
	002	3	-53	990	-804	942	27	3	2	0	15	2	27
	003	0	-22	-135	0	-131	10	0	1	0	0	-2	13
	004	0	-23	-135	0	-131	13	0	1	0	0	-2	10
	005	0	-22	-135	0	-131	11	0	1	0	0	-2	11
	006	0	11	76	0	75	-6	0	0	0	0	0	-6
Trave Acciaio 41a-42a	001	-71	801	-1.524	894	662	852	-71	1.796	-2.324	894	544	647
	002	-46	1.376	-2.570	1.486	973	1.154	-46	2.869	-3.839	1.486	940	1.096
	003	-5	-83	329	-131	-171	-101	-5	-217	556	-131	-171	-101
	004	-5	-96	336	-133	-160	-83	-5	-207	549	-133	-160	-83
	005	-5	-89	333	-132	-166	-92	-5	-212	552	-132	-166	-92
	006	5	48	-177	70	88	48	5	112	-294	70	88	48
Trave Acciaio 19a-42a	001	2	0	0	6	-2	-6	2	-12	636	507	-600	-6
	002	9	-1	0	0	-14	21	9	43	1.092	838	-1.011	21
	003	1	0	0	0	-1	13	1	31	-144	0	136	17
	004	1	0	0	0	-1	10	1	16	-144	0	136	6
	005	1	0	0	0	-1	12	1	24	-144	0	136	12
	006	0	0	0	0	0	-6	0	-12	72	0	-68	-6
Trave Acciaio 43a-65a	001	-5	-439	601	-495	575	222	-5	11	0	-1	8	222
	002	0	-733	987	-806	934	371	0	20	0	7	1	371
	003	0	-40	-135	0	-131	19	0	1	0	0	-2	22
	004	0	-42	-135	1	-131	23	0	1	0	1	-2	20
	005	0	-41	-135	1	-131	21	0	1	0	1	-2	21
	006	0	21	76	0	75	-11	0	-1	0	0	0	-11
Trave Acciaio 42a-43a	001	31	1.781	-2.331	891	-125	-499	31	984	-2.087	891	-243	-703
	002	-115	2.962	-3.812	1.479	-352	-1.105	-115	1.456	-3.323	1.479	-385	-1.163
	003	-12	-166	572	-124	84	-11	-12	-181	461	-124	84	-11
	004	-12	-170	562	-140	94	7	-12	-160	437	-140	94	7
	005	-12	-168	567	-132	89	-2	-12	-170	449	-132	89	-2
	006	1	90	-302	70	-47	0	1	90	-239	70	-47	0
Trave Acciaio 20a-43a	001	-6	-6	0	7	-15	246	-6	511	663	509	-614	246
	002	10	-11	0	2	-13	411	10	852	1.090	845	-1.016	411
	003	2	-1	0	0	-1	12	2	28	-144	0	136	16
	004	2	0	0	0	-1	10	2	16	-144	0	136	6
	005	2	0	0	0	-1	11	2	22	-144	0	136	11
	006	0	0	0	0	0	-5	0	-11	72	0	-68	-5
Trave Acciaio 44a-66a	001	-4	-491	486	-408	461	247	-4	12	0	-19	13	247
	002	1	-772	512	-425	477	390	1	22	0	-17	8	390
	003	0	-69	-133	1	-130	34	0	2	0	1	0	37
	004	0	-78	-133	1	-130	41	0	3	0	1	0	38
	005	0	-74	-133	1	-130	37	0	2	0	1	0	37
	006	0	39	77	0	75	-20	0	-1	0	0	0	-20
Trave Acciaio 43a-44a	001	-12	1.880	-1.770	915	-1.028	-2.047	-12	-973	-326	915	-1.147	-2.251
	002	-183	2.954	-2.805	1.519	-1.671	-3.372	-183	-1.561	-565	1.519	-1.704	-3.431
	003	-19	-115	483	-127	338	80	-19	-9	34	-127	338	80
	004	-19	-106	457	-157	348	98	-19	24	-6	-157	348	98
	005	-19	-110	470	-142	343	89	-19	8	14	-142	343	89
	006	-4	59	-250	75	-183	-48	-4	-5	-7	75	-183	-48
Trave Acciaio 21a-44a	001	-5	-4	0	12	-11	292	-5	607	653	512	-609	292
	002	5	-8	0	11	4	462	5	960	1.050	850	-994	462
	003	1	-1	0	0	1	20	1	46	-148	0	138	24
	004	1	-1	0	0	1	22	1	41	-148	0	138	18
	005	1	-1	0	0	1	21	1	44	-148	0	138	21
	006	1	0	0	0	0	-11	1	-23	72	0	-68	-11
Trave Acciaio 21a-23a	001	0	0	3	40	6	3	0	-3	2	40	-5	-8
	002	0	2	5	94	7	-1	0	-3	-1	94	1	-7
	003	0	0	1	22	1	0	0	0	-1	22	1	0
	004	0	0	1	27	1	0	0	0	-1	27	1	0
	005	0	0	1	25	1	0	0	0	-1	25	1	0
	006	0	0	0	-13	0	0	0	0	0	-13	0	0

Travi - Sollecitazioni per condizioni di carico non sismiche

Id _{Tr}	CC	Estr. Inz.						Estr. Fin.					
		M ₁ [N-m]	M ₂ [N-m]	M ₃ [N-m]	N [N]	T ₂ [N]	T ₃ [N]	M ₁ [N-m]	M ₂ [N-m]	M ₃ [N-m]	N [N]	T ₂ [N]	T ₃ [N]
Trave Acciaio 66a-68a	001	0	1	-3	11	0	-5	0	2	4	11	-10	6
	002	0	-3	-7	-8	-10	4	0	3	6	-8	-10	4
	003	0	0	-1	-36	-2	0	0	0	1	-36	-2	0
	004	0	0	-2	-40	-2	0	0	0	2	-40	-2	0
	005	0	0	-2	-38	-2	0	0	0	2	-38	-2	0
	006	0	0	1	20	1	0	0	0	-1	20	1	0
Trave Acciaio 67a-46a	001	0	3	5	13	11	-7	0	0	-3	13	0	4
	002	0	4	7	2	12	-7	0	-2	-6	2	7	-1
	003	0	0	2	-40	2	0	0	0	-2	-40	2	0
	004	0	0	1	-36	2	0	0	0	-1	-36	2	0
	005	0	0	2	-38	2	0	0	0	-2	-38	2	0
	006	0	0	-1	20	-1	0	0	0	1	20	-1	0
Trave Acciaio 46a-47a	001	0	2	11	-243	20	-8	0	-1	-9	-243	10	3
	002	0	3	15	-377	25	-7	0	-3	-14	-377	19	-1
	003	0	0	1	-78	2	0	0	0	-1	-78	2	0
	004	0	0	1	-72	2	0	0	0	-1	-72	2	0
	005	0	0	1	-75	2	0	0	0	-1	-75	2	0
	006	0	0	0	40	-1	0	0	0	0	40	-1	0
Trave Acciaio 47a-48a	001	0	1	5	-471	12	-6	0	0	-3	-471	1	5
	002	0	0	7	-708	12	-4	0	-2	-5	-708	6	2
	003	0	0	1	-98	1	0	0	0	0	-98	1	0
	004	0	0	1	-95	1	0	0	0	-1	-95	1	0
	005	0	0	1	-97	1	0	0	0	-1	-97	1	0
	006	0	0	0	51	0	0	0	0	0	51	0	0
Trave Acciaio 48a-49a	001	0	0	-4	-460	-2	-4	0	1	6	-460	-13	6
	002	0	-2	-7	-688	-8	-1	0	0	8	-688	-14	4
	003	0	0	0	-109	0	0	0	0	0	-109	0	0
	004	0	0	0	-108	1	0	0	0	0	-108	1	0
	005	0	0	0	-108	0	0	0	0	0	-108	0	0
	006	0	0	0	57	0	0	0	0	0	57	0	0
Trave Acciaio 49a-50a	001	0	-1	-10	-201	-12	-2	0	3	13	-201	-23	8
	002	0	-2	-16	-307	-23	1	0	4	18	-307	-29	7
	003	0	0	0	-112	0	0	0	0	0	-112	0	0
	004	0	0	0	-113	0	0	0	0	0	-113	0	0
	005	0	0	0	-113	0	0	0	0	0	-113	0	0
	006	0	0	0	59	0	0	0	0	0	59	0	0
Trave Acciaio 50a-51a	001	0	1	-3	116	-1	-3	0	4	5	116	-12	7
	002	0	0	-6	160	-6	1	0	5	6	160	-12	6
	003	0	0	0	-112	0	0	0	0	0	-112	0	0
	004	0	0	0	-112	0	0	0	0	0	-112	0	0
	005	0	0	0	-112	0	0	0	0	0	-112	0	0
	006	0	0	0	58	0	0	0	0	0	58	0	0
Trave Acciaio 51a-52a	001	0	4	13	-75	23	-9	0	-1	-10	-75	12	2
	002	0	5	18	-125	29	-8	0	-2	-16	-125	23	-3
	003	0	0	0	-111	0	0	0	0	0	-111	0	0
	004	0	0	0	-108	0	0	0	0	0	-108	0	0
	005	0	0	0	-110	0	0	0	0	0	-110	0	0
	006	0	0	0	57	0	0	0	0	0	57	0	0
Trave Acciaio 52a-53a	001	0	2	10	-400	18	-7	0	-1	-7	-400	7	3
	002	0	2	14	-616	22	-6	0	-2	-12	-616	17	0
	003	0	0	0	-111	0	0	0	0	0	-111	0	0
	004	0	0	0	-109	0	0	0	0	0	-109	0	0
	005	0	0	0	-110	0	0	0	0	0	-110	0	0
	006	0	0	0	57	0	0	0	0	0	57	0	0
Trave Acciaio 53a-54a	001	0	0	1	-518	4	-5	0	0	2	-518	-6	5
	002	0	0	1	-805	3	-3	0	-1	1	-805	-3	3
	003	0	0	0	-109	0	0	0	0	0	-109	0	0
	004	0	0	0	-108	0	0	0	0	0	-108	0	0
	005	0	0	0	-109	0	0	0	0	0	-109	0	0
	006	0	0	0	56	0	0	0	0	0	56	0	0
Trave Acciaio 54a-55a	001	0	-1	-8	-368	-8	-3	0	2	10	-368	-19	7
	002	0	-2	-12	-604	-16	0	0	2	13	-604	-22	6
	003	0	0	0	-102	0	0	0	0	0	-102	0	0
	004	0	0	0	-104	0	0	0	0	0	-104	0	0
	005	0	0	0	-103	0	0	0	0	0	-103	0	0
	006	0	0	0	53	0	0	0	0	0	53	0	0
Trave Acciaio 55a-56a	001	0	-1	-8	-55	-8	-1	0	5	10	-55	-18	9
	002	0	-2	-12	-161	-15	2	0	5	13	-161	-22	8
	003	0	0	0	-97	0	0	0	0	0	-97	0	0
	004	0	0	0	-99	0	0	0	0	0	-99	0	0
	005	0	0	0	-98	0	0	0	0	0	-98	0	0
	006	0	0	0	50	0	0	0	0	0	50	0	0
Trave Acciaio 56a-57a	001	0	7	10	-46	19	-13	0	-3	-8	-46	8	-3
	002	1	16	15	-145	24	-25	1	-13	-13	-145	18	-19
	003	0	0	0	-101	0	0	0	0	0	-101	0	0
	004	0	0	0	-99	0	0	0	0	0	-99	0	0
	005	0	0	0	-100	0	0	0	0	0	-100	0	0

Travi - Sollecitazioni per condizioni di carico non sismiche

Id _{Tr}	CC	Estr. Inz.						Estr. Fin.					
		M ₁ [N-m]	M ₂ [N-m]	M ₃ [N-m]	N [N]	T ₂ [N]	T ₃ [N]	M ₁ [N-m]	M ₂ [N-m]	M ₃ [N-m]	N [N]	T ₂ [N]	T ₃ [N]
	006	0	0	0	51	0	0	0	0	0	51	0	0
Trave Acciaio 57a-58a	001	0	8	13	-343	23	-16	0	-7	-10	-343	12	-6
	002	1	23	19	-508	31	-37	1	-22	-17	-508	25	-31
	003	0	0	0	-108	0	0	0	0	0	-108	0	0
	004	0	0	0	-106	0	0	0	0	0	-106	0	0
	005	0	0	0	-107	0	0	0	0	0	-107	0	0
	006	0	0	0	55	0	0	0	0	0	55	0	0
Trave Acciaio 58a-59a	001	0	1	2	-455	6	-7	0	0	1	-455	-5	4
	002	0	4	2	-620	4	-8	0	-4	0	-620	-1	-3
	003	0	0	0	-111	0	0	0	0	0	-111	0	0
	004	0	0	0	-112	0	0	0	0	0	-112	0	0
	005	0	0	0	-111	0	0	0	0	0	-111	0	0
	006	0	0	0	58	0	0	0	0	0	58	0	0
Trave Acciaio 59a-60a	001	0	-3	-7	-352	-7	1	0	5	10	-352	-18	11
	002	-1	-12	-11	-495	-16	15	-1	13	13	-495	-21	21
	003	0	0	0	-111	0	0	0	0	0	-111	0	0
	004	0	0	0	-113	0	0	0	0	0	-113	0	0
	005	0	0	0	-112	0	0	0	0	0	-112	0	0
	006	0	0	0	58	0	0	0	0	0	58	0	0
Trave Acciaio 60a-61a	001	0	-5	-10	-74	-12	5	0	9	13	-74	-23	16
	002	-1	-20	-17	-186	-24	29	-1	23	19	-186	-30	35
	003	0	0	0	-109	0	0	0	0	0	-109	0	0
	004	0	0	0	-113	0	0	0	0	0	-113	0	0
	005	0	0	0	-111	0	0	0	0	0	-111	0	0
	006	0	0	0	57	0	0	0	0	0	57	0	0
Trave Acciaio 61a-62a	001	0	1	4	86	10	-4	0	4	-2	86	0	7
	002	0	-2	5	-12	10	3	0	7	-4	-12	4	9
	003	0	0	0	-112	0	0	0	0	0	-112	0	0
	004	0	0	0	-112	0	0	0	0	0	-112	0	0
	005	0	0	0	-112	0	0	0	0	0	-112	0	0
	006	0	0	0	58	0	0	0	0	0	58	0	0
Trave Acciaio 62a-63a	001	0	1	12	-219	21	-6	0	1	-9	-219	10	5
	002	0	2	16	-459	26	-5	0	-1	-15	-459	20	1
	003	0	0	0	-113	0	0	0	0	0	-113	0	0
	004	0	0	0	-111	0	0	0	0	0	-111	0	0
	005	0	0	0	-112	0	0	0	0	0	-112	0	0
	006	0	0	0	58	0	0	0	0	0	58	0	0
Trave Acciaio 63a-64a	001	0	-1	5	-456	11	-3	0	2	-3	-456	0	8
	002	0	-1	6	-797	11	-2	0	0	-5	-797	5	4
	003	0	0	0	-107	-1	0	0	0	0	-107	-1	0
	004	0	0	0	-108	0	0	0	0	0	-108	0	0
	005	0	0	0	-108	0	0	0	0	0	-108	0	0
	006	0	0	0	56	0	0	0	0	0	56	0	0
Trave Acciaio 64a-65a	001	0	1	-3	-458	0	-7	0	-1	5	-458	-11	4
	002	0	-3	-7	-770	-9	1	0	1	9	-770	-15	6
	003	0	0	-1	-95	-1	0	0	0	1	-95	-1	0
	004	0	0	0	-98	-1	0	0	0	1	-98	-1	0
	005	0	0	-1	-96	-1	0	0	0	1	-96	-1	0
	006	0	0	0	51	0	0	0	0	0	51	0	0
Trave Acciaio 65a-66a	001	0	0	-8	-236	-9	-4	0	2	10	-236	-20	7
	002	0	-6	-16	-398	-22	5	0	5	17	-398	-28	11
	003	0	0	-1	-72	-2	0	0	0	1	-72	-2	0
	004	0	0	-1	-78	-2	0	0	0	1	-78	-2	0
	005	0	0	-1	-75	-2	0	0	0	1	-75	-2	0
	006	0	0	0	40	1	0	0	0	0	40	1	0
Trave Acciaio 22a-1a	001	0	-3	0	40	2	8	0	0	5	40	-9	-3
	002	0	-3	0	78	0	7	0	2	4	78	-6	0
	003	0	0	-1	27	-1	0	0	0	1	27	-1	0
	004	0	0	-1	22	-1	0	0	0	1	22	-1	0
	005	0	0	-1	25	-1	0	0	0	1	25	-1	0
	006	0	0	0	-13	0	0	0	0	0	-13	0	0
Trave Acciaio 1a-2a	001	0	-4	-5	343	0	10	0	2	3	343	-11	-1
	002	0	-5	-8	527	-6	10	0	4	4	527	-12	3
	003	0	0	-1	49	-2	0	0	0	2	49	-2	0
	004	0	0	-1	42	-2	0	0	0	2	42	-2	0
	005	0	0	-1	46	-2	0	0	0	2	46	-2	0
	006	0	0	0	-24	0	0	0	0	0	-24	0	0
Trave Acciaio 2a-3a	001	0	-2	-5	596	3	7	0	0	-1	596	-8	-3
	002	0	-3	-8	897	-1	6	0	1	-3	897	-7	-1
	003	0	0	0	59	-1	0	0	0	2	59	-1	0
	004	0	0	0	54	-1	0	0	0	2	54	-1	0
	005	0	0	0	57	-1	0	0	0	2	57	-1	0
	006	0	0	0	-29	0	0	0	0	-1	-29	0	0
Trave Acciaio 3a-4a	001	0	0	-1	582	7	3	0	-3	-4	582	-4	-8
	002	0	1	-3	873	5	-1	0	-3	-6	873	-1	-7
	003	0	0	1	69	0	0	0	0	1	69	0	0
	004	0	0	1	67	0	0	0	0	1	67	0	0

Travi - Sollecitazioni per condizioni di carico non sismiche

Id _{Tr}	CC	Estr. Inz.						Estr. Fin.					
		M ₁ [N-m]	M ₂ [N-m]	M ₃ [N-m]	N [N]	T ₂ [N]	T ₃ [N]	M ₁ [N-m]	M ₂ [N-m]	M ₃ [N-m]	N [N]	T ₂ [N]	T ₃ [N]
	005	0	0	1	68	0	0	0	0	1	68	0	0
	006	0	0	0	-35	0	0	0	0	-1	-35	0	0
Trave Acciaio 4a-5a	001	0	2	4	300	10	0	0	-5	-2	300	0	-10
	002	0	4	6	455	11	-5	0	-6	-5	455	5	-11
	003	0	0	1	81	1	0	0	0	-1	81	1	0
	004	0	0	1	82	1	0	0	0	-1	82	1	0
	005	0	0	1	82	1	0	0	0	-1	82	1	0
	006	0	0	0	-42	1	0	0	0	0	-42	1	0
Trave Acciaio 5a-6a	001	0	0	8	-42	8	4	0	-2	5	-42	-3	-7
	002	0	1	11	-47	7	0	0	-2	6	-47	1	-6
	003	0	0	0	91	1	0	0	0	-2	91	1	0
	004	0	0	-1	91	1	0	0	0	-2	91	1	0
	005	0	0	0	91	1	0	0	0	-2	91	1	0
	006	0	0	1	-47	0	0	0	0	0	-47	0	0
Trave Acciaio 6a-7a	001	0	-4	-1	146	-2	10	0	2	8	146	-12	-1
	002	0	-5	-2	236	-7	10	0	4	11	236	-13	4
	003	0	0	-2	89	-2	0	0	0	1	89	-2	0
	004	0	0	-2	86	-2	0	0	0	1	86	-2	0
	005	0	0	-2	88	-2	0	0	0	1	88	-2	0
	006	0	0	0	-45	0	0	0	0	1	-45	0	0
Trave Acciaio 7a-8a	001	0	-4	-3	481	1	9	0	1	2	481	-9	-2
	002	0	-5	-6	743	-3	8	0	3	2	743	-9	2
	003	0	0	0	83	-1	0	0	0	1	83	-1	0
	004	0	0	0	80	-1	0	0	0	1	80	-1	0
	005	0	0	0	82	-1	0	0	0	1	82	-1	0
	006	0	0	0	-42	0	0	0	0	0	-42	0	0
Trave Acciaio 8a-9a	001	0	-1	-2	604	6	5	0	-1	-2	604	-5	-6
	002	0	-1	-4	942	3	3	0	-1	-4	942	-3	-3
	003	0	0	1	78	0	0	0	0	0	78	0	0
	004	0	0	1	77	0	0	0	0	0	77	0	0
	005	0	0	1	78	0	0	0	0	0	78	0	0
	006	0	0	0	-40	0	0	0	0	0	-40	0	0
Trave Acciaio 9a-10a	001	0	1	3	447	10	1	0	-4	-3	447	-1	-9
	002	0	3	2	729	8	-3	0	-4	-5	729	2	-9
	003	0	0	1	76	1	0	0	0	-1	76	1	0
	004	0	0	1	78	1	0	0	0	-1	78	1	0
	005	0	0	1	77	1	0	0	0	-1	77	1	0
	006	0	0	0	-39	0	0	0	0	0	-39	0	0
Trave Acciaio 10a-11a	001	0	1	8	123	12	2	0	-3	0	123	1	-9
	002	0	3	10	264	12	-2	0	-4	-2	264	6	-8
	003	0	0	1	77	3	0	0	0	-2	77	3	0
	004	0	0	1	80	3	0	0	0	-2	80	3	0
	005	0	0	1	79	3	0	0	0	-2	79	3	0
	006	0	0	1	-40	1	0	0	0	0	-40	1	0
Trave Acciaio 11a-12a	001	0	-3	-9	112	-14	8	0	1	17	112	-25	-2
	002	1	-2	-39	234	-59	6	1	1	45	234	-66	-1
	003	0	0	-2	81	-3	0	0	0	1	81	-3	0
	004	0	0	-2	79	-3	0	0	0	1	79	-3	0
	005	0	0	-2	80	-3	0	0	0	1	80	-3	0
	006	0	0	0	-41	0	0	0	0	1	-41	0	0
Trave Acciaio 12a-13a	001	0	-4	-21	421	-26	9	0	1	20	421	-37	-2
	002	1	-3	-74	603	-107	6	1	1	72	603	-113	-1
	003	0	0	-1	79	-2	0	0	0	2	79	-2	0
	004	0	0	-1	77	-2	0	0	0	2	77	-2	0
	005	0	0	-1	78	-2	0	0	0	2	78	-2	0
	006	0	0	0	-40	0	0	0	0	0	-40	0	0
Trave Acciaio 13a-14a	001	0	-1	-4	534	-1	5	0	-1	4	534	-11	-5
	002	0	0	-16	714	-25	-1	0	-1	17	714	-25	-1
	003	0	0	1	79	0	0	0	0	1	79	0	0
	004	0	0	1	79	0	0	0	0	1	79	0	0
	005	0	0	1	79	0	0	0	0	1	79	0	0
	006	0	0	0	-40	0	0	0	0	0	-40	0	0
Trave Acciaio 14a-15a	001	0	1	13	423	25	2	0	-3	-12	423	14	-8
	002	-1	2	44	581	64	-3	-1	-2	-41	581	64	-3
	003	0	0	1	82	1	0	0	0	0	82	1	0
	004	0	0	1	85	1	0	0	0	0	85	1	0
	005	0	0	1	83	1	0	0	0	0	83	1	0
	006	0	0	0	-43	0	0	0	0	0	-43	0	0
Trave Acciaio 15a-16a	001	0	1	24	137	37	2	0	-3	-18	137	26	-9
	002	-1	1	73	266	108	0	-1	-2	-66	266	101	-6
	003	0	0	1	87	2	0	0	0	-2	87	2	0
	004	0	0	1	91	2	0	0	0	-2	91	2	0
	005	0	0	1	89	2	0	0	0	-2	89	2	0
	006	0	0	1	-46	1	0	0	0	0	-46	1	0
Trave Acciaio 16a-17a	001	0	-2	12	-19	15	7	0	0	-1	-19	4	-3
	002	0	-3	22	110	27	7	0	2	-10	110	21	0
	003	0	0	-2	92	-1	0	0	0	-1	92	-1	0

Travi - Sollecitazioni per condizioni di carico non sismiche														
Id _{Tr}	CC	Estr. Inz.						Estr. Fin.						
		M ₁ [N-m]	M ₂ [N-m]	M ₃ [N-m]	N [N]	T ₂ [N]	T ₃ [N]	M ₁ [N-m]	M ₂ [N-m]	M ₃ [N-m]	N [N]	T ₂ [N]	T ₃ [N]	
	004	0	0	-2	92	-1	0	0	0	0	92	-1	0	
	005	0	0	-2	92	-1	0	0	0	-1	92	-1	0	
	006	0	0	0	-47	0	0	0	0	1	-47	0	0	
Trave Acciaio 17a-18a	001	0	-4	3	311	8	10	0	2	-1	311	-2	0	
	002	0	-6	-1	607	2	10	0	4	0	607	-4	4	
	003	0	0	-1	82	-1	0	0	0	1	82	-1	0	
	004	0	0	-1	81	-1	0	0	0	1	81	-1	0	
	005	0	0	-1	82	-1	0	0	0	1	82	-1	0	
	006	0	0	0	-42	-1	0	0	0	0	-42	-1	0	
Trave Acciaio 18a-19a	001	0	-3	2	572	12	7	0	0	-7	572	1	-3	
	002	0	-3	-2	988	7	6	0	1	-8	988	1	0	
	003	0	0	1	67	0	0	0	0	1	67	0	0	
	004	0	0	1	69	0	0	0	0	1	69	0	0	
	005	0	0	1	68	0	0	0	0	1	68	0	0	
	006	0	0	-1	-35	0	0	0	0	0	-35	0	0	
Trave Acciaio 19a-20a	001	0	0	-5	578	3	3	0	-3	-1	578	-8	-7	
	002	0	1	2	967	14	0	0	-3	-13	967	8	-7	
	003	0	0	2	54	1	0	0	0	0	54	1	0	
	004	0	0	2	59	1	0	0	0	0	59	1	0	
	005	0	0	2	57	1	0	0	0	0	57	1	0	
	006	0	0	-1	-29	0	0	0	0	0	-29	0	0	
Trave Acciaio 20a-21a	001	0	2	0	332	6	1	0	-4	-1	332	-4	-10	
	002	0	4	9	556	19	-4	0	-5	-13	556	13	-10	
	003	0	0	2	43	2	0	0	0	-1	43	2	0	
	004	0	0	2	49	2	0	0	0	-1	49	2	0	
	005	0	0	2	46	2	0	0	0	-1	46	2	0	
	006	0	0	0	-24	0	0	0	0	0	-24	0	0	
Trave Acciaio 24a-1	001	-64	-45	-17	-52	-607	-1.060	-64	-709	364	-52	-660	-1.152	
	002	-60	-141	-51	-80	-639	-1.122	-60	-820	337	-80	-655	-1.148	
	003	-14	-128	-46	20	256	87	-14	-76	-199	20	256	87	
	004	-14	-112	-39	6	256	87	-14	-60	-193	6	256	87	
	005	-14	-120	-42	13	256	87	-14	-68	-196	13	256	87	
	006	-7	63	23	-7	-136	-46	-7	36	104	-7	-136	-46	
Trave Acciaio 29a-2	001	-135	-178	1.412	948	-2.435	-3.905	-135	-4.013	3.799	948	-2.520	-4.054	
	002	-212	-262	2.117	1.454	-3.658	-5.862	-212	-5.931	5.654	1.454	-3.685	-5.907	
	003	-15	86	-224	-136	668	263	-15	340	-868	-136	668	263	
	004	-15	112	-246	-162	679	282	-15	383	-900	-162	679	282	
	005	-15	99	-235	-149	673	273	-15	362	-884	-149	673	273	
	006	-17	-53	125	79	-360	-144	-17	-192	472	79	-360	-144	
Trave Acciaio 44a-5	001	60	63	38	961	-1.850	-3.474	60	-2.505	1.407	961	-1.915	-3.586	
	002	221	74	4	1.592	-2.665	-5.124	221	-3.658	1.946	1.592	-2.675	-5.141	
	003	-32	100	72	-136	594	170	-32	224	-360	-136	594	170	
	004	-32	137	35	-180	604	189	-32	274	-405	-180	604	189	
	005	-32	119	53	-158	599	179	-32	249	-382	-158	599	179	
	006	-10	-63	-29	84	-319	-96	-10	-133	203	84	-319	-96	

LEGENDA:

Id_{Tr} Identificativo della trave. L'eventuale lettera tra parentesi distingue i diversi tratti della travata al livello considerato.

CC Identificativo della tipologia di carico nella relativa tabella.

Estr. Sollecitazione caratteristiche relative al sistema di riferimento locale 1, 2, 3 (N > 0: compressione).

Inz./Fin.

TRAVI - SOLLECITAZIONI PER EFFETTO DEL SISMA

Travi - Sollecitazioni per effetto del sisma														
Id _{Tr}	Di r	Estr. Inz.						Estr. Fin.						
		M ₁ [N-m]	M ₂ [N-m]	M ₃ [N-m]	N [N]	T ₂ [N]	T ₃ [N]	M ₁ [N-m]	M ₂ [N-m]	M ₃ [N-m]	N [N]	T ₂ [N]	T ₃ [N]	
Piano Terra														
Travata: Piano Terra														
Trave Acciaio 5-45a	X	0	0	0	0	0	0	0	0	0	0	0	0	0
	Y	0	0	0	0	0	0	0	0	0	0	0	0	0
	Z	2	10	1	0	6	3	2	11	5	0	6	3	3
Trave Acciaio 34a-3	X	0	0	0	0	0	0	0	0	0	0	0	0	0
	Y	0	0	0	0	0	0	0	0	0	0	0	0	0
	Z	2	18	15	22	49	87	2	96	74	22	49	87	87
Trave Acciaio 39a-4	X	0	0	0	0	0	0	0	0	0	0	0	0	0
	Y	0	0	0	0	0	0	0	0	0	0	0	0	0
	Z	14	55	54	19	41	80	14	86	68	19	41	80	80
Trave Acciaio 24a-67a	X	0	0	0	0	0	0	0	0	0	0	0	0	0
	Y	0	0	0	0	0	0	0	0	0	0	0	0	0
	Z	0	5	12	0	8	5	0	0	0	0	8	5	5
Trave Acciaio 22a-24a	X	0	0	0	0	0	0	0	0	0	0	0	0	0
	Y	0	0	0	0	0	0	0	0	0	0	0	0	0
	Z	1	0	0	0	6	3	1	7	21	0	6	3	3
Trave Acciaio 45a-68a	X	0	0	0	0	0	0	0	0	0	0	0	0	0

Travi - Sollecitazioni per effetto del sisma

Id _{Tr}	Dir	Estr. Inz.						Estr. Fin.						
		M ₁ [N-m]	M ₂ [N-m]	M ₃ [N-m]	N [N]	T ₂ [N]	T ₃ [N]	M ₁ [N-m]	M ₂ [N-m]	M ₃ [N-m]	N [N]	T ₂ [N]	T ₃ [N]	
	Y	0	0	0	0	0	0	0	0	0	0	0	0	0
	Z	0	3	6	1	3	1	0	0	0	1	3	1	0
Trave Acciaio 23a-45a	X	0	0	0	0	0	0	0	0	0	0	0	0	0
	Y	0	0	0	0	0	0	0	0	0	0	0	0	0
	Z	1	0	0	1	5	2	1	7	12	1	5	2	0
Trave Acciaio 25a-46a	X	0	0	0	0	0	0	0	0	0	0	0	0	0
	Y	0	0	0	0	0	0	0	0	0	0	0	0	0
	Z	0	18	20	3	11	10	0	0	0	3	11	10	0
Trave Acciaio 1-25a	X	0	0	0	0	0	0	0	0	0	0	0	0	0
	Y	0	0	0	0	0	0	0	0	0	0	0	0	0
	Z	1	58	25	19	28	89	1	5	3	19	28	89	0
Trave Acciaio 1a-25a	X	0	0	0	0	0	0	0	0	0	0	0	0	0
	Y	0	0	0	0	0	0	0	0	0	0	0	0	0
	Z	1	0	0	3	11	9	1	16	21	3	11	9	0
Trave Acciaio 26a-47a	X	0	0	0	0	0	0	0	0	0	0	0	0	0
	Y	0	0	0	0	0	0	0	0	0	0	0	0	0
	Z	0	17	11	7	3	7	0	0	0	7	3	7	0
Trave Acciaio 25a-26a	X	0	0	0	0	0	0	0	0	0	0	0	0	0
	Y	0	0	0	0	0	0	0	0	0	0	0	0	0
	Z	2	32	10	20	13	64	2	56	28	20	13	64	0
Trave Acciaio 2a-26a	X	0	0	0	0	0	0	0	0	0	0	0	0	0
	Y	0	0	0	0	0	0	0	0	0	0	0	0	0
	Z	1	0	0	8	6	5	1	17	16	8	6	5	0
Trave Acciaio 27a-48a	X	0	0	0	0	0	0	0	0	0	0	0	0	0
	Y	0	0	0	0	0	0	0	0	0	0	0	0	0
	Z	0	1	11	8	5	2	0	0	0	8	5	2	0
Trave Acciaio 26a-27a	X	0	0	0	0	0	0	0	0	0	0	0	0	0
	Y	0	0	0	0	0	0	0	0	0	0	0	0	0
	Z	1	22	37	20	2	18	1	53	45	20	2	18	0
Trave Acciaio 3a-27a	X	0	0	0	0	0	0	0	0	0	0	0	0	0
	Y	0	0	0	0	0	0	0	0	0	0	0	0	0
	Z	0	0	0	6	8	2	0	1	16	6	8	2	0
Trave Acciaio 28a-49a	X	0	0	0	0	0	0	0	0	0	0	0	0	0
	Y	0	0	0	0	0	0	0	0	0	0	0	0	0
	Z	0	16	17	8	6	13	0	0	0	8	6	13	0
Trave Acciaio 27a-28a	X	0	0	0	0	0	0	0	0	0	0	0	0	0
	Y	0	0	0	0	0	0	0	0	0	0	0	0	0
	Z	1	52	41	19	13	30	1	14	23	19	13	30	0
Trave Acciaio 4a-28a	X	0	0	0	0	0	0	0	0	0	0	0	0	0
	Y	0	0	0	0	0	0	0	0	0	0	0	0	0
	Z	1	0	0	7	5	12	1	18	17	7	5	12	0
Trave Acciaio 29a-50a	X	0	0	0	0	0	0	0	0	0	0	0	0	0
	Y	0	0	0	0	0	0	0	0	0	0	0	0	0
	Z	0	22	13	6	2	8	0	0	0	6	2	8	0
Trave Acciaio 28a-29a	X	0	0	0	0	0	0	0	0	0	0	0	0	0
	Y	0	0	0	0	0	0	0	0	0	0	0	0	0
	Z	2	50	14	21	31	73	2	49	25	21	31	73	0
Trave Acciaio 5a-29a	X	0	0	0	0	0	0	0	0	0	0	0	0	0
	Y	0	0	0	0	0	0	0	0	0	0	0	0	0
	Z	1	0	0	5	9	9	1	25	17	5	9	9	0
Trave Acciaio 30a-51a	X	0	0	0	0	0	0	0	0	0	0	0	0	0
	Y	0	0	0	0	0	0	0	0	0	0	0	0	0
	Z	0	7	18	3	7	8	0	0	0	3	7	8	0
Trave Acciaio 2-30a	X	0	0	0	0	0	0	0	0	0	0	0	0	0
	Y	0	0	0	0	0	0	0	0	0	0	0	0	0
	Z	7	99	78	22	57	103	7	61	57	22	57	103	0
Trave Acciaio 6a-30a	X	0	0	0	0	0	0	0	0	0	0	0	0	0
	Y	0	0	0	0	0	0	0	0	0	0	0	0	0
	Z	0	0	0	3	11	8	0	8	24	3	11	8	0
Trave Acciaio 31a-52a	X	0	0	0	0	0	0	0	0	0	0	0	0	0
	Y	0	0	0	0	0	0	0	0	0	0	0	0	0
	Z	0	19	19	6	11	12	0	0	0	6	11	12	0
Trave Acciaio 30a-31a	X	0	0	0	0	0	0	0	0	0	0	0	0	0
	Y	0	0	0	0	0	0	0	0	0	0	0	0	0
	Z	0	78	53	22	45	88	0	36	6	22	45	88	0
Trave Acciaio 7a-31a	X	0	0	0	0	0	0	0	0	0	0	0	0	0
	Y	0	0	0	0	0	0	0	0	0	0	0	0	0
	Z	0	0	0	6	11	13	0	22	26	6	11	13	0
Trave Acciaio 32a-53a	X	0	0	0	0	0	0	0	0	0	0	0	0	0
	Y	0	0	0	0	0	0	0	0	0	0	0	0	0
	Z	0	9	15	8	9	4	0	0	0	8	9	4	0
Trave Acciaio 31a-32a	X	0	0	0	0	0	0	0	0	0	0	0	0	0
	Y	0	0	0	0	0	0	0	0	0	0	0	0	0
	Z	0	2	18	23	19	46	0	57	44	23	19	46	0
Trave Acciaio 8a-32a	X	0	0	0	0	0	0	0	0	0	0	0	0	0
	Y	0	0	0	0	0	0	0	0	0	0	0	0	0

Travi - Sollecitazioni per effetto del sisma

Id _{Tr}	Dir	Estr. Inz.						Estr. Fin.					
		M ₁ [N-m]	M ₂ [N-m]	M ₃ [N-m]	N [N]	T ₂ [N]	T ₃ [N]	M ₁ [N-m]	M ₂ [N-m]	M ₃ [N-m]	N [N]	T ₂ [N]	T ₃ [N]
	Z	0	0	0	10	9	3	0	6	18	10	9	3
Trave Acciaio 33a-54a	X	0	0	0	0	0	0	0	0	0	0	0	0
	Y	0	0	0	0	0	0	0	0	0	0	0	0
	Z	0	12	17	8	7	6	0	0	0	8	7	6
Trave Acciaio 32a-33a	X	0	0	0	0	0	0	0	0	0	0	0	0
	Y	0	0	0	0	0	0	0	0	0	0	0	0
	Z	1	42	48	22	4	10	1	33	40	22	4	10
Trave Acciaio 9a-33a	X	0	0	0	0	0	0	0	0	0	0	0	0
	Y	0	0	0	0	0	0	0	0	0	0	0	0
	Z	0	0	0	10	7	6	0	15	17	10	7	6
Trave Acciaio 34a-55a	X	0	0	0	0	0	0	0	0	0	0	0	0
	Y	0	0	0	0	0	0	0	0	0	0	0	0
	Z	0	19	20	4	11	10	0	0	0	4	11	10
Trave Acciaio 33a-34a	X	0	0	0	0	0	0	0	0	0	0	0	0
	Y	0	0	0	0	0	0	0	0	0	0	0	0
	Z	3	57	36	23	25	58	3	21	1	23	25	58
Trave Acciaio 10a-34a	X	0	0	0	0	0	0	0	0	0	0	0	0
	Y	0	0	0	0	0	0	0	0	0	0	0	0
	Z	2	0	0	6	7	10	2	24	19	6	7	10
Trave Acciaio 3-56a	X	0	0	0	0	0	0	0	0	0	0	0	0
	Y	0	0	0	0	0	0	0	0	0	0	0	0
	Z	0	0	16	3	10	0	0	0	0	3	10	0
Trave Acciaio 11a-3	X	0	0	0	0	0	0	0	0	0	0	0	0
	Y	0	0	0	0	0	0	0	0	0	0	0	0
	Z	0	0	0	2	7	1	0	2	10	2	7	1
Trave Acciaio 35a-57a	X	0	0	0	0	0	0	0	0	0	0	0	0
	Y	0	0	0	0	0	0	0	0	0	0	0	0
	Z	0	20	23	7	9	9	0	1	0	7	9	9
Trave Acciaio 3-35a	X	0	0	0	0	0	0	0	0	0	0	0	0
	Y	0	0	0	0	0	0	0	0	0	0	0	0
	Z	1	93	72	20	41	81	1	15	18	20	41	81
Trave Acciaio 12a-35a	X	0	0	0	0	0	0	0	0	0	0	0	0
	Y	0	0	0	0	0	0	0	0	0	0	0	0
	Z	1	0	0	8	12	9	1	18	23	8	12	9
Trave Acciaio 36a-58a	X	0	0	0	0	0	0	0	0	0	0	0	0
	Y	0	0	0	0	0	0	0	0	0	0	0	0
	Z	0	6	20	10	9	7	0	0	0	10	9	7
Trave Acciaio 35a-36a	X	0	0	0	0	0	0	0	0	0	0	0	0
	Y	0	0	0	0	0	0	0	0	0	0	0	0
	Z	1	21	5	21	23	50	1	44	30	21	23	50
Trave Acciaio 13a-36a	X	0	0	0	0	0	0	0	0	0	0	0	0
	Y	0	0	0	0	0	0	0	0	0	0	0	0
	Z	0	0	0	8	11	5	0	4	22	8	11	5
Trave Acciaio 37a-59a	X	0	0	0	0	0	0	0	0	0	0	0	0
	Y	0	0	0	0	0	0	0	0	0	0	0	0
	Z	0	9	16	9	5	3	0	0	0	9	5	3
Trave Acciaio 36a-37a	X	0	0	0	0	0	0	0	0	0	0	0	0
	Y	0	0	0	0	0	0	0	0	0	0	0	0
	Z	0	32	33	22	1	1	0	30	34	22	1	1
Trave Acciaio 14a-37a	X	0	0	0	0	0	0	0	0	0	0	0	0
	Y	0	0	0	0	0	0	0	0	0	0	0	0
	Z	0	0	0	5	5	4	0	8	15	5	5	4
Trave Acciaio 38a-60a	X	0	0	0	0	0	0	0	0	0	0	0	0
	Y	0	0	0	0	0	0	0	0	0	0	0	0
	Z	0	15	13	8	4	10	0	1	0	8	4	10
Trave Acciaio 37a-38a	X	0	0	0	0	0	0	0	0	0	0	0	0
	Y	0	0	0	0	0	0	0	0	0	0	0	0
	Z	1	44	31	22	16	40	1	8	8	22	16	40
Trave Acciaio 15a-38a	X	0	0	0	0	0	0	0	0	0	0	0	0
	Y	0	0	0	0	0	0	0	0	0	0	0	0
	Z	1	0	0	6	10	11	1	18	22	6	10	11
Trave Acciaio 39a-61a	X	0	0	0	0	0	0	0	0	0	0	0	0
	Y	0	0	0	0	0	0	0	0	0	0	0	0
	Z	0	7	11	2	5	3	0	0	0	2	5	3
Trave Acciaio 38a-39a	X	0	0	0	0	0	0	0	0	0	0	0	0
	Y	0	0	0	0	0	0	0	0	0	0	0	0
	Z	1	26	4	19	33	73	1	67	50	19	33	73
Trave Acciaio 16a-39a	X	0	0	0	0	0	0	0	0	0	0	0	0
	Y	0	0	0	0	0	0	0	0	0	0	0	0
	Z	1	0	0	2	13	3	1	6	24	2	13	3
Trave Acciaio 40a-62a	X	0	0	0	0	0	0	0	0	0	0	0	0
	Y	0	0	0	0	0	0	0	0	0	0	0	0
	Z	0	22	20	4	11	11	0	0	0	4	11	11
Trave Acciaio 4-40a	X	0	0	0	0	0	0	0	0	0	0	0	0
	Y	0	0	0	0	0	0	0	0	0	0	0	0
	Z	0	92	71	23	43	93	0	1	32	23	43	93

Travi - Sollecitazioni per effetto del sisma

Id _{Tr}	Dir	Estr. Inz.						Estr. Fin.						
		M ₁	M ₂	M ₃	N	T ₂	T ₃	M ₁	M ₂	M ₃	N	T ₂	T ₃	
		[N-m]	[N-m]	[N-m]	[N]	[N]	[N]	[N-m]	[N-m]	[N-m]	[N]	[N]	[N]	
Trave Acciaio 17a-40a	X	0	0	0	0	0	0	0	0	0	0	0	0	0
	Y	0	0	0	0	0	0	0	0	0	0	0	0	0
	Z	0	0	0	0	5	16	10	0	20	27	5	16	10
Trave Acciaio 41a-63a	X	0	0	0	0	0	0	0	0	0	0	0	0	0
	Y	0	0	0	0	0	0	0	0	0	0	0	0	0
	Z	0	18	18	6	13	10	0	0	0	6	13	10	0
Trave Acciaio 40a-41a	X	0	0	0	0	0	0	0	0	0	0	0	0	0
	Y	0	0	0	0	0	0	0	0	0	0	0	0	0
	Z	3	41	16	24	28	71	3	51	17	24	28	71	0
Trave Acciaio 18a-41a	X	0	0	0	0	0	0	0	0	0	0	0	0	0
	Y	0	0	0	0	0	0	0	0	0	0	0	0	0
	Z	0	0	0	6	13	11	0	17	20	6	13	11	0
Trave Acciaio 42a-64a	X	0	0	0	0	0	0	0	0	0	0	0	0	0
	Y	0	0	0	0	0	0	0	0	0	0	0	0	0
	Z	0	3	17	6	10	2	0	0	0	6	10	2	0
Trave Acciaio 41a-42a	X	0	0	0	0	0	0	0	0	0	0	0	0	0
	Y	0	0	0	0	0	0	0	0	0	0	0	0	0
	Z	1	16	31	23	12	25	1	52	49	23	12	25	0
Trave Acciaio 19a-42a	X	0	0	0	0	0	0	0	0	0	0	0	0	0
	Y	0	0	0	0	0	0	0	0	0	0	0	0	0
	Z	0	0	0	11	9	0	0	1	19	11	9	0	0
Trave Acciaio 43a-65a	X	0	0	0	0	0	0	0	0	0	0	0	0	0
	Y	0	0	0	0	0	0	0	0	0	0	0	0	0
	Z	0	12	16	10	9	8	0	0	0	10	9	8	0
Trave Acciaio 42a-43a	X	0	0	0	0	0	0	0	0	0	0	0	0	0
	Y	0	0	0	0	0	0	0	0	0	0	0	0	0
	Z	1	47	48	21	3	21	1	23	42	21	3	21	0
Trave Acciaio 20a-43a	X	0	0	0	0	0	0	0	0	0	0	0	0	0
	Y	0	0	0	0	0	0	0	0	0	0	0	0	0
	Z	0	0	0	11	9	7	0	15	19	11	9	7	0
Trave Acciaio 44a-66a	X	0	0	0	0	0	0	0	0	0	0	0	0	0
	Y	0	0	0	0	0	0	0	0	0	0	0	0	0
	Z	0	17	12	2	5	9	0	0	0	2	5	9	0
Trave Acciaio 43a-44a	X	0	0	0	0	0	0	0	0	0	0	0	0	0
	Y	0	0	0	0	0	0	0	0	0	0	0	0	0
	Z	4	55	33	23	19	60	4	30	7	23	19	60	0
Trave Acciaio 21a-44a	X	0	0	0	0	0	0	0	0	0	0	0	0	0
	Y	0	0	0	0	0	0	0	0	0	0	0	0	0
	Z	1	0	0	3	6	11	1	20	16	3	6	11	0
Trave Acciaio 21a-23a	X	0	0	0	0	0	0	0	0	0	0	0	0	0
	Y	0	0	0	0	0	0	0	0	0	0	0	0	0
	Z	0	0	2	4	1	0	0	0	1	4	1	0	0
Trave Acciaio 66a-68a	X	0	0	0	0	0	0	0	0	0	0	0	0	0
	Y	0	0	0	0	0	0	0	0	0	0	0	0	0
	Z	0	0	0	3	0	1	0	0	0	3	0	1	0
Trave Acciaio 67a-46a	X	0	0	0	0	0	0	0	0	0	0	0	0	0
	Y	0	0	0	0	0	0	0	0	0	0	0	0	0
	Z	0	0	0	4	0	0	0	0	0	4	0	0	0
Trave Acciaio 46a-47a	X	0	0	0	0	0	0	0	0	0	0	0	0	0
	Y	0	0	0	0	0	0	0	0	0	0	0	0	0
	Z	0	0	0	11	0	0	0	0	0	11	0	0	0
Trave Acciaio 47a-48a	X	0	0	0	0	0	0	0	0	0	0	0	0	0
	Y	0	0	0	0	0	0	0	0	0	0	0	0	0
	Z	0	0	0	21	0	0	0	0	0	21	0	0	0
Trave Acciaio 48a-49a	X	0	0	0	0	0	0	0	0	0	0	0	0	0
	Y	0	0	0	0	0	0	0	0	0	0	0	0	0
	Z	0	0	0	22	0	0	0	0	0	22	0	0	0
Trave Acciaio 49a-50a	X	0	0	0	0	0	0	0	0	0	0	0	0	0
	Y	0	0	0	0	0	0	0	0	0	0	0	0	0
	Z	0	0	0	14	0	0	0	0	0	14	0	0	0
Trave Acciaio 50a-51a	X	0	0	0	0	0	0	0	0	0	0	0	0	0
	Y	0	0	0	0	0	0	0	0	0	0	0	0	0
	Z	0	0	0	1	0	0	0	0	0	1	0	0	0
Trave Acciaio 51a-52a	X	0	0	0	0	0	0	0	0	0	0	0	0	0
	Y	0	0	0	0	0	0	0	0	0	0	0	0	0
	Z	0	0	0	5	0	0	0	0	0	5	0	0	0
Trave Acciaio 52a-53a	X	0	0	0	0	0	0	0	0	0	0	0	0	0
	Y	0	0	0	0	0	0	0	0	0	0	0	0	0
	Z	0	0	0	15	0	1	0	0	0	15	0	1	0
Trave Acciaio 53a-54a	X	0	0	0	0	0	0	0	0	0	0	0	0	0
	Y	0	0	0	0	0	0	0	0	0	0	0	0	0
	Z	0	1	0	22	0	1	0	0	0	22	0	1	0
Trave Acciaio 54a-55a	X	0	0	0	0	0	0	0	0	0	0	0	0	0
	Y	0	0	0	0	0	0	0	0	0	0	0	0	0
	Z	0	0	0	15	0	0	0	0	0	15	0	0	0
Trave Acciaio 55a-56a	X	0	0	0	0	0	0	0	0	0	0	0	0	0
	Y	0	0	0	0	0	0	0	0	0	0	0	0	0
	Z	0	0	0	0	0	0	0	0	0	0	0	0	0

Travi - Sollecitazioni per effetto del sisma

Id _{Tr}	Dir	Estr. Inz.						Estr. Fin.						
		M ₁ [N-m]	M ₂ [N-m]	M ₃ [N-m]	N [N]	T ₂ [N]	T ₃ [N]	M ₁ [N-m]	M ₂ [N-m]	M ₃ [N-m]	N [N]	T ₂ [N]	T ₃ [N]	
	Y	0	0	0	0	0	0	0	0	0	0	0	0	0
	Z	0	0	0	4	0	0	0	0	0	4	0	0	0
Trave Acciaio 56a-57a	X	0	0	0	0	0	0	0	0	0	0	0	0	0
	Y	0	0	0	0	0	0	0	0	0	0	0	0	0
	Z	0	0	0	4	1	0	0	0	0	4	1	0	0
Trave Acciaio 57a-58a	X	0	0	0	0	0	0	0	0	0	0	0	0	0
	Y	0	0	0	0	0	0	0	0	0	0	0	0	0
	Z	0	0	0	11	0	0	0	0	0	11	0	0	0
Trave Acciaio 58a-59a	X	0	0	0	0	0	0	0	0	0	0	0	0	0
	Y	0	0	0	0	0	0	0	0	0	0	0	0	0
	Z	0	0	0	18	0	1	0	0	0	18	0	1	0
Trave Acciaio 59a-60a	X	0	0	0	0	0	0	0	0	0	0	0	0	0
	Y	0	0	0	0	0	0	0	0	0	0	0	0	0
	Z	0	0	0	12	1	1	0	0	0	12	1	1	0
Trave Acciaio 60a-61a	X	0	0	0	0	0	0	0	0	0	0	0	0	0
	Y	0	0	0	0	0	0	0	0	0	0	0	0	0
	Z	0	0	0	3	0	0	0	0	0	3	0	0	0
Trave Acciaio 61a-62a	X	0	0	0	0	0	0	0	0	0	0	0	0	0
	Y	0	0	0	0	0	0	0	0	0	0	0	0	0
	Z	0	0	0	2	0	0	0	0	0	2	0	0	0
Trave Acciaio 62a-63a	X	0	0	0	0	0	0	0	0	0	0	0	0	0
	Y	0	0	0	0	0	0	0	0	0	0	0	0	0
	Z	0	0	0	9	0	1	0	0	0	9	0	1	0
Trave Acciaio 63a-64a	X	0	0	0	0	0	0	0	0	0	0	0	0	0
	Y	0	0	0	0	0	0	0	0	0	0	0	0	0
	Z	0	0	0	18	0	1	0	0	0	18	0	1	0
Trave Acciaio 64a-65a	X	0	0	0	0	0	0	0	0	0	0	0	0	0
	Y	0	0	0	0	0	0	0	0	0	0	0	0	0
	Z	0	0	0	21	0	0	0	0	0	21	0	0	0
Trave Acciaio 65a-66a	X	0	0	0	0	0	0	0	0	0	0	0	0	0
	Y	0	0	0	0	0	0	0	0	0	0	0	0	0
	Z	0	0	0	12	0	0	0	0	0	12	0	0	0
Trave Acciaio 22a-1a	X	0	0	0	0	0	0	0	0	0	0	0	0	0
	Y	0	0	0	0	0	0	0	0	0	0	0	0	0
	Z	0	0	1	5	0	0	0	0	1	5	0	0	0
Trave Acciaio 1a-2a	X	0	0	0	0	0	0	0	0	0	0	0	0	0
	Y	0	0	0	0	0	0	0	0	0	0	0	0	0
	Z	0	0	0	14	2	0	0	0	0	14	2	0	0
Trave Acciaio 2a-3a	X	0	0	0	0	0	0	0	0	0	0	0	0	0
	Y	0	0	0	0	0	0	0	0	0	0	0	0	0
	Z	0	0	0	24	0	0	0	0	0	24	0	0	0
Trave Acciaio 3a-4a	X	0	0	0	0	0	0	0	0	0	0	0	0	0
	Y	0	0	0	0	0	0	0	0	0	0	0	0	0
	Z	0	0	1	19	1	0	0	0	1	19	1	0	0
Trave Acciaio 4a-5a	X	0	0	0	0	0	0	0	0	0	0	0	0	0
	Y	0	0	0	0	0	0	0	0	0	0	0	0	0
	Z	0	0	0	15	2	0	0	0	0	15	2	0	0
Trave Acciaio 5a-6a	X	0	0	0	0	0	0	0	0	0	0	0	0	0
	Y	0	0	0	0	0	0	0	0	0	0	0	0	0
	Z	0	0	0	2	0	0	0	0	0	2	0	0	0
Trave Acciaio 6a-7a	X	0	0	0	0	0	0	0	0	0	0	0	0	0
	Y	0	0	0	0	0	0	0	0	0	0	0	0	0
	Z	0	0	0	7	1	0	0	0	0	7	1	0	0
Trave Acciaio 7a-8a	X	0	0	0	0	0	0	0	0	0	0	0	0	0
	Y	0	0	0	0	0	0	0	0	0	0	0	0	0
	Z	0	0	2	20	0	0	0	0	2	20	0	0	0
Trave Acciaio 8a-9a	X	0	0	0	0	0	0	0	0	0	0	0	0	0
	Y	0	0	0	0	0	0	0	0	0	0	0	0	0
	Z	0	0	1	24	1	0	0	0	1	24	1	0	0
Trave Acciaio 9a-10a	X	0	0	0	0	0	0	0	0	0	0	0	0	0
	Y	0	0	0	0	0	0	0	0	0	0	0	0	0
	Z	0	0	1	17	0	0	0	0	1	17	0	0	0
Trave Acciaio 10a-11a	X	0	0	0	0	0	0	0	0	0	0	0	0	0
	Y	0	0	0	0	0	0	0	0	0	0	0	0	0
	Z	0	0	0	5	0	0	0	0	0	5	0	0	0
Trave Acciaio 11a-12a	X	0	0	0	0	0	0	0	0	0	0	0	0	0
	Y	0	0	0	0	0	0	0	0	0	0	0	0	0
	Z	0	0	1	8	1	0	0	0	0	8	1	0	0
Trave Acciaio 12a-13a	X	0	0	0	0	0	0	0	0	0	0	0	0	0
	Y	0	0	0	0	0	0	0	0	0	0	0	0	0
	Z	0	0	1	16	1	0	0	0	1	16	1	0	0
Trave Acciaio 13a-14a	X	0	0	0	0	0	0	0	0	0	0	0	0	0
	Y	0	0	0	0	0	0	0	0	0	0	0	0	0
	Z	0	0	1	18	0	0	0	0	0	18	0	0	0
Trave Acciaio 14a-15a	X	0	0	0	0	0	0	0	0	0	0	0	0	0
	Y	0	0	0	0	0	0	0	0	0	0	0	0	0

Travi - Sollecitazioni per effetto del sisma

Id _{Tr}	Dir	Estr. Inz.						Estr. Fin.					
		M ₁ [N-m]	M ₂ [N-m]	M ₃ [N-m]	N [N]	T ₂ [N]	T ₃ [N]	M ₁ [N-m]	M ₂ [N-m]	M ₃ [N-m]	N [N]	T ₂ [N]	T ₃ [N]
Trave Acciaio 15a-16a	Z	0	0	0	14	0	0	0	0	0	14	0	0
	X	0	0	0	0	0	0	0	0	0	0	0	0
	Y	0	0	0	0	0	0	0	0	0	0	0	0
Trave Acciaio 16a-17a	Z	0	0	0	5	1	0	0	0	0	5	1	0
	X	0	0	0	0	0	0	0	0	0	0	0	0
	Y	0	0	0	0	0	0	0	0	0	0	0	0
Trave Acciaio 17a-18a	Z	0	0	0	1	3	0	0	0	0	3	0	0
	X	0	0	0	0	0	0	0	0	0	0	0	0
	Y	0	0	0	0	0	0	0	0	0	0	0	0
Trave Acciaio 18a-19a	Z	0	0	0	12	1	0	0	0	0	12	1	0
	X	0	0	0	0	0	0	0	0	0	0	0	0
	Y	0	0	0	0	0	0	0	0	0	0	0	0
Trave Acciaio 19a-20a	Z	0	0	1	23	1	0	0	0	1	23	1	0
	X	0	0	0	0	0	0	0	0	0	0	0	0
	Y	0	0	0	0	0	0	0	0	0	0	0	0
Trave Acciaio 20a-21a	Z	0	0	0	24	0	0	0	0	0	24	0	0
	X	0	0	0	0	0	0	0	0	0	0	0	0
	Y	0	0	0	0	0	0	0	0	0	0	0	0
Trave Acciaio 24a-1	Z	0	0	1	12	1	0	0	0	1	12	1	0
	X	0	0	0	0	0	0	0	0	0	0	0	0
	Y	0	0	0	0	0	0	0	0	0	0	0	0
Trave Acciaio 29a-2	Z	5	11	3	0	8	7	5	15	1	0	8	7
	X	0	0	0	0	0	0	0	0	0	0	0	0
	Y	0	0	0	0	0	0	0	0	0	0	0	0
Trave Acciaio 44a-5	Z	3	8	38	20	37	95	3	99	76	20	37	95
	X	0	0	0	0	0	0	0	0	0	0	0	0
	Y	0	0	0	0	0	0	0	0	0	0	0	0
	Z	3	3	6	24	28	77	3	55	26	24	28	77
	X	0	0	0	0	0	0	0	0	0	0	0	0
	Y	0	0	0	0	0	0	0	0	0	0	0	0

LEGENDA:

- Id_{Tr}** Identificativo della trave. L'eventuale lettera tra parentesi distingue i diversi tratti della travata al livello considerato.
- Dir** Direzione del sisma.
- Estr.** Sollecitazione caratteristiche relative al sistema di riferimento locale 1, 2, 3 (N > 0: compressione).
- Inz./Fin.**

PILASTRI - SOLLECITAZIONI PER CONDIZIONI DI CARICO NON SISMICHE

Pilastri - Sollecitazioni per condizioni di carico non sismiche

Id _{Pil}	CC	Estr. Inf.						Estr. Sup.						Lv
		M ₁ [N-m]	M ₂ [N-m]	M ₃ [N-m]	N [N]	T ₂ [N]	T ₃ [N]	M ₁ [N-m]	M ₂ [N-m]	M ₃ [N-m]	N [N]	T ₂ [N]	T ₃ [N]	
Pilastrata: Piano Terra														
Pilastro Acciaio 1	001	7	-1.063	663	6.597	146	1.021	7	2.205	195	5.615	146	1.021	01
	002	11	-1.635	1.001	7.539	233	1.566	11	3.378	257	7.539	233	1.566	01
	003	-2	229	1.989	-670	607	-198	-2	-404	47	-670	607	-198	01
	004	-2	124	1.989	-649	607	-141	-2	-328	47	-649	607	-141	01
	005	-2	177	1.989	-659	607	-170	-2	-366	47	-659	607	-170	01
	006	1	-94	-1.017	352	-323	90	1	194	17	352	-323	90	01
Pilastro Acciaio 2	001	-1	194	-175	10.975	-155	-178	-1	-376	320	9.993	-155	-178	01
	002	-2	250	-276	14.756	-236	-231	-2	-490	479	14.756	-236	-231	01
	003	0	21	3.083	-1.173	949	0	0	22	47	-1.173	949	0	01
	004	0	-98	3.086	-1.178	950	70	0	127	47	-1.178	950	70	01
	005	0	-38	3.084	-1.176	949	35	0	74	47	-1.176	949	35	01
	006	0	20	-1.589	626	-507	-18	0	-39	35	626	-507	-18	01
Pilastro Acciaio 3	001	0	67	562	9.964	13	-58	0	-118	520	8.982	13	-58	01
	002	-2	319	1.428	12.371	79	-299	-2	-638	1.174	12.371	79	-299	01
	003	0	66	3.025	-1.056	927	-42	0	-68	60	-1.056	927	-42	01
	004	0	-50	3.026	-1.058	927	25	0	30	60	-1.058	927	25	01
	005	0	8	3.026	-1.057	927	-9	0	-19	60	-1.057	927	-9	01
	006	0	-4	-1.555	564	-495	4	0	10	30	564	-495	4	01
Pilastro Acciaio 5	001	-7	1.064	323	6.215	146	-1.011	-7	-2.170	-143	5.232	146	-1.011	01
	002	-11	1.761	176	6.471	273	-1.677	-11	-3.604	-699	6.471	273	-1.677	01
	003	2	-128	1.987	-649	606	143	2	329	46	-649	606	143	01
	004	2	-233	1.986	-670	606	200	2	406	46	-670	606	200	01
	005	2	-180	1.986	-659	606	171	2	367	46	-659	606	171	01
	006	-1	96	-1.016	352	-322	-91	-1	-195	16	352	-322	-91	01
Pilastro Acciaio 4	001	2	-232	29	10.351	-153	225	2	489	519	9.368	-153	225	01
	002	5	-669	605	12.789	-303	641	5	1.381	1.575	12.789	-303	641	01
	003	0	88	3.092	-1.178	951	-63	0	-114	49	-1.178	951	-63	01
	004	0	-31	3.088	-1.172	950	7	0	-9	49	-1.172	950	7	01
	005	0	29	3.090	-1.175	950	-28	0	-61	49	-1.175	950	-28	01
	006	0	-15	-1.591	626	-508	15	0	32	36	626	-508	15	01

LEGENDA:

Pilastri - Sollecitazioni per condizioni di carico non sismiche

Id _{Pil}	CC	Estr. Inf.						Estr. Sup.						Lv
		M ₁	M ₂	M ₃	N	T ₂	T ₃	M ₁	M ₂	M ₃	N	T ₂	T ₃	
		[N-m]	[N-m]	[N-m]	[N]	[N]	[N]	[N-m]	[N-m]	[N-m]	[N]	[N]	[N]	[N]
Id_{Pil}	Identificativo del Pilastro.													
CC	Identificativo della tipologia di carico nella relativa tabella.													
Lv	Identificativo del livello, nella relativa tabella.													
Estr.	Sollecitazione caratteristiche relative al sistema di riferimento locale 1, 2, 3 (N > 0: compressione).													
Inf./Sup.														

PILASTRI - SOLLECITAZIONI PER EFFETTO DEL SISMA

Pilastri - Sollecitazioni per effetto del sisma

Id _{Pil}	Dir	Dist r	Estr. Inf.						Estr. Sup.						Lv
			M ₁	M ₂	M ₃	N	T ₂	T ₃	M ₁	M ₂	M ₃	N	T ₂	T ₃	
			[N-m]	[N-m]	[N-m]	[N]	[N]	[N]	[N-m]	[N-m]	[N-m]	[N]	[N]	[N]	
Pilastrata: Piano Terra															
Pilastro Acciaio 1	X	-	0	0	0	0	0	0	0	0	0	0	0	0	01
	Y	-	0	0	0	0	0	0	0	0	0	0	0	0	01
	Z	-	0	25	63	102	22	21	0	49	6	102	22	21	01
Pilastro Acciaio 2	X	-	0	0	0	0	0	0	0	0	0	0	0	0	01
	Y	-	0	0	0	0	0	0	0	0	0	0	0	0	01
	Z	-	0	4	51	217	21	2	0	8	217	21	2	01	
Pilastro Acciaio 3	X	-	0	0	0	0	0	0	0	0	0	0	0	0	01
	Y	-	0	0	0	0	0	0	0	0	0	0	0	0	01
	Z	-	0	1	45	201	10	0	4	10	201	10	0	01	
Pilastro Acciaio 5	X	-	0	0	0	0	0	0	0	0	0	0	0	0	01
	Y	-	0	0	0	0	0	0	0	0	0	0	0	0	01
	Z	-	0	24	35	89	11	24	0	47	4	89	11	24	01
Pilastro Acciaio 4	X	-	0	0	0	0	0	0	0	0	0	0	0	0	01
	Y	-	0	0	0	0	0	0	0	0	0	0	0	0	01
	Z	-	0	4	30	202	15	4	0	8	12	202	15	4	01

LEGENDA:

- Id_{Pil}** Identificativo del Pilastro.
- Dir** Direzione del sisma.
- Distr** Distribuzione delle forze (0P = Principale non richiesta; 1P = Principale proporzionale alle forze statiche; 2P = Proporzionale I Modo vibrazione; 3P = Principale proporzionale ai taglianti; 0S = Secondaria non richiesta; 1S = Secondaria proporzionale alle masse; 2S = secondaria multimodale).
- Lv** Identificativo del livello, nella relativa tabella.
- Estr.** Sollecitazione caratteristiche relative al sistema di riferimento locale 1, 2, 3 (N > 0: compressione).
- Inf./Sup.**

NODI - REAZIONI VINCOLARI ESTERNE PER TIPOLOGIE DI CARICO NON SISMICHE

Nodi - Reazioni vincolari esterne per tipologie di carico non sismiche

Id _{Nd}	CC	F			M		
		F _x	F _y	F _z	M _x	M _y	M _z
		[N]	[N]	[N]	[N-m]	[N-m]	[N-m]
00001	001	1.021	-146	24.597	663	1.063	7
00001	002	1.566	-233	7.539	1.001	1.635	11
00001	003	-198	-607	-670	1.989	-229	-2
00001	004	-141	-607	-649	1.989	-124	-2
00001	005	-170	-607	-659	1.989	-177	-2
00001	006	90	323	352	-1.017	94	1
00002	001	-178	155	28.975	-175	-194	-1
00002	002	-231	236	14.756	-276	-250	-2
00002	003	0	-949	-1.173	3.083	-21	0
00002	004	70	-950	-1.178	3.086	98	0
00002	005	35	-949	-1.176	3.084	38	0
00002	006	-18	507	626	-1.589	-20	0
00003	001	-58	-13	27.964	562	-67	0
00003	002	-299	-79	12.371	1.428	-319	-2
00003	003	-42	-927	-1.056	3.025	-66	0
00003	004	25	-927	-1.058	3.026	50	0
00003	005	-9	-927	-1.057	3.026	-8	0
00003	006	4	495	564	-1.555	4	0
00004	001	-1.011	-146	24.215	323	-1.064	-7
00004	002	-1.677	-273	6.471	176	-1.761	-11
00004	003	143	-606	-649	1.987	128	2
00004	004	200	-606	-670	1.986	233	2
00004	005	171	-606	-659	1.986	180	2
00004	006	-91	322	352	-1.016	-96	-1
00005	001	225	153	28.351	29	232	2
00005	002	641	303	12.789	605	669	5
00005	003	-63	-951	-1.178	3.092	-88	0
00005	004	7	-950	-1.172	3.088	31	0

Nodi - Reazioni vincolari esterne per tipologie di carico non sismiche

IdNd	CC	F _x	F _y	F _z	M _x	M _y	M _z
		[N]	[N]	[N]	[N-m]	[N-m]	[N-m]
00005	005	-28	-950	-1.175	3.090	-29	0
00005	006	15	508	626	-1.591	15	0

LEGENDA:

IdNd Identificativo del nodo.
CC Identificativo della tipologia di carico nella relativa tabella.
F_x, F_y, F_z Reazioni vincolari relative al sistema di riferimento globale X, Y, Z.
M_x, M_y, M_z

NODI - REAZIONI VINCOLARI ESTERNE PER EFFETTO DEL SISMA

Nodi - Reazioni vincolari esterne per effetto del sisma

IdNd	Dir	F _x	F _y	F _z	M _x	M _y	M _z
		[N]	[N]	[N]	[N-m]	[N-m]	[N-m]
00001	X	0	0	0	0	0	0
00001	Y	0	0	0	0	0	0
00001	Z	23	23	106	63	23	0
00002	X	0	0	0	0	0	0
00002	Y	0	0	0	0	0	0
00002	Z	1	21	224	52	1	0
00003	X	0	0	0	0	0	0
00003	Y	0	0	0	0	0	0
00003	Z	2	13	208	43	2	0
00004	X	0	0	0	0	0	0
00004	Y	0	0	0	0	0	0
00004	Z	23	13	91	36	24	0
00005	X	0	0	0	0	0	0
00005	Y	0	0	0	0	0	0
00005	Z	4	16	204	33	4	0

LEGENDA:

IdNd Identificativo del nodo.
Dir Direzione del sisma.
F_x, F_y, F_z Reazioni vincolari relative al sistema di riferimento globale X, Y, Z.
M_x, M_y, M_z

TRAVI (AC) - VERIFICHE A PRESSOFLESSIONE (Elevazione) allo SLU

Travi (AC) - Verifiche a pressoflessione

IdTr	%LLT	N _{Ed}	V _{Ed}	M _{Ed,3}	CS	Tp Vr	M _{c,Rd}	V _{c,Rd}	ρ	A _v	t _w	N _{pl,Rd}
	[%]	[N]	[N]	[N-m]			[N-m]	[N]		[mm ²]	[mm]	[N]
Piano Terra												
Trave Acciaio 24a-67a	0%	-1.150	1.374	1.444	6,64	ELA	9.843	108.542	0,000	840	3,50	295.306
	25,0%	-887	1.057	819	11,60	ELA	9.843	108.542	0,000	840	3,50	295.306
	50,0%	-601	707	368	25,37	ELA	9.843	108.542	0,000	840	3,50	295.306
	75,0%	-311	359	94	94,31	ELA	9.843	108.542	0,000	840	3,50	295.306
	100,0%	-34	-14	18	NS	ELA	6.421	69.195	0,000	536	3,50	295.306
Trave Acciaio 22a-24a	0%	22	-191	6	NS	ELA	6.421	69.195	0,000	536	3,50	293.220
	25,0%	308	-193	96	62,50	ELA	6.421	69.195	0,000	536	3,50	293.220
	50,0%	597	-723	378	24,73	ELA	9.843	108.542	0,000	840	3,50	293.220
	75,0%	885	-1.081	847	11,23	ELA	9.843	108.542	0,000	840	3,50	293.220
	100%	1.155	-1.415	1.504	6,38	ELA	9.843	108.542	0,000	840	3,50	293.220
Trave Acciaio 45a-68a	0%	-389	550	574	16,77	ELA	9.843	108.542	0,000	840	3,50	295.306
	25,0%	-296	416	327	29,22	ELA	9.843	108.542	0,000	840	3,50	295.306
	50,0%	-205	280	148	63,57	ELA	9.843	108.542	0,000	840	3,50	295.306
	75,0%	-111	-38	28	NS	ELA	6.421	69.195	0,000	536	3,50	295.306
	100,0%	-30	32	16	NS	ELA	6.421	69.195	0,000	536	3,50	295.306
Trave Acciaio 23a-45a	0%	24	215	6	NS	ELA	6.421	69.195	0,000	536	3,50	293.220
	25,0%	309	217	108	55,95	ELA	6.421	69.195	0,000	536	3,50	293.220
	50,0%	598	-728	383	24,42	ELA	9.843	108.542	0,000	840	3,50	293.220
	75,0%	887	-1.086	855	11,13	ELA	9.843	108.542	0,000	840	3,50	293.220
	100%	1.156	-1.420	1.514	6,34	ELA	9.843	108.542	0,000	840	3,50	293.220
Trave Acciaio 25a-46a	0%	-1.917	-939	1.862	3,37	ELA	6.421	69.195	0,000	536	3,50	295.306
	25,0%	-1.485	-939	1.382	4,54	ELA	6.421	69.195	0,000	536	3,50	295.306
	50,0%	-1.006	-936	903	6,94	ELA	6.421	69.195	0,000	536	3,50	295.306
	75,0%	-522	-936	428	14,61	ELA	6.421	69.195	0,000	536	3,50	295.306

Travi (AC) - Verifiche a pressoflessione												
Id _{Tr}	%L _{Lt}	N _{Ed}	V _{Ed}	M _{Ed,3}	CS	Tp Vr	M _{C,Rd}	V _{C,Rd}	ρ	A _v	t _w	N _{pl,Rd}
	[%]	[N]	[N]	[N·m]			[N·m]	[N]		[mm ²]	[mm]	[N]
Trave Acciaio 4a-5a	0%	1.146	-27	17	4,04	ELA	80	12.264	0,000	95	4,00	32.452
	25,0%	1.146	-27	8	7,40	ELA	80	12.264	0,000	95	4,00	32.452
	50,0%	1.146	1	1	20,92	ELA	80	12.264	0,000	95	4,00	32.452
	75,0%	1.034	-27	11	5,91	ELA	80	12.264	0,000	95	4,00	32.452
	100,0%	1.034	-27	20	3,55	ELA	80	12.264	0,000	95	4,00	32.452
Trave Acciaio 5a-6a	0%	-167	-11	21	3,74	ELA	80	12.264	0,000	95	4,00	32.433
	25,0%	-167	-11	17	4,60	ELA	80	12.264	0,000	95	4,00	32.433
	50,0%	-167	-11	13	5,97	ELA	80	12.264	0,000	95	4,00	32.433
	75,0%	-167	-7	12	6,46	ELA	80	12.264	0,000	95	4,00	32.433
	100,0%	-167	-14	16	4,88	ELA	80	12.264	0,000	95	4,00	32.433
Trave Acciaio 6a-7a	0%	624	30	13	5,51	ELA	80	12.264	0,000	95	4,00	32.452
	25,0%	624	30	4	14,46	ELA	80	12.264	0,000	95	4,00	32.452
	50,0%	624	30	8	8,40	ELA	80	12.264	0,000	95	4,00	32.452
	75,0%	624	31	16	4,57	ELA	80	12.264	0,000	95	4,00	32.452
	100,0%	624	31	27	2,81	ELA	80	12.264	0,000	95	4,00	32.452
Trave Acciaio 7a-8a	0%	1.814	20	18	3,56	ELA	80	12.264	0,000	95	4,00	32.452
	25,0%	1.814	20	11	5,18	ELA	80	12.264	0,000	95	4,00	32.452
	50,0%	1.814	20	6	7,65	ELA	80	12.264	0,000	95	4,00	32.452
	75,0%	1.739	-11	4	9,66	ELA	80	12.264	0,000	95	4,00	32.452
	100,0%	1.814	20	8	6,42	ELA	80	12.264	0,000	95	4,00	32.452
Trave Acciaio 8a-9a	0%	2.268	-1	8	5,89	ELA	80	12.264	0,000	95	4,00	32.452
	25,0%	2.198	9	10	5,19	ELA	80	12.264	0,000	95	4,00	32.452
	50,0%	2.198	1	9	5,55	ELA	80	12.264	0,000	95	4,00	32.452
	75,0%	2.198	-9	9	5,55	ELA	80	12.264	0,000	95	4,00	32.452
	100,0%	2.198	-1	9	5,55	ELA	80	12.264	0,000	95	4,00	32.452
Trave Acciaio 9a-10a	0%	1.745	-21	9	6,02	ELA	80	12.264	0,000	95	4,00	32.452
	25,0%	1.745	8	4	9,64	ELA	80	12.264	0,000	95	4,00	32.452
	50,0%	1.745	1	4	9,64	ELA	80	12.264	0,000	95	4,00	32.452
	75,0%	1.745	-21	11	5,23	ELA	80	12.264	0,000	95	4,00	32.452
	100,0%	1.745	-21	18	3,59	ELA	80	12.264	0,000	95	4,00	32.452
Trave Acciaio 10a-11a	0%	628	-26	22	3,40	ELA	80	12.264	0,000	95	4,00	32.452
	25,0%	520	-24	15	4,92	ELA	80	12.264	0,000	95	4,00	32.452
	50,0%	628	-27	6	10,61	ELA	80	12.264	0,000	95	4,00	32.452
	75,0%	628	-26	4	14,44	ELA	80	12.264	0,000	95	4,00	32.452
	100,0%	628	-27	13	5,51	ELA	80	12.264	0,000	95	4,00	32.452
Trave Acciaio 11a-12a	0%	570	91	56	1,40	ELA	80	12.264	0,000	95	4,00	32.452
	25,0%	570	-71	24	3,15	ELA	80	12.264	0,000	95	4,00	32.452
	50,0%	570	91	5	12,51	ELA	80	12.264	0,000	95	4,00	32.452
	75,0%	570	92	35	2,20	ELA	80	12.264	0,000	95	4,00	32.452
	100,0%	570	91	65	1,21	ELA	80	12.264	0,000	95	4,00	32.452
Trave Acciaio 13a-14a	0%	1.836	30	21	3,14	ELA	80	12.264	0,000	95	4,00	32.452
	25,0%	1.765	-30	13	4,62	ELA	80	12.264	0,000	95	4,00	32.452
	50,0%	1.836	-34	3	10,64	ELA	80	12.264	0,000	95	4,00	32.452
	75,0%	1.836	-40	13	4,57	ELA	80	12.264	0,000	95	4,00	32.452
	100,0%	1.836	-45	25	2,71	ELA	80	12.264	0,000	95	4,00	32.452
Trave Acciaio 14a-15a	0%	1.498	-92	62	1,22	ELA	80	12.264	0,000	95	4,00	32.452
	25,0%	1.498	-93	33	2,18	ELA	80	12.264	0,000	95	4,00	32.452
	50,0%	1.371	78	1	18,27	ELA	80	12.264	0,000	95	4,00	32.452
	75,0%	1.498	-93	30	2,38	ELA	80	12.264	0,000	95	4,00	32.452
	100,0%	1.498	-93	61	1,24	ELA	80	12.264	0,000	95	4,00	32.452
Trave Acciaio 16a-17a	0%	140	55	40	1,99	ELA	80	12.264	0,000	95	4,00	32.433
	25,0%	140	49	22	3,59	ELA	80	12.264	0,000	95	4,00	32.433
	50,0%	223	-28	11	6,94	ELA	80	12.264	0,000	95	4,00	32.433
	75,0%	229	29	6	12,20	ELA	80	12.264	0,000	95	4,00	32.433
	100,0%	229	23	14	5,50	ELA	80	12.264	0,000	95	4,00	32.433
Trave Acciaio 17a-18a	0%	1.388	28	11	5,55	ELA	80	12.264	0,000	95	4,00	32.452
	25,0%	1.388	11	6	8,50	ELA	80	12.264	0,000	95	4,00	32.452
	50,0%	1.388	12	2	14,76	ELA	80	12.264	0,000	95	4,00	32.452
	75,0%	1.388	4	6	8,50	ELA	80	12.264	0,000	95	4,00	32.452
	100,0%	1.388	-4	6	8,50	ELA	80	12.264	0,000	95	4,00	32.452
Trave Acciaio 18a-19a	0%	2.288	31	6	6,88	ELA	80	12.264	0,000	95	4,00	32.452
	25,0%	2.195	-6	9	5,56	ELA	80	12.264	0,000	95	4,00	32.452
	50,0%	2.195	16	11	4,88	ELA	80	12.264	0,000	95	4,00	32.452

Travi (AC) - Verifiche a pressoflessione													
Id _{Tr}	%L _{Lt}	N _{Ed}	V _{Ed}	M _{Ed,3}	CS	Tp Vr	M _{C,Rd}	V _{C,Rd}	ρ	A _v	t _w	N _{pl,Rd}	
	[%]	[N]	[N]	[N-m]			[N-m]	[N]		[mm ²]	[mm]	[N]	
Trave Acciaio 19a-20a	75,0%	2.195	6	15	3,92	ELA	80	12.264	0,000	95	4,00	32.452	
	100,0%	2.195	-1	15	3,92	ELA	80	12.264	0,000	95	4,00	32.452	
	0%	2.201	21	4	8,49	ELA	80	12.264	0,000	95	4,00	32.452	
	25,0%	2.201	13	11	4,88	ELA	80	12.264	0,000	95	4,00	32.452	
	50,0%	2.201	4	11	4,88	ELA	80	12.264	0,000	95	4,00	32.452	
Trave Acciaio 20a-21a	75,0%	2.175	-16	17	3,58	ELA	80	12.264	0,000	95	4,00	32.452	
	100,0%	2.175	-15	23	2,82	ELA	80	12.264	0,000	95	4,00	32.452	
	0%	1.310	-30	18	3,77	ELA	80	12.264	0,000	95	4,00	32.452	
	25,0%	1.310	-31	6	8,68	ELA	80	12.264	0,000	95	4,00	32.452	
	50,0%	1.266	7	6	8,78	ELA	80	12.264	0,000	95	4,00	32.452	
	75,0%	1.310	-30	13	4,94	ELA	80	12.264	0,000	95	4,00	32.452	
	100,0%	1.310	-31	23	3,05	ELA	80	12.264	0,000	95	4,00	32.452	

LEGENDA:

- Id_{Tr}** Identificativo della trave. L'eventuale lettera tra parentesi distingue i diversi tratti della travata al livello considerato.
- %L_{Lt}** Posizione della sezione per la quale vengono forniti i valori di verifica, valutata come % della lunghezza libera d'inflessione (L_{Lt}), a partire dall'estremo iniziale.
- N_{Ed}** Sforzo normale di progetto.
- V_{Ed}** Taglio di progetto utilizzato per il calcolo di ρ.
- M_{Ed,3}** Momento flettente di progetto intorno a 3.
- CS** Coefficiente di sicurezza ([NS] = Non Significativo se CS ≥ 100; [VNR]= Verifica Non Richiesta; Informazioni aggiuntive sulla condizione: [V] = statica; [E] = eccezionale; [S] = sismica; [N] = sismica non lineare).
- Tp Vr** Tipo di verifica considerata: "PLS" = con Modulo di resistenza plastico; "ELA" = con modulo di resistenza elastico; "EFF" = con modulo di resistenza efficace.
- M_{C,Rd}** Momento resistente.
- V_{C,Rd}** Taglio resistente.
- ρ** Coefficiente riduttivo per presenza di taglio.
- A_v** Area resistente a taglio.
- t_w** Spessore anima resistente a taglio.
- N_{pl,Rd}** Resistenza plastica a Sforzo Normale.

TRAVI (AC) - VERIFICHE A PRESSOFLESSIONE DEVIATA (Elevazione) allo SLU

Travi (AC) - Verifiche a pressoflessione deviata														
Id _{Tr}	%L _{Lt}	N _{Ed}	V _{Ed}	M _{Ed,3}	M _{Ed,2}	CS	Tp Vr	max/m in	M _{C,Rd}	V _{C,Rd}	ρ	A _v	t _w	N _{pl,Rd}
	[%]	[N]	[N]	[N-m]	[N-m]				[N-m]	[N]		[cm ²]	[mm]	[N]
Piano Terra														
Trave Acciaio 5-45a	0%	-199	2253	697	-1605	60.97[PLS	Max	21.844	146.866	0,000	1.137	10	508.758
			V]					Min						
	25,0%	-175	2098	271	-1388	90.99[PLS	Max	21.844	146.866	0,000	1.137	10	508.758
			V]					Min						
	50,0%	-175	2062	122	-1075	NS	PLS	Max	21.844	146.866	0,000	1.137	10	508.758
			981					Min						
	75,0%	-175	2028	-23	-770	NS	PLS	Max	21.844	146.866	0,000	1.137	10	508.758
			963					Min						
	100,0%	-175	1995	-164	-466	NS	PLS	Max	21.844	146.866	0,000	1.137	10	508.758
			944					Min						
Trave Acciaio 34a-3	0%	2739	10776	722	2947	25.35[PLS	Max	21.844	146.866	0,000	1.137	10	508.073
			V]					Min						
	25,0%	2911	11114	2972	-751	24.88[PLS	Max	21.844	146.866	0,000	1.137	10	508.073
			-6636					Min						
	50,0%	2911	11208	5187	-4454	6.12[V	PLS	Max	21.844	146.866	0,000	1.137	10	508.073
			-6687					Min						
	75,0%	2911	11299	7412	-8190	2.76[V	PLS	Max	21.844	146.866	0,000	1.137	10	508.073
			-6743					Min						
	100,0%	2911	11385	9661	-11953	1.60[V	PLS	Max	21.844	146.866	0,000	1.137	10	508.073
			-6794					Min						
Trave Acciaio 39a-4	0%	2418	13179	8300	-5953	3.16[V	PLS	Max	21.844	146.866	0,000	1.137	10	508.073
			-8097					Min						
	25,0%	2418	13197	9037	-7153	2.58[V	PLS	Max	21.844	146.866	0,000	1.137	10	508.073
			-8107					Min						
	50,1%	2418	13226	9773	-8354	2.15[V	PLS	Max	21.844	146.866	0,000	1.137	10	508.073
			-8124					Min						
	75,1%	2418	13250	10513	-9556	1.82[V	PLS	Max	21.844	146.866	0,000	1.137	10	508.073
								Min						

Travi (AC) - Verifiche a pressoflessione deviata

Id _{Tr}	%L _{LI}	N _{Ed}	V _{Ed}	M _{Ed,3}	M _{Ed,2}	CS	Tp Vr	max/m in	M _{C,Rd}	V _{C,Rd}	ρ	A _v	t _w	N _{pl,Rd}							
									[N-m]	[N]					[cm ²]	[mm]	[N]				
Trave Acciaio 44a-5	75,0%	3484	-9050	11649	-10857	1.50[V]	PLS	Min	21.844	146.866	0,000	1.137	10 10	508.073							
			Max					21.844	146.866	0,000	1.137										
			Min					21.844	146.866	0,000	1.137										
			Max					21.844	146.866	0,000	1.137										
			Min					21.844	146.866	0,000	1.137										
			Max					21.844	146.866	0,000	1.137										
	100%	3484	-9127	13845	-14286	1.04[V]	PLS	Min	21.844	146.866	0,000	1.137	10 10	508.073							
			Max					21.844	146.866	0,000	1.137										
			Min					21.844	146.866	0,000	1.137										
			Max					21.844	146.866	0,000	1.137										
			Min					21.844	146.866	0,000	1.137										
			Max					21.844	146.866	0,000	1.137										
0%	2173	-8075	104	344	NS	PLS	Max	21.844	146.866	0,000	1.137	10 10	508.073								
		Min					21.844	146.866	0,000	1.137											
		Max					21.844	146.866	0,000	1.137											
		Min					21.844	146.866	0,000	1.137											
		Max					21.844	146.866	0,000	1.137											
		Min					21.844	146.866	0,000	1.137											
		25,0%					3713	-6713	1247	-2103	34.28[V]			PLS	Max	21.844	146.866	0,000	1.137	10 10	508.073
								Min							21.844	146.866	0,000	1.137			
								Max							21.844	146.866	0,000	1.137			
								Min							21.844	146.866	0,000	1.137			
50,1%	3713	-6738	2471	-4346	10.48[V]	PLS	Max	21.844	146.866	0,000	1.137	10 10	508.073								
		Min					21.844	146.866	0,000	1.137											
		Max					21.844	146.866	0,000	1.137											
		Min					21.844	146.866	0,000	1.137											
74,9%	3713	-6764	3698	-6600	5.27[V]	PLS	Max	21.844	146.866	0,000	1.137	10 10	508.073								
		Min					21.844	146.866	0,000	1.137											
		Max					21.844	146.866	0,000	1.137											
		Min					21.844	146.866	0,000	1.137											
100,0 %	3713	-6788	4930	-8863	3.24[V]	PLS	Max	21.844	146.866	0,000	1.137	10 10	508.073								
		Min					21.844	146.866	0,000	1.137											
		Max					21.844	146.866	0,000	1.137											
		Min					21.844	146.866	0,000	1.137											

LEGENDA:

- Id_{Tr}** Identificativo della trave. L'eventuale lettera tra parentesi distingue i diversi tratti della travata al livello considerato.
- %L_{LI}** Posizione della sezione per la quale vengono forniti i valori di verifica, valutata come % della lunghezza libera d'inflessione (L_{LI}), a partire dall'estremo iniziale.
- N_{Ed}** Sforzo normale di progetto.
- V_{Ed}** Taglio di progetto utilizzato per il calcolo di ρ .
- M_{Ed,3}** Momento flettente di progetto intorno a 3.
- M_{Ed,2}** Momento flettente di progetto intorno a 2.
- CS** Coefficiente di sicurezza ([NS] = Non Significativo se CS ≥ 100; [VNR]= Verifica Non Richiesta; Informazioni aggiuntive sulla condizione: [V] = statica; [E] = eccezionale; [S] = sismica; [N] = sismica non lineare).
- Tp Vr** Tipo di verifica considerata: "PLS" = con Modulo di resistenza plastico; "ELA" = con modulo di resistenza elastico; "EFF" = con modulo di resistenza efficace.
- M_{C,Rd}** Momento resistente.
- V_{C,Rd}** Taglio resistente.
- ρ** Coefficiente riduttivo per presenza di taglio.
- A_v** Area resistente a taglio.
- t_w** Spessore Anima.
- N_{pl,Rd}** Resistenza plastica a Sforzo Normale.

TRAVI (AC) - VERIFICHE A TAGLIO (Elevazione) per pressoflessione retta allo SLU

Id _{Tr}	%L _{LI}	CS	A _v	τ _{T,Ed}	V _{Ed}	V _{C,Rd}	P. Vrf.
Piano Terra							
Trave Acciaio 24a-67a	0%	79,00	840	0,00	1.374	108.542	-
	25,0%	NS	840	0,00	1.057	108.542	-
	50,0%	NS	840	0,00	707	108.542	-
	75,0%	NS	840	0,00	359	108.542	-
	100,0%	NS	536	0,00	49	69.195	-
Trave Acciaio 22a-24a	0%	NS	536	0,00	-193	69.195	-
	25,0%	NS	840	0,00	-364	108.542	-
	50,0%	NS	840	0,00	-723	108.542	-
	75,0%	NS	840	0,00	-1.081	108.542	-
	100%	76,71	840	0,00	-1.415	108.542	-
Trave Acciaio 45a-68a	0%	NS	840	0,00	550	108.542	-
	25,0%	NS	840	0,00	416	108.542	-
	50,0%	NS	840	0,00	280	108.542	-
	75,0%	NS	840	0,00	145	108.542	-
	100,0%	NS	536	0,00	55	69.195	-
Trave Acciaio 23a-45a	0%	NS	536	0,00	217	69.195	-
	25,0%	NS	840	0,00	-369	108.542	-
	50,0%	NS	840	0,00	-728	108.542	-
	75,0%	99,95	840	0,00	-1.086	108.542	-
	100%	76,44	840	0,00	-1.420	108.542	-
Trave Acciaio 25a-46a	0%	48,50	840	0,00	2.238	108.542	-
	25,0%	62,74	840	0,00	1.730	108.542	-
	50,0%	73,93	536	0,00	-936	69.195	-
	75,0%	73,93	536	0,00	-936	69.195	-
	100,0%	73,93	536	0,00	-936	69.195	-
Trave Acciaio 1a-25a	0%	63,60	536	0,00	-1.088	69.195	-
	25,0%	63,60	536	0,00	-1.088	69.195	-
	50,0%	63,48	536	0,00	-1.090	69.195	-
	75,0%	60,23	840	0,00	-1.802	108.542	-
	100%	46,19	840	0,00	-2.350	108.542	-

Id _{Tr}	%L _{Lt}	CS	A _v	τ _{T,Ed}	V _{Ed}	Travi (AC) - Verifiche a taglio	
						V _{c,Rd}	P. Vrf.
	[%]		[mm ²]	[N/mm ²]	[N]	[N]	
Trave Acciaio 26a-47a	0%	48,76	840	0,00	2.226	108.542	-
	25,0%	63,14	840	0,00	1.719	108.542	-
	50,0%	85,22	536	0,00	-812	69.195	-
	75,0%	85,22	536	0,00	-812	69.195	-
	100,0%	85,22	536	0,00	-812	69.195	-
Trave Acciaio 2a-26a	0%	77,31	536	0,00	-895	69.195	-
	25,0%	77,31	536	0,00	-895	69.195	-
	50,0%	77,05	536	0,00	-898	69.195	-
	75,0%	59,51	840	0,00	-1.824	108.542	-
	100%	45,76	840	0,00	-2.372	108.542	-
Trave Acciaio 27a-48a	0%	48,65	840	0,00	2.231	108.542	-
	25,0%	63,00	840	0,00	1.723	108.542	-
	50,0%	94,06	840	0,00	1.154	108.542	-
	75,0%	NS	840	0,00	582	108.542	-
	100,0%	NS	536	0,00	49	69.195	-
Trave Acciaio 3a-27a	0%	NS	536	0,00	59	69.195	-
	25,0%	NS	840	0,00	-623	108.542	-
	50,0%	88,97	840	0,00	-1.220	108.542	-
	75,0%	59,77	840	0,00	-1.816	108.542	-
	100%	45,74	840	0,00	-2.373	108.542	-
Trave Acciaio 28a-49a	0%	48,87	840	0,00	2.221	108.542	-
	25,0%	62,96	840	0,00	1.724	108.542	-
	50,0%	76,04	536	0,00	910	69.195	-
	75,0%	76,04	536	0,00	910	69.195	-
	100,0%	76,04	536	0,00	910	69.195	-
Trave Acciaio 4a-28a	0%	69,13	536	0,00	1.001	69.195	-
	25,0%	69,13	536	0,00	1.001	69.195	-
	50,0%	69,13	536	0,00	1.001	69.195	-
	75,0%	59,77	840	0,00	-1.816	108.542	-
	100%	45,47	840	0,00	-2.387	108.542	-
Trave Acciaio 29a-50a	0%	48,46	840	0,00	2.240	108.542	-
	25,0%	62,00	536	0,00	1.116	69.195	-
	50,0%	62,17	536	0,00	1.113	69.195	-
	75,0%	62,17	536	0,00	1.113	69.195	-
	100,0%	62,17	536	0,00	1.113	69.195	-
Trave Acciaio 5a-29a	0%	57,57	536	0,00	1.202	69.195	-
	25,0%	57,57	536	0,00	1.202	69.195	-
	50,0%	57,57	536	0,00	1.202	69.195	-
	75,0%	57,57	536	0,00	1.202	69.195	-
	100%	46,15	840	0,00	-2.352	108.542	-
Trave Acciaio 30a-51a	0%	47,96	840	0,00	2.263	108.542	-
	25,0%	61,85	840	0,00	1.755	108.542	-
	50,0%	91,98	840	0,00	1.180	108.542	-
	75,0%	NS	536	0,00	-677	69.195	-
	100,0%	NS	536	0,00	-677	69.195	-
Trave Acciaio 6a-30a	0%	NS	536	0,00	-670	69.195	-
	25,0%	NS	536	0,00	-670	69.195	-
	50,0%	91,67	840	0,00	-1.184	108.542	-
	75,0%	60,98	840	0,00	-1.780	108.542	-
	100%	46,62	840	0,00	-2.328	108.542	-
Trave Acciaio 31a-52a	0%	48,72	840	0,00	2.228	108.542	-
	25,0%	59,60	536	0,00	-1.161	69.195	-
	50,0%	59,70	536	0,00	-1.159	69.195	-
	75,0%	59,70	536	0,00	-1.159	69.195	-
	100,0%	59,70	536	0,00	-1.159	69.195	-
Trave Acciaio 7a-31a	0%	57,76	536	0,00	-1.198	69.195	-
	25,0%	57,76	536	0,00	-1.198	69.195	-
	50,0%	57,76	536	0,00	-1.198	69.195	-
	75,0%	57,76	536	0,00	-1.198	69.195	-
	100%	45,80	840	0,00	-2.370	108.542	-
Trave Acciaio 32a-53a	0%	48,74	840	0,00	2.227	108.542	-
	25,0%	63,18	840	0,00	1.718	108.542	-
	50,0%	95,38	840	0,00	1.138	108.542	-
	75,0%	NS	536	0,00	-439	69.195	-
	100,0%	NS	536	0,00	-439	69.195	-
Trave Acciaio 8a-32a	0%	NS	536	0,00	-460	69.195	-
	25,0%	NS	536	0,00	-460	69.195	-
	50,0%	88,61	840	0,00	-1.225	108.542	-
	75,0%	59,61	840	0,00	-1.821	108.542	-
	100,0%	45,80	840	0,00	-2.370	108.542	-
Trave Acciaio 33a-54a	0%	48,72	840	0,00	2.228	108.542	-
	25,0%	63,11	840	0,00	1.720	108.542	-
	50,0%	95,21	840	0,00	1.140	108.542	-
	75,0%	NS	536	0,00	503	69.195	-
	100,0%	NS	536	0,00	503	69.195	-
Trave Acciaio 9a-33a	0%	NS	536	0,00	526	69.195	-
	25,0%	NS	536	0,00	526	69.195	-
	50,0%	88,61	840	0,00	-1.225	108.542	-
	75,0%	59,61	840	0,00	-1.821	108.542	-

Id _{Tr}	%L _{Lt} [%]	CS	A _v [mm ²]	τ _{T,Ed} [N/mm ²]	V _{Ed} [N]	Travi (AC) - Verifiche a taglio	
						V _{c,Rd} [N]	P. Vrf.
Trave Acciaio 34a-55a	100,0%	45,80	840	0,00	-2.370	108.542	-
	0%	48,70	840	0,00	2.229	108.542	-
	25,0%	63,07	840	0,00	1.721	108.542	-
	50,0%	64,43	536	0,00	1.074	69.195	-
	75,0%	64,43	536	0,00	1.074	69.195	-
Trave Acciaio 10a-34a	100,0%	64,43	536	0,00	1.074	69.195	-
	0%	61,78	536	0,00	1.120	69.195	-
	25,0%	61,78	536	0,00	1.120	69.195	-
	50,0%	61,67	536	0,00	1.122	69.195	-
	75,0%	59,70	840	0,00	-1.818	108.542	-
Trave Acciaio 3-56a	100,0%	45,93	840	0,00	-2.363	108.542	-
	0%	46,87	840	0,00	2.316	108.542	-
	25,0%	59,34	840	0,00	1.829	108.542	-
	50,0%	87,96	840	0,00	1.234	108.542	-
	75,0%	NS	840	0,00	638	108.542	-
Trave Acciaio 11a-3	100,0%	NS	840	0,00	88	108.542	-
	0%	NS	840	0,00	96	108.540	-
	25,0%	NS	840	0,00	-482	108.540	-
	50,0%	NS	840	0,00	-1.051	108.540	-
	75,0%	66,96	840	0,00	-1.621	108.540	-
Trave Acciaio 35a-57a	100,0%	49,56	840	0,00	-2.190	108.540	-
	0%	47,98	840	0,00	2.262	108.541	-
	25,0%	62,13	840	0,00	1.747	108.541	-
	50,0%	73,93	536	0,00	-936	69.194	-
	75,0%	73,93	536	0,00	-936	69.194	-
Trave Acciaio 12a-35a	100,0%	73,93	536	0,00	-936	69.194	-
	0%	72,45	536	0,01	-955	69.192	-
	25,0%	72,45	536	0,01	-955	69.192	-
	50,0%	72,38	536	0,01	-956	69.192	-
	75,0%	62,96	840	0,01	-1.724	108.538	-
Trave Acciaio 36a-58a	100,0%	47,71	840	0,01	-2.275	108.538	-
	0%	49,81	840	0,00	2.179	108.541	-
	25,0%	65,15	840	0,00	1.666	108.541	-
	50,0%	99,31	840	0,00	1.093	108.541	-
	75,0%	NS	840	0,00	519	108.541	-
Trave Acciaio 13a-36a	100,0%	NS	536	0,00	-318	69.194	-
	0%	NS	536	0,01	-316	69.193	-
	25,0%	NS	840	0,01	-541	108.539	-
	50,0%	NS	840	0,01	-899	108.539	-
	75,0%	86,14	840	0,01	-1.260	108.539	-
Trave Acciaio 37a-59a	100,0%	67,79	840	0,01	-1.601	108.539	-
	0%	49,72	840	0,00	2.183	108.542	-
	25,0%	64,72	840	0,00	1.677	108.542	-
	50,0%	98,41	840	0,00	1.103	108.542	-
	75,0%	NS	840	0,00	532	108.542	-
Trave Acciaio 14a-37a	100,0%	NS	536	0,00	323	69.195	-
	0%	NS	536	0,00	346	69.194	-
	25,0%	NS	536	0,00	346	69.194	-
	50,0%	NS	536	0,00	346	69.194	-
	75,0%	NS	840	0,00	-562	108.541	-
Trave Acciaio 38a-60a	100,0%	NS	840	0,00	-683	108.541	-
	0%	49,25	840	0,00	2.204	108.541	-
	25,0%	63,96	840	0,00	1.697	108.541	-
	50,0%	83,67	536	0,00	827	69.194	-
	75,0%	83,67	536	0,00	827	69.194	-
Trave Acciaio 15a-38a	100,0%	83,67	536	0,00	827	69.194	-
	0%	81,59	536	0,01	848	69.192	-
	25,0%	81,59	536	0,01	848	69.192	-
	50,0%	81,59	536	0,01	848	69.192	-
	75,0%	81,59	536	0,01	848	69.192	-
Trave Acciaio 39a-61a	100%	71,74	840	0,01	-1.513	108.538	-
	0%	47,36	840	0,00	2.292	108.541	-
	25,0%	60,84	840	0,00	1.784	108.541	-
	50,0%	89,78	840	0,00	1.209	108.541	-
	75,0%	NS	536	0,00	470	69.194	-
Trave Acciaio 16a-39a	100,0%	NS	536	0,00	470	69.194	-
	0%	NS	536	0,01	437	69.193	-
	25,0%	NS	536	0,01	437	69.193	-
	50,0%	NS	840	0,01	-1.067	108.538	-
	75,0%	65,27	840	0,01	-1.663	108.538	-
Trave Acciaio 40a-62a	100%	49,09	840	0,01	-2.211	108.538	-
	0%	48,15	840	0,00	2.254	108.541	-
	25,0%	62,20	840	0,00	1.745	108.541	-
	50,0%	64,91	536	0,00	-1.066	69.195	-
	75,0%	64,91	536	0,00	-1.066	69.195	-
Trave Acciaio 17a-40a	100,0%	64,91	536	0,00	-1.066	69.195	-
	0%	58,69	536	0,00	-1.179	69.194	-
	25,0%	58,69	536	0,00	-1.179	69.194	-
	50,0%	58,69	536	0,00	-1.179	69.194	-

Id _{Tr}	%L _{Lt} [%]	CS	A _v [mm ²]	τ _{T,Ed} [N/mm ²]	V _{Ed} [N]	Travi (AC) - Verifiche a taglio	
						V _{c,Rd} [N]	P. Vrf.
	75,0%	58,69	536	0,00	-1.179	69.194	-
	100%	46,87	840	0,00	-2.316	108.541	-
Trave Acciaio 41a-63a	0%	48,76	840	0,00	2.226	108.542	-
	25,0%	63,14	840	0,00	1.719	108.542	-
	50,0%	84,69	536	0,00	-817	69.195	-
	75,0%	84,69	536	0,00	-817	69.195	-
	100,0%	84,69	536	0,00	-817	69.195	-
Trave Acciaio 18a-41a	0%	75,46	536	0,00	-917	69.195	-
	25,0%	75,46	536	0,00	-917	69.195	-
	50,0%	75,46	536	0,00	-917	69.195	-
	75,0%	59,51	840	0,00	-1.824	108.541	-
	100%	45,76	840	0,00	-2.372	108.541	-
Trave Acciaio 42a-64a	0%	53,76	840	0,00	2.019	108.542	-
	25,0%	69,36	840	0,00	1.565	108.542	-
	50,0%	NS	840	0,00	1.051	108.542	-
	75,0%	NS	840	0,00	534	108.542	-
	100,0%	NS	536	0,00	50	69.195	-
Trave Acciaio 19a-42a	0%	NS	536	0,00	38	69.195	-
	25,0%	NS	840	0,00	-608	108.542	-
	50,0%	90,15	840	0,00	-1.204	108.542	-
	75,0%	60,30	840	0,00	-1.800	108.542	-
	100%	46,07	840	0,00	-2.356	108.542	-
Trave Acciaio 43a-65a	0%	49,00	840	0,00	2.215	108.542	-
	25,0%	63,18	840	0,00	1.718	108.542	-
	50,0%	79,99	536	0,00	865	69.195	-
	75,0%	79,99	536	0,00	865	69.195	-
	100,0%	79,99	536	0,00	865	69.195	-
Trave Acciaio 20a-43a	0%	73,07	536	0,00	947	69.195	-
	25,0%	73,07	536	0,00	947	69.195	-
	50,0%	72,84	536	0,00	950	69.195	-
	75,0%	59,80	840	0,00	-1.815	108.542	-
	100%	45,51	840	0,00	-2.385	108.542	-
Trave Acciaio 44a-66a	0%	73,38	536	0,00	943	69.195	-
	25,0%	73,38	536	0,00	943	69.195	-
	50,0%	73,61	536	0,00	940	69.195	-
	75,0%	73,61	536	0,00	940	69.195	-
	100,0%	73,61	536	0,00	940	69.195	-
Trave Acciaio 21a-44a	0%	63,31	536	0,00	1.093	69.195	-
	25,0%	63,31	536	0,00	1.093	69.195	-
	50,0%	63,19	536	0,00	1.095	69.195	-
	75,0%	60,81	840	0,00	-1.785	108.542	-
	100%	46,39	840	0,00	-2.340	108.542	-
Trave Acciaio 21a-23a	0%	NS	95	0,00	15	12.264	-
	25,0%	NS	95	0,00	-12	12.264	-
	50,0%	NS	95	0,00	-12	12.264	-
	75,0%	NS	95	0,00	-11	12.264	-
	100,0%	NS	95	0,00	-17	12.264	-
Trave Acciaio 66a-68a	0%	NS	95	0,00	-13	12.264	-
	25,0%	NS	95	0,00	-17	12.264	-
	50,0%	NS	95	0,00	-21	12.264	-
	75,0%	NS	95	0,00	-26	12.264	-
	100,0%	NS	95	0,00	-32	12.264	-
Trave Acciaio 67a-46a	0%	NS	95	0,00	37	12.264	-
	25,0%	NS	95	0,00	30	12.264	-
	50,0%	NS	95	0,00	23	12.264	-
	75,0%	NS	95	0,00	13	12.264	-
	100,0%	NS	95	0,00	10	12.264	-
Trave Acciaio 46a-47a	0%	NS	95	0,00	61	12.264	-
	25,0%	NS	95	0,00	53	12.264	-
	50,0%	NS	95	0,00	45	12.264	-
	75,0%	NS	95	0,00	36	12.264	-
	100,0%	NS	95	0,00	31	12.264	-
Trave Acciaio 47a-48a	0%	NS	95	0,00	35	12.264	-
	25,0%	NS	95	0,00	26	12.264	-
	50,0%	NS	95	0,00	19	12.264	-
	75,0%	NS	95	0,00	15	12.264	-
	100,0%	NS	95	0,00	14	12.264	-
Trave Acciaio 48a-49a	0%	NS	95	0,00	-16	12.264	-
	25,0%	NS	95	0,00	-15	12.264	-
	50,0%	NS	95	0,00	-21	12.264	-
	75,0%	NS	95	0,00	-31	12.264	-
	100,0%	NS	95	0,00	-39	12.264	-
Trave Acciaio 49a-50a	0%	NS	95	0,00	-36	12.264	-
	25,0%	NS	95	0,00	-42	12.264	-
	50,0%	NS	95	0,00	-50	12.264	-
	75,0%	NS	95	0,00	-60	12.264	-
	100,0%	NS	95	0,00	-68	12.264	-
Trave Acciaio 50a-51a	0%	NS	95	0,00	-8	12.264	-
	25,0%	NS	95	0,00	-13	12.264	-

Id _{Tr}	Travi (AC) - Verifiche a taglio						
	%L _{Lt} [%]	CS	A _v [mm ²]	τ _{T,Ed} [N/mm ²]	V _{Ed} [N]	V _{c,Rd} [N]	P. Vrf.
Trave Acciaio 51a-52a	50,0%	NS	95	0,00	-22	12.264	-
	75,0%	NS	95	0,00	-30	12.264	-
	100,0%	NS	95	0,00	-38	12.264	-
	0%	NS	95	0,00	69	12.264	-
	25,0%	NS	95	0,00	61	12.264	-
Trave Acciaio 52a-53a	50,0%	NS	95	0,00	53	12.264	-
	75,0%	NS	95	0,00	42	12.264	-
	100,0%	NS	95	0,00	35	12.264	-
	0%	NS	95	0,00	52	12.264	-
	25,0%	NS	95	0,00	45	12.264	-
Trave Acciaio 53a-54a	50,0%	NS	95	0,00	37	12.264	-
	75,0%	NS	95	0,00	28	12.264	-
	100,0%	NS	95	0,00	27	12.264	-
	0%	NS	95	0,00	13	12.264	-
	25,0%	NS	95	0,00	7	12.264	-
Trave Acciaio 54a-55a	50,0%	NS	95	0,00	-1	12.264	-
	75,0%	NS	95	0,00	-11	12.264	-
	100,0%	NS	95	0,00	-18	12.264	-
	0%	NS	95	0,00	-27	12.264	-
	25,0%	NS	95	0,00	-30	12.264	-
Trave Acciaio 55a-56a	50,0%	NS	95	0,00	-37	12.264	-
	75,0%	NS	95	0,00	-47	12.264	-
	100,0%	NS	95	0,00	-54	12.264	-
	0%	NS	95	0,00	-24	12.264	-
	25,0%	NS	95	0,00	-32	12.264	-
Trave Acciaio 56a-57a	50,0%	NS	95	0,00	-40	12.264	-
	75,0%	NS	95	0,00	-49	12.264	-
	100,0%	NS	95	0,00	-60	12.264	-
	0%	NS	95	0,00	82	12.264	-
	25,0%	NS	95	0,00	74	12.264	-
Trave Acciaio 57a-58a	50,0%	NS	95	0,00	66	12.264	-
	75,0%	NS	95	0,00	53	12.264	-
	100,0%	NS	95	0,00	47	12.264	-
	0%	NS	95	0,00	108	12.264	-
	25,0%	NS	95	0,00	100	12.264	-
Trave Acciaio 58a-59a	50,0%	NS	95	0,00	92	12.264	-
	75,0%	NS	95	0,00	82	12.264	-
	100,0%	NS	95	0,00	75	12.264	-
	0%	NS	95	0,00	25	12.264	-
	25,0%	NS	95	0,00	16	12.264	-
Trave Acciaio 59a-60a	50,0%	NS	95	0,00	10	12.264	-
	75,0%	NS	95	0,00	-6	12.264	-
	100,0%	NS	95	0,00	-8	12.264	-
	0%	NS	95	0,00	-40	12.264	-
	25,0%	NS	95	0,00	-48	12.264	-
Trave Acciaio 60a-61a	50,0%	NS	95	0,00	-56	12.264	-
	75,0%	NS	95	0,00	-66	12.264	-
	100,0%	NS	95	0,00	-74	12.264	-
	0%	NS	95	0,00	-72	12.264	-
	25,0%	NS	95	0,00	-79	12.264	-
Trave Acciaio 61a-62a	50,0%	NS	95	0,00	-87	12.264	-
	75,0%	NS	95	0,00	-98	12.264	-
	100,0%	NS	95	0,00	-105	12.264	-
	0%	NS	95	0,00	21	12.264	-
	25,0%	NS	95	0,00	20	12.264	-
Trave Acciaio 62a-63a	50,0%	NS	95	0,00	18	12.264	-
	75,0%	NS	95	0,00	20	12.264	-
	100,0%	NS	95	0,00	20	12.264	-
	0%	NS	95	0,00	58	12.264	-
	25,0%	NS	95	0,00	50	12.264	-
Trave Acciaio 63a-64a	50,0%	NS	95	0,00	42	12.264	-
	75,0%	NS	95	0,00	37	12.264	-
	100,0%	NS	95	0,00	36	12.264	-
	0%	NS	95	0,00	26	12.264	-
	25,0%	NS	95	0,00	19	12.264	-
Trave Acciaio 64a-65a	50,0%	NS	95	0,00	18	12.264	-
	75,0%	NS	95	0,00	16	12.264	-
	100,0%	NS	95	0,00	17	12.264	-
	0%	NS	95	0,00	-16	12.264	-
	25,0%	NS	95	0,00	-16	12.264	-
Trave Acciaio 65a-66a	50,0%	NS	95	0,00	-20	12.264	-
	75,0%	NS	95	0,00	-30	12.264	-
	100,0%	NS	95	0,00	-37	12.264	-
	0%	NS	95	0,00	-35	12.264	-
	25,0%	NS	95	0,00	-42	12.264	-
Trave Acciaio 22a-1a	50,0%	NS	95	0,00	-50	12.264	-
	75,0%	NS	95	0,00	-59	12.264	-
	100,0%	NS	95	0,00	-67	12.264	-
	0%	NS	95	0,00	16	12.264	-

Id _{Tr}	%L _{Lt}	CS	A _v	τ _{T,Ed}	V _{Ed}	Travi (AC) - Verifiche a taglio	
						V _{c,Rd}	P. Vrf.
	[%]		[mm ²]	[N/mm ²]	[N]	[N]	
	25,0%	NS	95	0,00	13	12.264	-
	50,0%	NS	95	0,00	13	12.264	-
	75,0%	NS	95	0,00	14	12.264	-
	100,0%	NS	95	0,00	-17	12.264	-
Trave Acciaio 1a-2a	0%	NS	95	0,00	28	12.264	-
	25,0%	NS	95	0,00	28	12.264	-
	50,0%	NS	95	0,00	27	12.264	-
	75,0%	NS	95	0,00	28	12.264	-
	100,0%	NS	95	0,00	28	12.264	-
Trave Acciaio 2a-3a	0%	NS	95	0,00	14	12.264	-
	25,0%	NS	95	0,00	12	12.264	-
	50,0%	NS	95	0,00	12	12.264	-
	75,0%	NS	95	0,00	12	12.264	-
	100,0%	NS	95	0,00	-18	12.264	-
Trave Acciaio 3a-4a	0%	NS	95	0,00	13	12.264	-
	25,0%	NS	95	0,00	-10	12.264	-
	50,0%	NS	95	0,00	-11	12.264	-
	75,0%	NS	95	0,00	-11	12.264	-
	100,0%	NS	95	0,00	-19	12.264	-
Trave Acciaio 4a-5a	0%	NS	95	0,00	-27	12.264	-
	25,0%	NS	95	0,00	-27	12.264	-
	50,0%	NS	95	0,00	-26	12.264	-
	75,0%	NS	95	0,00	-27	12.264	-
	100,0%	NS	95	0,00	-27	12.264	-
Trave Acciaio 5a-6a	0%	NS	95	0,00	18	12.264	-
	25,0%	NS	95	0,00	-12	12.264	-
	50,0%	NS	95	0,00	-11	12.264	-
	75,0%	NS	95	0,00	-12	12.264	-
	100,0%	NS	95	0,00	-14	12.264	-
Trave Acciaio 6a-7a	0%	NS	95	0,00	30	12.264	-
	25,0%	NS	95	0,00	30	12.264	-
	50,0%	NS	95	0,00	30	12.264	-
	75,0%	NS	95	0,00	31	12.264	-
	100,0%	NS	95	0,00	31	12.264	-
Trave Acciaio 7a-8a	0%	NS	95	0,00	20	12.264	-
	25,0%	NS	95	0,00	20	12.264	-
	50,0%	NS	95	0,00	20	12.264	-
	75,0%	NS	95	0,00	19	12.264	-
	100,0%	NS	95	0,00	-20	12.264	-
Trave Acciaio 8a-9a	0%	NS	95	0,00	16	12.264	-
	25,0%	NS	95	0,00	9	12.264	-
	50,0%	NS	95	0,00	1	12.264	-
	75,0%	NS	95	0,00	-9	12.264	-
	100,0%	NS	95	0,00	-16	12.264	-
Trave Acciaio 9a-10a	0%	NS	95	0,00	-21	12.264	-
	25,0%	NS	95	0,00	-21	12.264	-
	50,0%	NS	95	0,00	-21	12.264	-
	75,0%	NS	95	0,00	-21	12.264	-
	100,0%	NS	95	0,00	-21	12.264	-
Trave Acciaio 10a-11a	0%	NS	95	0,00	26	12.264	-
	25,0%	NS	95	0,00	-25	12.264	-
	50,0%	NS	95	0,00	-27	12.264	-
	75,0%	NS	95	0,00	-26	12.264	-
	100,0%	NS	95	0,00	-27	12.264	-
Trave Acciaio 11a-12a	0%	NS	95	0,00	91	12.264	-
	25,0%	NS	95	0,00	91	12.264	-
	50,0%	NS	95	0,00	91	12.264	-
	75,0%	NS	95	0,00	92	12.264	-
	100,0%	NS	95	0,00	-99	12.264	-
Trave Acciaio 12a-13a	0%	80,16	95	0,00	153	12.264	-
	25,0%	79,64	95	0,00	154	12.264	-
	50,0%	80,16	95	0,00	153	12.264	-
	75,0%	80,16	95	0,00	153	12.264	-
	100,0%	77,62	95	0,00	-158	12.264	-
Trave Acciaio 13a-14a	0%	NS	95	0,00	30	12.264	-
	25,0%	NS	95	0,00	31	12.264	-
	50,0%	NS	95	0,00	-34	12.264	-
	75,0%	NS	95	0,00	-40	12.264	-
	100,0%	NS	95	0,00	-45	12.264	-
Trave Acciaio 14a-15a	0%	NS	95	0,00	-92	12.264	-
	25,0%	NS	95	0,00	-93	12.264	-
	50,0%	NS	95	0,00	-93	12.264	-
	75,0%	NS	95	0,00	-93	12.264	-
	100,0%	NS	95	0,00	-93	12.264	-
Trave Acciaio 15a-16a	0%	80,68	95	0,00	152	12.264	-
	25,0%	82,86	95	0,00	-148	12.264	-
	50,0%	82,86	95	0,00	-148	12.264	-
	75,0%	82,86	95	0,00	-148	12.264	-
	100,0%	82,86	95	0,00	-148	12.264	-

Id _{Tr}	%L _{Lt}	CS	A _v	τ _{T,Ed}	V _{Ed}	Travi (AC) - Verifiche a taglio	
						V _{c,Rd}	P. Vrf.
	[%]		[mm ²]	[N/mm ²]	[N]	[N]	
Trave Acciaio 16a-17a	0%	NS	95	0,00	55	12.264	-
	25,0%	NS	95	0,00	49	12.264	-
	50,0%	NS	95	0,00	41	12.264	-
	75,0%	NS	95	0,00	31	12.264	-
	100,0%	NS	95	0,00	-28	12.264	-
Trave Acciaio 17a-18a	0%	NS	95	0,00	29	12.264	-
	25,0%	NS	95	0,00	22	12.264	-
	50,0%	NS	95	0,00	13	12.264	-
	75,0%	NS	95	0,00	11	12.264	-
	100,0%	NS	95	0,00	11	12.264	-
Trave Acciaio 18a-19a	0%	NS	95	0,00	31	12.264	-
	25,0%	NS	95	0,00	24	12.264	-
	50,0%	NS	95	0,00	16	12.264	-
	75,0%	NS	95	0,00	6	12.264	-
	100,0%	NS	95	0,00	-6	12.264	-
Trave Acciaio 19a-20a	0%	NS	95	0,00	21	12.264	-
	25,0%	NS	95	0,00	-16	12.264	-
	50,0%	NS	95	0,00	-15	12.264	-
	75,0%	NS	95	0,00	-16	12.264	-
	100,0%	NS	95	0,00	-16	12.264	-
Trave Acciaio 20a-21a	0%	NS	95	0,00	-30	12.264	-
	25,0%	NS	95	0,00	-31	12.264	-
	50,0%	NS	95	0,00	-30	12.264	-
	75,0%	NS	95	0,00	-30	12.264	-
	100,0%	NS	95	0,00	-31	12.264	-

LEGENDA:

- Id_{Tr}** Identificativo della trave. L'eventuale lettera tra parentesi distingue i diversi tratti della travata al livello considerato.
- %L_{Lt}** Posizione della sezione per la quale vengono forniti i valori di verifica, valutata come % della lunghezza libera d'inflessione (L_{Lt}), a partire dall'estremo iniziale.
- CS** Coefficiente di sicurezza ([NS] = Non Significativo se CS ≥ 100; [VNR]= Verifica Non Richiesta; Informazioni aggiuntive sulla condizione: [V] = statica; [E] = eccezionale; [S] = sismica; [N] = sismica non lineare).
- A_v** Area resistente a taglio.
- τ_{T,Ed}** Tensione tangenziale di calcolo per torsione.
- V_{Ed}** Taglio di progetto.
- V_{c,Rd}** Taglio resistente.
- P. Vrf.** Piano di minima resistenza.

TRAVI (AC) - VERIFICHE A TAGLIO (Elevazione) per pressoflessione deviata allo SLU

Id _{Tr}	%L _{Lt}	CS	A _v	τ _{T,Ed}	V _{Ed}	Travi (AC) - Verifiche a taglio	
						V _{c,Rd}	P. Vrf.
	[%]		[mm ²]	[N/mm ²]	[N]	[N]	
Piano Terra						Piano Terra	
Trave Acciaio 5-45a	0%	62,07	1.137	6,17	2.253	139.853	Piano YY
	25,0%	63,08	1.137	6,17	2.217	139.853	Piano YY
	50,0%	64,12	1.137	6,17	2.181	139.853	Piano YY
	75,0%	65,14	1.137	6,17	2.147	139.853	Piano YY
	100,0%	66,16	1.137	6,17	2.114	139.853	Piano YY
Trave Acciaio 34a-3	0%	13,05	1.137	2,61	-11.030	143.901	Piano YY
	25,0%	12,95	1.137	2,61	-11.114	143.901	Piano YY
	50,0%	12,84	1.137	2,61	-11.208	143.901	Piano YY
	75,0%	12,74	1.137	2,61	-11.299	143.901	Piano YY
	100,0%	12,64	1.137	2,61	-11.385	143.901	Piano YY
Trave Acciaio 39a-4	0%	9,35	1.137	20,84	-13.179	123.180	Piano YY
	25,0%	9,33	1.137	20,84	-13.197	123.180	Piano YY
	50,1%	9,31	1.137	20,84	-13.226	123.180	Piano YY
	75,1%	9,30	1.137	20,84	-13.250	123.180	Piano YY
	100%	9,28	1.137	20,84	-13.274	123.180	Piano YY
Trave Acciaio 1-25a	0%	10,78	1.137	3,61	13.237	142.758	Piano YY
	25,0%	10,83	1.137	3,61	13.185	142.758	Piano YY
	50,0%	10,87	1.137	3,61	13.137	142.758	Piano YY
	74,9%	10,91	1.137	3,61	13.085	142.758	Piano YY
	100,0%	10,95	1.137	3,61	13.043	142.758	Piano YY
Trave Acciaio 25a-26a	0%	18,38	1.137	1,84	7.878	144.778	Piano YY
	25,0%	18,58	1.137	1,84	7.794	144.778	Piano YY
	50,0%	18,80	1.137	1,84	7.702	144.778	Piano YY
	75,0%	19,02	1.137	1,84	7.611	144.778	Piano YY
	100,0%	19,23	1.137	1,84	7.527	144.778	Piano YY
Trave Acciaio 26a-27a	0%	60,02	1.137	0,73	2.433	146.032	Piano YY
	25,0%	62,17	1.137	0,73	2.349	146.032	Piano YY
	50,0%	64,76	1.137	0,73	2.255	146.032	Piano YY
	75,0%	67,45	1.137	0,73	2.165	146.032	Piano YY
	100,0%	70,21	1.137	0,73	2.080	146.032	Piano YY
Trave Acciaio 27a-28a	0%	48,52	1.137	0,59	-3.013	146.196	Piano YY
	25,0%	47,21	1.137	0,59	-3.097	146.196	Piano YY
	50,0%	45,81	1.137	0,59	-3.191	146.196	Piano YY
	75,0%	44,56	1.137	0,59	-3.281	146.196	Piano YY

Id _{Tr}	%L _{Lt} [%]	CS	A _v [mm ²]	τ _{T,Ed} [N/mm ²]	V _{Ed} [N]	Travi (AC) - Verifiche a taglio	
						V _{c,Rd} [N]	P. Vrf.
Trave Acciaio 28a-29a	100,0%	43,45	1.137	0,59	-3.365	146.196	Piano YY
	0%	17,09	1.137	1,88	-8.467	144.726	Piano YY
	25,0%	16,92	1.137	1,88	-8.552	144.726	Piano YY
	50,0%	16,74	1.137	1,88	-8.645	144.726	Piano YY
	75,0%	16,57	1.137	1,88	-8.735	144.726	Piano YY
Trave Acciaio 2-30a	100,0%	16,41	1.137	1,88	-8.820	144.726	Piano YY
	0%	8,77	1.137	5,17	16.076	140.988	Piano YY
	25,0%	8,78	1.137	5,17	16.052	140.988	Piano YY
	50,0%	8,80	1.137	5,17	16.025	140.988	Piano YY
	75,1%	8,81	1.137	5,17	16.001	140.988	Piano YY
Trave Acciaio 30a-31a	100,0%	8,82	1.137	5,17	15.983	140.988	Piano YY
	0%	13,34	1.137	2,47	10.803	144.064	Piano YY
	25,0%	13,44	1.137	2,47	10.718	144.064	Piano YY
	50,0%	13,56	1.137	2,47	10.624	144.064	Piano YY
	75,0%	13,68	1.137	2,47	10.534	144.064	Piano YY
Trave Acciaio 31a-32a	100,0%	13,79	1.137	2,47	10.449	144.064	Piano YY
	0%	27,32	1.137	1,22	5.325	145.482	Piano YY
	25,0%	27,76	1.137	1,22	5.241	145.482	Piano YY
	50,0%	28,27	1.137	1,22	5.147	145.482	Piano YY
	75,0%	28,77	1.137	1,22	5.057	145.482	Piano YY
Trave Acciaio 32a-33a	100,0%	29,25	1.137	1,22	4.973	145.482	Piano YY
	0%	NS	1.137	0,02	-113	146.840	Piano YY
	25,0%	NS	1.137	0,02	-197	146.840	Piano YY
	50,0%	NS	1.137	0,02	-289	146.840	Piano YY
	75,0%	NS	1.137	0,02	-380	146.840	Piano YY
Trave Acciaio 33a-34a	100,0%	NS	1.137	0,02	-464	146.840	Piano YY
	0%	26,24	1.137	1,25	-5.543	145.448	Piano YY
	25,0%	25,84	1.137	1,25	-5.628	145.448	Piano YY
	50,0%	25,42	1.137	1,25	-5.721	145.448	Piano YY
	75,0%	25,03	1.137	1,25	-5.811	145.448	Piano YY
Trave Acciaio 3-35a	100,0%	24,67	1.137	1,25	-5.895	145.448	Piano YY
	0%	13,62	1.137	11,04	9.859	134.318	Piano YY
	25,0%	13,74	1.137	11,04	9.775	134.318	Piano YY
	50,0%	13,87	1.137	11,04	9.682	134.318	Piano YY
	75,0%	14,01	1.137	11,04	9.590	134.318	Piano YY
Trave Acciaio 35a-36a	100,0%	14,13	1.137	11,04	9.504	134.318	Piano YY
	0%	20,06	759	13,83	4.367	87.623	Piano YY
	25,0%	20,34	759	13,83	4.308	87.623	Piano YY
	50,0%	20,65	759	13,83	4.243	87.623	Piano YY
	75,0%	20,98	759	13,83	4.176	87.623	Piano YY
Trave Acciaio 36a-37a	100,0%	21,30	759	13,83	4.114	87.623	Piano YY
	0%	NS	1.137	0,48	246	146.316	Piano YY
	25,0%	NS	1.137	0,48	179	146.316	Piano YY
	50,0%	NS	1.137	2,64	-167	143.867	Piano XX
	75,0%	NS	1.137	2,64	-204	143.867	Piano XX
Trave Acciaio 37a-38a	100,0%	NS	1.137	2,74	-261	143.746	Piano YY
	0%	41,68	1.137	9,13	-3.275	136.493	Piano YY
	25,0%	40,76	1.137	9,13	-3.349	136.493	Piano YY
	50,0%	39,81	1.137	9,13	-3.429	136.493	Piano YY
	75,0%	38,91	1.137	9,13	-3.508	136.493	Piano YY
Trave Acciaio 38a-39a	100,0%	38,09	1.137	9,13	-3.583	136.493	Piano YY
	0%	16,81	1.137	15,86	-7.666	128.835	Piano YY
	25,0%	16,62	1.137	15,86	-7.750	128.835	Piano YY
	50,0%	16,42	1.137	15,86	-7.844	128.835	Piano YY
	75,0%	16,24	1.137	15,86	-7.934	128.835	Piano YY
Trave Acciaio 4-40a	100,0%	16,07	1.137	15,86	-8.019	128.835	Piano YY
	0%	10,46	1.137	2,54	13.764	143.978	Piano YY
	25,0%	10,51	1.137	2,54	13.698	143.978	Piano YY
	50,0%	10,56	1.137	2,54	13.632	143.978	Piano YY
	75,0%	10,61	1.137	2,54	13.566	143.978	Piano YY
Trave Acciaio 40a-41a	100,0%	10,66	1.137	2,54	13.506	143.978	Piano YY
	0%	17,62	1.137	0,02	8.333	146.840	Piano YY
	25,0%	17,80	1.137	0,02	8.249	146.840	Piano YY
	50,0%	18,01	1.137	0,02	8.155	146.840	Piano YY
	75,0%	18,21	1.137	0,02	8.065	146.840	Piano YY
Trave Acciaio 41a-42a	100,0%	18,40	1.137	0,02	7.981	146.840	Piano YY
	0%	50,49	1.137	1,19	2.882	145.517	Piano YY
	25,0%	52,03	1.137	1,19	2.797	145.517	Piano YY
	50,0%	53,82	1.137	1,19	2.704	145.517	Piano YY
	75,0%	55,67	1.137	1,19	2.614	145.517	Piano YY
Trave Acciaio 42a-43a	100,0%	57,54	1.137	1,19	2.529	145.517	Piano YY
	0%	62,86	1.137	1,08	-2.317	145.637	Piano YY
	25,0%	60,66	1.137	1,08	-2.401	145.637	Piano YY
	50,0%	58,42	1.137	1,08	-2.493	145.637	Piano YY
	75,0%	56,36	1.137	1,08	-2.584	145.637	Piano YY
Trave Acciaio 43a-44a	100,0%	54,59	1.137	1,08	-2.668	145.637	Piano YY
	0%	18,60	1.137	2,22	-7.762	144.339	Piano YY
	25,0%	18,40	1.137	2,22	-7.846	144.339	Piano YY
	50,0%	18,18	1.137	2,22	-7.940	144.339	Piano YY

Travi (AC) - Verifiche instabilità a pressoflessione deviata															
Id _{Tr}	N _{eq,Ed} [N]	M _{eq,Ed,3} [N·m]	M _{eq,Ed,2} [N·m]	CS	L _N [m]	L _{Cr} [m]	Dir	λ _{LT}	α	φ	χ	β	k _c	χ _{LT}	N _{Cr} [N]
Trave Acciaio 16a-17a	223	17	13	2,00	1,33	1,33	x-x	0,032	0,340	2,682	0,221	1,000	0,689	1,000	2.447
							y-y	0,032	0,340	8,062	0,066	1,000	0,691	1,000	
Trave Acciaio 17a-18a	1.388	4	4	1,21	1,33	1,33	x-x	0,035	0,340	2,682	0,221	1,000	0,752	1,000	2.447
							y-y	0,048	0,340	8,062	0,066	1,000	1,000	1,000	

LEGENDA:

Id_{Tr}	Identificativo della trave. L'eventuale lettera tra parentesi distingue i diversi tratti della travata al livello considerato.
N_{eq,Ed}	Sforzo Normale equivalente di progetto.
M_{eq,Ed,3}	Momento equivalente di progetto intorno a 3.
M_{eq,Ed,2}	Momento equivalente di progetto intorno a 2.
CS	Coefficiente di sicurezza ([NS] = Non Significativo se CS ≥ 100; [VNR]= Verifica Non Richiesta; Informazioni aggiuntive sulla condizione: [V] = statica; [E] = eccezionale; [S] = sismica; [N] = sismica non lineare).
L_N	Luce netta.
L_{Cr}	Lunghezza di libera inflessione laterale, misurata tra due ritegni torsionali successivi.
λ_{LT}	Coefficiente di snellezza normalizzata (per il calcolo di Φ _{LT}).
α	Fattore di imperfezione.
φ	Coefficiente per il calcolo di χ
χ	Coefficiente di riduzione per instabilità a compressione
β	Coefficiente di riduzione della luce libera di inflessione.
k_c	Coefficiente per il calcolo di χ _{LT}
χ_{LT}	Coefficiente di riduzione ai fini dell'instabilità flessotorsionale.
N_{Cr}	Sforzo Normale Critico Euleriano.

TRAVI (AC) - VERIFICHE DI DEFORMABILITÀ ALLO SLE (Elevazione)

Travi (AC) - Verifiche di deformabilità allo SLE						
Id _{Tr}	Carichi Permanenti + Variabili			Carichi Variabili		
	CS	δ _{max} [cm]	δ _{amm} [cm]	CS	δ _{max} [cm]	δ _{amm} [cm]
Piano Terra				Piano Terra		
Trave Acciaio 5-45a	78,46	0,0031	0,2400	NS	0,0015	0,2400
Trave Acciaio 34a-3	5,28	0,1006	0,5309	9,16	0,0580	0,5309
Trave Acciaio 39a-4	-	0,0000	0,1455	-	0,0000	0,1455
Trave Acciaio 24a-67a	35,36	0,0231	0,8160	66,02	0,0124	0,8160
Trave Acciaio 22a-24a	32,88	0,0253	0,8327	61,02	0,0136	0,8327
Trave Acciaio 45a-68a	83,68	0,0098	0,8160	NS	0,0027	0,8160
Trave Acciaio 23a-45a	32,47	0,0256	0,8327	61,02	0,0136	0,8327
Trave Acciaio 25a-46a	22,13	0,0368	0,8141	35,40	0,0230	0,8141
Trave Acciaio 1-25a	13,07	0,0223	0,2909	22,19	0,0131	0,2909
Trave Acciaio 1a-25a	19,69	0,0425	0,8368	31,43	0,0266	0,8368
Trave Acciaio 26a-47a	22,50	0,0362	0,8141	35,90	0,0227	0,8141
Trave Acciaio 25a-26a	9,21	0,0576	0,5309	15,03	0,0353	0,5309
Trave Acciaio 2a-26a	19,15	0,0437	0,8368	30,50	0,0274	0,8368
Trave Acciaio 27a-48a	22,35	0,0363	0,8112	35,54	0,0228	0,8112
Trave Acciaio 26a-27a	4,20	0,1263	0,5309	6,96	0,0763	0,5309
Trave Acciaio 3a-27a	19,19	0,0438	0,8400	30,61	0,0274	0,8400
Trave Acciaio 28a-49a	22,31	0,0364	0,8112	35,50	0,0228	0,8112
Trave Acciaio 27a-28a	4,68	0,1133	0,5309	7,78	0,0682	0,5309
Trave Acciaio 4a-28a	19,19	0,0438	0,8400	30,61	0,0274	0,8400
Trave Acciaio 29a-50a	21,86	0,0372	0,8141	34,85	0,0234	0,8141
Trave Acciaio 28a-29a	26,44	0,0201	0,5309	44,79	0,0119	0,5309
Trave Acciaio 5a-29a	19,81	0,0422	0,8368	31,54	0,0265	0,8368
Trave Acciaio 30a-51a	21,39	0,0381	0,8141	34,24	0,0238	0,8141
Trave Acciaio 2-30a	-	0,0000	0,1455	-	0,0000	0,1455
Trave Acciaio 6a-30a	20,29	0,0412	0,8368	32,27	0,0259	0,8368
Trave Acciaio 31a-52a	22,41	0,0363	0,8141	35,80	0,0227	0,8141
Trave Acciaio 30a-31a	7,07	0,0751	0,5309	11,58	0,0459	0,5309
Trave Acciaio 7a-31a	19,22	0,0435	0,8368	30,59	0,0274	0,8368
Trave Acciaio 32a-53a	22,45	0,0364	0,8165	35,87	0,0228	0,8165
Trave Acciaio 31a-32a	8,01	0,0663	0,5309	13,28	0,0400	0,5309
Trave Acciaio 8a-32a	19,24	0,0434	0,8349	30,61	0,0273	0,8349
Trave Acciaio 33a-54a	22,40	0,0364	0,8165	35,87	0,0228	0,8165
Trave Acciaio 32a-33a	5,32	0,0997	0,5309	8,73	0,0608	0,5309
Trave Acciaio 9a-33a	19,24	0,0434	0,8349	30,61	0,0273	0,8349
Trave Acciaio 34a-55a	22,36	0,0365	0,8165	35,76	0,0228	0,8165
Trave Acciaio 33a-34a	9,33	0,0569	0,5309	14,85	0,0358	0,5309
Trave Acciaio 10a-34a	19,31	0,0432	0,8349	30,70	0,0272	0,8349
Trave Acciaio 3-56a	18,86	0,0450	0,8490	30,18	0,0281	0,8490
Trave Acciaio 11a-3	26,16	0,0307	0,8026	43,04	0,0186	0,8026
Trave Acciaio 35a-57a	21,54	0,0379	0,8165	34,26	0,0238	0,8165
Trave Acciaio 3-35a	5,35	0,0992	0,5309	9,50	0,0559	0,5309
Trave Acciaio 12a-35a	21,95	0,0380	0,8349	36,12	0,0231	0,8349
Trave Acciaio 36a-58a	24,12	0,0338	0,8165	39,27	0,0208	0,8165
Trave Acciaio 35a-36a	8,62	0,0616	0,5309	16,13	0,0329	0,5309
Trave Acciaio 13a-36a	23,56	0,0354	0,8349	40,11	0,0208	0,8349
Trave Acciaio 37a-59a	23,77	0,0343	0,8161	38,64	0,0211	0,8161

Travi (AC) - Verifiche di deformabilità allo SLE

Id _{Tr}	Carichi Permanenti + Variabili			Carichi Variabili		
	CS	δ_{max}	δ_{amm}	CS	δ_{max}	δ_{amm}
		[cm]	[cm]		[cm]	[cm]
Trave Acciaio 36a-37a	8,92	0,0595	0,5309	17,78	0,0299	0,5309
Trave Acciaio 14a-37a	42,46	0,0197	0,8349	NS	0,0082	0,8349
Trave Acciaio 38a-60a	23,13	0,0352	0,8141	37,29	0,0218	0,8141
Trave Acciaio 37a-38a	15,34	0,0346	0,5309	35,18	0,0151	0,5309
Trave Acciaio 15a-38a	27,09	0,0309	0,8368	48,63	0,0172	0,8368
Trave Acciaio 39a-61a	20,60	0,0395	0,8141	32,52	0,0250	0,8141
Trave Acciaio 38a-39a	7,76	0,0684	0,5309	13,07	0,0406	0,5309
Trave Acciaio 16a-39a	24,01	0,0348	0,8368	40,58	0,0206	0,8368
Trave Acciaio 40a-62a	21,71	0,0375	0,8141	34,45	0,0236	0,8141
Trave Acciaio 4-40a	4,99	0,0773	0,3855	8,45	0,0456	0,3855
Trave Acciaio 17a-40a	20,63	0,0406	0,8368	33,34	0,0251	0,8368
Trave Acciaio 41a-63a	22,50	0,0362	0,8141	35,90	0,0227	0,8141
Trave Acciaio 40a-41a	19,19	0,0277	0,5309	28,40	0,0187	0,5309
Trave Acciaio 18a-41a	19,15	0,0437	0,8368	30,50	0,0274	0,8368
Trave Acciaio 42a-64a	24,59	0,0330	0,8112	35,54	0,0228	0,8112
Trave Acciaio 41a-42a	4,54	0,1170	0,5309	7,24	0,0734	0,5309
Trave Acciaio 19a-42a	19,64	0,0428	0,8400	30,52	0,0275	0,8400
Trave Acciaio 43a-65a	22,40	0,0362	0,8112	35,62	0,0228	0,8112
Trave Acciaio 42a-43a	4,20	0,1263	0,5309	6,76	0,0786	0,5309
Trave Acciaio 20a-43a	19,20	0,0437	0,8400	30,61	0,0274	0,8400
Trave Acciaio 44a-66a	34,44	0,0236	0,8141	64,79	0,0126	0,8141
Trave Acciaio 43a-44a	9,60	0,0553	0,5309	15,63	0,0340	0,5309
Trave Acciaio 21a-44a	20,09	0,0416	0,8368	32,42	0,0258	0,8368
Trave Acciaio 21a-23a	17,21	0,0309	0,5309	40,02	0,0133	0,5309
Trave Acciaio 66a-68a	10,73	0,0495	0,5309	15,65	0,0339	0,5309
Trave Acciaio 67a-46a	9,57	0,0555	0,5309	15,27	0,0348	0,5309
Trave Acciaio 46a-47a	5,46	0,0973	0,5309	11,12	0,0477	0,5309
Trave Acciaio 47a-48a	5,17	0,1027	0,5309	8,95	0,0593	0,5309
Trave Acciaio 48a-49a	5,17	0,1026	0,5309	7,38	0,0719	0,5309
Trave Acciaio 49a-50a	8,39	0,0632	0,5309	14,75	0,0360	0,5309
Trave Acciaio 50a-51a	5,32	0,0998	0,5309	8,94	0,0594	0,5309
Trave Acciaio 51a-52a	6,36	0,0835	0,5309	9,80	0,0542	0,5309
Trave Acciaio 52a-53a	7,94	0,0669	0,5309	12,76	0,0416	0,5309
Trave Acciaio 53a-54a	7,43	0,0714	0,5309	16,77	0,0317	0,5309
Trave Acciaio 54a-55a	5,65	0,0940	0,5309	11,13	0,0477	0,5309
Trave Acciaio 55a-56a	7,79	0,0682	0,5309	14,69	0,0362	0,5309
Trave Acciaio 56a-57a	3,68	0,1443	0,5309	5,29	0,1004	0,5309
Trave Acciaio 57a-58a	2,69	0,1971	0,5309	3,82	0,1391	0,5309
Trave Acciaio 58a-59a	7,67	0,0693	0,5309	29,66	0,0179	0,5309
Trave Acciaio 59a-60a	4,39	0,1210	0,5309	6,13	0,0866	0,5309
Trave Acciaio 60a-61a	2,88	0,1843	0,5309	4,17	0,1272	0,5309
Trave Acciaio 61a-62a	11,72	0,0453	0,5309	14,59	0,0364	0,5309
Trave Acciaio 62a-63a	8,42	0,0631	0,5309	17,25	0,0308	0,5309
Trave Acciaio 63a-64a	6,60	0,0804	0,5309	11,11	0,0478	0,5309
Trave Acciaio 64a-65a	4,46	0,1189	0,5309	9,37	0,0567	0,5309
Trave Acciaio 65a-66a	4,73	0,1122	0,5309	6,27	0,0847	0,5309
Trave Acciaio 22a-1a	24,98	0,0213	0,5309	31,04	0,0171	0,5309
Trave Acciaio 1a-2a	5,00	0,1061	0,5309	9,74	0,0545	0,5309
Trave Acciaio 2a-3a	4,22	0,1259	0,5309	9,02	0,0588	0,5309
Trave Acciaio 3a-4a	8,46	0,0628	0,5309	18,06	0,0294	0,5309
Trave Acciaio 4a-5a	13,35	0,0398	0,5309	19,81	0,0268	0,5309
Trave Acciaio 5a-6a	5,12	0,1037	0,5309	6,74	0,0788	0,5309
Trave Acciaio 6a-7a	14,27	0,0372	0,5309	21,69	0,0245	0,5309
Trave Acciaio 7a-8a	23,39	0,0227	0,5309	41,37	0,0128	0,5309
Trave Acciaio 8a-9a	5,99	0,0886	0,5309	12,13	0,0438	0,5309
Trave Acciaio 9a-10a	16,57	0,0320	0,5309	20,16	0,0263	0,5309
Trave Acciaio 10a-11a	14,85	0,0357	0,5309	24,77	0,0214	0,5309
Trave Acciaio 11a-12a	10,13	0,0524	0,5309	9,79	0,0542	0,5309
Trave Acciaio 12a-13a	4,85	0,1095	0,5309	5,93	0,0895	0,5309
Trave Acciaio 13a-14a	12,86	0,0413	0,5309	11,53	0,0460	0,5309
Trave Acciaio 14a-15a	10,03	0,0529	0,5309	9,76	0,0544	0,5309
Trave Acciaio 15a-16a	4,47	0,1187	0,5309	5,49	0,0966	0,5309
Trave Acciaio 16a-17a	6,64	0,0800	0,5309	10,22	0,0519	0,5309
Trave Acciaio 17a-18a	11,48	0,0462	0,5309	20,49	0,0259	0,5309
Trave Acciaio 18a-19a	6,01	0,0883	0,5309	8,66	0,0613	0,5309
Trave Acciaio 19a-20a	4,87	0,1090	0,5309	8,61	0,0617	0,5309
Trave Acciaio 20a-21a	6,47	0,0820	0,5309	14,11	0,0376	0,5309
Trave Acciaio 24a-1	61,45	0,0039	0,2400	NS	0,0022	0,2400
Trave Acciaio 29a-2	4,41	0,0874	0,3855	7,28	0,0530	0,3855
Trave Acciaio 44a-5	13,19	0,0221	0,2909	21,99	0,0132	0,2909

LEGENDA:

- Id_{Tr}** Identificativo della trave. L'eventuale lettera tra parentesi distingue i diversi tratti della travata al livello considerato.
- CS** Coefficiente di sicurezza ([NS] = Non Significativo se CS \geq 100; [VNR]= Verifica Non Richiesta; Informazioni aggiuntive sulla condizione: [V] = statica; [E] = eccezionale; [S] = sismica; [N] = sismica non lineare).
- δ_{max} Spostamento allo SLE.
- δ_{amm} Spostamento Differenziale ammissibile.

PILASTRI (AC) - VERIFICHE A PRESSOFLESSIONE DEVIATA (Elevazione) allo SLU

PILASTRI (AC) - VERIFICHE A TAGLIO (Elevazione) per pressoflessione deviata allo SLU

Pilastri (AC) - Verifiche a taglio									
Pilastro	%L _{Li}	CS	A _v	τ _{T,Ed}	V _{Ed}	V _{c,Rd}	P. Vrf.	Ω _{Min}	
	[%]		[mm ²]	[N/mm ²]	[N]	[N]			
Piano Terra									
Pilastro Acciaio 1	0%	93,47	2.731	1,59	3.757	351.166	Piano YY	1,00	
	50,0%	93,47	2.731	1,59	3.757	351.166	Piano YY	1,00	
	100%	93,47	2.731	1,59	3.757	351.166	Piano YY	1,00	
Pilastro Acciaio 2	0%	NS	1.914	0,06	1.270	247.323	Piano XX	1,00	
	50,0%	NS	1.914	0,06	1.270	247.323	Piano XX	1,00	
	100%	NS	1.914	0,06	1.270	247.323	Piano XX	1,00	
Pilastro Acciaio 3	0%	NS	1.914	0,12	1.466	247.276	Piano XX	1,00	
	50,0%	NS	1.914	0,12	1.466	247.276	Piano XX	1,00	
	100%	NS	1.914	0,12	1.466	247.276	Piano XX	1,00	
Pilastro Acciaio 5	0%	89,77	2.731	1,59	-3.912	351.166	Piano YY	1,00	
	50,0%	89,77	2.731	1,59	-3.912	351.166	Piano YY	1,00	
	100%	89,77	2.731	1,59	-3.912	351.166	Piano YY	1,00	
Pilastro Acciaio 4	0%	NS	1.914	0,12	1.273	247.276	Piano XX	1,00	
	50,0%	NS	1.914	0,12	1.273	247.276	Piano XX	1,00	
	100%	NS	1.914	0,12	1.273	247.276	Piano XX	1,00	

LEGENDA:

- Pilastro** Identificativo del pilastro. L'eventuale lettera tra parentesi distingue i diversi tratti della pilastriata al livello considerato.
- %L_{Li}** Posizione della sezione per la quale vengono forniti i valori di verifica, valutata come % della lunghezza libera d'inflessione (L_{Li}), a partire dall'estremo iniziale.
- CS** Coefficiente di sicurezza ([NS] = Non Significativo se CS ≥ 100; [VNR]= Verifica Non Richiesta; Informazioni aggiuntive sulla condizione: [V] = statica; [E] = eccezionale; [S] = sismica; [N] = sismica non lineare).
- A_v** Area resistente a taglio.
- τ_{T,Ed}** Tensione tangenziale di calcolo per torsione.
- V_{Ed}** Taglio di progetto.
- V_{c,Rd}** Taglio resistente.
- P. Vrf.** Piano di minima resistenza.
- Ω_{Min}** Rapporto minimo momento plastico/momento progetto travi concorrenti.

PILASTRI (AC) - VERIFICHE INSTABILITÀ A PRESSOFLESSIONE DEVIATA (Elevazione)

Pilastri (AC) - Verifiche instabilità a pressoflessione deviata															
Pilastro	N _{eq,Ed}	M _{eq,Ed,3}	M _{eq,Ed,2}	CS	L _N	L _{Cr}	Dir	λ _{LT}	α	φ	χ	β	k _c	χ _{LT}	N _{cr}
	[N]	[N·m]	[N·m]		[m]	[m]									[N]
Piano Terra															
Pilastro Acciaio 1	18.662	2.764	3.092	3,62	3,20	3,20	x-x	0,731	0,210	0,573	0,968	1,000	0,784	0,956	574.018
							y-y	0,141	0,340	1,482	0,444	1,000	0,671	1,000	
Pilastro Acciaio 2	34.707	1.751	482	6,89	3,20	3,20	x-x	0,820	0,210	0,573	0,968	1,000	0,871	0,862	574.018
							y-y	0,139	0,340	1,482	0,444	1,000	0,664	1,000	
Pilastro Acciaio 3	29.921	4.353	469	5,99	3,20	3,20	x-x	0,795	0,210	0,573	0,968	1,000	0,845	0,889	574.018
							y-y	0,139	0,340	1,482	0,444	1,000	0,664	1,000	
Pilastro Acciaio 5	17.464	825	3.399	3,74	3,20	3,20	x-x	0,737	0,210	0,573	0,968	1,000	0,789	0,951	574.018
							y-y	0,141	0,340	1,482	0,444	1,000	0,671	1,000	
Pilastro Acciaio 4	30.947	3.467	1.086	4,93	3,20	3,20	x-x	0,883	0,210	0,573	0,968	1,000	0,946	0,791	574.018
							y-y	0,140	0,340	1,482	0,444	1,000	0,670	1,000	

LEGENDA:

- Pilastro** Identificativo del pilastro. L'eventuale lettera tra parentesi distingue i diversi tratti della pilastriata al livello considerato.
- N_{eq,Ed}** Sforzo Normale equivalente di progetto.
- M_{eq,Ed,3}** Momento equivalente di progetto intorno a 3.
- M_{eq,Ed,2}** Momento equivalente di progetto intorno a 2.
- CS** Coefficiente di sicurezza ([NS] = Non Significativo se CS ≥ 100; [VNR]= Verifica Non Richiesta; Informazioni aggiuntive sulla condizione: [V] = statica; [E] = eccezionale; [S] = sismica; [N] = sismica non lineare).
- L_N** Luce netta.
- L_{Cr}** Lunghezza di libera inflessione laterale, misurata tra due ritegni torsionali successivi.
- λ_{LT}** Coefficiente di snellezza normalizzata (per il calcolo di φ_{LT}).
- α** Fattore di imperfezione.
- φ** Coefficiente φ (per il calcolo di χ).
- χ** Coefficiente di riduzione per instabilità a compressione
- β** Coefficiente di riduzione della luce libera di inflessione.

Pilastri (AC) - Verifiche instabilità a pressoflessione deviata

Pilastro	$N_{eq,Ed}$ [N]	$M_{eq,Ed,3}$ [N-m]	$M_{eq,Ed,2}$ [N-m]	CS	L_N [m]	L_{Cr} [m]	Dir	λ_{LT}	α	ϕ	χ	β	k_c	χ_{LT}	N_{cr} [N]
k_c	Coefficiente per il calcolo di χ_{LT}														
χ_{LT}	Coefficiente di riduzione ai fini dell'instabilità flessorotazionale.														
N_{cr}	Sforzo Normale Critico Euleriano.														

EFFETTI DELLE NON LINEARITÀ GEOMETRICHE PER SISMA (Elevazione)

Effetti delle non linearità geometriche per sisma

IdPiano	Q_{Lv} [m]	H_{Lv} [m]	$\delta_{d,x}$ [cm]	$\delta_{d,y}$ [cm]	$P_{\theta,x}$ [N]	$P_{\theta,y}$ [N]	$T_{\theta,x}$ [N]	$T_{\theta,y}$ [N]	Θ_x [rad]	Θ_y [rad]
Piano Terra	0,00	4,00	0,0000	0,0000	32.731	32.731	0	0	0 E+00	0 E+00

PIANI - VERIFICHE AGLI SPOSTAMENTI

Piani - Verifiche

IdPiano	Q_{Lv} [m]	H_{Lv} [m]	$\delta_{d,x}$ [cm]	$\delta_{d,y}$ [cm]	$C_{ig}T_{mp}$	δ_{lim} [cm]	$\delta_{lim} - \delta_{d,x}$ [cm]	$\delta_{lim} - \delta_{d,y}$ [cm]	Note
Piano Terra	0,00	4,00	0,0000	0,0000	RF	2,0000	2,0000	2,0000	Verificato

LEGENDA:

- IdPiano** Identificativo del livello o piano.
- Q_{Lv}** Quota del livello o piano.
- H_{Lv}** Altezza del livello o piano.
- $C_{ig}T_{mp}$** Tipo di collegamento delle tamponature alla struttura: [R] = Rigido - [E] = Elastico - [RF] = Rigidamente fragili - [RD] = Rigidamente Duttili.
- δ_{lim}** Valore limite dello spostamento differenziale indicato dalla normativa.
- $\delta_{d,x}, \delta_{d,y}$** Componenti dello spostamento differenziale rispetto al piano inferiore.

PIANI - VERIFICHE ALLO SLE (Elevazione)

Piani - Verifiche allo SLE

IdPiano	Q_{Lv} [m]	H_{Lv} [m]	$\delta_{amm,SLE}$ [cm]	$\delta_{d,SLE}$		$\Delta\delta_{SLE}$		Note
				X [cm]	Y [cm]	X [cm]	Y [cm]	
Piano Terra	0,00	4,00	1,3333	0,0000	0,0000	1,3333	1,3333	Verificato

LEGENDA:

- IdPiano** Identificativo del livello o piano.
- Q_{Lv}** Quota del livello o piano.
- H_{Lv}** Altezza del livello o piano.
- $\delta_{amm,SLE}$** Spostamento Differenziale ammissibile.
- $\delta_{d,SLE}$** Spostamento Differenziale.
- $\Delta\delta_{SLE}$** Differenza fra spostamento limite e quello di calcolo nelle direzioni X e Y.